

Collettamento fognario a depurazione dell'abitato di Navacchio



PROGETTO DEFINITIVO

<p>240 TAVOLA/ELABORATO ST.R.07</p> <p>sismica A9</p>	<p>Fascicolo dei calcoli vasca sollevamento S4</p>	<p>SCALA A4</p> <p>DATA 05/02/2020</p>
--	---	--

Progetti e Lavori



Sede Firenze Via De Sanctis ,49 Cod.Fisc. e P.I.V.A. 06111950488

Organizzazione dotata di Sistema di Gestione Integrato certificato in conformità alle normative ISO9001 – ISO14001 – ISO45001 – SA8000

PROGETTISTA:
C.S.P.:
GEOLOGIA / GEOTECNICA:
IMPIANTI ELETTRICI:
ACQUISIZIONE AREE:

ING. OSCAR GALLI
ING. GLAUCO CECCONI
GEOL. NICOLA CEMPINI
ING. CARMINE MIULLI
GEOM. ANDREA PATRIARCHI

Dott. Ing. OSCAR GALLI
ORDINE INGEGNERI della Provincia di PISA
N° 1102 Sezione A
INGEGNERE CIVILE E AMBIENTALE
INDUSTRIALE DELL'INFORMAZIONE

CONSULENTI TECNICI di Ingegnerie Toscane:
ING. ANDREA BERNARDINI acquisizione aree

COLLABORATORI:

COOPERATIVA CIVILE STP progettazione generale, elaborazioni grafiche/estimative
OMEGA ENGINEERING impianti elettrici e di controllo
DOTT.SSA GEOL. FRANCESCA FRANCHI geologia
DOTT. FABRIZIO BURCHIANI archeologia

COMMITTENTE: ING. ROBERTO CECCHINI

ACQUE SPA
VIA A. BELLATALLA,1
LOC. OSPEDALETTO
56121 PISA

DIRETTORE TECNICO INGEGNERIE TOSCANE:
ING. PAOLO PIZZARI

RESPONSABILE DEL PROCEDIMENTO:
ING. ROBERTO CECCHINI

RESPONSABILE COMMESSA ACQUE SPA:
GEOM. CLAUDIO LASTRAIOLI

REV	DATA	DESCRIZIONE/MOTIVO DELLA REVISIONE	REDATTO	CONTROLLATO/APPROVATO
01	05/02/2020	PRIMA EMISSIONE	COOP CIVILE	GALLI

Sommario

Introduzione	2
Sistemi di riferimento	2
Rotazioni e momenti	2
Normativa di riferimento	2
Unità di misura	2
Geometria	2
Elenco vincoli nodi	2
Elenco nodi	3
Elenco materiali	4
Elenco vincoli aste	4
Elenco aste	4
Elenco tipi elementi bidimensionali	5
Elenco elementi bidimensionali	5
Elenco tipi solai	8
Elenco solai	8
Carichi	8
Condizioni di carico elementari	8
Elenco carichi asteCondizione di carico n. 1: G1 Carichi distribuiti	9
Condizione di carico n. 2: G2 Carichi distribuiti	9
Condizione di carico n. 3: Qk Carichi distribuiti	9
Elenco carichi elementi bidimensionaliElenco peso proprio elementi bidimensionali	9
Condizione di carico n. 2: G2 Carichi uniformi	10
Condizione di carico n. 3: Qk Carichi uniformi	10
Condizione di carico n. 3: Qk Carichi idrostatici	10
Risultati del calcolo	13
Parametri di calcolo	13
Figura numero 1: Spettro SLO	15
Figura numero 2: Spettro SLD	15
Figura numero 3: Spettro SND	16
Spostamenti dei nodi	18
Reazioni vincolari	30
Tensioni sul terreno	32
Sollecitazioni elementi bidimensionali	32
Criteri di progetto utilizzati	33
Pareti	33
Solette/Platee	35
Verifiche e armature solette/platee	36
Armatura soletta a quota 0.00	37
Armatura platea a quota -5.23	38
Verifiche e armature pareti	38
Figura numero 4: Riferimenti sezione	39
Parete n. 7	39
Parete n. 8	40
Parete n. 9	41
Parete n. 10	42
Criteri di analisi geotecnica e progetto delle fondazioni	44
Fondazioni superficiali	44
Fondazioni profonde	44
Caratterizzazione	45
Geotecnica	46
Elenco unità geotecniche	46
Elenco colonne stratigrafiche	47
Figura numero 5: Colonna stratigrafica numero 1 Colonna 1	49
Fondazioni superficiali	49
Verifiche capacità portante	49
Cedimenti	49
Sintesi	50

Introduzione

Sistemi di riferimento

Le coordinate, i carichi concentrati, i cedimenti, le reazioni vincolari e gli spostamenti dei NODI sono riferiti ad una terna destra cartesiana globale con l'asse Z verticale rivolto verso l'alto.

I carichi in coordinate locali e le sollecitazioni delle ASTE sono riferite ad una terna destra cartesiana locale così definita:

- origine nel nodo iniziale dell'asta;
- asse X coincidente con l'asse dell'asta e con verso dal nodo iniziale al nodo finale;
- immaginando la trave a sezione rettangolare l'asse Y è parallelo alla base e l'asse Z è parallelo all'altezza. La rotazione dell'asta comporta quindi una rotazione di tutta la terna locale.

Si può immaginare la terna locale di un'asta comunque disposta nello spazio come derivante da quella globale dopo una serie di trasformazioni:

- una rotazione intorno all'asse Z che porti l'asse X a coincidere con la proiezione dell'asse dell'asta sul piano orizzontale;
- una traslazione lungo il nuovo asse X così definito in modo da portare l'origine a coincidere con la proiezione del nodo iniziale dell'asta sul piano orizzontale;
- una traslazione lungo l'asse Z che porti l'origine a coincidere con il nodo iniziale dell'asta;
- una rotazione intorno all'asse Y così definito che porti l'asse X a coincidere con l'asse dell'asta;
- una rotazione intorno all'asse X così definito pari alla rotazione dell'asta.

In pratica le travi prive di rotazione avranno sempre l'asse Z rivolto verso l'alto e l'asse Y nel piano del solaio, mentre i pilastri privi di rotazione avranno l'asse Y parallelo all'asse Y globale e l'asse Z parallelo ma controverso all'asse X globale. Da notare quindi che per i pilastri la "base" è il lato parallelo a Y.

Le sollecitazioni ed i carichi in coordinate locali negli ELEMENTI BIDIMENSIONALI e nei MURI sono riferiti ad una terna destra cartesiana locale così definita:

- origine nel primo nodo dell'elemento;
- asse X coincidente con la congiungente il primo ed il secondo nodo dell'elemento;
- asse Y definito come prodotto vettoriale fra il versore dell'asse X e il versore della congiungente il primo e il quarto nodo. Asse Z a formare con gli altri due una terna destrorsa.

Praticamente un elemento verticale con l'asse X locale coincidente con l'asse X globale ha anche gli altri assi locali coincidenti con quelli globali.

Rotazioni e momenti

Seguendo il principio adottato per tutti i carichi che sono positivi se CONTROVERSI agli assi, anche i momenti concentrati e le rotazioni impresse in coordinate globali risultano positivi se CONTROVERSI al segno positivo delle rotazioni. Il segno positivo dei momenti e delle rotazioni è quello orario per l'osservatore posto nell'origine: X ruota su Y, Y ruota su Z, Z ruota su X. In pratica è sufficiente adottare la regola della mano destra: col pollice rivolto nella direzione dell'asse, la rotazione che porta a chiudere il palmo della mano corrisponde al segno positivo.

Normativa di riferimento

La normativa di riferimento è la seguente:

- Legge n. 64 del 2/2/1974 - Provvedimenti per le costruzioni con particolari prescrizioni per le zone sismiche.
- D.M. del 24/1/1986 - Norme tecniche relative alle costruzioni sismiche.
- Legge n. 1086 del 5/11/1971 - Norme per la disciplina delle opere di conglomerato cementizio armato, normale e precompresso ed a struttura metallica.
- D.M. del 14/2/1992 - Norme tecniche per l'esecuzione delle opere in c.a. normale e precompresso e per le strutture metalliche.
- D.M. del 9/1/1996 - Norme tecniche per l'esecuzione delle opere in c.a. normale e precompresso e per le strutture metalliche.
- D.M. del 16/1/1996 - Norme tecniche per le costruzioni in zone sismiche.
- Circolare n. 21745 del 30/7/1981 - Legge n. 219 del 14/5/1981 - Art. 10 - Istruzioni relative al rafforzamento degli edifici in muratura danneggiati dal sisma.
- Regione Autonoma Friuli Venezia Giulia - Legge Regionale n. 30 del 20/6/1977 - Documentazione tecnica per la progettazione e direzione delle opere di riparazione degli edifici - Documento Tecnico n. 2 - Raccomandazioni per la riparazione strutturale degli edifici in muratura.
- D.M. del 20/11/1987 - Norme Tecniche per la progettazione, esecuzione e collaudo degli edifici in muratura e per il loro consolidamento.
- Norme Tecniche C.N.R. n. 10011-85 del 18/4/1985 - Costruzioni di acciaio - Istruzioni per il calcolo, l'esecuzione, il collaudo e la manutenzione.
- Norme Tecniche C.N.R. n. 10025-84 del 14/12/1984 - Istruzioni per il progetto, l'esecuzione ed il controllo delle strutture prefabbricate in conglomerato cementizio e per le strutture costruite con sistemi industrializzati di acciaio - Istruzioni per il calcolo, l'esecuzione, il collaudo e la manutenzione.
- Circolare n. 65 del 10/4/1997 - Istruzioni per l'applicazione delle "Norme tecniche per le costruzioni in zone sismiche" di cui al D.M. del 16/1/1996.
- Eurocodice 5 - Progettazione delle strutture di legno.
- DIN 1052 - Metodi di verifica per il legno.
- D.M. del 17/1/2018 - Norme tecniche per le costruzioni.
- Circolare n. 7 del 21/1/2019 - Istruzioni per l'applicazione dell'«Aggiornamento delle "Norme tecniche per le costruzioni"» di cui al decreto ministeriale 17 gennaio 2018.
- Documento Tecnico CNR-DT 200 R1/2012 - Istruzioni per la Progettazione, l'Esecuzione ed il Controllo di Interventi di Consolidamento Statico mediante l'utilizzo di Compositi Fibrorinforzati.
- Eurocodice 3 - Progettazione delle strutture in acciaio.

Unità di misura

Le unità di misura adottate sono le seguenti:

- lunghezze : m
- forze : daN
- masse : kg
- temperature : gradi centigradi
- angoli : gradi sessadecimali o radianti

Geometria

Elenco vincoli nodi

Simbologia

Vn = Numero del vincolo nodo
Comm. = Commento
Sx = Spostamento in dir. X (L=libero, B=bloccato, E=elastico)
Sy = Spostamento in dir. Y (L=libero, B=bloccato, E=elastico)
Sz = Spostamento in dir. Z (L=libero, B=bloccato, E=elastico)
Rx = Rotazione intorno all'asse X (L=libera, B=bloccata, E=elastica)
Ry = Rotazione intorno all'asse Y (L=libera, B=bloccata, E=elastica)
Rz = Rotazione intorno all'asse Z (L=libera, B=bloccata, E=elastica)
RL = Rotazione libera

Relazione di calcolo

Ly =Lunghezza (dir. Y locale)
Lz =Larghezza (dir. Z locale)
Kt <Coeff. di sottofondo su suolo elastico alla Winkler

Vn	Comm.	Sx	Sy	Sz	Rx	Ry	Rz	RL	Ly	Lz	Kt
		<m>	<m>	<daN/cmc>							
1	Libero	L	L	L	L	L	L				

Vn	Comm.	Sx	Sy	Sz	Rx	Ry	Rz	RL	Ly	Lz	Kt
		<m>	<m>	<daN/cmc>							
3	El. sew 110001	B	B	L	L	L	B				

Elenco nodi

Simbologia
Nodo = Numero del nodo
X = Coordinata X del nodo
Y = Coordinata Y del nodo
Z = Coordinata Z del nodo
Imp. = Numero dell'impalcato
Vn = Numero del vincolo nodo

	X	Y	Z	Imp.	Vn	Nodo	X	Y	Z	Imp.	Vn	Nodo	X	Y	Z	Imp.	Vn	Nodo	X	Y	Z	Imp.	Vn	Nodo	X	Y	Z	Imp.	Vn	Nodo	X	Y	Z	Imp.	Vn
	<m>	<m>	<m>				<m>	<m>	<m>				<m>	<m>	<m>				<m>	<m>	<m>				<m>	<m>	<m>				<m>	<m>	<m>		
-607	4.38	2.40	0.00	0	1	-606	3.93	2.40	0.00	0	1	-605	3.49	2.40	0.00	0	1	-604	3.04	2.40	0.00	0	1	-603	2.59	2.40	0.00	0	1	-602	2.14	2.40	0.00	0	1
-602	2.14	2.40	0.00	0	1	-601	1.79	2.40	0.00	0	1	-600	1.43	2.40	0.00	0	1	-599	1.07	2.40	0.00	0	1	-598	0.71	2.40	0.00	0	1	-597	0.36	2.40	0.00	0	1
-597	0.36	2.40	0.00	0	1	-596	0.00	2.40	0.00	0	1	-595	4.38	2.00	0.00	0	1	-594	3.93	2.00	0.00	0	1	-593	3.49	2.00	0.00	0	1	-592	3.04	2.00	0.00	0	1
-592	3.04	2.00	0.00	0	1	-591	2.59	2.00	0.00	0	1	-590	2.14	2.00	0.00	0	1	-589	1.79	2.00	0.00	0	1	-588	1.43	2.00	0.00	0	1	-587	1.07	2.00	0.00	0	1
-587	1.07	2.00	0.00	0	1	-586	0.71	2.00	0.00	0	1	-585	0.36	2.00	0.00	0	1	-584	0.00	2.00	0.00	0	1	-583	4.38	1.60	0.00	0	1	-582	3.93	1.60	0.00	0	1
-582	3.93	1.60	0.00	0	1	-581	3.49	1.60	0.00	0	1	-580	3.04	1.60	0.00	0	1	-579	2.59	1.60	0.00	0	1	-578	2.14	1.60	0.00	0	1	-577	1.79	1.60	0.00	0	1
-577	1.79	1.60	0.00	0	1	-576	1.43	1.60	0.00	0	1	-575	1.07	1.60	0.00	0	1	-574	0.71	1.60	0.00	0	1	-573	0.36	1.60	0.00	0	1	-572	0.00	1.60	0.00	0	1
-572	0.00	1.60	0.00	0	1	-571	4.38	1.20	0.00	0	1	-570	3.93	1.20	0.00	0	1	-569	3.49	1.20	0.00	0	1	-568	3.04	1.20	0.00	0	1	-567	2.59	1.20	0.00	0	1
-567	2.59	1.20	0.00	0	1	-566	2.14	1.20	0.00	0	1	-565	1.79	1.20	0.00	0	1	-564	1.43	1.20	0.00	0	1	-563	1.07	1.20	0.00	0	1	-562	0.71	1.20	0.00	0	1
-562	0.71	1.20	0.00	0	1	-561	0.36	1.20	0.00	0	1	-560	0.00	1.20	0.00	0	1	-559	4.38	0.80	0.00	0	1	-558	3.93	0.80	0.00	0	1	-555	2.59	0.80	0.00	0	1
-555	2.59	0.80	0.00	0	1	-554	2.14	0.80	0.00	0	1	-553	1.79	0.80	0.00	0	1	-552	0.36	0.80	0.00	0	1	-551	0.00	0.80	0.00	0	1	-550	4.38	0.40	0.00	0	1
-550	4.38	0.40	0.00	0	1	-549	3.93	0.40	0.00	0	1	-548	3.49	0.40	0.00	0	1	-547	3.04	0.40	0.00	0	1	-546	2.59	0.40	0.00	0	1	-545	2.14	0.40	0.00	0	1
-545	2.14	0.40	0.00	0	1	-544	1.79	0.40	0.00	0	1	-543	1.43	0.40	0.00	0	1	-542	1.07	0.40	0.00	0	1	-541	0.71	0.40	0.00	0	1	-540	0.36	0.40	0.00	0	1
-540	0.36	0.40	0.00	0	1	-539	0.00	0.40	0.00	0	1	-538	4.38	0.00	0.00	0	1	-537	3.93	0.00	0.00	0	1	-536	3.49	0.00	0.00	0	1	-535	3.04	0.00	0.00	0	1
-535	3.04	0.00	0.00	0	1	-534	2.59	0.00	0.00	0	1	-533	2.14	0.00	0.00	0	1	-532	1.79	0.00	0.00	0	1	-531	1.43	0.00	0.00	0	1	-530	1.07	0.00	0.00	0	1
-530	1.07	0.00	0.00	0	1	-529	0.71	0.00	0.00	0	1	-528	0.36	0.00	0.00	0	1	-527	0.00	0.00	0.00	0	1	-526	4.38	2.40	-0.39	0	1	-525	3.93	2.40	-0.39	0	1
-525	3.93	2.40	-0.39	0	1	-524	3.49	2.40	-0.39	0	1	-523	3.04	2.40	-0.39	0	1	-522	2.59	2.40	-0.39	0	1	-521	2.14	2.40	-0.39	0	1	-520	1.79	2.40	-0.39	0	1
-520	1.79	2.40	-0.39	0	1	-519	1.43	2.40	-0.39	0	1	-518	1.07	2.40	-0.39	0	1	-517	0.71	2.40	-0.39	0	1	-516	0.36	2.40	-0.39	0	1	-515	0.00	2.40	-0.39	0	1
-515	0.00	2.40	-0.39	0	1	-514	4.38	2.00	-0.39	0	1	-513	0.00	2.00	-0.39	0	1	-512	4.38	1.60	-0.39	0	1	-511	0.00	1.60	-0.39	0	1	-510	4.38	1.20	-0.39	0	1
-510	4.38	1.20	-0.39	0	1	-509	0.00	1.20	-0.39	0	1	-508	4.38	0.80	-0.39	0	1	-507	0.00	0.80	-0.39	0	1	-506	4.38	0.40	-0.39	0	1	-505	0.00	0.40	-0.39	0	1
-505	0.00	0.40	-0.39	0	1	-504	4.38	0.00	-0.39	0	1	-503	3.93	0.00	-0.39	0	1	-502	3.49	0.00	-0.39	0	1	-501	3.04	0.00	-0.39	0	1	-500	2.59	0.00	-0.39	0	1
-500	2.59	0.00	-0.39	0	1	-499	2.14	0.00	-0.39	0	1	-498	1.79	0.00	-0.39	0	1	-497	1.43	0.00	-0.39	0	1	-496	1.07	0.00	-0.39	0	1	-495	0.71	0.00	-0.39	0	1
-495	0.71	0.00	-0.39	0	1	-494	0.36	0.00	-0.39	0	1	-493	0.00	0.00	-0.39	0	1	-492	4.38	2.40	-0.77	0	1	-491	3.93	2.40	-0.77	0	1	-490	3.49	2.40	-0.77	0	1
-490	3.49	2.40	-0.77	0	1	-489	3.04	2.40	-0.77	0	1	-488	2.59	2.40	-0.77	0	1	-487	2.14	2.40	-0.77	0	1	-486	1.79	2.40	-0.77	0	1	-485	1.43	2.40	-0.77	0	1
-485	1.43	2.40	-0.77	0	1	-484	1.07	2.40	-0.77	0	1	-483	0.71	2.40	-0.77	0	1	-482	0.36	2.40	-0.77	0	1	-481	0.00	2.40	-0.77	0	1	-480	4.38	2.00	-0.77	0	1
-480	4.38	2.00	-0.77	0	1	-479	0.00	2.00	-0.77	0	1	-478	4.38	1.60	-0.77	0	1	-477	0.00	1.60	-0.77	0	1	-476	4.38	1.20	-0.77	0	1	-475	0.00	1.20	-0.77	0	1
-475	0.00	1.20	-0.77	0	1	-474	4.38	0.80	-0.77	0	1	-473	0.00	0.80	-0.77	0	1	-472	4.38	0.40	-0.77	0	1	-471	0.00	0.40	-0.77	0	1	-470	4.38	0.00	-0.77	0	1
-470	4.38	0.00	-0.77	0	1	-469	3.93	0.00	-0.77	0	1	-468	3.49	0.00	-0.77	0	1	-467	3.04	0.00	-0.77	0	1	-466	2.59	0.00	-0.77	0	1	-465	2.14	0.00	-0.77	0	1
-465	2.14	0.00	-0.77	0	1	-464	1.79	0.00	-0.77	0	1	-463	1.43	0.00	-0.77	0	1	-462	1.07	0.00	-0.77	0	1	-461	0.71	0.00	-0.77	0	1	-460	0.36	0.00	-0.77	0	1
-460	0.36	0.00	-0.77	0	1	-459	0.00	0.00	-0.77	0	1	-458	4.38	2.40	-1.16	0	1	-457	3.93	2.40	-1.16	0	1	-456	3.49	2.40	-1.16	0	1	-455	3.04	2.40	-1.16	0	1
-455	3.04	2.40	-1.16	0	1	-454	2.59	2.40	-1.16	0	1	-453	2.14	2.40	-1.16	0	1	-452	1.79	2.40	-1.16	0	1	-451	1.43	2.40	-1.16	0	1	-450	1.07	2.40	-1.16	0	1
-450	1.07	2.40	-1.16	0	1	-449	0.71	2.40	-1.16	0	1	-448	0.36	2.40	-1.16	0	1	-447	0.00	2.40	-1.16	0	1	-446	4.38	2.00	-1.16	0	1	-445	0.00	2.00	-1.16	0	1
-445	0.00	2.00	-1.16	0	1	-444	4.38	1.60	-1.16	0	1	-443	0.00	1.60	-1.16	0	1	-442	4.38	1.20	-1.16	0	1	-441	0.00	1.20	-1.16	0	1	-440	4.38	0.80	-1.16	0	1
-440	4.38	0.80	-1.16	0	1	-439	0.00	0.80	-1.16	0	1	-438	4.38	0.40	-1.16	0	1	-437	0.00	0.40	-1.16	0	1	-436	4.38	0.00	-1.16	0	1	-435	3.93	0.00	-1.16	0	1
-435	3.93	0.00	-1.16	0	1	-434	3.49	0.00	-1.16	0	1	-433	3.04	0.00	-1.16	0	1	-432	2.59	0.00	-1.16	0	1	-431	2.14	0.00	-1.16	0	1	-430	1.79	0.00	-1.16	0	1
-430	1.79	0.00	-1.16	0	1	-429	1.43	0.00	-1.16	0	1	-428	1.07	0.00	-1.16	0	1	-427	0.71	0.00	-1.16	0	1	-426</											

Relazione di calcolo

-175	0.00	2.40	-4.04	0	1	-174	4.38	2.00	-4.04	0	1	-173	0.00	2.00	-4.04	0	1	-172	4.38	1.60	-4.04	0	1	-171	0.00	1.60	-4.04	0	1
-170	4.38	1.20	-4.04	0	1	-169	0.00	1.20	-4.04	0	1	-168	4.38	0.80	-4.04	0	1	-167	0.00	0.80	-4.04	0	1	-166	4.38	0.40	-4.04	0	1
-165	0.00	0.40	-4.04	0	1	-164	4.38	0.00	-4.04	0	1	-163	3.93	0.00	-4.04	0	1	-162	3.49	0.00	-4.04	0	1	-161	3.04	0.00	-4.04	0	1
-160	2.59	0.00	-4.04	0	1	-159	2.14	0.00	-4.04	0	1	-158	1.79	0.00	-4.04	0	1	-157	1.43	0.00	-4.04	0	1	-156	1.07	0.00	-4.04	0	1
-155	0.71	0.00	-4.04	0	1	-154	0.36	0.00	-4.04	0	1	-153	0.00	0.00	-4.04	0	1	-152	4.38	2.40	-4.44	0	1	-151	3.93	2.40	-4.44	0	1
-150	3.49	2.40	-4.44	0	1	-149	3.04	2.40	-4.44	0	1	-148	2.59	2.40	-4.44	0	1	-147	2.14	2.40	-4.44	0	1	-146	1.79	2.40	-4.44	0	1
-145	1.43	2.40	-4.44	0	1	-144	1.07	2.40	-4.44	0	1	-143	0.71	2.40	-4.44	0	1	-142	0.36	2.40	-4.44	0	1	-141	0.00	2.40	-4.44	0	1
-140	4.38	2.00	-4.44	0	1	-139	0.00	2.00	-4.44	0	1	-138	4.38	1.60	-4.44	0	1	-137	0.00	1.60	-4.44	0	1	-136	4.38	1.20	-4.44	0	1
-135	0.00	1.20	-4.44	0	1	-134	4.38	0.80	-4.44	0	1	-133	0.00	0.80	-4.44	0	1	-132	4.38	0.40	-4.44	0	1	-131	0.00	0.40	-4.44	0	1
-130	4.38	0.00	-4.44	0	1	-129	3.93	0.00	-4.44	0	1	-128	3.49	0.00	-4.44	0	1	-127	3.04	0.00	-4.44	0	1	-126	2.59	0.00	-4.44	0	1
-125	2.14	0.00	-4.44	0	1	-124	1.79	0.00	-4.44	0	1	-123	1.43	0.00	-4.44	0	1	-122	1.07	0.00	-4.44	0	1	-121	0.71	0.00	-4.44	0	1
-120	0.36	0.00	-4.44	0	1	-119	0.00	0.00	-4.44	0	1	-118	4.38	2.40	-4.83	0	1	-117	3.93	2.40	-4.83	0	1	-116	3.49	2.40	-4.83	0	1
-115	3.04	2.40	-4.83	0	1	-114	2.59	2.40	-4.83	0	1	-113	2.14	2.40	-4.83	0	1	-112	1.79	2.40	-4.83	0	1	-111	1.43	2.40	-4.83	0	1
-110	1.07	2.40	-4.83	0	1	-109	0.71	2.40	-4.83	0	1	-108	0.36	2.40	-4.83	0	1	-107	0.00	2.40	-4.83	0	1	-106	4.38	2.00	-4.83	0	1
-105	0.00	2.00	-4.83	0	1	-104	4.38	1.60	-4.83	0	1	-103	0.00	1.60	-4.83	0	1	-102	4.38	1.20	-4.83	0	1	-101	0.00	1.20	-4.83	0	1
-100	4.38	0.80	-4.83	0	1	-99	0.00	0.80	-4.83	0	1	-98	4.38	0.40	-4.83	0	1	-97	0.00	0.40	-4.83	0	1	-96	4.38	0.00	-4.83	0	1
-95	3.93	0.00	-4.83	0	1	-94	3.49	0.00	-4.83	0	1	-93	3.04	0.00	-4.83	0	1	-92	2.59	0.00	-4.83	0	1	-91	2.14	0.00	-4.83	0	1
-90	1.79	0.00	-4.83	0	1	-89	1.43	0.00	-4.83	0	1	-88	1.07	0.00	-4.83	0	1	-87	0.71	0.00	-4.83	0	1	-86	0.36	0.00	-4.83	0	1
-85	0.00	0.00	-4.83	0	1	-84	4.38	2.40	-5.23	0	3	-83	3.93	2.40	-5.23	0	3	-82	3.49	2.40	-5.23	0	3	-81	3.04	2.40	-5.23	0	3
-80	2.59	2.40	-5.23	0	3	-79	2.14	2.40	-5.23	0	3	-78	1.79	2.40	-5.23	0	3	-77	1.43	2.40	-5.23	0	3	-76	1.07	2.40	-5.23	0	3
-75	0.71	2.40	-5.23	0	3	-74	0.36	2.40	-5.23	0	3	-73	0.00	2.40	-5.23	0	3	-72	4.38	2.00	-5.23	0	3	-71	3.93	2.00	-5.23	0	3
-70	3.49	2.00	-5.23	0	3	-69	3.04	2.00	-5.23	0	3	-68	2.59	2.00	-5.23	0	3	-67	2.14	2.00	-5.23	0	3	-66	1.79	2.00	-5.23	0	3
-65	1.43	2.00	-5.23	0	3	-64	1.07	2.00	-5.23	0	3	-63	0.71	2.00	-5.23	0	3	-62	0.36	2.00	-5.23	0	3	-61	0.00	2.00	-5.23	0	3
-60	4.38	1.60	-5.23	0	3	-59	3.93	1.60	-5.23	0	3	-58	3.49	1.60	-5.23	0	3	-57	3.04	1.60	-5.23	0	3	-56	2.59	1.60	-5.23	0	3
-55	2.14	1.60	-5.23	0	3	-54	1.79	1.60	-5.23	0	3	-53	1.43	1.60	-5.23	0	3	-52	1.07	1.60	-5.23	0	3	-51	0.71	1.60	-5.23	0	3
-50	0.36	1.60	-5.23	0	3	-49	0.00	1.60	-5.23	0	3	-48	4.38	1.20	-5.23	0	3	-47	3.93	1.20	-5.23	0	3	-46	3.49	1.20	-5.23	0	3
-45	3.04	1.20	-5.23	0	3	-44	2.59	1.20	-5.23	0	3	-43	2.14	1.20	-5.23	0	3	-42	1.79	1.20	-5.23	0	3	-41	1.43	1.20	-5.23	0	3
-40	1.07	1.20	-5.23	0	3	-39	0.71	1.20	-5.23	0	3	-38	0.36	1.20	-5.23	0	3	-37	0.00	1.20	-5.23	0	3	-36	4.38	0.80	-5.23	0	3
-35	3.93	0.80	-5.23	0	3	-34	3.49	0.80	-5.23	0	3	-33	3.04	0.80	-5.23	0	3	-32	2.59	0.80	-5.23	0	3	-31	2.14	0.80	-5.23	0	3
-30	1.79	0.80	-5.23	0	3	-29	1.43	0.80	-5.23	0	3	-28	1.07	0.80	-5.23	0	3	-27	0.71	0.80	-5.23	0	3	-26	0.36	0.80	-5.23	0	3
-25	0.00	0.80	-5.23	0	3	-24	4.38	0.40	-5.23	0	3	-23	3.93	0.40	-5.23	0	3	-22	3.49	0.40	-5.23	0	3	-21	3.04	0.40	-5.23	0	3
-20	2.59	0.40	-5.23	0	3	-19	2.14	0.40	-5.23	0	3	-18	1.79	0.40	-5.23	0	3	-17	1.43	0.40	-5.23	0	3	-16	1.07	0.40	-5.23	0	3
-15	0.71	0.40	-5.23	0	3	-14	0.36	0.40	-5.23	0	3	-13	0.00	0.40	-5.23	0	3	-12	4.38	0.00	-5.23	0	3	-11	3.93	0.00	-5.23	0	3
-10	3.49	0.00	-5.23	0	3	-9	3.04	0.00	-5.23	0	3	-8	2.59	0.00	-5.23	0	3	-7	2.14	0.00	-5.23	0	3	-6	1.79	0.00	-5.23	0	3
-5	1.43	0.00	-5.23	0	3	-4	1.07	0.00	-5.23	0	3	-3	0.71	0.00	-5.23	0	3	-2	0.36	0.00	-5.23	0	3	-1	0.00	0.00	-5.23	0	3

Elenco materiali

Simbologia

Mat. = Numero del materiale
Comm. = Commento
P = Peso specifico
E = Modulo elastico
G = Modulo elastico tangenziale
v = Coeff. di Poisson
α = Coeff. di dilatazione termica

Mat.	Comm.	P <daN/mc>	E <daN/cm²>	G <daN/cm²>	v	α
8	Calcestruzzo classe C32/40	2500	336428.00	152922.00	0.1	1.000000E-05

Elenco vincoli aste

Simbologia

Va = Numero del vincolo asta
Comm. = Commento
Tipo = Tipologia
SVI = Definizione di vincolamenti interni
ELA = Vincolo su suolo elastico alla Winkler
BIE-RTC = Biella resistente a trazione e a compressione
BIE-RC = Biella resistente solo a compressione
BIE-RT = Biella resistente solo a trazione
Ni = Sforzo normale nodo iniziale (0=sbloccato, 1=bloccato)
Tyi = Taglio in dir. Y locale nodo iniziale (0=sbloccato, 1=bloccato)
Tzi = Taglio in dir. Z locale nodo iniziale (0=sbloccato, 1=bloccato)
Mxi = Momento intorno all'asse X locale nodo iniziale (0=sbloccato, 1=bloccato)
Myi = Momento intorno all'asse Y locale nodo iniziale (0=sbloccato, 1=bloccato)
Mzi = Momento intorno all'asse Z locale nodo iniziale (0=sbloccato, 1=bloccato)
Nf = Sforzo normale nodo finale (0=sbloccato, 1=bloccato)
Tyf = Taglio in dir. Y locale nodo finale (0=sbloccato, 1=bloccato)
Tzf = Taglio in dir. Z locale nodo finale (0=sbloccato, 1=bloccato)
Mxf = Momento intorno all'asse X locale nodo finale (0=sbloccato, 1=bloccato)
Myf = Momento intorno all'asse Y locale nodo finale (0=sbloccato, 1=bloccato)
Mzf = Momento intorno all'asse Z locale nodo finale (0=sbloccato, 1=bloccato)
Kt = Coeff. di sottofondo su suolo elastico alla Winkler

Va	Comm.	Tipo	Ni	Tyi	Tzi	Mxi	Myi	Mzi	Nf	Tyf	Tzf	Mxf	Myf	Mzf	Kt <daN/cm²>
1	Inc+Inc	SVI	1	1	1	1	1	1	1	1	1	1	1	1	

Elenco aste

Simbologia

Asta = Numero dell'asta
N1 = Nodo iniziale
N2 = Nodo finale
Sez. = Numero della sezione
Va = Numero del vincolo asta
Par. = Numero dei parametri aggiuntivi
Rot. = Rotazione
FF = Filo fisso
Dy1 = Scost. filo fisso Y1
Dy2 = Scost. filo fisso Y2
Dz1 = Scost. filo fisso Z1
Dz2 = Scost. filo fisso Z2
Kt = Coeff. di sottofondo su suolo elastico alla Winkler

Asta	N1	N2	Sez.	Va	Par.	Rot. <grad>	FF	Dy1 <cm>	Dy2 <cm>	Dz1 <cm>	Dz2 <cm>	Kt <daN/cm²>
0-541	-540		1			0.00	11	0.00	0.00	0.00	0.00	
0-542	-541		1			0.00	11	0.00	0.00	0.00	0.00	
0-543	-542		1			0.00	11	0.00	0.00	0.00	0.00	
0-544	-543		1			0.00	11	0.00	0.00	0.00	0.00	
0-553	-544		1			0.00	11	0.00	0.00	0.00	0.00	
0-565	-553		1			0.00	11	0.00	0.00	0.00	0.00	
0-546	-555		1			0.00	11	0.00	0.00	0.00	0.00	
0-555	-567		1			0.00	11	0.00	0.00	0.00	0.00	
0-540	-552		1			0.00	11	0.00	0.00	0.00	0.00	
0-552	-561		1			0.00	11	0.00	0.00	0.00	0.00	
0-561	-562		1			0.00	11	0.00	0.00	0.00	0.00	
0-562	-563		1			0.00	11	0.00	0.00	0.00	0.00	
0-563	-564		1			0.00	11	0.00	0.00	0.00	0.00	
0-564	-565		1			0.00	11	0.00	0.00	0.00	0.00	
0-547	-546		1			0.00	11	0.00	0.00	0.00	0.00	
0-548	-547		1			0.00	11	0.00	0.00	0.00	0.00	

Relazione di calcolo

0-567-568		1		0.00	11	0.00	0.00	0.00	0.00			0-549-548		1		0.00	11	0.00	0.00	0.00	0.00	
0-568-569		1		0.00	11	0.00	0.00	0.00	0.00			0-558-549		1		0.00	11	0.00	0.00	0.00	0.00	
0-569-570		1		0.00	11	0.00	0.00	0.00	0.00			0-570-558		1		0.00	11	0.00	0.00	0.00	0.00	

Elenco tipi elementi bidimensionali

Simbologia

Tb =Numero del tipo muro/elemento bidimensionale
Comm. =Commento
Tipo =Tipologia
F = Membranale e Flessionale
M = Membranale
W-RC = Winkler resistente solo a compressione
W-RTC = Winkler resistente a trazione e a compressione
Uso =Utilizzo
G = Generico
P = Parete
S = Soletta/Platea
N = Nucleo
M = Muratura ordinaria
L = Pilastro
MA = Muratura armata
X = Pannello X-LAM
Spess. =Spessore
Kt =Coeff. di sottofondo su suolo elastico alla Winkler
DP =Drucker-Prager
Ang. att. =Angolo di attrito
Coes. =Coesione
Crit. =Numero del criterio di progetto
Mat. =Numero del materiale

Tb	Comm.	Tipo	Uso	Spess. <cm>	Kt <daN/cmc>	DP	Ang. att. <grad>	Coes. <daN/mq>	Crit.	Mat.
1	Parete vasca	F	P	20.00		N	0.00	0.00	4	8
2	Soletta fondazione vasca	W-RTC	S	40.00	f(strat.)	N	0.00	0.00	1	8
3	Soletta copertura vasca	F	S	25.00		N	0.00	0.00	1	8

Elenco elementi bidimensionali

Simbologia

Bid.=Numero del muro/elemento bidimensionale
Tb =Numero del tipo muro/elemento bidimensionale
FF =Filo fisso
Dy1 =Scost. filo fisso Y1
Dy2 =Scost. filo fisso Y2
Kt =Coeff. di sottofondo su suolo elastico alla Winkler
NN =Nodi

Bid.	Tb	FF	Dy1 <cm>	Dy2 <cm>	Kt <daN/cmc>	NN	Bid.	Tb	FF	Dy1 <cm>	Dy2 <cm>	Kt <daN/cmc>	NN
7	1	11	0.00	0.00		-527 -539 -505 -493	7	1	11	0.00	0.00		-477 -479 -445 -443
7	1	11	0.00	0.00		-479 -481 -447 -445	7	1	11	0.00	0.00		-425 -437 -403 -391
7	1	11	0.00	0.00		-437 -439 -405 -403	7	1	11	0.00	0.00		-439 -441 -407 -405
7	1	11	0.00	0.00		-441 -443 -409 -407	7	1	11	0.00	0.00		-443 -445 -411 -409
7	1	11	0.00	0.00		-445 -447 -413 -411	7	1	11	0.00	0.00		-391 -403 -369 -357
7	1	11	0.00	0.00		-403 -405 -371 -369	7	1	11	0.00	0.00		-405 -407 -373 -371
7	1	11	0.00	0.00		-407 -409 -375 -373	7	1	11	0.00	0.00		-409 -411 -377 -375
7	1	11	0.00	0.00		-411 -413 -379 -377	7	1	11	0.00	0.00		-357 -369 -335 -323
7	1	11	0.00	0.00		-369 -371 -337 -335	7	1	11	0.00	0.00		-371 -373 -339 -337
7	1	11	0.00	0.00		-373 -375 -341 -339	7	1	11	0.00	0.00		-375 -377 -343 -341
7	1	11	0.00	0.00		-377 -379 -345 -343	7	1	11	0.00	0.00		-323 -335 -301 -289
7	1	11	0.00	0.00		-335 -337 -303 -301	7	1	11	0.00	0.00		-337 -339 -305 -303
7	1	11	0.00	0.00		-339 -341 -307 -305	7	1	11	0.00	0.00		-341 -343 -309 -307
7	1	11	0.00	0.00		-343 -345 -311 -309	7	1	11	0.00	0.00		-289 -301 -267 -255
7	1	11	0.00	0.00		-301 -303 -269 -267	7	1	11	0.00	0.00		-303 -305 -271 -269
7	1	11	0.00	0.00		-305 -307 -273 -271	7	1	11	0.00	0.00		-307 -309 -275 -273
7	1	11	0.00	0.00		-309 -311 -277 -275	7	1	11	0.00	0.00		-255 -267 -233 -221
7	1	11	0.00	0.00		-267 -269 -235 -233	7	1	11	0.00	0.00		-269 -271 -237 -235
7	1	11	0.00	0.00		-271 -273 -239 -237	7	1	11	0.00	0.00		-273 -275 -241 -239
7	1	11	0.00	0.00		-275 -277 -243 -241	7	1	11	0.00	0.00		-221 -233 -199 -187
7	1	11	0.00	0.00		-233 -235 -201 -199	7	1	11	0.00	0.00		-235 -237 -203 -201
7	1	11	0.00	0.00		-237 -239 -205 -203	7	1	11	0.00	0.00		-239 -241 -207 -205
7	1	11	0.00	0.00		-241 -243 -209 -207	7	1	11	0.00	0.00		-169 -171 -137 -135
7	1	11	0.00	0.00		-201 -203 -169 -167	7	1	11	0.00	0.00		-167 -169 -135 -133
7	1	11	0.00	0.00		-199 -201 -167 -165	7	1	11	0.00	0.00		-165 -167 -133 -131
7	1	11	0.00	0.00		-187 -199 -165 -153	7	1	11	0.00	0.00		-153 -165 -131 -119
7	1	11	0.00	0.00		-513 -515 -481 -479	7	1	11	0.00	0.00		-459 -471 -437 -425
7	1	11	0.00	0.00		-471 -473 -439 -437	7	1	11	0.00	0.00		-473 -475 -441 -439
7	1	11	0.00	0.00		-139 -141 -107 -105	7	1	11	0.00	0.00		-105 -107 -73 -61
7	1	11	0.00	0.00		-137 -139 -105 -103	7	1	11	0.00	0.00		-103 -105 -61 -49
7	1	11	0.00	0.00		-539 -551 -507 -505	7	1	11	0.00	0.00		-551 -560 -509 -507
7	1	11	0.00	0.00		-560 -572 -511 -509	7	1	11	0.00	0.00		-572 -584 -513 -511
7	1	11	0.00	0.00		-584 -596 -515 -513	7	1	11	0.00	0.00		-493 -505 -471 -459
7	1	11	0.00	0.00		-505 -507 -473 -471	7	1	11	0.00	0.00		-507 -509 -475 -473
7	1	11	0.00	0.00		-509 -511 -477 -475	7	1	11	0.00	0.00		-511 -513 -479 -477
7	1	11	0.00	0.00		-85 -97 -13 -1	7	1	11	0.00	0.00		-171 -173 -139 -137
7	1	11	0.00	0.00		-203 -205 -171 -169	7	1	11	0.00	0.00		-99 -101 -37 -25
7	1	11	0.00	0.00		-475 -477 -443 -441	7	1	11	0.00	0.00		-97 -99 -25 -13
7	1	11	0.00	0.00		-101 -103 -49 -37	7	1	11	0.00	0.00		-207 -209 -175 -173
7	1	11	0.00	0.00		-173 -175 -141 -139	7	1	11	0.00	0.00		-205 -207 -173 -171
7	1	11	0.00	0.00		-135 -137 -103 -101	7	1	11	0.00	0.00		-133 -135 -101 -99
7	1	11	0.00	0.00		-131 -133 -99 -97	7	1	11	0.00	0.00		-119 -131 -97 -85
8	1	11	0.00	0.00		-214 -215 -181 -180	8	1	11	0.00	0.00		-520 -521 -487 -486
8	1	11	0.00	0.00		-149 -150 -116 -115	8	1	11	0.00	0.00		-148 -149 -115 -114
8	1	11	0.00	0.00		-519 -520 -486 -485	8	1	11	0.00	0.00		-114 -115 -81 -80
8	1	11	0.00	0.00		-115 -116 -82 -81	8	1	11	0.00	0.00		-453 -454 -420 -419
8	1	11	0.00	0.00		-413 -414 -380 -379	8	1	11	0.00	0.00		-180 -181 -147 -146
8	1	11	0.00	0.00		-247 -248 -214 -213	8	1	11	0.00	0.00		-248 -249 -215 -214
8	1	11	0.00	0.00		-213 -214 -180 -179	8	1	11	0.00	0.00		-181 -182 -148 -147
8	1	11	0.00	0.00		-451 -452 -418 -417	8	1	11	0.00	0.00		-452 -453 -419 -418
8	1	11	0.00	0.00		-184 -185 -151 -150	8	1	11	0.00	0.00		-185 -186 -152 -151
8	1	11	0.00	0.00		-147 -148 -114 -113	8	1	11	0.00	0.00		-383 -384 -350 -349
8	1	11	0.00	0.00		-384 -385 -351 -350	8	1	11	0.00	0.00		-150 -151 -117 -116
8	1	11	0.00	0.00		-215 -216 -182 -181	8	1	11	0.00	0.00		-346 -347 -313 -312
8	1	11	0.00	0.00		-347 -348 -314 -313	8	1	11	0.00	0.00		-348 -349 -315 -314
8	1	11	0.00	0.00		-349 -350 -316 -315	8	1	11	0.00	0.00		-350 -351 -317 -316

Relazione di calcolo

8	1	11	0.00	0.00		-351	-352	-318	-317	8	1	11	0.00	0.00		-311	-312	-278	-277
8	1	11	0.00	0.00		-312	-313	-279	-278	8	1	11	0.00	0.00		-313	-314	-280	-279
8	1	11	0.00	0.00		-314	-315	-281	-280	8	1	11	0.00	0.00		-315	-316	-282	-281
8	1	11	0.00	0.00		-316	-317	-283	-282	8	1	11	0.00	0.00		-317	-318	-284	-283
8	1	11	0.00	0.00		-277	-278	-244	-243	8	1	11	0.00	0.00		-278	-279	-245	-244
8	1	11	0.00	0.00		-279	-280	-246	-245	8	1	11	0.00	0.00		-280	-281	-247	-246
8	1	11	0.00	0.00		-281	-282	-248	-247	8	1	11	0.00	0.00		-282	-283	-249	-248
8	1	11	0.00	0.00		-283	-284	-250	-249	8	1	11	0.00	0.00		-243	-244	-210	-209
8	1	11	0.00	0.00		-244	-245	-211	-210	8	1	11	0.00	0.00		-245	-246	-212	-211
8	1	11	0.00	0.00		-246	-247	-213	-212	8	1	11	0.00	0.00		-415	-416	-382	-381
8	1	11	0.00	0.00		-386	-387	-353	-352	8	1	11	0.00	0.00		-249	-250	-216	-215
8	1	11	0.00	0.00		-179	-180	-146	-145	8	1	11	0.00	0.00		-389	-390	-356	-355
8	1	11	0.00	0.00		-217	-218	-184	-183	8	1	11	0.00	0.00		-212	-213	-179	-178
8	1	11	0.00	0.00		-178	-179	-145	-144	8	1	11	0.00	0.00		-597	-598	-517	-516
8	1	11	0.00	0.00		-598	-599	-518	-517	8	1	11	0.00	0.00		-599	-600	-519	-518
8	1	11	0.00	0.00		-600	-601	-520	-519	8	1	11	0.00	0.00		-601	-602	-521	-520
8	1	11	0.00	0.00		-602	-603	-522	-521	8	1	11	0.00	0.00		-515	-516	-482	-481
8	1	11	0.00	0.00		-516	-517	-483	-482	8	1	11	0.00	0.00		-517	-518	-484	-483
8	1	11	0.00	0.00		-518	-519	-485	-484	8	1	11	0.00	0.00		-596	-597	-516	-515
8	1	11	0.00	0.00		-320	-321	-287	-286	8	1	11	0.00	0.00		-321	-322	-288	-287
8	1	11	0.00	0.00		-521	-522	-488	-487	8	1	11	0.00	0.00		-144	-145	-111	-110
8	1	11	0.00	0.00		-110	-111	-77	-76	8	1	11	0.00	0.00		-483	-484	-450	-449
8	1	11	0.00	0.00		-284	-285	-251	-250	8	1	11	0.00	0.00		-285	-286	-252	-251
8	1	11	0.00	0.00		-286	-287	-253	-252	8	1	11	0.00	0.00		-287	-288	-254	-253
8	1	11	0.00	0.00		-447	-448	-414	-413	8	1	11	0.00	0.00		-142	-143	-109	-108
8	1	11	0.00	0.00		-108	-109	-75	-74	8	1	11	0.00	0.00		-450	-451	-417	-416
8	1	11	0.00	0.00		-250	-251	-217	-216	8	1	11	0.00	0.00		-251	-252	-218	-217
8	1	11	0.00	0.00		-252	-253	-219	-218	8	1	11	0.00	0.00		-253	-254	-220	-219
8	1	11	0.00	0.00		-605	-606	-525	-524	8	1	11	0.00	0.00		-416	-417	-383	-382
8	1	11	0.00	0.00		-417	-418	-384	-383	8	1	11	0.00	0.00		-418	-419	-385	-384
8	1	11	0.00	0.00		-216	-217	-183	-182	8	1	11	0.00	0.00		-379	-380	-346	-345
8	1	11	0.00	0.00		-218	-219	-185	-184	8	1	11	0.00	0.00		-219	-220	-186	-185
8	1	11	0.00	0.00		-382	-383	-349	-348	8	1	11	0.00	0.00		-525	-526	-492	-491
8	1	11	0.00	0.00		-353	-354	-320	-319	8	1	11	0.00	0.00		-385	-386	-352	-351
8	1	11	0.00	0.00		-345	-346	-312	-311	8	1	11	0.00	0.00		-151	-152	-118	-117
8	1	11	0.00	0.00		-488	-489	-455	-454	8	1	11	0.00	0.00		-489	-490	-456	-455
8	1	11	0.00	0.00		-490	-491	-457	-456	8	1	11	0.00	0.00		-491	-492	-458	-457
8	1	11	0.00	0.00		-145	-146	-112	-111	8	1	11	0.00	0.00		-111	-112	-78	-77
8	1	11	0.00	0.00		-175	-176	-142	-141	8	1	11	0.00	0.00		-387	-388	-354	-353
8	1	11	0.00	0.00		-454	-455	-421	-420	8	1	11	0.00	0.00		-455	-456	-422	-421
8	1	11	0.00	0.00		-182	-183	-149	-148	8	1	11	0.00	0.00		-183	-184	-150	-149
8	1	11	0.00	0.00		-143	-144	-110	-109	8	1	11	0.00	0.00		-109	-110	-76	-75
8	1	11	0.00	0.00		-487	-488	-454	-453	8	1	11	0.00	0.00		-606	-607	-526	-525
8	1	11	0.00	0.00		-420	-421	-387	-386	8	1	11	0.00	0.00		-177	-178	-144	-143
8	1	11	0.00	0.00		-113	-114	-80	-79	8	1	11	0.00	0.00		-423	-424	-390	-389
8	1	11	0.00	0.00		-141	-142	-108	-107	8	1	11	0.00	0.00		-116	-117	-83	-82
8	1	11	0.00	0.00		-117	-118	-84	-83	8	1	11	0.00	0.00		-319	-320	-286	-285
8	1	11	0.00	0.00		-209	-210	-176	-175	8	1	11	0.00	0.00		-211	-212	-178	-177
8	1	11	0.00	0.00		-388	-389	-355	-354	8	1	11	0.00	0.00		-419	-420	-386	-385
8	1	11	0.00	0.00		-482	-483	-449	-448	8	1	11	0.00	0.00		-380	-381	-347	-346
8	1	11	0.00	0.00		-381	-382	-348	-347	8	1	11	0.00	0.00		-524	-525	-491	-490
8	1	11	0.00	0.00		-352	-353	-319	-318	8	1	11	0.00	0.00		-604	-605	-524	-523
8	1	11	0.00	0.00		-112	-113	-79	-78	8	1	11	0.00	0.00		-448	-449	-415	-414
8	1	11	0.00	0.00		-449	-450	-416	-415	8	1	11	0.00	0.00		-146	-147	-113	-112
8	1	11	0.00	0.00		-422	-423	-389	-388	8	1	11	0.00	0.00		-176	-177	-143	-142
8	1	11	0.00	0.00		-318	-319	-285	-284	8	1	11	0.00	0.00		-414	-415	-381	-380
8	1	11	0.00	0.00		-486	-487	-453	-452	8	1	11	0.00	0.00		-456	-457	-423	-422
8	1	11	0.00	0.00		-354	-355	-321	-320	8	1	11	0.00	0.00		-481	-482	-448	-447
8	1	11	0.00	0.00		-355	-356	-322	-321	8	1	11	0.00	0.00		-421	-422	-388	-387
8	1	11	0.00	0.00		-484	-485	-451	-450	8	1	11	0.00	0.00		-485	-486	-452	-451
8	1	11	0.00	0.00		-107	-108	-74	-73	8	1	11	0.00	0.00		-603	-604	-523	-522
8	1	11	0.00	0.00		-457	-458	-424	-423	8	1	11	0.00	0.00		-210	-211	-177	-176
8	1	11	0.00	0.00		-522	-523	-489	-488	8	1	11	0.00	0.00		-523	-524	-490	-489
9	1	11	0.00	0.00		-514	-512	-478	-480	9	1	11	0.00	0.00		-100	-98	-24	-36
9	1	11	0.00	0.00		-356	-344	-310	-322	9	1	11	0.00	0.00		-370	-368	-334	-336
9	1	11	0.00	0.00		-506	-504	-470	-472	9	1	11	0.00	0.00		-268	-266	-232	-234
9	1	11	0.00	0.00		-308	-306	-272	-274	9	1	11	0.00	0.00		-412	-410	-376	-378
9	1	11	0.00	0.00		-310	-308	-274	-276	9	1	11	0.00	0.00		-444	-442	-408	-410
9	1	11	0.00	0.00		-472	-470	-436	-438	9	1	11	0.00	0.00		-458	-446	-412	-424
9	1	11	0.00	0.00		-238	-236	-202	-204	9	1	11	0.00	0.00		-424	-412	-378	-390
9	1	11	0.00	0.00		-202	-200	-166	-168	9	1	11	0.00	0.00		-406	-404	-370	-372
9	1	11	0.00	0.00		-234	-232	-198	-200	9	1	11	0.00	0.00		-240	-238	-204	-206
9	1	11	0.00	0.00		-404	-402	-368	-370	9	1	11	0.00	0.00		-276	-274	-240	-242
9	1	11	0.00	0.00		-186	-174	-140	-152	9	1	11	0.00	0.00		-270	-268	-234	-236
9	1	11	0.00	0.00		-272	-270	-236	-238	9	1	11	0.00	0.00		-372	-370	-336	-338
9	1	11	0.00	0.00		-134	-132	-98	-100	9	1	11	0.00	0.00		-206	-204	-170	-172
9	1	11	0.00	0.00		-344	-342	-308	-310	9	1	11	0.00	0.00		-342	-340	-306	-308
9	1	11	0.00	0.00		-583	-571	-510	-512	9	1	11	0.00	0.00		-378	-376	-342	-344
9	1	11	0.00	0.00		-336	-334	-300	-302	9	1	11	0.00	0.00		-322	-310	-276	-288
9	1	11	0.00	0.00		-550	-538	-504	-506	9	1	11	0.00	0.00		-168	-166	-132	-134
9	1	11	0.00	0.00		-306	-304	-270	-272	9	1	11	0.00	0.00		-118	-106	-72	-84
9	1	11	0.00	0.00		-508	-506	-472	-474	9	1	11	0.00						

Relazione di calcolo

10	111	0.00	0.00		-262	-228	-229	-263	10	111	0.00	0.00		-394	-360	-361	-395
10	111	0.00	0.00		-427	-393	-394	-428	10	111	0.00	0.00		-296	-262	-263	-297
10	111	0.00	0.00		-230	-196	-197	-231	10	111	0.00	0.00		-195	-161	-162	-196
10	111	0.00	0.00		-533	-499	-500	-534	10	111	0.00	0.00		-256	-222	-223	-257
10	111	0.00	0.00		-196	-162	-163	-197	10	111	0.00	0.00		-197	-163	-164	-198
10	111	0.00	0.00		-231	-197	-198	-232	10	111	0.00	0.00		-530	-496	-497	-531
10	111	0.00	0.00		-401	-367	-368	-402	10	111	0.00	0.00		-222	-188	-189	-223
10	111	0.00	0.00		-468	-434	-435	-469	10	111	0.00	0.00		-469	-435	-436	-470
10	111	0.00	0.00		-297	-263	-264	-298	10	111	0.00	0.00		-527	-493	-494	-528
10	111	0.00	0.00		-299	-265	-266	-300	10	111	0.00	0.00		-333	-299	-300	-334
10	111	0.00	0.00		-461	-427	-428	-462	10	111	0.00	0.00		-433	-399	-400	-434
10	111	0.00	0.00		-434	-400	-401	-435	10	111	0.00	0.00		-435	-401	-402	-436
10	111	0.00	0.00		-325	-291	-292	-326	10	111	0.00	0.00		-431	-397	-398	-432
10	111	0.00	0.00		-364	-330	-331	-365	10	111	0.00	0.00		-398	-364	-365	-399
10	111	0.00	0.00		-193	-159	-160	-194	10	111	0.00	0.00		-399	-365	-366	-400
10	111	0.00	0.00		-261	-227	-228	-262	10	111	0.00	0.00		-426	-392	-393	-427
10	111	0.00	0.00		-392	-358	-359	-393	10	111	0.00	0.00		-358	-324	-325	-359
10	111	0.00	0.00		-324	-290	-291	-325	10	111	0.00	0.00		-290	-256	-257	-291
10	111	0.00	0.00		-191	-157	-158	-192	10	111	0.00	0.00		-365	-331	-332	-366
10	111	0.00	0.00		-432	-398	-399	-433	10	111	0.00	0.00		-495	-461	-462	-496
10	111	0.00	0.00		-190	-156	-157	-191	10	111	0.00	0.00		-156	-122	-123	-157
10	111	0.00	0.00		-393	-359	-360	-394	10	111	0.00	0.00		-359	-325	-326	-360
10	111	0.00	0.00		-189	-155	-156	-190	10	111	0.00	0.00		-155	-121	-122	-156
10	111	0.00	0.00		-332	-298	-299	-333	10	111	0.00	0.00		-223	-189	-190	-224
10	111	0.00	0.00		-188	-154	-155	-189	10	111	0.00	0.00		-154	-120	-121	-155
10	111	0.00	0.00		-227	-193	-194	-228	10	111	0.00	0.00		-428	-394	-395	-429
10	111	0.00	0.00		-123	-89	-90	-124	10	111	0.00	0.00		-89	-5	-6	-90
10	111	0.00	0.00		-298	-264	-265	-299	10	111	0.00	0.00		-292	-258	-259	-293
10	111	0.00	0.00		-258	-224	-225	-259	10	111	0.00	0.00		-493	-459	-460	-494
10	111	0.00	0.00		-459	-425	-426	-460	10	111	0.00	0.00		-497	-463	-464	-498
10	111	0.00	0.00		-463	-429	-430	-464	10	111	0.00	0.00		-263	-229	-230	-264
10	111	0.00	0.00		-264	-230	-231	-265	10	111	0.00	0.00		-265	-231	-232	-266
10	111	0.00	0.00		-327	-293	-294	-328	10	111	0.00	0.00		-153	-119	-120	-154
10	111	0.00	0.00		-159	-125	-126	-160	10	111	0.00	0.00		-400	-366	-367	-401
10	111	0.00	0.00		-228	-194	-195	-229	10	111	0.00	0.00		-229	-195	-196	-230
10	111	0.00	0.00		-534	-500	-501	-535	10	111	0.00	0.00		-535	-501	-502	-536
10	111	0.00	0.00		-536	-502	-503	-537	10	111	0.00	0.00		-537	-503	-504	-538
10	111	0.00	0.00		-157	-123	-124	-158	10	111	0.00	0.00		-529	-495	-496	-530
10	111	0.00	0.00		-194	-160	-161	-195	10	111	0.00	0.00		-226	-192	-193	-227
10	111	0.00	0.00		-500	-466	-467	-501	10	111	0.00	0.00		-501	-467	-468	-502
10	111	0.00	0.00		-502	-468	-469	-503	10	111	0.00	0.00		-503	-469	-470	-504
10	111	0.00	0.00		-397	-363	-364	-398	10	111	0.00	0.00		-363	-329	-330	-364
10	111	0.00	0.00		-329	-295	-296	-330	10	111	0.00	0.00		-295	-261	-262	-296
10	111	0.00	0.00		-466	-432	-433	-467	10	111	0.00	0.00		-467	-433	-434	-468
10	111	0.00	0.00		-462	-428	-429	-463	10	111	0.00	0.00		-158	-124	-125	-159
10	111	0.00	0.00		-160	-126	-127	-161	10	111	0.00	0.00		-360	-326	-327	-361
10	111	0.00	0.00		-326	-292	-293	-327	10	111	0.00	0.00		-122	-88	-89	-123
10	111	0.00	0.00		-88	-4	-5	-89	10	111	0.00	0.00		-224	-190	-191	-225
10	111	0.00	0.00		-425	-391	-392	-426	10	111	0.00	0.00		-391	-357	-358	-392
10	111	0.00	0.00		-357	-323	-324	-358	10	111	0.00	0.00		-323	-289	-290	-324
10	111	0.00	0.00		-361	-327	-328	-362	10	111	0.00	0.00		-187	-153	-154	-188
10	111	0.00	0.00		-221	-187	-188	-222	10	111	0.00	0.00		-528	-494	-495	-529
10	111	0.00	0.00		-494	-460	-461	-495	10	111	0.00	0.00		-460	-426	-427	-461
10	111	0.00	0.00		-192	-158	-159	-193	10	111	0.00	0.00		-532	-498	-499	-533
10	111	0.00	0.00		-498	-464	-465	-499	10	111	0.00	0.00		-126	-92	-93	-127
10	111	0.00	0.00		-92	-8	-9	-93	10	111	0.00	0.00		-161	-127	-128	-162
10	111	0.00	0.00		-366	-332	-333	-367	10	111	0.00	0.00		-367	-333	-334	-368
10	111	0.00	0.00		-162	-128	-129	-163	10	111	0.00	0.00		-128	-94	-95	-129
10	111	0.00	0.00		-94	-10	-11	-95	10	111	0.00	0.00		-163	-129	-130	-164
10	111	0.00	0.00		-330	-296	-297	-331	10	111	0.00	0.00		-331	-297	-298	-332
10	111	0.00	0.00		-291	-257	-258	-292	10	111	0.00	0.00		-257	-223	-224	-258
10	111	0.00	0.00		-124	-90	-91	-125	10	111	0.00	0.00		-90	-6	-7	-91
10	111	0.00	0.00		-496	-462	-463	-497	10	111	0.00	0.00		-121	-87	-88	-122
10	111	0.00	0.00		-125	-91	-92	-126	10	111	0.00	0.00		-464	-430	-431	-465
10	111	0.00	0.00		-430	-396	-397	-431	10	111	0.00	0.00		-396	-362	-363	-397
10	111	0.00	0.00		-362	-328	-329	-363	10	111	0.00	0.00		-328	-294	-295	-329
10	111	0.00	0.00		-294	-260	-261	-295	10	111	0.00	0.00		-531	-497	-498	-532
10	111	0.00	0.00		-119	-85	-86	-120	10	111	0.00	0.00		-87	-3	-4	-88
10	111	0.00	0.00		-429	-395	-396	-430	10	111	0.00	0.00		-395	-361	-362	-396
10	111	0.00	0.00		-120	-86	-87	-121	10	111	0.00	0.00		-86	-2	-3	-87
10	111	0.00	0.00		-293	-259	-260	-294	10	111	0.00	0.00		-259	-225	-226	-260
10	111	0.00	0.00		-225	-191	-192	-226	10	111	0.00	0.00		-95	-11	-12	-96
10	111	0.00	0.00		-85	-1	-2	-86	10	111	0.00	0.00		-91	-7	-8	-92
10	111	0.00	0.00		-465	-431	-432	-466	10	111	0.00	0.00		-260	-226	-227	-261
10	111	0.00	0.00		-255	-221	-222	-256	10	111	0.00	0.00		-129	-95	-96	-130
10	111	0.00	0.00		-127	-93	-94	-128	10	111	0.00	0.00		-289	-255	-256	-290
10	111	0.00	0.00		-499	-465	-466	-500	10	111	0.00	0.00		-93	-9	-10	-94
11	233	0.00	0.00	0.41	-66	-78	-79	-67	11	233	0.00	0.00	0.41	-55	-67	-68	-56
11	233	0.00	0.00	0.41	-19	-31	-32	-20	11	233	0.00	0.00	0.41	-7	-19	-20	-8
11	233	0.00	0.00	0.41	-6	-18	-19	-7	11	233	0.00	0.00	0.41	-18	-30	-31	-19
11	233	0.00	0.00	0.41	-54	-66	-67	-55	11	233	0.00	0.00	0.41	-43	-55	-56	-44
11	233	0.00	0.00	0.41	-1	-13	-14	-2	11	233	0.00	0.00	0.41	-39	-51	-52	-40
11	233	0.00	0.00	0.41	-45	-57	-58	-46	11	233	0.00	0.00	0.41	-42	-54	-55	-43
11	233	0.00	0.00	0.41	-13	-25	-26	-14	11	233	0.00	0.00	0.41	-25	-37	-38	-26
11	233	0.00	0.00	0.41	-67	-79	-80	-68	11	233	0.00	0.00	0.41	-30	-42	-43	-31
11	233	0.00	0.00	0.41	-61	-73	-74	-62	11	233	0.00	0.00	0.41	-2	-14	-15	-3
11	233	0.00	0.00	0.41	-14	-26	-27	-15	11	233							

Relazione di calcolo

11	2	33	0.00	0.00	0.41	-26	-38	-39	-27	11	2	33	0.00	0.00	0.41	-38	-50	-51	-39
11	2	33	0.00	0.00	0.41	-44	-56	-57	-45	11	2	33	0.00	0.00	0.41	-23	-35	-36	-24
11	2	33	0.00	0.00	0.41	-3	-15	-16	-4	11	2	33	0.00	0.00	0.41	-29	-41	-42	-30
11	2	33	0.00	0.00	0.41	-8	-20	-21	-9	11	2	33	0.00	0.00	0.41	-41	-53	-54	-42
11	2	33	0.00	0.00	0.41	-70	-82	-83	-71	11	2	33	0.00	0.00	0.41	-69	-81	-82	-70
12	3	11	0.00	0.00		-538	-550	-549	-537	12	3	11	0.00	0.00		-550	-559	-558	-549
12	3	11	0.00	0.00		-561	-573	-572	-560	12	3	11	0.00	0.00		-571	-583	-582	-570
12	3	11	0.00	0.00		-554	-566	-565	-553	12	3	11	0.00	0.00		-559	-571	-570	-558
12	3	11	0.00	0.00		-552	-561	-560	-551	12	3	11	0.00	0.00		-528	-540	-539	-527
12	3	11	0.00	0.00		-583	-595	-594	-582	12	3	11	0.00	0.00		-540	-552	-551	-539
12	3	11	0.00	0.00		-595	-607	-606	-594	12	3	11	0.00	0.00		-590	-602	-601	-589
12	3	11	0.00	0.00		-545	-554	-553	-544	12	3	11	0.00	0.00		-591	-603	-602	-590
12	3	11	0.00	0.00		-582	-594	-593	-581	12	3	11	0.00	0.00		-581	-593	-592	-580
12	3	11	0.00	0.00		-580	-592	-591	-579	12	3	11	0.00	0.00		-573	-585	-584	-572
12	3	11	0.00	0.00		-585	-597	-596	-584	12	3	11	0.00	0.00		-569	-581	-580	-568
12	3	11	0.00	0.00		-533	-545	-544	-532	12	3	11	0.00	0.00		-567	-579	-578	-566
12	3	11	0.00	0.00		-555	-567	-566	-554	12	3	11	0.00	0.00		-566	-578	-577	-565
12	3	11	0.00	0.00		-578	-590	-589	-577	12	3	11	0.00	0.00		-536	-548	-547	-535
12	3	11	0.00	0.00		-535	-547	-546	-534	12	3	11	0.00	0.00		-534	-546	-545	-533
12	3	11	0.00	0.00		-532	-544	-543	-531	12	3	11	0.00	0.00		-568	-580	-579	-567
12	3	11	0.00	0.00		-592	-604	-603	-591	12	3	11	0.00	0.00		-565	-577	-576	-564
12	3	11	0.00	0.00		-577	-589	-588	-576	12	3	11	0.00	0.00		-589	-601	-600	-588
12	3	11	0.00	0.00		-531	-543	-542	-530	12	3	11	0.00	0.00		-579	-591	-590	-578
12	3	11	0.00	0.00		-570	-582	-581	-569	12	3	11	0.00	0.00		-564	-576	-575	-563
12	3	11	0.00	0.00		-576	-588	-587	-575	12	3	11	0.00	0.00		-588	-600	-599	-587
12	3	11	0.00	0.00		-530	-542	-541	-529	12	3	11	0.00	0.00		-546	-555	-554	-545
12	3	11	0.00	0.00		-537	-549	-548	-536	12	3	11	0.00	0.00		-563	-575	-574	-562
12	3	11	0.00	0.00		-575	-587	-586	-574	12	3	11	0.00	0.00		-587	-599	-598	-586
12	3	11	0.00	0.00		-529	-541	-540	-528	12	3	11	0.00	0.00		-594	-606	-605	-593
12	3	11	0.00	0.00		-593	-605	-604	-592	12	3	11	0.00	0.00		-562	-574	-573	-561
12	3	11	0.00	0.00		-574	-586	-585	-573	12	3	11	0.00	0.00		-586	-598	-597	-585

Elenco tipi solai

Simbologia

Ts = Numero del tipo solaio
Comm. = Commento
Rc = Ripartizione carichi
UN = Unidirezionale
PP = A piastra perimetrale
PB = A piastra bisettrice
Qps = Carico permanente strutturale
Qpn = Carico permanente non strutturale
QA = Primo carico accidentale
QA2 = Secondo carico accidentale
QA3 = Terzo carico accidentale
Rip. ter. = Ripartizione su aste terminali
Rip. int. = Ripartizione su aste interne
Lfl = Larghezza fascia laterale
s = Coeff. di riduzione
Hs = Altezza solaio
Sc = Spessore cappa
Crit. = Numero del criterio di progetto

Ts	Comm.	Rc	Qps <daN/mq>	Qpn <daN/mq>	QA <daN/mq>	QA2 <daN/mq>	QA3 <daN/mq>	Rip. ter.	Rip. int.	Lfl <m>	s	Hs <cm>	Sc <cm>	Crit.
1	Coperchio	PP	50.00	50.00	400.00	0.00	0.00	--	--	--	1.00	10.00	5.00	1

Elenco solai

Simbologia

Sol. = Numero del solaio
Ts = Numero del tipo solaio
Ord. = Orditura
Nodi = Nodi del solaio

Sol.	Ts	Ord. <grad>	Nodi											
0	1	0.00	-567	-568	-569	-570	-558	-549	-548	-547	-546	-555		
200	1	0.00	-540	-552	-561	-562	-563	-564	-565	-553	-544	-543	-542	-541

Carichi

Elenco tipi CCE

Simbologia

Tipo CCE = Tipo condizione di carico elementare
Comm. = Commento
Tipo = Tipologia
G = Permanente
Qv = Variabile vento
Q = Variabile
I = Da ignorare
A = Azione eccezionale
P = Precompressione
Durata = Durata del carico
N = Non definita
P = Permanente
L = Lunga
M = Media
B = Breve
I = Istantanea
γ min. = Coeff. γ_{min}
γ max = Coeff. γ_{max}
Ψ₀ = Coeff. Ψ₀
Ψ₁ = Coeff. Ψ₁
Ψ₂ = Coeff. Ψ₂
Ψ_{0,s} = Coeff. Ψ₀ sismico (D.M. 96)

Tipo CCE	Comm.	Tipo	Durata	γ min.	γ max	Ψ ₀	Ψ ₁	Ψ ₂	Ψ _{0,s}
1	D.M. 18 Permanenti strutturali	G	P	1.00	1.30				
2	D.M. 18 Permanenti non strutturali	G	L	0.80	1.50				

Condizioni di carico elementari

Relazione di calcolo

Simbologia

CCE =Numero della condizione di carico elementare
Comm. =Commento
Tipo CCE =Tipo di CCE per calcolo agli stati limite
Sic. =Contributo alla sicurezza
F = a favore
S = a sfavore
A = ambigua
Var. =Tipo di variabilità
B = di base
I = indipendente
A = ambigua
s =Coeff. di riduzione (T.A. o S.L. D.M. 96)
Dir. =Direzione del vento
Tipo =Tipologia di pressione vento
M = Massimizzata
E = Esterna
I = Interna
Mx =Moltiplicatore della massa in dir. X
My =Moltiplicatore della massa in dir. Y
Mz =Moltiplicatore della massa in dir. Z
Jpx =Moltiplicatore del momento d'inerzia intorno all'asse X
Jpy =Moltiplicatore del momento d'inerzia intorno all'asse Y
Jpz =Moltiplicatore del momento d'inerzia intorno all'asse Z

CCE	Comm.	Tipo	CCE	Sic.	Var.	s	Dir.	Tipo	Mx	My	Mz	Jpx	Jpy	Jpz
							<grad>							
1	G1		1	S	--	1.00	--	--	1.00	1.00	0.00	0.00	0.00	1.00
3	Qk		2	S	--	1.00	--	--	1.00	1.00	0.00	0.00	0.00	1.00

CCE	Comm.	Tipo	CCE	Sic.	Var.	s	Dir.	Tipo	Mx	My	Mz	Jpx	Jpy	Jpz
							<grad>							
2	G2		2	S	--	1.00	--	--	1.00	1.00	0.00	0.00	0.00	1.00

Elenco carichi asteCondizione di carico n. 1: G1
Carichi distribuiti

Simbologia

Asta =Numero dell'asta
N1 =Nodo iniziale
N2 =Nodo finale
E =Elemento provenienza del carico
S = Solaio
T = Tamponatura
NE =Numero elemento di provenienza del carico
T =Tipo di carico
QA = Primo carico accidentale
QA2 = Secondo carico accidentale
QA3 = Terzo carico accidentale
QPS = Carico permanente strutturale
QPN = Carico permanente non strutturale
VE = Vento
M = Manuale
DC =Direzione del carico
XG,YG,ZG = secondo gli assi globali
XL,YL,ZL = secondo gli assi locali
Xi =Distanza iniziale
Qi =Carico iniziale
Xf =Distanza finale
Qf =Carico finale

Asta	N1	N2	E	NE	T	DC	Xi	Qi	Xf	Qf
							<m>	<daN/m>	<m>	<daN/m>
0	-541	-540	S	200	QPS	ZG	0.00	12.82	0.36	12.82
0	-542	-541	S	200	QPS	ZG	0.00	12.82	0.36	12.82
0	-543	-542	S	200	QPS	ZG	0.00	12.82	0.36	12.82
0	-544	-543	S	200	QPS	ZG	0.00	12.82	0.36	12.82
0	-553	-544	S	200	QPS	ZG	0.00	12.82	0.40	12.82
0	-565	-553	S	200	QPS	ZG	0.00	12.82	0.40	12.82
0	-546	-555	S	0	QPS	ZG	0.00	12.53	0.40	12.53
0	-555	-567	S	0	QPS	ZG	0.00	12.53	0.40	12.53
0	-567	-568	S	0	QPS	ZG	0.00	12.53	0.45	12.53
0	-568	-569	S	0	QPS	ZG	0.00	12.53	0.45	12.53
0	-569	-570	S	0	QPS	ZG	0.00	12.53	0.45	12.53

Asta	N1	N2	E	NE	T	DC	Xi	Qi	Xf	Qf
							<m>	<daN/m>	<m>	<daN/m>
0	-540	-552	S	200	QPS	ZG	0.00	12.82	0.40	12.82
0	-552	-561	S	200	QPS	ZG	0.00	12.82	0.40	12.82
0	-561	-562	S	200	QPS	ZG	0.00	12.82	0.36	12.82
0	-562	-563	S	200	QPS	ZG	0.00	12.82	0.36	12.82
0	-563	-564	S	200	QPS	ZG	0.00	12.82	0.36	12.82
0	-564	-565	S	200	QPS	ZG	0.00	12.82	0.36	12.82
0	-547	-546	S	0	QPS	ZG	0.00	12.53	0.45	12.53
0	-548	-547	S	0	QPS	ZG	0.00	12.53	0.45	12.53
0	-549	-548	S	0	QPS	ZG	0.00	12.53	0.45	12.53
0	-558	-549	S	0	QPS	ZG	0.00	12.53	0.40	12.53
0	-570	-558	S	0	QPS	ZG	0.00	12.53	0.40	12.53

Condizione di carico n. 2: G2
Carichi distribuiti

Asta	N1	N2	E	NE	T	DC	Xi	Qi	Xf	Qf
							<m>	<daN/m>	<m>	<daN/m>
0	-546	-555	S	0	QPN	ZG	0.00	12.53	0.40	12.53
0	-548	-547	S	0	QPN	ZG	0.00	12.53	0.45	12.53
0	-568	-569	S	0	QPN	ZG	0.00	12.53	0.45	12.53
0	-570	-558	S	0	QPN	ZG	0.00	12.53	0.40	12.53

Asta	N1	N2	E	NE	T	DC	Xi	Qi	Xf	Qf
							<m>	<daN/m>	<m>	<daN/m>
0	-547	-546	S	0	QPN	ZG	0.00	12.53	0.45	12.53
0	-567	-568	S	0	QPN	ZG	0.00	12.53	0.45	12.53
0	-558	-549	S	0	QPN	ZG	0.00	12.53	0.40	12.53

Asta	N1	N2	E	NE	T	DC	Xi	Qi	Xf	Qf
							<m>	<daN/m>	<m>	<daN/m>
0	-555	-567	S	0	QPN	ZG	0.00	12.53	0.40	12.53
0	-549	-548	S	0	QPN	ZG	0.00	12.53	0.45	12.53
0	-569	-570	S	0	QPN	ZG	0.00	12.53	0.45	12.53

Condizione di carico n. 3: Qk
Carichi distribuiti

Asta	N1	N2	E	NE	T	DC	Xi	Qi	Xf	Qf
							<m>	<daN/m>	<m>	<daN/m>
0	-546	-555	S	0	QA	ZG	0.00	100.25	0.40	100.25
0	-548	-547	S	0	QA	ZG	0.00	100.25	0.45	100.25
0	-568	-569	S	0	QA	ZG	0.00	100.25	0.45	100.25
0	-570	-558	S	0	QA	ZG	0.00	100.25	0.40	100.25

Asta	N1	N2	E	NE	T	DC	Xi	Qi	Xf	Qf
							<m>	<daN/m>	<m>	<daN/m>
0	-547	-546	S	0	QA	ZG	0.00	100.25	0.45	100.25
0	-567	-568	S	0	QA	ZG	0.00	100.25	0.45	100.25
0	-558	-549	S	0	QA	ZG	0.00	100.25	0.40	100.25

Asta	N1	N2	E	NE	T	DC	Xi	Qi	Xf	Qf
							<m>	<daN/m>	<m>	<daN/m>
0	-555	-567	S	0	QA	ZG	0.00	100.25	0.40	100.25
0	-549	-548	S	0	QA	ZG	0.00	100.25	0.45	100.25
0	-569	-570	S	0	QA	ZG	0.00	100.25	0.45	100.25

Elenco carichi elementi bidimensionaliElenco peso proprio elementi bidimensionali

Simbologia

Tb =Numero del tipo muro/elemento bidimensionale
Comm. =Commento
Spess. =Spessore
Mat. =Materiale
P =Peso specifico
PQ =Peso specifico per unità di superficie

Tb	Comm.	Spess.	Mat.	P	PQ
		<cm>		<daN/mc>	<daN/mq>
1	Parete vasca	20.00	Calcestruzzo classe C32/40	2500.00	500.00
2	Soletta fondazione vasca	40.00	Calcestruzzo classe C32/40	2500.00	1000.00

Relazione di calcolo

3	Soletta copertura vasca	25.00	Calcestruzzo classe C32/40	2500.00	625.00
---	-------------------------	-------	----------------------------	---------	--------

Condizione di carico n. 2: G2
Carichi uniformi

Simbologia

Bid. = Numero del muro/elemento bidimensionale

N1 = Nodo1

N2 = Nodo2

N3 = Nodo3

N4 = Nodo4

T = Tipo di carico

PP = Peso proprio

VE = Vento

M = Manuale

DC = Direzione del carico

G = secondo gli assi globali

L = secondo gli assi locali

Qx = Carico in dir. X

Qy = Carico in dir. Y

Qz = Carico in dir. Z

Bid.	N1	N2	N3	N4	T	DC	Qx <daN/mq>	Qy <daN/mq>	Qz <daN/mq>
12	-538	-550	-549	-537	M	G	0.00	0.00	100.00
12	-561	-573	-572	-560	M	G	0.00	0.00	100.00
12	-554	-566	-565	-553	M	G	0.00	0.00	100.00
12	-552	-561	-560	-551	M	G	0.00	0.00	100.00
12	-583	-595	-594	-582	M	G	0.00	0.00	100.00
12	-595	-607	-606	-594	M	G	0.00	0.00	100.00
12	-545	-554	-553	-544	M	G	0.00	0.00	100.00
12	-582	-594	-593	-581	M	G	0.00	0.00	100.00
12	-580	-592	-591	-579	M	G	0.00	0.00	100.00
12	-585	-597	-596	-584	M	G	0.00	0.00	100.00
12	-533	-545	-544	-532	M	G	0.00	0.00	100.00
12	-555	-567	-566	-554	M	G	0.00	0.00	100.00
12	-578	-590	-589	-577	M	G	0.00	0.00	100.00
12	-535	-547	-546	-534	M	G	0.00	0.00	100.00
12	-532	-544	-543	-531	M	G	0.00	0.00	100.00
12	-592	-604	-603	-591	M	G	0.00	0.00	100.00
12	-577	-589	-588	-576	M	G	0.00	0.00	100.00
12	-531	-543	-542	-530	M	G	0.00	0.00	100.00
12	-570	-582	-581	-569	M	G	0.00	0.00	100.00
12	-576	-588	-587	-575	M	G	0.00	0.00	100.00
12	-530	-542	-541	-529	M	G	0.00	0.00	100.00
12	-537	-549	-548	-536	M	G	0.00	0.00	100.00
12	-575	-587	-586	-574	M	G	0.00	0.00	100.00
12	-529	-541	-540	-528	M	G	0.00	0.00	100.00
12	-593	-605	-604	-592	M	G	0.00	0.00	100.00
12	-574	-586	-585	-573	M	G	0.00	0.00	100.00

Bid.	N1	N2	N3	N4	T	DC	Qx <daN/mq>	Qy <daN/mq>	Qz <daN/mq>
12	-550	-559	-558	-549	M	G	0.00	0.00	100.00
12	-571	-583	-582	-570	M	G	0.00	0.00	100.00
12	-559	-571	-570	-558	M	G	0.00	0.00	100.00
12	-528	-540	-539	-527	M	G	0.00	0.00	100.00
12	-540	-552	-551	-539	M	G	0.00	0.00	100.00
12	-590	-602	-601	-589	M	G	0.00	0.00	100.00
12	-591	-603	-602	-590	M	G	0.00	0.00	100.00
12	-581	-593	-592	-580	M	G	0.00	0.00	100.00
12	-573	-585	-584	-572	M	G	0.00	0.00	100.00
12	-569	-581	-580	-568	M	G	0.00	0.00	100.00
12	-567	-579	-578	-566	M	G	0.00	0.00	100.00
12	-566	-578	-577	-565	M	G	0.00	0.00	100.00
12	-536	-548	-547	-535	M	G	0.00	0.00	100.00
12	-534	-546	-545	-533	M	G	0.00	0.00	100.00
12	-568	-580	-579	-567	M	G	0.00	0.00	100.00
12	-565	-577	-576	-564	M	G	0.00	0.00	100.00
12	-589	-601	-600	-588	M	G	0.00	0.00	100.00
12	-579	-591	-590	-578	M	G	0.00	0.00	100.00
12	-564	-576	-575	-563	M	G	0.00	0.00	100.00
12	-588	-600	-599	-587	M	G	0.00	0.00	100.00
12	-546	-555	-554	-545	M	G	0.00	0.00	100.00
12	-563	-575	-574	-562	M	G	0.00	0.00	100.00
12	-587	-599	-598	-586	M	G	0.00	0.00	100.00
12	-594	-606	-605	-593	M	G	0.00	0.00	100.00
12	-562	-574	-573	-561	M	G	0.00	0.00	100.00
12	-586	-598	-597	-585	M	G	0.00	0.00	100.00

Condizione di carico n. 3: Qk
Carichi uniformi

Bid.	N1	N2	N3	N4	T	DC	Qx <daN/mq>	Qy <daN/mq>	Qz <daN/mq>
12	-538	-550	-549	-537	M	G	0.00	0.00	500.00
12	-561	-573	-572	-560	M	G	0.00	0.00	500.00
12	-554	-566	-565	-553	M	G	0.00	0.00	500.00
12	-552	-561	-560	-551	M	G	0.00	0.00	500.00
12	-583	-595	-594	-582	M	G	0.00	0.00	500.00
12	-595	-607	-606	-594	M	G	0.00	0.00	500.00
12	-545	-554	-553	-544	M	G	0.00	0.00	500.00
12	-582	-594	-593	-581	M	G	0.00	0.00	500.00
12	-580	-592	-591	-579	M	G	0.00	0.00	500.00
12	-585	-597	-596	-584	M	G	0.00	0.00	500.00
12	-533	-545	-544	-532	M	G	0.00	0.00	500.00
12	-555	-567	-566	-554	M	G	0.00	0.00	500.00
12	-578	-590	-589	-577	M	G	0.00	0.00	500.00
12	-535	-547	-546	-534	M	G	0.00	0.00	500.00
12	-532	-544	-543	-531	M	G	0.00	0.00	500.00
12	-592	-604	-603	-591	M	G	0.00	0.00	500.00
12	-577	-589	-588	-576	M	G	0.00	0.00	500.00
12	-531	-543	-542	-530	M	G	0.00	0.00	500.00
12	-570	-582	-581	-569	M	G	0.00	0.00	500.00
12	-576	-588	-587	-575	M	G	0.00	0.00	500.00
12	-530	-542	-541	-529	M	G	0.00	0.00	500.00
12	-537	-549	-548	-536	M	G	0.00	0.00	500.00
12	-575	-587	-586	-574	M	G	0.00	0.00	500.00
12	-529	-541	-540	-528	M	G	0.00	0.00	500.00
12	-593	-605	-604	-592	M	G	0.00	0.00	500.00
12	-574	-586	-585	-573	M	G	0.00	0.00	500.00

Bid.	N1	N2	N3	N4	T	DC	Qx <daN/mq>	Qy <daN/mq>	Qz <daN/mq>
12	-550	-559	-558	-549	M	G	0.00	0.00	500.00
12	-571	-583	-582	-570	M	G	0.00	0.00	500.00
12	-559	-571	-570	-558	M	G	0.00	0.00	500.00
12	-528	-540	-539	-527	M	G	0.00	0.00	500.00
12	-540	-552	-551	-539	M	G	0.00	0.00	500.00
12	-590	-602	-601	-589	M	G	0.00	0.00	500.00
12	-591	-603	-602	-590	M	G	0.00	0.00	500.00
12	-581	-593	-592	-580	M	G	0.00	0.00	500.00
12	-573	-585	-584	-572	M	G	0.00	0.00	500.00
12	-569	-581	-580	-568	M	G	0.00	0.00	500.00
12	-567	-579	-578	-566	M	G	0.00	0.00	500.00
12	-566	-578	-577	-565	M	G	0.00	0.00	500.00
12	-536	-548	-547	-535	M	G	0.00	0.00	500.00
12	-534	-546	-545	-533	M	G	0.00	0.00	500.00
12	-568	-580	-579	-567	M	G	0.00	0.00	500.00
12	-565	-577	-576	-564	M	G	0.00	0.00	500.00
12	-589	-601	-600	-588	M	G	0.00	0.00	500.00
12	-579	-591	-590	-578	M	G	0.00	0.00	500.00
12	-564	-576	-575	-563	M	G	0.00	0.00	500.00
12	-588	-600	-599	-587	M	G	0.00	0.00	500.00
12	-546	-555	-554	-545	M	G	0.00	0.00	500.00
12	-563	-575	-574	-562	M	G	0.00	0.00	500.00
12	-587	-599	-598	-586	M	G	0.00	0.00	500.00
12	-594	-606	-605	-593	M	G	0.00	0.00	500.00
12	-562	-574	-573	-561	M	G	0.00	0.00	500.00
12	-586	-598	-597	-585	M	G	0.00	0.00	500.00

Condizione di carico n. 3: Qk
Carichi idrostatici

Simbologia

Bid. = Numero del muro/elemento bidimensionale

N1 = Nodo1

N2 = Nodo2

N3 = Nodo3

N4 = Nodo4

Zi = Coordinata Z globale d'inizio carico

QYi = Componente iniziale del carico in direzione Y locale dell'elemento bidimensionale

Zf = Coordinata Z globale di fine carico

QYf = Componente finale del carico in direzione Y locale dell'elemento bidimensionale

Bid.	N1	N2	N3	N4	Zi <m>	QYi <daN/m>	Zf <m>	QYf <daN/m>
7	-527	-539	-505	-493	-2.00	0.00	-5.23	3230.00
7	-479	-481	-447	-445	-2.00	0.00	-5.23	3230.00
7	-437	-439	-405	-403	-2.00	0.00	-5.23	3230.00
7	-441	-443	-409	-407	-2.00	0.00	-5.23	3230.00

Bid.	N1	N2	N3	N4	Zi <m>	QYi <daN/m>	Zf <m>	QYf <daN/m>
7	-477	-479	-445	-443	-2.00	0.00	-5.23	3230.00
7	-425	-437	-403	-391	-2.00	0.00	-5.23	3230.00
7	-439	-441	-407	-405	-2.00	0.00	-5.23	3230.00
7	-443	-445	-411	-409	-2.00	0.00	-5.23	3230.00

Relazione di calcolo

7	-445	-447	-413	-411	-2.00	0.00	-5.23	3230.00	7	-391	-403	-369	-357	-2.00	0.00	-5.23	3230.00
7	-403	-405	-371	-369	-2.00	0.00	-5.23	3230.00	7	-405	-407	-373	-371	-2.00	0.00	-5.23	3230.00
7	-407	-409	-375	-373	-2.00	0.00	-5.23	3230.00	7	-409	-411	-377	-375	-2.00	0.00	-5.23	3230.00
7	-411	-413	-379	-377	-2.00	0.00	-5.23	3230.00	7	-357	-369	-335	-323	-2.00	0.00	-5.23	3230.00
7	-369	-371	-337	-335	-2.00	0.00	-5.23	3230.00	7	-371	-373	-339	-337	-2.00	0.00	-5.23	3230.00
7	-373	-375	-341	-339	-2.00	0.00	-5.23	3230.00	7	-375	-377	-343	-341	-2.00	0.00	-5.23	3230.00
7	-377	-379	-345	-343	-2.00	0.00	-5.23	3230.00	7	-323	-335	-301	-289	-2.00	0.00	-5.23	3230.00
7	-335	-337	-303	-301	-2.00	0.00	-5.23	3230.00	7	-337	-339	-305	-303	-2.00	0.00	-5.23	3230.00
7	-339	-341	-307	-305	-2.00	0.00	-5.23	3230.00	7	-341	-343	-309	-307	-2.00	0.00	-5.23	3230.00
7	-343	-345	-311	-309	-2.00	0.00	-5.23	3230.00	7	-289	-301	-267	-255	-2.00	0.00	-5.23	3230.00
7	-301	-303	-269	-267	-2.00	0.00	-5.23	3230.00	7	-303	-305	-271	-269	-2.00	0.00	-5.23	3230.00
7	-305	-307	-273	-271	-2.00	0.00	-5.23	3230.00	7	-307	-309	-275	-273	-2.00	0.00	-5.23	3230.00
7	-309	-311	-277	-275	-2.00	0.00	-5.23	3230.00	7	-255	-267	-233	-221	-2.00	0.00	-5.23	3230.00
7	-267	-269	-235	-233	-2.00	0.00	-5.23	3230.00	7	-269	-271	-237	-235	-2.00	0.00	-5.23	3230.00
7	-271	-273	-239	-237	-2.00	0.00	-5.23	3230.00	7	-273	-275	-241	-239	-2.00	0.00	-5.23	3230.00
7	-275	-277	-243	-241	-2.00	0.00	-5.23	3230.00	7	-221	-233	-199	-187	-2.00	0.00	-5.23	3230.00
7	-233	-235	-201	-199	-2.00	0.00	-5.23	3230.00	7	-235	-237	-203	-201	-2.00	0.00	-5.23	3230.00
7	-237	-239	-205	-203	-2.00	0.00	-5.23	3230.00	7	-239	-241	-207	-205	-2.00	0.00	-5.23	3230.00
7	-241	-243	-209	-207	-2.00	0.00	-5.23	3230.00	7	-169	-171	-137	-135	-2.00	0.00	-5.23	3230.00
7	-201	-203	-169	-167	-2.00	0.00	-5.23	3230.00	7	-167	-169	-135	-133	-2.00	0.00	-5.23	3230.00
7	-199	-201	-167	-165	-2.00	0.00	-5.23	3230.00	7	-165	-167	-133	-131	-2.00	0.00	-5.23	3230.00
7	-187	-199	-165	-153	-2.00	0.00	-5.23	3230.00	7	-153	-165	-131	-119	-2.00	0.00	-5.23	3230.00
7	-513	-515	-481	-479	-2.00	0.00	-5.23	3230.00	7	-459	-471	-437	-425	-2.00	0.00	-5.23	3230.00
7	-471	-473	-439	-437	-2.00	0.00	-5.23	3230.00	7	-473	-475	-441	-439	-2.00	0.00	-5.23	3230.00
7	-139	-141	-107	-105	-2.00	0.00	-5.23	3230.00	7	-105	-107	-73	-61	-2.00	0.00	-5.23	3230.00
7	-137	-139	-105	-103	-2.00	0.00	-5.23	3230.00	7	-103	-105	-61	-49	-2.00	0.00	-5.23	3230.00
7	-539	-551	-507	-505	-2.00	0.00	-5.23	3230.00	7	-551	-560	-509	-507	-2.00	0.00	-5.23	3230.00
7	-560	-572	-511	-509	-2.00	0.00	-5.23	3230.00	7	-572	-584	-513	-511	-2.00	0.00	-5.23	3230.00
7	-584	-596	-515	-513	-2.00	0.00	-5.23	3230.00	7	-493	-505	-471	-459	-2.00	0.00	-5.23	3230.00
7	-505	-507	-473	-471	-2.00	0.00	-5.23	3230.00	7	-507	-509	-475	-473	-2.00	0.00	-5.23	3230.00
7	-509	-511	-477	-475	-2.00	0.00	-5.23	3230.00	7	-511	-513	-479	-477	-2.00	0.00	-5.23	3230.00
7	-85	-97	-13	-1	-2.00	0.00	-5.23	3230.00	7	-171	-173	-139	-137	-2.00	0.00	-5.23	3230.00
7	-203	-205	-171	-169	-2.00	0.00	-5.23	3230.00	7	-99	-101	-37	-25	-2.00	0.00	-5.23	3230.00
7	-475	-477	-443	-441	-2.00	0.00	-5.23	3230.00	7	-97	-99	-25	-13	-2.00	0.00	-5.23	3230.00
7	-101	-103	-49	-37	-2.00	0.00	-5.23	3230.00	7	-207	-209	-175	-173	-2.00	0.00	-5.23	3230.00
7	-173	-175	-141	-139	-2.00	0.00	-5.23	3230.00	7	-205	-207	-173	-171	-2.00	0.00	-5.23	3230.00
7	-135	-137	-103	-101	-2.00	0.00	-5.23	3230.00	7	-133	-135	-101	-99	-2.00	0.00	-5.23	3230.00
7	-131	-133	-99	-97	-2.00	0.00	-5.23	3230.00	7	-119	-131	-97	-85	-2.00	0.00	-5.23	3230.00
8	-214	-215	-181	-180	-2.00	0.00	-5.23	3230.00	8	-520	-521	-487	-486	-2.00	0.00	-5.23	3230.00
8	-149	-150	-116	-115	-2.00	0.00	-5.23	3230.00	8	-148	-149	-115	-114	-2.00	0.00	-5.23	3230.00
8	-519	-520	-486	-485	-2.00	0.00	-5.23	3230.00	8	-114	-115	-81	-80	-2.00	0.00	-5.23	3230.00
8	-115	-116	-82	-81	-2.00	0.00	-5.23	3230.00	8	-453	-454	-420	-419	-2.00	0.00	-5.23	3230.00
8	-413	-414	-380	-379	-2.00	0.00	-5.23	3230.00	8	-180	-181	-147	-146	-2.00	0.00	-5.23	3230.00
8	-247	-248	-214	-213	-2.00	0.00	-5.23	3230.00	8	-248	-249	-215	-214	-2.00	0.00	-5.23	3230.00
8	-213	-214	-180	-179	-2.00	0.00	-5.23	3230.00	8	-181	-182	-148	-147	-2.00	0.00	-5.23	3230.00
8	-451	-452	-418	-417	-2.00	0.00	-5.23	3230.00	8	-452	-453	-419	-418	-2.00	0.00	-5.23	3230.00
8	-184	-185	-151	-150	-2.00	0.00	-5.23	3230.00	8	-185	-186	-152	-151	-2.00	0.00	-5.23	3230.00
8	-147	-148	-114	-113	-2.00	0.00	-5.23	3230.00	8	-383	-384	-350	-349	-2.00	0.00	-5.23	3230.00
8	-384	-385	-351	-350	-2.00	0.00	-5.23	3230.00	8	-150	-151	-117	-116	-2.00	0.00	-5.23	3230.00
8	-215	-216	-182	-181	-2.00	0.00	-5.23	3230.00	8	-346	-347	-313	-312	-2.00	0.00	-5.23	3230.00
8	-347	-348	-314	-313	-2.00	0.00	-5.23	3230.00	8	-348	-349	-315	-314	-2.00	0.00	-5.23	3230.00
8	-349	-350	-316	-315	-2.00	0.00	-5.23	3230.00	8	-350	-351	-317	-316	-2.00	0.00	-5.23	3230.00
8	-351	-352	-318	-317	-2.00	0.00	-5.23	3230.00	8	-311	-312	-278	-277	-2.00	0.00	-5.23	3230.00
8	-312	-313	-279	-278	-2.00	0.00	-5.23	3230.00	8	-313	-314	-280	-279	-2.00	0.00	-5.23	3230.00
8	-314	-315	-281	-280	-2.00	0.00	-5.23	3230.00	8	-315	-316	-282	-281	-2.00	0.00	-5.23	3230.00
8	-316	-317	-283	-282	-2.00	0.00	-5.23	3230.00	8	-317	-318	-284	-283	-2.00	0.00	-5.23	3230.00
8	-277	-278	-244	-243	-2.00	0.00	-5.23	3230.00	8	-278	-279	-245	-244	-2.00	0.00	-5.23	3230.00
8	-279	-280	-246	-245	-2.00	0.00	-5.23	3230.00	8	-280	-281	-247	-246	-2.00	0.00	-5.23	3230.00
8	-281	-282	-248	-247	-2.00	0.00	-5.23	3230.00	8	-282	-283	-249	-248	-2.00	0.00	-5.23	3230.00
8	-283	-284	-250	-249	-2.00	0.00	-5.23	3230.00	8	-243	-244	-210	-209	-2.00	0.00	-5.23	3230.00
8	-244	-245	-211	-210	-2.00	0.00	-5.23	3230.00	8	-245	-246	-212	-211	-2.00	0.00	-5.23	3230.00
8	-246	-247	-213	-212	-2.00	0.00	-5.23	3230.00	8	-415	-416	-382	-381	-2.00	0.00	-5.23	3230.00
8	-386	-387	-353	-352	-2.00	0.00	-5.23	3230.00	8	-249	-250	-216	-215	-2.00	0.00	-5.23	3230.00
8	-179	-180	-146	-145	-2.00	0.00	-5.23	3230.00	8	-389	-390	-356	-355	-2.00	0.00	-5.23	3230.00
8	-217	-218	-184	-183	-2.00	0.00	-5.23	3230.00	8	-212	-213	-179	-178	-2.00	0.00	-5.23	3230.00
8	-178	-179	-145	-144	-2.00	0.00	-5.23	3230.00	8	-597	-598	-517	-516	-2.00	0.00	-5.23	3230.00
8	-598	-599	-518	-517	-2.00	0.00	-5.23	3230.00	8	-599	-600	-519	-518	-2.00	0.00	-5.23	3230.00
8	-600	-601	-520	-519	-2.00	0.00	-5.23	3230.00	8	-601	-602	-521	-520	-2.00	0.00	-5.23	3230.00
8	-602	-603	-522	-521	-2.00	0.00	-5.23	3230.00	8	-515	-516	-482	-481	-2.00	0.00	-5.23	3230.00
8	-516	-517	-483	-482	-2.00	0.00	-5.23	3230.00	8	-517	-518	-484	-483	-2.00	0.00	-5.23	3230.00
8	-518	-519	-485	-484	-2.00	0.00	-5.23	3230.00	8	-596	-597	-516	-515	-2.00	0.00	-5.23	3230.00
8	-320	-321	-287	-286	-2.00	0.00	-5.23	3230.00	8	-321	-322	-288	-287	-2.00	0.00	-5.23	3230.00
8	-521	-522	-488	-487	-2.00	0.00	-5.23	3230.00	8	-144	-145	-111	-110	-2.00	0.00	-5.23	3230.00
8	-110	-111	-77	-76	-2.00	0.00	-5.23	3230.00	8	-483	-484	-450	-449	-2.00	0.00	-5.23	3230.00
8	-284	-285	-251	-250	-2.00	0.00	-5.23	3230.00	8	-285	-286	-252	-251	-2.00	0.00	-5.23	3230.00
8	-286	-287	-253	-252	-2.00	0.00	-5.23	3230.00	8	-287	-288	-254	-253	-2.00	0.00	-5.23	3230.00
8	-447	-448	-414	-413	-2.00	0.00	-5.23	3230.00	8	-142	-143	-109	-108	-2.00	0.00	-5.23	3230.00
8	-108	-109	-75	-74	-2.00	0.00	-5.23	3230.00	8	-450	-451						

Relazione di calcolo

8	-449	-450	-416	-415	-2.00	0.00	-5.23	3230.00	8	-146	-147	-113	-112	-2.00	0.00	-5.23	3230.00
8	-422	-423	-389	-388	-2.00	0.00	-5.23	3230.00	8	-176	-177	-143	-142	-2.00	0.00	-5.23	3230.00
8	-318	-319	-285	-284	-2.00	0.00	-5.23	3230.00	8	-414	-415	-381	-380	-2.00	0.00	-5.23	3230.00
8	-486	-487	-453	-452	-2.00	0.00	-5.23	3230.00	8	-456	-457	-423	-422	-2.00	0.00	-5.23	3230.00
8	-354	-355	-321	-320	-2.00	0.00	-5.23	3230.00	8	-481	-482	-448	-447	-2.00	0.00	-5.23	3230.00
8	-355	-356	-322	-321	-2.00	0.00	-5.23	3230.00	8	-421	-422	-388	-387	-2.00	0.00	-5.23	3230.00
8	-484	-485	-451	-450	-2.00	0.00	-5.23	3230.00	8	-485	-486	-452	-451	-2.00	0.00	-5.23	3230.00
8	-107	-108	-74	-73	-2.00	0.00	-5.23	3230.00	8	-603	-604	-523	-522	-2.00	0.00	-5.23	3230.00
8	-457	-458	-424	-423	-2.00	0.00	-5.23	3230.00	8	-210	-211	-177	-176	-2.00	0.00	-5.23	3230.00
8	-522	-523	-489	-488	-2.00	0.00	-5.23	3230.00	8	-523	-524	-490	-489	-2.00	0.00	-5.23	3230.00
9	-514	-512	-478	-480	-2.00	0.00	-5.23	3230.00	9	-100	-98	-24	-36	-2.00	0.00	-5.23	3230.00
9	-356	-344	-310	-322	-2.00	0.00	-5.23	3230.00	9	-370	-368	-334	-336	-2.00	0.00	-5.23	3230.00
9	-506	-504	-470	-472	-2.00	0.00	-5.23	3230.00	9	-268	-266	-232	-234	-2.00	0.00	-5.23	3230.00
9	-308	-306	-272	-274	-2.00	0.00	-5.23	3230.00	9	-412	-410	-376	-378	-2.00	0.00	-5.23	3230.00
9	-310	-308	-274	-276	-2.00	0.00	-5.23	3230.00	9	-444	-442	-408	-410	-2.00	0.00	-5.23	3230.00
9	-472	-470	-436	-438	-2.00	0.00	-5.23	3230.00	9	-458	-446	-412	-424	-2.00	0.00	-5.23	3230.00
9	-238	-236	-202	-204	-2.00	0.00	-5.23	3230.00	9	-424	-412	-378	-390	-2.00	0.00	-5.23	3230.00
9	-202	-200	-166	-168	-2.00	0.00	-5.23	3230.00	9	-406	-404	-370	-372	-2.00	0.00	-5.23	3230.00
9	-234	-232	-198	-200	-2.00	0.00	-5.23	3230.00	9	-240	-238	-204	-206	-2.00	0.00	-5.23	3230.00
9	-404	-402	-368	-370	-2.00	0.00	-5.23	3230.00	9	-276	-274	-240	-242	-2.00	0.00	-5.23	3230.00
9	-186	-174	-140	-152	-2.00	0.00	-5.23	3230.00	9	-270	-268	-234	-236	-2.00	0.00	-5.23	3230.00
9	-272	-270	-236	-238	-2.00	0.00	-5.23	3230.00	9	-372	-370	-336	-338	-2.00	0.00	-5.23	3230.00
9	-134	-132	-98	-100	-2.00	0.00	-5.23	3230.00	9	-206	-204	-170	-172	-2.00	0.00	-5.23	3230.00
9	-344	-342	-308	-310	-2.00	0.00	-5.23	3230.00	9	-342	-340	-306	-308	-2.00	0.00	-5.23	3230.00
9	-583	-571	-510	-512	-2.00	0.00	-5.23	3230.00	9	-378	-376	-342	-344	-2.00	0.00	-5.23	3230.00
9	-336	-334	-300	-302	-2.00	0.00	-5.23	3230.00	9	-322	-310	-276	-288	-2.00	0.00	-5.23	3230.00
9	-550	-538	-504	-506	-2.00	0.00	-5.23	3230.00	9	-168	-166	-132	-134	-2.00	0.00	-5.23	3230.00
9	-306	-304	-270	-272	-2.00	0.00	-5.23	3230.00	9	-118	-106	-72	-84	-2.00	0.00	-5.23	3230.00
9	-508	-506	-472	-474	-2.00	0.00	-5.23	3230.00	9	-288	-276	-242	-254	-2.00	0.00	-5.23	3230.00
9	-492	-480	-446	-458	-2.00	0.00	-5.23	3230.00	9	-376	-374	-340	-342	-2.00	0.00	-5.23	3230.00
9	-374	-372	-338	-340	-2.00	0.00	-5.23	3230.00	9	-476	-474	-440	-442	-2.00	0.00	-5.23	3230.00
9	-172	-170	-136	-138	-2.00	0.00	-5.23	3230.00	9	-474	-472	-438	-440	-2.00	0.00	-5.23	3230.00
9	-254	-242	-208	-220	-2.00	0.00	-5.23	3230.00	9	-242	-240	-206	-208	-2.00	0.00	-5.23	3230.00
9	-595	-583	-512	-514	-2.00	0.00	-5.23	3230.00	9	-442	-440	-406	-408	-2.00	0.00	-5.23	3230.00
9	-236	-234	-200	-202	-2.00	0.00	-5.23	3230.00	9	-208	-206	-172	-174	-2.00	0.00	-5.23	3230.00
9	-438	-436	-402	-404	-2.00	0.00	-5.23	3230.00	9	-526	-514	-480	-492	-2.00	0.00	-5.23	3230.00
9	-410	-408	-374	-376	-2.00	0.00	-5.23	3230.00	9	-408	-406	-372	-374	-2.00	0.00	-5.23	3230.00
9	-510	-508	-474	-476	-2.00	0.00	-5.23	3230.00	9	-220	-208	-174	-186	-2.00	0.00	-5.23	3230.00
9	-390	-378	-344	-356	-2.00	0.00	-5.23	3230.00	9	-138	-136	-102	-104	-2.00	0.00	-5.23	3230.00
9	-104	-102	-48	-60	-2.00	0.00	-5.23	3230.00	9	-136	-134	-100	-102	-2.00	0.00	-5.23	3230.00
9	-102	-100	-36	-48	-2.00	0.00	-5.23	3230.00	9	-607	-595	-514	-526	-2.00	0.00	-5.23	3230.00
9	-512	-510	-476	-478	-2.00	0.00	-5.23	3230.00	9	-132	-130	-96	-98	-2.00	0.00	-5.23	3230.00
9	-446	-444	-410	-412	-2.00	0.00	-5.23	3230.00	9	-340	-338	-304	-306	-2.00	0.00	-5.23	3230.00
9	-571	-559	-508	-510	-2.00	0.00	-5.23	3230.00	9	-559	-550	-506	-508	-2.00	0.00	-5.23	3230.00
9	-440	-438	-404	-406	-2.00	0.00	-5.23	3230.00	9	-478	-476	-442	-444	-2.00	0.00	-5.23	3230.00
9	-302	-300	-266	-268	-2.00	0.00	-5.23	3230.00	9	-106	-104	-60	-72	-2.00	0.00	-5.23	3230.00
9	-152	-140	-106	-118	-2.00	0.00	-5.23	3230.00	9	-304	-302	-268	-270	-2.00	0.00	-5.23	3230.00
9	-166	-164	-130	-132	-2.00	0.00	-5.23	3230.00	9	-98	-96	-12	-24	-2.00	0.00	-5.23	3230.00
9	-480	-478	-444	-446	-2.00	0.00	-5.23	3230.00	9	-274	-272	-238	-240	-2.00	0.00	-5.23	3230.00
9	-338	-336	-302	-304	-2.00	0.00	-5.23	3230.00	9	-200	-198	-164	-166	-2.00	0.00	-5.23	3230.00
9	-204	-202	-168	-170	-2.00	0.00	-5.23	3230.00	9	-174	-172	-138	-140	-2.00	0.00	-5.23	3230.00
9	-140	-138	-104	-106	-2.00	0.00	-5.23	3230.00	9	-170	-168	-134	-136	-2.00	0.00	-5.23	3230.00
10	-262	-228	-229	-263	-2.00	0.00	-5.23	3230.00	10	-394	-360	-361	-395	-2.00	0.00	-5.23	3230.00
10	-427	-393	-394	-428	-2.00	0.00	-5.23	3230.00	10	-296	-262	-263	-297	-2.00	0.00	-5.23	3230.00
10	-230	-196	-197	-231	-2.00	0.00	-5.23	3230.00	10	-195	-161	-162	-196	-2.00	0.00	-5.23	3230.00
10	-533	-499	-500	-534	-2.00	0.00	-5.23	3230.00	10	-256	-222	-223	-257	-2.00	0.00	-5.23	3230.00
10	-196	-162	-163	-197	-2.00	0.00	-5.23	3230.00	10	-197	-163	-164	-198	-2.00	0.00	-5.23	3230.00
10	-231	-197	-198	-232	-2.00	0.00	-5.23	3230.00	10	-530	-496	-497	-531	-2.00	0.00	-5.23	3230.00
10	-401	-367	-368	-402	-2.00	0.00	-5.23	3230.00	10	-222	-188	-189	-223	-2.00	0.00	-5.23	3230.00
10	-468	-434	-435	-469	-2.00	0.00	-5.23	3230.00	10	-469	-435	-436	-470	-2.00	0.00	-5.23	3230.00
10	-297	-263	-264	-298	-2.00	0.00	-5.23	3230.00	10	-527	-493	-494	-528	-2.00	0.00	-5.23	3230.00
10	-299	-265	-266	-300	-2.00	0.00	-5.23	3230.00	10	-333	-299	-300	-334	-2.00	0.00	-5.23	3230.00
10	-461	-427	-428	-462	-2.00	0.00	-5.23	3230.00	10	-433	-399	-400	-434	-2.00	0.00	-5.23	3230.00
10	-434	-400	-401	-435	-2.00	0.00	-5.23	3230.00	10	-435	-401	-402	-436	-2.00	0.00	-5.23	3230.00
10	-325	-291	-292	-326	-2.00	0.00	-5.23	3230.00	10	-431	-397	-398	-432	-2.00	0.00	-5.23	3230.00
10	-364	-330	-331	-365	-2.00	0.00	-5.23	3230.00	10	-398	-364	-365	-399	-2.00	0.00	-5.23	3230.00
10	-193	-159	-160	-194	-2.00	0.00	-5.23	3230.00	10	-399	-365	-366	-400	-2.00	0.00	-5.23	3230.00
10	-261	-227	-228	-262	-2.00	0.00	-5.23	3230.00	10	-426	-392	-393	-427	-2.00	0.00	-5.23	3230.00
10	-392	-358	-359	-393	-2.00	0.00	-5.23	3230.00	10	-358	-324	-325	-359	-2.00	0.00	-5.23	3230.00
10	-324	-290	-291	-325	-2.00	0.00	-5.23	3230.00	10	-290	-256	-257	-291	-2.00	0.00	-5.23	3230.00
10	-191	-157	-158	-192	-2.00	0.00	-5.23	3230.00	10	-365	-331	-332	-366	-2.00	0.00	-5.23	3230.00
10	-432	-398	-399	-433	-2.00	0.00	-5.23	3230.00	10	-495	-461	-462	-496	-2.00	0.00	-5.23	3230.00
10	-190	-156	-157	-191	-2.00	0.00	-5.23	3230.00	10	-156	-122	-123	-157	-2.00	0.00	-5.23	3230.00
10	-393	-359	-360	-394	-2.00	0.00	-5.23	3230.00	10	-359	-325	-326	-360	-2.00	0.00	-5.23	3230.00
10	-189	-155	-156	-190	-2.00	0.00	-5.23	3230.00	10	-155	-121	-122	-156	-2.00	0.00	-5.23	3230.00
10	-332	-298	-299	-333	-2.00	0.00	-5.23	3230.00	10	-223	-189	-190	-224	-2.00	0.00	-5.23	3230.00
10	-188	-154	-155	-189	-2.00	0.00	-5.23	3230.00	10	-154	-120	-121	-155	-2.00	0.00	-5.23	3230.00
10	-227	-193	-194	-228</													

Relazione di calcolo

10	-192	-158	-159	-193	-2.00	0.00	-5.23	3230.00	10	-532	-498	-499	-533	-2.00	0.00	-5.23	3230.00
10	-498	-464	-465	-499	-2.00	0.00	-5.23	3230.00	10	-126	-92	-93	-127	-2.00	0.00	-5.23	3230.00
10	-92	-8	-9	-93	-2.00	0.00	-5.23	3230.00	10	-161	-127	-128	-162	-2.00	0.00	-5.23	3230.00
10	-366	-332	-333	-367	-2.00	0.00	-5.23	3230.00	10	-367	-333	-334	-368	-2.00	0.00	-5.23	3230.00
10	-162	-128	-129	-163	-2.00	0.00	-5.23	3230.00	10	-128	-94	-95	-129	-2.00	0.00	-5.23	3230.00
10	-94	-10	-11	-95	-2.00	0.00	-5.23	3230.00	10	-163	-129	-130	-164	-2.00	0.00	-5.23	3230.00
10	-330	-296	-297	-331	-2.00	0.00	-5.23	3230.00	10	-331	-297	-298	-332	-2.00	0.00	-5.23	3230.00
10	-291	-257	-258	-292	-2.00	0.00	-5.23	3230.00	10	-257	-223	-224	-258	-2.00	0.00	-5.23	3230.00
10	-124	-90	-91	-125	-2.00	0.00	-5.23	3230.00	10	-90	-6	-7	-91	-2.00	0.00	-5.23	3230.00
10	-496	-462	-463	-497	-2.00	0.00	-5.23	3230.00	10	-121	-87	-88	-122	-2.00	0.00	-5.23	3230.00
10	-125	-91	-92	-126	-2.00	0.00	-5.23	3230.00	10	-464	-430	-431	-465	-2.00	0.00	-5.23	3230.00
10	-430	-396	-397	-431	-2.00	0.00	-5.23	3230.00	10	-396	-362	-363	-397	-2.00	0.00	-5.23	3230.00
10	-362	-328	-329	-363	-2.00	0.00	-5.23	3230.00	10	-328	-294	-295	-329	-2.00	0.00	-5.23	3230.00
10	-294	-260	-261	-295	-2.00	0.00	-5.23	3230.00	10	-531	-497	-498	-532	-2.00	0.00	-5.23	3230.00
10	-119	-85	-86	-120	-2.00	0.00	-5.23	3230.00	10	-87	-3	-4	-88	-2.00	0.00	-5.23	3230.00
10	-429	-395	-396	-430	-2.00	0.00	-5.23	3230.00	10	-395	-361	-362	-396	-2.00	0.00	-5.23	3230.00
10	-120	-86	-87	-121	-2.00	0.00	-5.23	3230.00	10	-86	-2	-3	-87	-2.00	0.00	-5.23	3230.00
10	-293	-259	-260	-294	-2.00	0.00	-5.23	3230.00	10	-259	-225	-226	-260	-2.00	0.00	-5.23	3230.00
10	-225	-191	-192	-226	-2.00	0.00	-5.23	3230.00	10	-95	-11	-12	-96	-2.00	0.00	-5.23	3230.00
10	-85	-1	-2	-86	-2.00	0.00	-5.23	3230.00	10	-91	-7	-8	-92	-2.00	0.00	-5.23	3230.00
10	-465	-431	-432	-466	-2.00	0.00	-5.23	3230.00	10	-260	-226	-227	-261	-2.00	0.00	-5.23	3230.00
10	-255	-221	-222	-256	-2.00	0.00	-5.23	3230.00	10	-129	-95	-96	-130	-2.00	0.00	-5.23	3230.00
10	-127	-93	-94	-128	-2.00	0.00	-5.23	3230.00	10	-289	-255	-256	-290	-2.00	0.00	-5.23	3230.00
10	-499	-465	-466	-500	-2.00	0.00	-5.23	3230.00	10	-93	-9	-10	-94	-2.00	0.00	-5.23	3230.00
11	-66	-78	-79	-67	-2.00	0.00	-5.23	3230.00	11	-55	-67	-68	-56	-2.00	0.00	-5.23	3230.00
11	-19	-31	-32	-20	-2.00	0.00	-5.23	3230.00	11	-7	-19	-20	-8	-2.00	0.00	-5.23	3230.00
11	-6	-18	-19	-7	-2.00	0.00	-5.23	3230.00	11	-18	-30	-31	-19	-2.00	0.00	-5.23	3230.00
11	-54	-66	-67	-55	-2.00	0.00	-5.23	3230.00	11	-43	-55	-56	-44	-2.00	0.00	-5.23	3230.00
11	-1	-13	-14	-2	-2.00	0.00	-5.23	3230.00	11	-39	-51	-52	-40	-2.00	0.00	-5.23	3230.00
11	-45	-57	-58	-46	-2.00	0.00	-5.23	3230.00	11	-42	-54	-55	-43	-2.00	0.00	-5.23	3230.00
11	-13	-25	-26	-14	-2.00	0.00	-5.23	3230.00	11	-25	-37	-38	-26	-2.00	0.00	-5.23	3230.00
11	-67	-79	-80	-68	-2.00	0.00	-5.23	3230.00	11	-30	-42	-43	-31	-2.00	0.00	-5.23	3230.00
11	-61	-73	-74	-62	-2.00	0.00	-5.23	3230.00	11	-2	-14	-15	-3	-2.00	0.00	-5.23	3230.00
11	-14	-26	-27	-15	-2.00	0.00	-5.23	3230.00	11	-68	-80	-81	-69	-2.00	0.00	-5.23	3230.00
11	-31	-43	-44	-32	-2.00	0.00	-5.23	3230.00	11	-65	-77	-78	-66	-2.00	0.00	-5.23	3230.00
11	-71	-83	-84	-72	-2.00	0.00	-5.23	3230.00	11	-56	-68	-69	-57	-2.00	0.00	-5.23	3230.00
11	-57	-69	-70	-58	-2.00	0.00	-5.23	3230.00	11	-58	-70	-71	-59	-2.00	0.00	-5.23	3230.00
11	-27	-39	-40	-28	-2.00	0.00	-5.23	3230.00	11	-21	-33	-34	-22	-2.00	0.00	-5.23	3230.00
11	-51	-63	-64	-52	-2.00	0.00	-5.23	3230.00	11	-46	-58	-59	-47	-2.00	0.00	-5.23	3230.00
11	-47	-59	-60	-48	-2.00	0.00	-5.23	3230.00	11	-32	-44	-45	-33	-2.00	0.00	-5.23	3230.00
11	-37	-49	-50	-38	-2.00	0.00	-5.23	3230.00	11	-49	-61	-62	-50	-2.00	0.00	-5.23	3230.00
11	-35	-47	-48	-36	-2.00	0.00	-5.23	3230.00	11	-20	-32	-33	-21	-2.00	0.00	-5.23	3230.00
11	-5	-17	-18	-6	-2.00	0.00	-5.23	3230.00	11	-22	-34	-35	-23	-2.00	0.00	-5.23	3230.00
11	-63	-75	-76	-64	-2.00	0.00	-5.23	3230.00	11	-53	-65	-66	-54	-2.00	0.00	-5.23	3230.00
11	-9	-21	-22	-10	-2.00	0.00	-5.23	3230.00	11	-10	-22	-23	-11	-2.00	0.00	-5.23	3230.00
11	-11	-23	-24	-12	-2.00	0.00	-5.23	3230.00	11	-15	-27	-28	-16	-2.00	0.00	-5.23	3230.00
11	-64	-76	-77	-65	-2.00	0.00	-5.23	3230.00	11	-34	-46	-47	-35	-2.00	0.00	-5.23	3230.00
11	-17	-29	-30	-18	-2.00	0.00	-5.23	3230.00	11	-59	-71	-72	-60	-2.00	0.00	-5.23	3230.00
11	-4	-16	-17	-5	-2.00	0.00	-5.23	3230.00	11	-16	-28	-29	-17	-2.00	0.00	-5.23	3230.00
11	-28	-40	-41	-29	-2.00	0.00	-5.23	3230.00	11	-40	-52	-53	-41	-2.00	0.00	-5.23	3230.00
11	-52	-64	-65	-53	-2.00	0.00	-5.23	3230.00	11	-33	-45	-46	-34	-2.00	0.00	-5.23	3230.00
11	-50	-62	-63	-51	-2.00	0.00	-5.23	3230.00	11	-62	-74	-75	-63	-2.00	0.00	-5.23	3230.00
11	-26	-38	-39	-27	-2.00	0.00	-5.23	3230.00	11	-38	-50	-51	-39	-2.00	0.00	-5.23	3230.00
11	-44	-56	-57	-45	-2.00	0.00	-5.23	3230.00	11	-23	-35	-36	-24	-2.00	0.00	-5.23	3230.00
11	-3	-15	-16	-4	-2.00	0.00	-5.23	3230.00	11	-29	-41	-42	-30	-2.00	0.00	-5.23	3230.00
11	-8	-20	-21	-9	-2.00	0.00	-5.23	3230.00	11	-41	-53	-54	-42	-2.00	0.00	-5.23	3230.00
11	-70	-82	-83	-71	-2.00	0.00	-5.23	3230.00	11	-69	-81	-82	-70	-2.00	0.00	-5.23	3230.00

Risultati del calcolo

Parametri di calcolo

La modellazione della struttura e la rielaborazione dei risultati del calcolo sono stati effettuati con:
ModeSt ver. 8.22, prodotto da Tecnisoft s.a.s. - Prato

La struttura è stata calcolata utilizzando come solutore agli elementi finiti:
Xfinest ver. 2018, prodotto da Ce.A.S. S.r.l. - Milano

Tipo di normativa: stati limite D.M. 18
Tipo di calcolo: analisi sismica dinamica
Vincoli esterni: Considera sempre vincoli assegnati in modellazione
Schematizzazione piani rigidi: nessun impalcato rigido
Modalità di recupero masse secondarie: mantenere sul nodo masse e forze relative

Generazione combinazioni

- Lineari: Si
- Valuta spostamenti e non sollecitazioni: No
- Buckling: No

Opzioni di calcolo

- Sono state considerate infinitamente rigide le zone di connessione fra travi, pilastri ed elementi bidimensionali con una riduzione del 20%
- Calcolo con offset rigidi dai nodi: No
- Uniformare i carichi variabili: No
- Massimizzare i carichi variabili: No
- Recupero carichi zone rigide: taglio e momento flettente
- Modalità di combinazione momento torcente: disaccoppiare le azioni

Opzioni del solutore

- Tipo di elemento bidimensionale: QF46
- Calcolo sforzo nei nodi: No
- Analisi dinamica con metodo di Lanczos: No
- Trascura deformabilità a taglio delle aste: Si
- Check sequenza di Sturm: Si
- Analisi non lineare con Newton modificato: No
- Usa formulazione secante per buckling: No
- Trascura buckling torsionale: No

Dati struttura

- Sito di costruzione: cascina LON. 10.55590 LAT. 43.67590
Contenuto tra ID reticolo: 20271 20493 20270 20492

Simbologia

TCC=Tipo di combinazione di carico

Relazione di calcolo

SLU = Stato limite ultimo
SLU S = Stato limite ultimo (azione sismica)
SLE R = Stato limite d'esercizio, combinazione rara
SLE F = Stato limite d'esercizio, combinazione frequente
SLE Q = Stato limite d'esercizio, combinazione quasi permanente
SLD = Stato limite di danno
SLV = Stato limite di salvaguardia della vita
SLC = Stato limite di prevenzione del collasso
SLO = Stato limite di operatività
SLU I = Stato limite di resistenza al fuoco
SND = Stato limite di salvaguardia della vita (non dissipativo)
T_R =Periodo di ritorno <anni>
A_g =Accelerazione orizzontale massima al sito
F_o =Valore massimo del fattore di amplificazione dello spettro in accelerazione orizzontale
T_c* =Periodo di inizio del tratto a velocità costante dello spettro in accelerazione orizzontale <sec>
S_s =Coefficiente di amplificazione stratigrafica
C_c =Coefficiente funzione della categoria del suolo

TCC	T _R	A _g <g>	F _o	T _c *	S _s	C _c
SLO	30	0.0406	2.57	0.23	1.80	2.59
SLD	50	0.0514	2.54	0.25	1.80	2.50
SLV	475	0.1221	2.50	0.28	1.80	2.38

- Edificio esistente: No
- Tipo di opera: Opera ordinaria
- Vita nominale V_N: 50.00
- Classe d'uso: Classe II
- SL Esercizio: SLOPvr 81.00, SLDPvr 63.00
- SL Ultimi: SLVPvr 10.00, SLCPvr No
- Struttura dissipativa: No
- Quota di riferimento: -3.87 <m>
- Quota max della struttura: 0.00 <m>
- Altezza della struttura: 3.87 <m>
- Numero piani edificio: 0
- Coefficiente θ: 0.00
- Edificio regolare in altezza: Si
- Edificio regolare in pianta: Si
- Forze orizzontali convenzionali per stati limite non sismici: No
- Genera stati limite per verifiche di resistenza al fuoco: No

Dati di calcolo

- Categoria del suolo di fondazione: D
- Tipologia strutturale: c.a. o prefabbricata a pareti non accoppiate

Periodo T ₁	1.08815
Coeff. λ SLO	1.00
Coeff. λ SLD	1.00
Coeff. λ SLV	1.00
Rapporto di sovraresistenza (a _n /a _i)	1.10
Valore di riferimento del fattore di comportamento (q ₀)	3.00
Fattore riduttivo (K _w)	0.50
Fattore riduttivo regolarità in altezza (K _R)	1.00
Fattore di comportamento dissipativo (q)	1.50
Fattore di comportamento non dissipativo (q _{ND})	1.50
Fattore di comportamento per SLD (q _D)	1.50

- Categoria topografica: T1 - Superficie pianeggiante, pendii e rilievi isolati con inclinazione media i<=15°
- Coeff. amplificazione topografica S_T: 1.00
- Fattore di comportamento per sisma verticale (q_v): 1.50
- Modalità di calcolo modi di vibrare: Autovalori
- Numero modi: 12
- Modi da considerare: Tutti i modi calcolati
- Smorzamento spettro: 5.00%

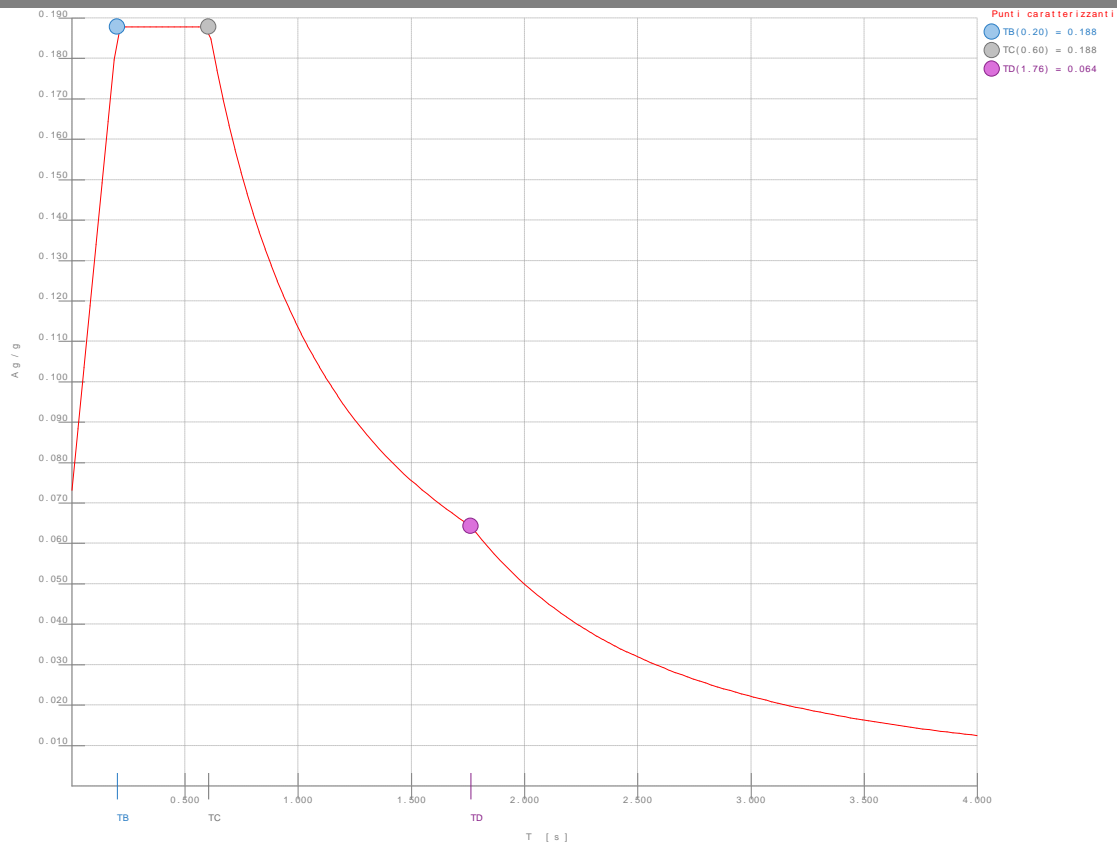


Figura numero 1: Spettro SLO

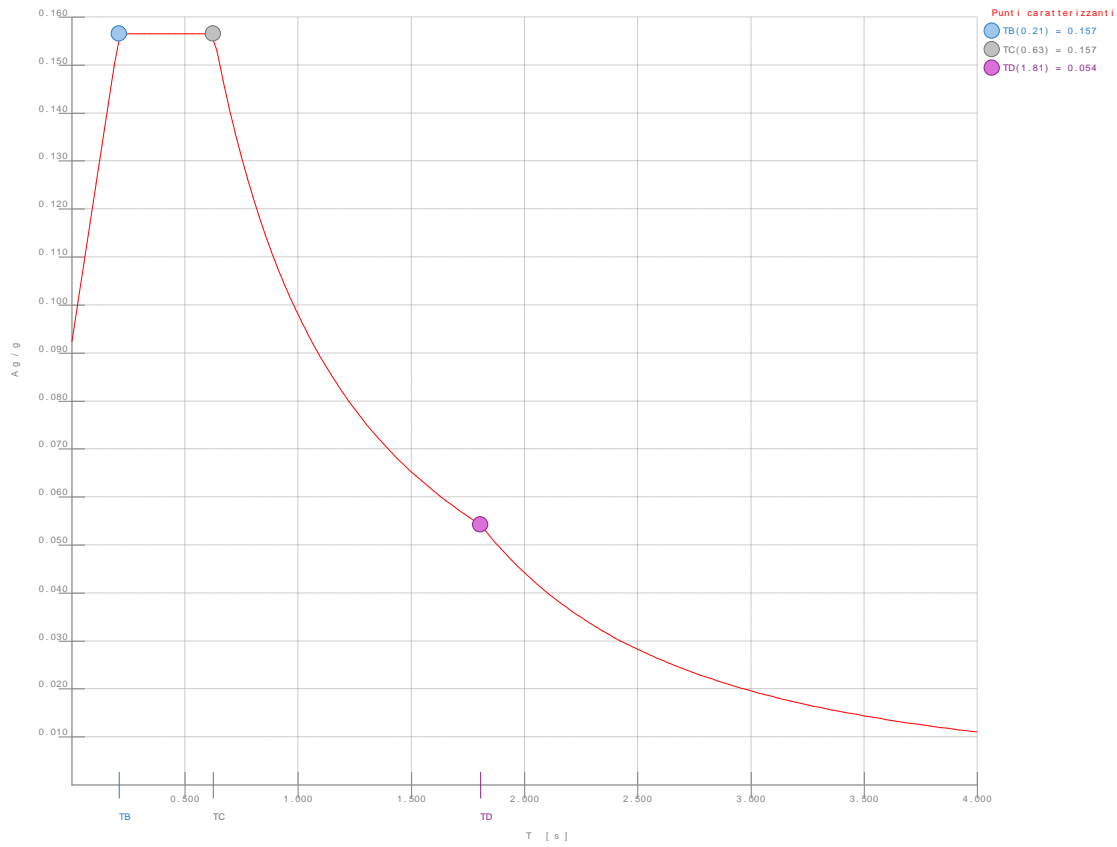


Figura numero 2: Spettro SLD

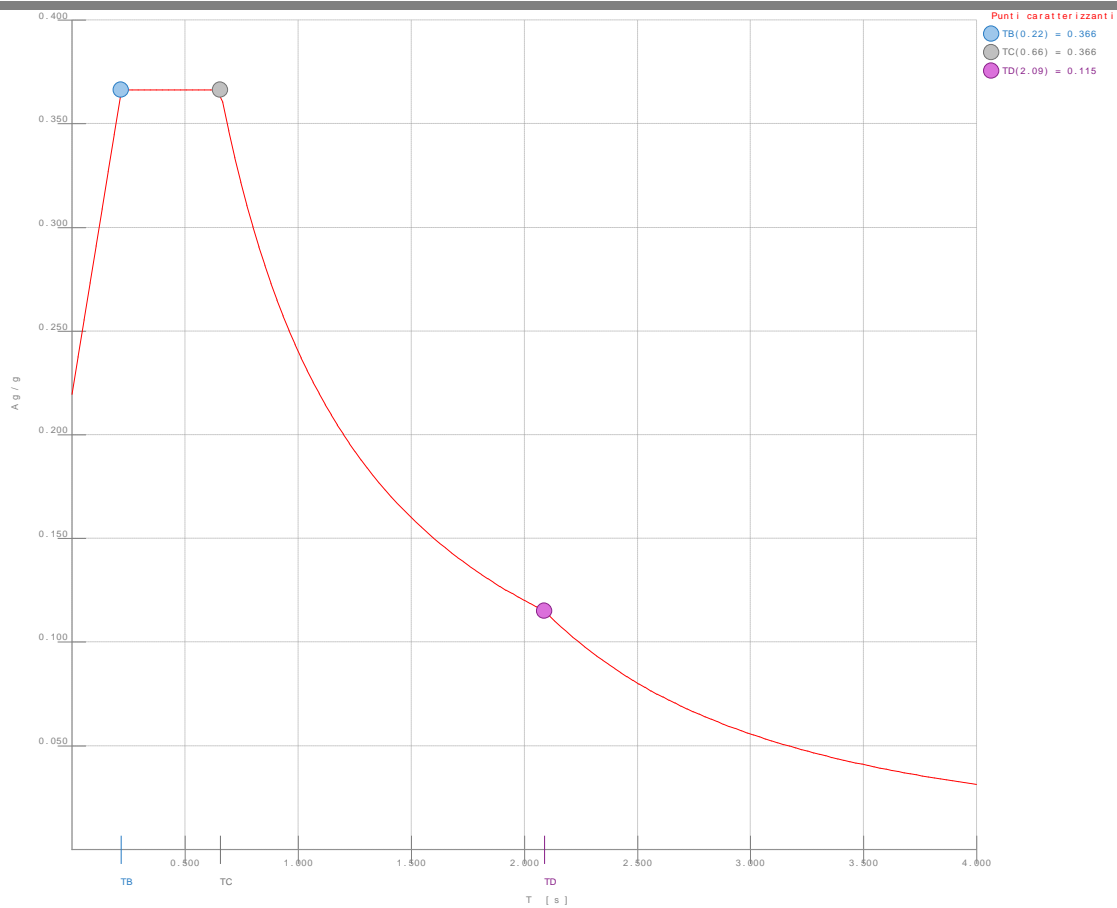


Figura numero 3: Spettro SND

- Angolo di ingresso del sisma: 0.00 <grad>

Ambienti di carico

Simbologia

N = Numero
Comm. = Commento
1 = G1
2 = G2
3 = Qk
F = azioni orizzontali convenzionali
SLU = Stato limite ultimo
SLR = Stato limite per combinazioni rare
SLF = Stato limite per combinazioni frequenti
SLQ/D = Stato limite per combinazioni quasi permanenti o di danno
S = Si
N = No

N	Comm.	1	2	3	S	SLU	SLR	SLF	SLQ
1	Calcolo sismico	S	S	S	S	N	N	N	N
2	Calcolo statico	S	S	N	S	S	S	S	S

Elenco combinazioni di carico simboliche

Simbologia

CC = Numero della combinazione delle condizioni di carico elementari
Comm. = Commento
TCC = Tipo di combinazione di carico
SLU = Stato limite ultimo
SLU S = Stato limite ultimo (azione sismica)
SLE R = Stato limite d'esercizio, combinazione rara
SLE F = Stato limite d'esercizio, combinazione frequente
SLE Q = Stato limite d'esercizio, combinazione quasi permanente
SLD = Stato limite di danno
SLV = Stato limite di salvaguardia della vita
SLC = Stato limite di prevenzione del collasso
SLO = Stato limite di operatività
SLU I = Stato limite di resistenza al fuoco
SND = Stato limite di salvaguardia della vita (non dissipativo)

CC	Comm.	TCC	1	2	3	±S
1	Amb. 1 (Sisma)	SLU S	1	1	1	1
2	Amb. 2 (SLU)	SLU	γ max	γ max	γ max	-----
3	Amb. 2 (SLE R)	SLE R	1	1	1	-----
4	Amb. 2 (SLE F)	SLE F	1	1	1	-----
5	Amb. 2 (SLE Q)	SLE Q	1	1	1	-----

Genera le combinazioni con un solo carico di tipo variabile come di base: No

Considera sollecitazioni dinamiche con segno dei modi principali: No

Combinazioni delle CCE

Simbologia

CC = Numero della combinazione delle condizioni di carico elementari

Relazione di calcolo

Comm. = Commento
TCC = Tipo di combinazione di carico
SLU = Stato limite ultimo
SLU S = Stato limite ultimo (azione sismica)
SLE R = Stato limite d'esercizio, combinazione rara
SLE F = Stato limite d'esercizio, combinazione frequente
SLE Q = Stato limite d'esercizio, combinazione quasi permanente
SLD = Stato limite di danno
SLV = Stato limite di salvaguardia della vita
SLC = Stato limite di prevenzione del collasso
SLO = Stato limite di operatività
SLU I = Stato limite di resistenza al fuoco
SND = Stato limite di salvaguardia della vita (non dissipativo)
An. = Tipo di analisi
L = Lineare
NL = Non lineare
Bk = Buckling
S = Si
N = No

CC	Comm.	TCC	An.	Bk	1	2	3	±S X	±S Y
1	Amb. 1 (SLU S) S +X+0.3Y	SND	L	N	1.00	1.00	1.00	1.00	0.30
2	Amb. 1 (SLE) S +X+0.3Y	SLD	L	N	1.00	1.00	1.00	1.00	0.30
3	Amb. 1 (SLE) S +X+0.3Y	SLO	L	N	1.00	1.00	1.00	1.00	0.30
4	Amb. 1 (SLU S) S +X-0.3Y	SND	L	N	1.00	1.00	1.00	1.00	-0.30
5	Amb. 1 (SLE) S +X-0.3Y	SLD	L	N	1.00	1.00	1.00	1.00	-0.30
6	Amb. 1 (SLE) S +X-0.3Y	SLO	L	N	1.00	1.00	1.00	1.00	-0.30
7	Amb. 1 (SLU S) S +0.3X+Y	SND	L	N	1.00	1.00	1.00	0.30	1.00
8	Amb. 1 (SLE) S +0.3X+Y	SLD	L	N	1.00	1.00	1.00	0.30	1.00
9	Amb. 1 (SLE) S +0.3X+Y	SLO	L	N	1.00	1.00	1.00	0.30	1.00
10	Amb. 1 (SLU S) S -0.3X+Y	SND	L	N	1.00	1.00	1.00	-0.30	1.00
11	Amb. 1 (SLE) S -0.3X+Y	SLD	L	N	1.00	1.00	1.00	-0.30	1.00
12	Amb. 1 (SLE) S -0.3X+Y	SLO	L	N	1.00	1.00	1.00	-0.30	1.00
13	Amb. 2 (SLU)	SLU	L	N	1.30	1.50	1.50	0.00	0.00
14	Amb. 2 (SLE R)	SLE R	L	N	1.00	1.00	1.00	0.00	0.00
15	Amb. 2 (SLE F)	SLE F	L	N	1.00	1.00	1.00	0.00	0.00
16	Amb. 2 (SLE Q)	SLE Q	L	N	1.00	1.00	1.00	0.00	0.00

Elenco masse nodi

Simbologia
Nodo = Numero del nodo
Mo = Massa orizzontale

Nodo	Mo <kg>	Nodo	Mo <kg>	Nodo	Mo <kg>	Nodo	Mo <kg>	Nodo	Mo <kg>	Nodo	Mo <kg>	Nodo	Mo <kg>	Nodo	Mo <kg>	Nodo	Mo <kg>
-607	97.66	-606	155.87	-605	155.87	-604	155.87	-603	155.87	-602	140.14	-601	124.42	-600	124.42	-599	124.42
-596	81.93	-595	151.19	-594	223.49	-593	223.49	-592	223.49	-591	223.49	-590	200.94	-589	178.39	-588	178.39
-585	178.39	-584	128.64	-583	151.19	-582	223.49	-581	223.49	-580	223.49	-579	223.49	-578	200.94	-577	178.39
-574	178.39	-573	178.39	-572	128.64	-571	151.19	-570	221.74	-569	168.90	-568	168.90	-567	221.74	-566	200.94
-563	93.86	-562	93.86	-561	128.64	-560	128.64	-559	151.19	-558	162.84	-557	162.84	-556	200.94	-555	94.42
-550	151.19	-549	221.74	-548	168.90	-547	168.90	-546	221.74	-545	200.94	-544	138.74	-543	93.86	-542	93.86
-539	128.64	-538	97.66	-537	155.87	-536	155.87	-535	155.87	-534	155.87	-533	140.14	-532	124.42	-531	124.42
-528	124.42	-527	81.93	-526	83.58	-525	88.25	-524	88.25	-523	88.25	-522	88.25	-521	79.35	-520	70.45
-517	70.45	-516	70.45	-515	74.67	-514	78.90	-513	78.90	-512	78.90	-511	78.90	-510	78.90	-509	78.90
-506	78.90	-505	78.90	-504	83.58	-503	88.25	-502	88.25	-501	88.25	-500	88.25	-499	79.35	-498	70.45
-495	70.45	-494	70.45	-493	74.67	-492	83.58	-491	88.25	-490	88.25	-489	88.25	-488	88.25	-487	79.35
-484	70.45	-483	70.45	-482	70.45	-481	74.67	-480	78.90	-479	78.90	-478	78.90	-477	78.90	-476	78.90
-473	78.90	-472	78.90	-471	78.90	-470	83.58	-469	88.25	-468	88.25	-467	88.25	-466	88.25	-465	79.35
-462	70.45	-461	70.45	-460	70.45	-459	74.67	-458	83.58	-457	88.25	-456	88.25	-455	88.25	-454	88.25
-451	70.45	-450	70.45	-449	70.45	-448	70.45	-447	74.67	-446	78.90	-445	78.90	-444	78.90	-443	78.90
-440	78.90	-439	78.90	-438	78.90	-437	78.90	-436	83.58	-435	88.25	-434	88.25	-433	88.25	-432	88.25
-429	70.45	-428	70.45	-427	70.45	-426	70.45	-425	74.67	-424	83.58	-423	88.25	-422	88.25	-421	88.25
-418	70.45	-417	70.45	-416	70.45	-415	70.45	-414	70.45	-413	74.67	-412	78.90	-411	78.90	-410	78.90
-407	78.90	-406	78.90	-405	78.90	-404	78.90	-403	78.90	-402	83.58	-401	88.25	-400	88.25	-399	88.25
-396	70.45	-395	70.45	-394	70.45	-393	70.45	-392	70.45	-391	74.67	-390	83.58	-389	88.25	-388	88.25
-385	79.35	-384	70.45	-383	70.45	-382	70.45	-381	70.45	-380	70.45	-379	74.67	-378	78.90	-377	78.90
-374	78.90	-373	78.90	-372	78.90	-371	78.90	-370	78.90	-369	78.90	-368	83.58	-367	88.25	-366	88.25
-363	79.35	-362	70.45	-361	70.45	-360	70.45	-359	70.45	-358	70.45	-357	74.67	-356	83.58	-355	88.25
-352	88.25	-351	79.35	-350	70.45	-349	70.45	-348	70.45	-347	70.45	-346	70.45	-345	74.67	-344	78.90
-341	78.90	-340	78.90	-339	78.90	-338	78.90	-337	78.90	-336	78.90	-335	78.90	-334	83.58	-333	88.25
-330	88.25	-329	79.35	-328	70.45	-327	70.45	-326	70.45	-325	70.45	-324	70.45	-323	74.67	-322	83.58
-319	88.25	-318	88.25	-317	79.35	-316	70.45	-315	70.45	-314	70.45	-313	70.45	-312	70.45	-311	74.67
-308	78.90	-307	78.90	-306	78.90	-305	78.90	-304	78.90	-303	78.90	-302	78.90	-301	78.90	-300	83.58
-297	88.25	-296	88.25	-295	79.35	-294	70.45	-293	70.45	-292	70.45	-291	70.45	-290	70.45	-289	74.67
-286	71.15	-285	71.15	-284	71.15	-283	63.97	-282	56.79	-281	56.79	-280	56.79	-279	56.79	-278	56.79
-275	63.61	-274	63.61	-273	63.61	-272	63.61	-271	63.61	-270	63.61	-269	63.61	-268	63.61	-267	63.61
-264	71.15	-263	71.15	-262	71.15	-261	63.97	-260	56.79	-259	56.79	-258	56.79	-257	56.79	-256	56.79
-253	67.58	-252	67.58	-251	67.58	-250	67.58	-249	60.76	-248	53.94	-247	53.94	-246	53.94	-245	53.94
-242	60.41	-241	60.41	-240	60.41	-239	60.41	-238	60.41	-237	60.41	-236	60.41	-235	60.41	-234	60.41
-231	67.58	-230	67.58	-229	67.58	-228	67.58	-227	60.76	-226	53.94	-225	53.94	-224	53.94	-223	53.94
-220	76.81	-219	81.11	-218	81.11	-217	81.11	-216	81.11	-215	72.93	-214	64.74	-213	64.74	-212	64.74
-209	68.63	-208	72.51	-207	72.51	-206	72.51	-205	72.51	-204	72.51	-203	72.51	-202	72.51	-201	72.51
-198	76.81	-197	81.11	-196	81.11	-195	81.11	-194	81.11	-193	72.93	-192	64.74	-191	64.74	-190	64.74
-187	68.63																

Totali masse nodi

Mo <kg>
37686.80

Elenco modi di vibrare, masse partecipanti e coefficienti di partecipazione

Simbologia
Modo = Numero del modo di vibrare
C = * indica che il modo è stato considerato
T = Periodo
Diff. = Minima differenza percentuale dagli altri periodi
Φx = Coefficiente di partecipazione in dir. X
Φy = Coefficiente di partecipazione in dir. Y
Φz = Coefficiente di partecipazione in dir. Z
%Mx = Percentuale massa partecipante in dir. X
%My = Percentuale massa partecipante in dir. Y
%Mz = Percentuale massa partecipante in dir. Z

Relazione di calcolo

%Jpz =Percentuale momento d'inerzia polare partecipante intorno all'asse Z

Modo	C	T	Diff.	Φx	Φy	Φz	%Mx	%My	%Mz	%Jpz
1*	1.09	81.81	0.00	58.24	0.00	0.00	0.00	90.01	0.00	0.00
2*	0.60	81.81	58.24	-0.00	0.00	90.00	0.00	0.00	0.00	0.00
3*	0.02	19.35	-0.01	0.40	0.00	0.00	0.00	0.00	0.00	0.00
4*	0.02	19.35	-0.00	-12.17	0.00	0.00	0.00	3.93	0.00	0.00
5*	0.01	19.17	-0.42	-0.08	0.00	0.00	0.00	0.00	0.00	0.00
6*	0.01	8.79	-6.25	-0.04	0.00	1.04	0.00	0.00	0.00	0.00
7*	0.01	4.06	0.05	-1.17	0.00	0.00	0.04	0.00	0.00	0.00
8*	0.01	4.06	-0.05	-7.65	0.00	0.00	1.55	0.00	0.00	0.00
9*	0.01	1.27	0.02	0.01	0.00	0.00	0.00	0.00	0.00	0.00
10*	0.01	1.27	-0.96	0.18	0.00	0.02	0.00	0.00	0.00	0.00
11*	0.01	2.35	-2.21	-4.79	0.00	0.13	0.61	0.00	0.00	0.00
12*	0.01	2.35	3.67	-3.82	0.00	0.36	0.39	0.00	0.00	0.00
Tot.cons.							91.56	96.53	0.00	0.00

Elenco coefficienti di risposta

Simbologia

Modo =Numero del modo di vibrare
Sx =Coefficiente di risposta (moltiplicato per 100) in dir. X
Sy =Coefficiente di risposta (moltiplicato per 100) in dir. Y

Stato limite di operatività

Modo	Sx	Sy
1	10.41	10.41
2	18.79	18.79
3	8.70	8.70
4	8.47	8.47
5	8.15	8.15
6	8.01	8.01
7	7.96	7.96
8	7.93	7.93
9	7.88	7.88
10	7.87	7.87
11	7.81	7.81
12	7.80	7.80

Stato limite di danno

Modo	Sx	Sy
1	8.99	8.99
2	15.66	15.66
3	10.00	10.00
4	9.88	9.88
5	9.70	9.70
6	9.63	9.63
7	9.60	9.60
8	9.58	9.58
9	9.56	9.56
10	9.55	9.55
11	9.52	9.52
12	9.51	9.51

Stato limite di salvaguardia della vita

Modo	Sx	Sy
1	22.08	22.08
2	36.63	36.63
3	23.59	23.59
4	23.33	23.33
5	22.95	22.95
6	22.79	22.79
7	22.72	22.72
8	22.69	22.69
9	22.63	22.63
10	22.62	22.62
11	22.55	22.55
12	22.53	22.53

Domanda in duttilità di curvatura

Direzione X $\mu_{ed,x}$ =6.55
Direzione Y $\mu_{ed,y}$ =6.00

Spostamenti dei nodi

Simbologia

Nodo =Numero del nodo
Sx =Spostamento in dir. X
CC =Numero della combinazione delle condizioni di carico elementari
TCC =Tipo di combinazione di carico
SLU = Stato limite ultimo
SLU S = Stato limite ultimo (azione sismica)
SLE R = Stato limite d'esercizio, combinazione rara
SLE F = Stato limite d'esercizio, combinazione frequente
SLE Q = Stato limite d'esercizio, combinazione quasi permanente
SLD = Stato limite di danno
SLV = Stato limite di salvaguardia della vita
SLC = Stato limite di prevenzione del collasso
SLO = Stato limite di operatività
SLU I = Stato limite di resistenza al fuoco
SND = Stato limite di salvaguardia della vita (non dissipativo)
Sy =Spostamento in dir. Y
Sz =Spostamento in dir. Z
Rx =Rotazione intorno all'asse X
Ry =Rotazione intorno all'asse Y
Rz =Rotazione intorno all'asse Z

I valori degli spostamenti nodali per CC di tipo sismico sono amplificati come da normativa

Nodo		Sx <cm>	CC	TCC	Sy <cm>	CC	TCC	Sz <cm>	CC	TCC	Rx <rad>	CC	TCC	Ry <rad>	CC	TCC	Rz <rad>	CC	TCC
------	--	------------	----	-----	------------	----	-----	------------	----	-----	-------------	----	-----	-------------	----	-----	-------------	----	-----

Relazione di calcolo

-607	Max	6.20	1	SND	12.09	7	SND	1.30	SND	0.02	7	SND	0.01	1	SND	0.00	7	SND	
-607	Min.	-6.10	1	SND	-11.66	7	SND	-5.69	SND	-0.02	7	SND	-0.01	1	SND	0.00	7	SND	
-606	Max	6.20	1	SND	12.09	7	SND	1.15	SND	0.02	7	SND	0.01	1	SND	0.00	7	SND	
-606	Min.	-6.10	1	SND	-11.66	7	SND	-5.53	7	SND	-0.02	7	SND	-0.01	1	SND	0.00	7	SND
-605	Max	6.20	1	SND	12.09	7	SND	0.99	7	SND	0.02	7	SND	0.01	1	SND	0.00	7	SND
-605	Min.	-6.10	1	SND	-11.66	7	SND	-5.37	7	SND	-0.02	7	SND	-0.01	1	SND	0.00	7	SND
-604	Max	6.20	1	SND	12.09	7	SND	0.84	7	SND	0.02	7	SND	0.01	1	SND	0.00	7	SND
-604	Min.	-6.10	1	SND	-11.66	7	SND	-5.21	7	SND	-0.02	7	SND	-0.01	1	SND	0.00	7	SND
-603	Max	6.20	1	SND	12.09	7	SND	0.69	7	SND	0.02	7	SND	0.01	1	SND	0.00	7	SND
-603	Min.	-6.10	1	SND	-11.66	7	SND	-5.04	7	SND	-0.02	7	SND	-0.01	1	SND	0.00	7	SND
-602	Max	6.20	1	SND	12.09	7	SND	0.57	7	SND	0.02	7	SND	0.01	1	SND	0.00	1	SND
-602	Min.	-6.10	1	SND	-11.66	7	SND	-4.91	7	SND	-0.02	7	SND	-0.01	1	SND	0.00	1	SND
-601	Max	6.20	1	SND	12.09	7	SND	0.70	7	SND	0.02	7	SND	0.01	1	SND	0.00	7	SND
-601	Min.	-6.10	1	SND	-11.66	7	SND	-5.04	7	SND	-0.02	7	SND	-0.01	1	SND	0.00	7	SND
-600	Max	6.20	1	SND	12.09	7	SND	0.82	7	SND	0.02	7	SND	0.01	1	SND	0.00	7	SND
-600	Min.	-6.10	1	SND	-11.66	7	SND	-5.16	7	SND	-0.02	7	SND	-0.01	1	SND	0.00	7	SND
-599	Max	6.20	1	SND	12.09	7	SND	0.95	7	SND	0.02	7	SND	0.01	1	SND	0.00	7	SND
-599	Min.	-6.10	1	SND	-11.66	7	SND	-5.28	7	SND	-0.02	7	SND	-0.01	1	SND	0.00	7	SND
-598	Max	6.20	1	SND	12.09	7	SND	1.08	7	SND	0.02	7	SND	0.01	1	SND	0.00	7	SND
-598	Min.	-6.10	1	SND	-11.66	7	SND	-5.41	7	SND	-0.02	7	SND	-0.01	1	SND	0.00	7	SND
-597	Max	6.20	1	SND	12.09	7	SND	1.21	7	SND	0.02	7	SND	0.01	1	SND	0.00	7	SND
-597	Min.	-6.10	1	SND	-11.66	7	SND	-5.53	7	SND	-0.02	7	SND	-0.01	1	SND	0.00	7	SND
-596	Max	6.20	1	SND	12.09	7	SND	1.34	7	SND	0.02	7	SND	0.01	1	SND	0.00	7	SND
-596	Min.	-6.10	1	SND	-11.66	7	SND	-5.65	7	SND	-0.02	7	SND	-0.01	1	SND	0.00	7	SND
-595	Max	6.20	1	SND	12.09	7	SND	0.94	1	SND	0.02	7	SND	0.01	1	SND	0.00	7	SND
-595	Min.	-6.10	1	SND	-11.66	7	SND	-5.30	1	SND	-0.02	7	SND	-0.01	1	SND	0.00	7	SND
-594	Max	6.20	1	SND	12.09	7	SND	0.42	1	SND	0.02	7	SND	0.01	1	SND	0.00	7	SND
-594	Min.	-6.10	1	SND	-11.66	7	SND	-4.77	1	SND	-0.02	7	SND	-0.01	1	SND	0.00	7	SND
-593	Max	6.20	1	SND	12.09	7	SND	0.10	7	SND	0.02	7	SND	0.01	1	SND	0.00	7	SND
-593	Min.	-6.10	1	SND	-11.66	7	SND	-4.45	7	SND	-0.02	7	SND	-0.01	1	SND	0.00	7	SND
-592	Max	6.20	1	SND	12.09	7	SND	-0.06	7	SND	0.02	7	SND	0.01	1	SND	0.00	7	SND
-592	Min.	-6.10	1	SND	-11.66	7	SND	-4.29	7	SND	-0.02	7	SND	-0.01	1	SND	0.00	7	SND
-591	Max	6.20	1	SND	12.09	7	SND	-0.21	7	SND	0.02	7	SND	0.01	1	SND	0.00	7	SND
-591	Min.	-6.10	1	SND	-11.66	7	SND	-4.12	7	SND	-0.02	7	SND	-0.01	1	SND	0.00	7	SND
-590	Max	6.20	1	SND	12.09	7	SND	-0.33	7	SND	0.02	7	SND	0.01	1	SND	0.00	7	SND
-590	Min.	-6.10	1	SND	-11.66	7	SND	-4.00	7	SND	-0.02	7	SND	-0.01	1	SND	0.00	7	SND
-589	Max	6.20	1	SND	12.09	7	SND	-0.20	7	SND	0.02	7	SND	0.01	1	SND	0.00	7	SND
-589	Min.	-6.10	1	SND	-11.66	7	SND	-4.17	7	SND	-0.02	7	SND	-0.01	1	SND	0.00	7	SND
-588	Max	6.20	1	SND	12.09	7	SND	-0.07	7	SND	0.02	7	SND	0.01	1	SND	0.00	7	SND
-588	Min.	-6.10	1	SND	-11.66	7	SND	-4.24	7	SND	-0.02	7	SND	-0.01	1	SND	0.00	7	SND
-587	Max	6.20	1	SND	12.09	7	SND	0.06	7	SND	0.02	7	SND	0.01	1	SND	0.00	7	SND
-587	Min.	-6.10	1	SND	-11.66	7	SND	-4.36	7	SND	-0.02	7	SND	-0.01	1	SND	0.00	7	SND
-586	Max	6.20	1	SND	12.09	7	SND	0.19	7	SND	0.02	7	SND	0.01	1	SND	0.00	7	SND
-586	Min.	-6.10	1	SND	-11.66	7	SND	-4.48	7	SND	-0.02	7	SND	-0.01	1	SND	0.00	7	SND
-585	Max	6.20	1	SND	12.09	7	SND	0.56	1	SND	0.02	7	SND	0.01	1	SND	0.00	7	SND
-585	Min.	-6.10	1	SND	-11.66	7	SND	-4.84	1	SND	-0.02	7	SND	-0.01	1	SND	0.00	7	SND
-584	Max	6.20	1	SND	12.09	7	SND	0.98	1	SND	0.02	7	SND	0.01	1	SND	0.00	7	SND
-584	Min.	-6.10	1	SND	-11.66	7	SND	-5.26	1	SND	-0.02	7	SND	-0.01	1	SND	0.00	7	SND
-583	Max	6.20	1	SND	12.09	7	SND	0.68	1	SND	0.02	7	SND	0.01	1	SND	0.00	7	SND
-583	Min.	-6.10	1	SND	-11.66	7	SND	-5.01	1	SND	-0.02	7	SND	-0.01	1	SND	0.00	7	SND
-582	Max	6.20	1	SND	12.09	7	SND	0.16	1	SND	0.02	7	SND	0.01	1	SND	0.00	7	SND
-582	Min.	-6.10	1	SND	-11.66	7	SND	-4.48	1	SND	-0.02	7	SND	-0.01	1	SND	0.00	7	SND
-581	Max	6.20	1	SND	12.09	7	SND	-0.36	1	SND	0.02	7	SND	0.01	1	SND	0.00	7	SND
-581	Min.	-6.10	1	SND	-11.66	7	SND	-3.95	1	SND	-0.02	7	SND	-0.01	1	SND	0.00	7	SND
-580	Max	6.20	1	SND	12.09	7	SND	-0.89	1	SND	0.02	7	SND	0.01	1	SND	0.00	7	SND
-580	Min.	-6.10	1	SND	-11.66	7	SND	-3.43	1	SND	-0.02	7	SND	-0.01	1	SND	0.00	7	SND
-579	Max	6.20	1	SND	12.09	7	SND	-1.10	7	SND	0.02	7	SND	0.01	1	SND	0.00	7	SND
-579	Min.	-6.10	1	SND	-11.66	7	SND	-3.20	7	SND	-0.02	7	SND	-0.01	1	SND	0.00	7	SND
-578	Max	6.20	1	SND	12.09	7	SND	-1.23	7	SND	0.02	7	SND	0.01	1	SND	0.00	1	SND
-578	Min.	-6.10	1	SND	-11.66	7	SND	-3.07	7	SND	-0.02	7	SND	-0.01	1	SND	0.00	1	SND
-577	Max	6.20	1	SND	12.09	7	SND	-1.10	7	SND	0.02	7	SND	0.01	1	SND	0.00	7	SND
-577	Min.	-6.10	1	SND	-11.66	7	SND	-3.20	7	SND	-0.02	7	SND	-0.01	1	SND	0.00	7	SND
-576	Max	6.20	1	SND	12.09	7	SND	-0.97	7	SND	0.02	7	SND	0.01	1	SND	0.00	7	SND
-576	Min.	-6.10	1	SND	-11.66	7	SND	-3.32	7	SND	-0.02	7	SND	-0.01	1	SND	0.00	7	SND
-575	Max	6.20	1	SND	12.09	7	SND	-0.55	1	SND	0.02	7	SND	0.01	1	SND	0.00	7	SND
-575	Min.	-6.10	1	SND	-11.66	7	SND	-3.72	1	SND	-0.02	7	SND	-0.01	1	SND	0.00	7	SND
-574	Max	6.20	1	SND	12.09	7	SND	-0.12	1	SND	0.02	7	SND	0.01	1	SND	0.00	7	SND
-574	Min.	-6.10	1	SND	-11.66	7	SND	-4.14	1	SND	-0.02	7	SND	-0.01	1	SND	0.00	7	SND
-573	Max	6.20	1	SND	12.09	7	SND	0.30	1	SND	0.02	7	SND	0.01	1	SND	0.00	7	SND
-573	Min.	-6.10	1	SND	-11.66	7	SND	-4.55	1	SND	-0.02	7	SND	-0.01	1	SND	0.00	7	SND
-572	Max	6.20	1	SND	12.09	7	SND	0.73	1	SND	0.02	7	SND	0.01	1	SND	0.00	7	SND
-572	Min.	-6.10	1	SND	-11.66	7	SND	-4.97	1	SND	-0.02	7	SND	-0.01	1	SND	0.00	7	SND
-571	Max	6.20	1	SND	12.09	7	SND	0.43	1	SND	0.02	7	SND	0.01	1	SND	0.00	1	SND
-571	Min.	-6.10	1	SND	-11.66	7	SND	-4.72	1	SND	-0.02	7	SND	-0.01	1	SND	0.00	1	SND
-570	Max	6.20	1	SND	12.09	7	SND	-0.10	1	SND	0.02	7	SND	0.01	1	SND	0.00	7	SND
-570	Min.	-6.10	1	SND	-11.66	7	SND	-4.19	1	SND	-0.02	7	SND	-0.01	1	SND	0.00	7	SND
-569	Max	6.20	1	SND	12.09	7	SND	-0.62	1	SND	0.02	7	SND	0.01	1	SND	0.00	7	SND
-569	Min.	-6.10	1	SND	-11.66	7	SND	-3.67	1	SND	-0.02	7	SND	-0.01	1	SND	0.00	7	SND
-568	Max	6.20	1	SND	12.09	7	SND	-1.15	1	SND	0.02	7	SND	0.01	1	SND	0.00	7	SND
-568	Min.	-6.10	1	SND	-11.66	7	SND	-3.14	1	SND	-0.02	7	SND	-0.01	1	SND	0.00	7	SND
-567	Max	6.20	1	SND	12.09	7	SND	-1.67	1	SND	0.02	7	SND	0.01	1	SND	0.00	1	SND
-567	Min.	-6.10	1	SND	-11.66	7	SND	-2.97	13	SLU	-0.02	7	SND	-0.01	1	SND	0.00	1	SND
-566	Max	6.20	1	SND	12.09	7	SND	-2.08	1	SND	0.02	7	SND	0.01	1	SND	0.00	1	SND
-566	Min.	-6.10	1	SND	-11.66	7	SND	-2.96	13	SLU	-0.02	7	SND	-0.01	1	SND	0.00	1	SND
-565	Max	6.20	1	SND	12.09	7	SND	-1.66	1	SND	0.02	7	SND	0.01	1	SND	0.00	1	SND
-565	Min.	-6.10	1	SND	-11.66	7	SND	-2.96	1										

-553	Min.	-6.10	1	SND	-11.66	7	SND	-3.16	7	SND	-0.02	7	SND	-0.01	1	SND	0.00	1	SND
-552	Max	6.20	1	SND	12.09	7	SND	0.33	7	SND	0.02	7	SND	0.01	1	SND	0.00	1	SND
-552	Min.	-6.10	1	SND	-11.66	7	SND	-4.52	7	SND	-0.02	7	SND	-0.01	1	SND	0.00	1	SND
-551	Max	6.20	1	SND	12.09	7	SND	0.76	1	SND	0.02	7	SND	0.01	1	SND	0.00	1	SND
-551	Min.	-6.10	1	SND	-11.66	7	SND	-4.94	1	SND	-0.02	7	SND	-0.01	1	SND	0.00	1	SND
-550	Max	6.20	1	SND	12.09	7	SND	1.01	1	SND	0.02	7	SND	0.01	1	SND	0.00	1	SND
-550	Min.	-6.10	1	SND	-11.66	7	SND	-5.23	1	SND	-0.02	7	SND	-0.01	1	SND	0.00	1	SND
-549	Max	6.20	1	SND	12.09	7	SND	0.48	1	SND	0.02	7	SND	0.01	1	SND	0.00	7	SND
-549	Min.	-6.10	1	SND	-11.66	7	SND	-4.71	1	SND	-0.02	7	SND	-0.01	1	SND	0.00	7	SND
-548	Max	6.20	1	SND	12.09	7	SND	0.16	7	SND	0.02	7	SND	0.01	1	SND	0.00	7	SND
-548	Min.	-6.10	1	SND	-11.66	7	SND	-4.38	7	SND	-0.02	7	SND	-0.01	1	SND	0.00	7	SND
-547	Max	6.20	1	SND	12.09	7	SND	0.01	7	SND	0.02	7	SND	0.01	1	SND	0.00	7	SND
-547	Min.	-6.10	1	SND	-11.66	7	SND	-4.22	7	SND	-0.02	7	SND	-0.01	1	SND	0.00	7	SND
-546	Max	6.20	1	SND	12.09	7	SND	-0.15	7	SND	0.02	7	SND	0.01	1	SND	0.00	7	SND
-546	Min.	-6.10	1	SND	-11.66	7	SND	-4.06	7	SND	-0.02	7	SND	-0.01	1	SND	0.00	7	SND
-545	Max	6.20	1	SND	12.09	7	SND	-0.27	7	SND	0.02	7	SND	0.01	1	SND	0.00	1	SND
-545	Min.	-6.10	1	SND	-11.66	7	SND	-3.93	7	SND	-0.02	7	SND	-0.01	1	SND	0.00	1	SND
-544	Max	6.20	1	SND	12.09	7	SND	-0.14	7	SND	0.02	7	SND	0.01	1	SND	0.00	7	SND
-544	Min.	-6.10	1	SND	-11.66	7	SND	-4.05	7	SND	-0.02	7	SND	-0.01	1	SND	0.00	7	SND
-543	Max	6.20	1	SND	12.09	7	SND	-0.01	7	SND	0.02	7	SND	0.01	1	SND	0.00	7	SND
-543	Min.	-6.10	1	SND	-11.66	7	SND	-4.17	7	SND	-0.02	7	SND	-0.01	1	SND	0.00	7	SND
-542	Max	6.20	1	SND	12.09	7	SND	0.12	7	SND	0.02	7	SND	0.01	1	SND	0.00	7	SND
-542	Min.	-6.10	1	SND	-11.66	7	SND	-4.30	7	SND	-0.02	7	SND	-0.01	1	SND	0.00	7	SND
-541	Max	6.20	1	SND	12.09	7	SND	0.26	7	SND	0.02	7	SND	0.01	1	SND	0.00	7	SND
-541	Min.	-6.10	1	SND	-11.66	7	SND	-4.42	7	SND	-0.02	7	SND	-0.01	1	SND	0.00	7	SND
-540	Max	6.20	1	SND	12.09	7	SND	0.62	1	SND	0.02	7	SND	0.01	1	SND	0.00	7	SND
-540	Min.	-6.10	1	SND	-11.66	7	SND	-4.78	1	SND	-0.02	7	SND	-0.01	1	SND	0.00	7	SND
-539	Max	6.20	1	SND	12.09	7	SND	1.05	1	SND	0.02	7	SND	0.01	1	SND	0.00	1	SND
-539	Min.	-6.10	1	SND															

Relazione di calcolo

-500	Max	5.74	1	SND	11.19	7	SND	0.78	SND	0.02	7	SND	0.01	1	SND	0.00	7	SND	
-500	Min.	-5.65	1	SND	-10.81	7	SND	-4.95	SND	-0.02	7	SND	-0.01	1	SND	0.00	7	SND	
-499	Max	5.74	1	SND	11.19	7	SND	0.66	SND	0.02	7	SND	0.01	1	SND	0.00	1	SND	
-499	Min.	-5.65	1	SND	-10.81	7	SND	-4.82	7	SND	-0.02	7	SND	-0.01	1	SND	0.00	1	SND
-498	Max	5.74	1	SND	11.19	7	SND	0.79	7	SND	0.02	7	SND	0.01	1	SND	0.00	7	SND
-498	Min.	-5.65	1	SND	-10.81	7	SND	-4.94	7	SND	-0.02	7	SND	-0.01	1	SND	0.00	7	SND
-497	Max	5.74	1	SND	11.19	7	SND	0.92	7	SND	0.02	7	SND	0.01	1	SND	0.00	7	SND
-497	Min.	-5.65	1	SND	-10.81	7	SND	-5.06	7	SND	-0.02	7	SND	-0.01	1	SND	0.00	7	SND
-496	Max	5.74	1	SND	11.19	7	SND	1.05	7	SND	0.02	7	SND	0.01	1	SND	0.00	7	SND
-496	Min.	-5.65	1	SND	-10.80	7	SND	-5.18	7	SND	-0.02	7	SND	-0.01	1	SND	0.00	7	SND
-495	Max	5.74	1	SND	11.19	7	SND	1.18	7	SND	0.02	7	SND	0.01	1	SND	0.00	7	SND
-495	Min.	-5.65	1	SND	-10.80	7	SND	-5.31	7	SND	-0.02	7	SND	-0.01	1	SND	0.00	7	SND
-494	Max	5.74	1	SND	11.19	7	SND	1.31	7	SND	0.02	7	SND	0.01	1	SND	0.00	7	SND
-494	Min.	-5.65	1	SND	-10.80	7	SND	-5.43	7	SND	-0.02	7	SND	-0.01	1	SND	0.00	7	SND
-493	Max	5.74	1	SND	11.19	7	SND	1.44	7	SND	0.02	7	SND	0.01	1	SND	0.00	7	SND
-493	Min.	-5.65	1	SND	-10.80	7	SND	-5.55	7	SND	-0.02	7	SND	-0.01	1	SND	0.00	7	SND
-492	Max	5.28	1	SND	10.30	7	SND	1.30	7	SND	0.02	7	SND	0.01	1	SND	0.00	7	SND
-492	Min.	-5.20	1	SND	-9.94	7	SND	-5.69	7	SND	-0.02	7	SND	-0.01	1	SND	0.00	7	SND
-491	Max	5.28	1	SND	10.30	7	SND	1.15	7	SND	0.02	7	SND	0.01	1	SND	0.00	7	SND
-491	Min.	-5.20	1	SND	-9.94	7	SND	-5.53	7	SND	-0.02	7	SND	-0.01	1	SND	0.00	13	SLU
-490	Max	5.28	1	SND	10.31	7	SND	0.99	7	SND	0.02	7	SND	0.01	1	SND	0.00	7	SND
-490	Min.	-5.20	1	SND	-9.93	7	SND	-5.37	7	SND	-0.02	7	SND	-0.01	1	SND	0.00	13	SLU
-489	Max	5.28	1	SND	10.31	7	SND	0.84	7	SND	0.02	7	SND	0.01	1	SND	0.00	7	SND
-489	Min.	-5.20	1	SND	-9.93	7	SND	-5.21	7	SND	-0.02	7	SND	-0.01	1	SND	0.00	13	SLU
-488	Max	5.28	1	SND	10.31	7	SND	0.69	7	SND	0.02	7	SND	0.01	1	SND	0.00	7	SND
-488	Min.	-5.20	1	SND	-9.93	7	SND	-5.04	7	SND	-0.02	7	SND	-0.01	1	SND	0.00	13	SLU
-487	Max	5.28	1	SND	10.31	7	SND	0.57	7	SND	0.02	7	SND	0.01	1	SND	0.00	1	SND
-487	Min.	-5.20	1	SND	-9.93	7	SND	-4.91	7	SND	-0.02	7	SND	-0.01	1	SND	0.00	1	SND
-486	Max	5.28	1	SND	10.31	7	SND	0.70	7	SND	0.02	7	SND	0.01	1	SND	0.00	13	SLU
-486	Min.	-5.20	1	SND	-9.93	7	SND	-5.04	7	SND	-0.02	7	SND	-0.01	1	SND	0.00	7	SND
-485	Max	5.28	1	SND	10.31	7	SND	0.82	7	SND	0.02	7	SND	0.01	1	SND	0.00	13	SLU
-485	Min.	-5.20	1	SND	-9.93	7	SND	-5.16	7	SND	-0.02	7	SND	-0.01	1	SND	0.00	7	SND
-484	Max	5.28	1	SND	10.31	7	SND	0.95	7	SND	0.02	7	SND	0.01	1	SND	0.00	13	SLU
-484	Min.	-5.20	1	SND	-9.93	7	SND	-5.28	7	SND	-0.02	7	SND	-0.01	1	SND	0.00	7	SND
-483	Max	5.28	1	SND	10.30	7	SND	1.08	7	SND	0.02	7	SND	0.01	1	SND	0.00	13	SLU
-483	Min.	-5.20	1	SND	-9.93	7	SND	-5.40	7	SND	-0.02	7	SND	-0.01	1	SND	0.00	7	SND
-482	Max	5.28	1	SND	10.30	7	SND	1.21	7	SND	0.02	7	SND	0.01	1	SND	0.00	7	SND
-482	Min.	-5.20	1	SND	-9.94	7	SND	-5.53	7	SND	-0.02	7	SND	-0.01	1	SND	0.00	7	SND
-481	Max	5.28	1	SND	10.30	7	SND	1.34	7	SND	0.02	7	SND	0.01	1	SND	0.00	7	SND
-481	Min.	-5.20	1	SND	-9.94	7	SND	-5.65	7	SND	-0.02	7	SND	-0.01	1	SND	0.00	7	SND
-480	Max	5.28	1	SND	10.30	7	SND	0.94	1	SND	0.02	7	SND	0.01	1	SND	0.00	1	SND
-480	Min.	-5.20	1	SND	-9.94	7	SND	-5.30	1	SND	-0.02	7	SND	-0.01	1	SND	0.00	1	SND
-479	Max	5.29	1	SND	10.30	7	SND	0.98	1	SND	0.02	7	SND	0.01	1	SND	0.00	1	SND
-479	Min.	-5.20	1	SND	-9.94	7	SND	-5.26	1	SND	-0.02	7	SND	-0.01	1	SND	0.00	1	SND
-478	Max	5.28	1	SND	10.30	7	SND	0.68	1	SND	0.02	7	SND	0.01	1	SND	0.00	1	SND
-478	Min.	-5.20	1	SND	-9.94	7	SND	-5.01	1	SND	-0.02	7	SND	-0.01	1	SND	0.00	1	SND
-477	Max	5.29	1	SND	10.30	7	SND	0.73	1	SND	0.02	7	SND	0.01	1	SND	0.00	1	SND
-477	Min.	-5.20	1	SND	-9.94	7	SND	-4.97	1	SND	-0.02	7	SND	-0.01	1	SND	0.00	1	SND
-476	Max	5.28	1	SND	10.30	7	SND	0.43	1	SND	0.02	7	SND	0.01	1	SND	0.00	7	SND
-476	Min.	-5.20	1	SND	-9.94	7	SND	-4.72	1	SND	-0.02	7	SND	-0.01	1	SND	0.00	7	SND
-475	Max	5.29	1	SND	10.30	7	SND	0.47	1	SND	0.02	7	SND	0.01	1	SND	0.00	7	SND
-475	Min.	-5.20	1	SND	-9.94	7	SND	-4.68	1	SND	-0.02	7	SND	-0.01	1	SND	0.00	7	SND
-474	Max	5.28	1	SND	10.30	7	SND	0.72	1	SND	0.02	7	SND	0.01	1	SND	0.00	1	SND
-474	Min.	-5.20	1	SND	-9.94	7	SND	-4.98	1	SND	-0.02	7	SND	-0.01	1	SND	0.00	1	SND
-473	Max	5.29	1	SND	10.30	7	SND	0.76	1	SND	0.02	7	SND	0.01	1	SND	0.00	1	SND
-473	Min.	-5.20	1	SND	-9.94	7	SND	-4.94	1	SND	-0.02	7	SND	-0.01	1	SND	0.00	1	SND
-472	Max	5.28	1	SND	10.30	7	SND	1.01	1	SND	0.02	7	SND	0.01	1	SND	0.00	1	SND
-472	Min.	-5.20	1	SND	-9.94	7	SND	-5.23	1	SND	-0.02	7	SND	-0.01	1	SND	0.00	1	SND
-471	Max	5.29	1	SND	10.30	7	SND	1.05	1	SND	0.02	7	SND	0.01	1	SND	0.00	1	SND
-471	Min.	-5.20	1	SND	-9.94	7	SND	-5.19	1	SND	-0.02	7	SND	-0.01	1	SND	0.00	1	SND
-470	Max	5.28	1	SND	10.30	7	SND	1.40	7	SND	0.02	7	SND	0.01	1	SND	0.00	7	SND
-470	Min.	-5.20	1	SND	-9.94	7	SND	-5.60	7	SND	-0.02	7	SND	-0.01	1	SND	0.00	7	SND
-469	Max	5.28	1	SND	10.30	7	SND	1.25	7	SND	0.02	7	SND	0.01	1	SND	0.00	13	SLU
-469	Min.	-5.20	1	SND	-9.94	7	SND	-5.43	7	SND	-0.02	7	SND	-0.01	1	SND	0.00	7	SND
-468	Max	5.28	1	SND	10.30	7	SND	1.09	7	SND	0.02	7	SND	0.01	1	SND	0.00	13	SLU
-468	Min.	-5.20	1	SND	-9.94	7	SND	-5.27	7	SND	-0.02	7	SND	-0.01	1	SND	0.00	7	SND
-467	Max	5.28	1	SND	10.29	7	SND	0.94	7	SND	0.02	7	SND	0.01	1	SND	0.00	13	SLU
-467	Min.	-5.20	1	SND	-9.95	7	SND	-5.11	7	SND	-0.02	7	SND	-0.01	1	SND	0.00	7	SND
-466	Max	5.28	1	SND	10.29	7	SND	0.78	7	SND	0.02	7	SND	0.01	1	SND	0.00	13	SLU
-466	Min.	-5.20	1	SND	-9.95	7	SND	-4.95	7	SND	-0.02	7	SND	-0.01	1	SND	0.00	7	SND
-465	Max	5.28	1	SND	10.29	7	SND	0.66	7	SND	0.02	7	SND	0.01	1	SND	0.00	1	SND
-465	Min.	-5.20	1	SND	-9.95	7	SND	-4.82	7	SND	-0.02	7	SND	-0.01	1	SND	0.00	1	SND
-464	Max	5.28	1	SND	10.29	7	SND	0.79	7	SND	0.02	7	SND	0.01	1	SND	0.00	7	SND
-464	Min.	-5.20	1	SND	-9.95	7	SND	-4.94	7	SND	-0.02	7	SND	-0.01	1	SND	0.00	13	SLU
-463	Max	5.28	1	SND	10.29	7	SND	0.92	7	SND	0.02	7	SND	0.01	1	SND	0.00	7	SND
-463	Min.	-5.20	1	SND	-9.95	7	SND	-5.06	7	SND	-0.02	7	SND	-0.01	1	SND	0.00	13	SLU
-462	Max	5.28	1	SND	10.30	7	SND	1.05	7	SND	0.02	7	SND	0.01	1	SND	0.00	7	SND
-462	Min.	-5.20	1	SND	-9.94	7	SND	-5.18	7	SND	-0.02	7	SND	-0.01	1	SND	0.00	13	SLU
-461	Max	5.28	1	SND	10.30	7	SND	1.18	7	SND	0.02	7	SND	0.01	1	SND	0.00	7	SND
-461	Min.	-5.20	1	SND	-9.94	7	SND	-5.31	7	SND	-0.02	7	SND	-0.01	1	SND	0.00	13	SLU
-460	Max	5.28	1	SND	10.30	7	SND	1.31	7	SND	0.02	7	SND	0.01	1	SND	0.00	7	SND
-460	Min.	-5.20	1	SND	-9.94	7	SND	-5.43	7	SND	-0.02	7	SND	-0.01	1	SND	0.00	13	SLU
-459	Max	5.28	1	SND	10.30	7	SND	1.44	7	SND	0.02	7	SND	0.01	1	SND	0.00	7	SND
-459	Min.	-5.20	1	SND	-9.94	7	SND	-5.55	7	SND	-0.02	7	SND	-0.01	1	SND	0.00	7	SND
-458	Max	4.83	1	SND	9.41	7	SND	1.30	7	SND	0.02	7	SND	0.01	1	SND	0.00	7	SND
-458	Min.	-4.75	1	SND	-9.07	7	SND	-5.69	7	SND									

Relazione di calcolo

-448	Min.	-4.75	1	SND	-9.07	7	SND	-5.53	7	SND	-0.02	7	SND	-0.01	1	SND	0.00	7	SND
-447	Max	4.83	1	SND	9.40	7	SND	1.34	7	SND	0.02	7	SND	0.01	1	SND	0.00	13	SLU
-447	Min.	-4.75	1	SND	-9.07	7	SND	-5.65	7	SND	-0.02	7	SND	-0.01	1	SND	0.00	7	SND
-446	Max	4.82	1	SND	9.41	7	SND	0.94	1	SND	0.02	7	SND	0.01	1	SND	0.00	1	SND
-446	Min.	-4.75	1	SND	-9.07	7	SND	-5.30	1	SND	-0.02	7	SND	-0.01	1	SND	0.00	1	SND
-445	Max	4.83	1	SND	9.40	7	SND	0.98	1	SND	0.02	7	SND	0.01	1	SND	0.00	1	SND
-445	Min.	-4.75	1	SND	-9.07	7	SND	-5.26	1	SND	-0.02	7	SND	-0.01	1	SND	0.00	1	SND
-444	Max	4.82	1	SND	9.40	7	SND	0.68	1	SND	0.02	7	SND	0.01	1	SND	0.00	1	SND
-444	Min.	-4.75	1	SND	-9.07	7	SND	-5.01	1	SND	-0.02	7	SND	-0.01	1	SND	0.00	1	SND
-443	Max	4.83	1	SND	9.40	7	SND	0.73	1	SND	0.02	7	SND	0.01	1	SND	0.00	1	SND
-443	Min.	-4.75	1	SND	-9.07	7	SND	-4.97	1	SND	-0.02	7	SND	-0.01	1	SND	0.00	1	SND
-442	Max	4.82	1	SND	9.40	7	SND	0.43	1	SND	0.02	7	SND	0.01	1	SND	0.00	7	SND
-442	Min.	-4.75	1	SND	-9.07	7	SND	-4.72	1	SND	-0.02	7	SND	-0.01	1	SND	0.00	7	SND
-441	Max	4.83	1	SND	9.40	7	SND	0.47	1	SND	0.02	7	SND	0.01	1	SND	0.00	7	SND
-441	Min.	-4.75	1	SND	-9.07	7	SND	-4.68	1	SND	-0.02	7	SND	-0.01	1	SND	0.00	7	SND
-440	Max	4.82	1	SND	9.40	7	SND	0.72	1	SND	0.02	7	SND	0.01	1	SND	0.00	1	SND
-440	Min.	-4.75	1	SND	-9.07	7	SND	-4.98	1	SND	-0.02	7	SND	-0.01	1	SND	0.00	1	SND
-439	Max	4.83	1	SND	9.40	7	SND	0.76	1	SND	0.02	7	SND	0.01	1	SND	0.00	1	SND
-439	Min.	-4.75	1	SND	-9.07	7	SND	-4.94	1	SND	-0.02	7	SND	-0.01	1	SND	0.00	1	SND
-438	Max	4.82	1	SND	9.40	7	SND	1.01	1	SND	0.02	7	SND	0.01	1	SND	0.00	1	SND
-438	Min.	-4.75	1	SND	-9.07	7	SND	-5.23	1	SND	-0.02	7	SND	-0.01	1	SND	0.00	1	SND
-437	Max	4.83	1	SND	9.40	7	SND	1.05	1	SND	0.02	7	SND	0.01	1	SND	0.00	1	SND
-437	Min.	-4.75	1	SND	-9.07	7	SND	-5.19	1	SND	-0.02	7	SND	-0.01	1	SND	0.00	1	SND
-436	Max	4.83	1	SND	9.40	7	SND	1.40	7	SND	0.02	7	SND	0.01	1	SND	0.00	13	SLU
-436	Min.	-4.75	1	SND	-9.07	7	SND	-5.59	7	SND	-0.02	7	SND	-0.01	1	SND	0.00	7	SND
-435	Max	4.83	1	SND	9.40	7	SND	1.25	7	SND	0.02	7	SND	0.01	1	SND	0.00	13	SLU
-435	Min.	-4.75	1	SND	-9.08	7	SND	-5.43	7	SND	-0.02	7	SND	-0.01	1	SND	0.00	7	SND
-434	Max	4.83	1	SND	9.40	7	SND	1.09	7	SND	0.02	7	SND	0.01	1	SND	0.00	13	SLU
-434	Min.	-4.75	1	SND	-9.08	7	SND	-5.27	7	SND	-0.02	7	SND	-0.01	1	SND	0.00	7	SND
-433	Max	4.83	1	SND	9.40	7	SND	0.94	7	SND	0.02	7	SND	0.01	1	SND	0.00	13	SLU
-433	Min.	-4.75	1	SND	-9.09	7	SND	-5.11	7	SND	-0.02	7	SND	-0.01	1	SND	0.00	7	SND
-432	Max	4.83	1	SND	9.40	7	SND	0.78	7	SND	0.02	7	SND	0.01	1	SND	0.00	13	SLU
-432	Min.	-4.75	1	SND	-9.09	7	SND	-4.95	7	SND	-0.02	7	SND	-0.01	1	SND	0.00	7	SND
-431	Max	4.83	1	SND	9.39	7	SND	0.66	7	SND	0.02	7	SND	0.01	1	SND	0.00	1	SND
-431	Min.	-4.75	1	SND	-9.09	7	SND	-4.82	7	SND	-0.02	7	SND	-0.01	1	SND	0.00	1	SND
-430	Max	4.83	1	SND	9.40	7	SND	0.79	7	SND	0.02	7	SND	0.01	1	SND	0.00	7	SND
-430	Min.	-4.75	1	SND	-9.09	7	SND	-4.94	7	SND	-0.02	7	SND	-0.01	1	SND	0.00	13	SLU
-429	Max	4.83	1	SND	9.40	7	SND	0.92	7	SND	0.02	7	SND	0.01	1	SND	0.00	7	SND
-429	Min.	-4.75	1	SND	-9.09	7	SND	-5.06	7	SND	-0.02	7	SND	-0.01	1	SND	0.00	13	SLU
-428	Max	4.83	1	SND	9.40	7	SND	1.05	7	SND	0.02	7	SND	0.01	1	SND	0.00	7	SND
-428	Min.	-4.75	1	SND	-9.09	7	SND	-5.18	7	SND	-0.02	7	SND	-0.01	1	SND	0.00	13	SLU
-427	Max	4.83	1	SND	9.40	7	SND	1.18	7	SND	0.02	7	SND	0.01	1	SND	0.00	7	SND
-427	Min.	-4.75	1	SND	-9.08	7	SND	-5.31	7	SND	-0.02	7	SND	-0.01	1	SND	0.00	13	SLU
-426	Max	4.83	1	SND	9.40	7	SND	1.31	7	SND	0.02	7	SND	0.01	1	SND	0.00	7	SND
-426	Min.	-4.75	1	SND	-9.08	7	SND	-5.43	7	SND	-0.02	7	SND	-0.01	1	SND	0.00	13	SLU
-425	Max	4.83	1	SND	9.40	7	SND	1.44	7	SND	0.02	7	SND	0.01	1	SND	0.00	7	SND
-425	Min.	-4.75	1	SND	-9.07	7	SND	-5.55	7	SND	-0.02	7	SND	-0.01	1	SND	0.00	13	SLU
-424	Max	4.37	1	SND	8.51	7	SND	1.30	7	SND	0.02	7	SND	0.01	1	SND	0.00	7	SND
-424	Min.	-4.30	1	SND	-8.21	7	SND	-5.69	7	SND	-0.02	7	SND	-0.01	1	SND	0.00	13	SLU
-423	Max	4.37	1	SND	8.52	7	SND	1.15	7	SND	0.02	7	SND	0.01	1	SND	0.00	7	SND
-423	Min.	-4.30	1	SND	-8.21	7	SND	-5.53	7	SND	-0.02	7	SND	-0.01	1	SND	0.00	13	SLU
-422	Max	4.37	1	SND	8.52	7	SND	0.99	7	SND	0.02	7	SND	0.01	1	SND	0.00	7	SND
-422	Min.	-4.30	1	SND	-8.20	7	SND	-5.37	7	SND	-0.02	7	SND	-0.01	1	SND	0.00	13	SLU
-421	Max	4.37	1	SND	8.53	7	SND	0.84	7	SND	0.02	7	SND	0.01	1	SND	0.00	7	SND
-421	Min.	-4.30	1	SND	-8.20	7	SND	-5.21	7	SND	-0.02	7	SND	-0.01	1	SND	0.00	13	SLU
-420	Max	4.37	1	SND	8.53	7	SND	0.69	7	SND	0.02	7	SND	0.01	1	SND	0.00	7	SND
-420	Min.	-4.30	1	SND	-8.20	7	SND	-5.04	7	SND	-0.02	7	SND	-0.01	1	SND	0.00	13	SLU
-419	Max	4.37	1	SND	8.53	7	SND	0.57	7	SND	0.02	7	SND	0.01	1	SND	0.00	1	SND
-419	Min.	-4.30	1	SND	-8.20	7	SND	-4.91	7	SND	-0.02	7	SND	-0.01	1	SND	0.00	1	SND
-418	Max	4.37	1	SND	8.53	7	SND	0.70	7	SND	0.02	7	SND	0.01	1	SND	0.00	13	SLU
-418	Min.	-4.30	1	SND	-8.20	7	SND	-5.04	7	SND	-0.02	7	SND	-0.01	1	SND	0.00	7	SND
-417	Max	4.37	1	SND	8.53	7	SND	0.82	7	SND	0.02	7	SND	0.01	1	SND	0.00	13	SLU
-417	Min.	-4.30	1	SND	-8.20	7	SND	-5.16	7	SND	-0.02	7	SND	-0.01	1	SND	0.00	7	SND
-416	Max	4.37	1	SND	8.53	7	SND	0.95	7	SND	0.02	7	SND	0.01	1	SND	0.00	13	SLU
-416	Min.	-4.30	1	SND	-8.20	7	SND	-5.28	7	SND	-0.02	7	SND	-0.01	1	SND	0.00	7	SND
-415	Max	4.37	1	SND	8.52	7	SND	1.08	7	SND	0.02	7	SND	0.01	1	SND	0.00	13	SLU
-415	Min.	-4.30	1	SND	-8.20	7	SND	-5.40	7	SND	-0.02	7	SND	-0.01	1	SND	0.00	7	SND
-414	Max	4.37	1	SND	8.51	7	SND	1.21	7	SND	0.02	7	SND	0.01	1	SND	0.00	13	SLU
-414	Min.	-4.30	1	SND	-8.21	7	SND	-5.53	7	SND	-0.02	7	SND	-0.01	1	SND	0.00	7	SND
-413	Max	4.37	1	SND	8.51	7	SND	1.34	7	SND	0.02	7	SND	0.01	1	SND	0.00	13	SLU
-413	Min.	-4.30	1	SND	-8.21	7	SND	-5.65	7	SND	-0.02	7	SND	-0.01	1	SND	0.00	7	SND
-412	Max	4.37	1	SND	8.51	7	SND	0.94	1	SND	0.02	7	SND	0.01	1	SND	0.00	1	SND
-412	Min.	-4.30	1	SND	-8.21	7	SND	-5.30	1	SND	-0.02	7	SND	-0.01	1	SND	0.00	13	SLU
-411	Max	4.37	1	SND	8.51	7	SND	0.98	1	SND	0.02	7	SND	0.01	1	SND	0.00	13	SLU
-411	Min.	-4.29	1	SND	-8.21	7	SND	-5.26	1	SND	-0.02	7	SND	-0.01	1	SND	0.00	1	SND
-410	Max	4.36	1	SND	8.51	7	SND	0.68	1	SND	0.02	7	SND	0.01	1	SND	0.00	1	SND
-410	Min.	-4.30	1	SND	-8.21	7	SND	-5.01	1	SND	-0.02	7	SND	-0.01	1	SND	0.00	1	SND
-409	Max	4.37	1	SND	8.51	7	SND	0.73	1	SND	0.02	7	SND	0.01	1	SND	0.00	1	SND
-409	Min.	-4.29	1	SND	-8.21	7	SND	-4.97	1	SND	-0.02	7	SND	-0.01	1	SND	0.00	1	SND
-408	Max	4.36	1	SND	8.51	7	SND	0.43	1	SND	0.02	7	SND	0.01	1	SND	0.00	7	SND
-408	Min.	-4.30	1	SND	-8.21	7	SND	-4.72	1	SND	-0.02	7	SND	-0.01	1	SND	0.00	7	SND
-407	Max	4.37	1	SND	8.51	7	SND	0.47	1	SND	0.02	7	SND	0.01	1	SND	0.00	7	SND
-407	Min.	-4.29	1	SND	-8.21	7	SND	-4.68	1	SND	-0.02	7	SND	-0.01	1	SND	0.00	7	SND
-406	Max	4.36	1	SND	8.51	7	SND	0.72	1	SND	0.02	7	SND	0.01	1	SND	0.00	1	SND
-406	Min.	-4.30	1	SND	-8.21	7	SND	-4.98	1	SND	-0.02	7	SND	-0.01	1	SND	0.00	1	SND
-405	Max	4.37	1	SND	8.51	7	SND	0.76	1	SND	0.02	7</							

Relazione di calcolo

-395	Max	4.37	1	SND	8.50	7	SND	0.92	SND	0.02	7	SND	0.01	1	SND	0.00	7	SND	
-395	Min.	-4.30	1	SND	-8.23	7	SND	-5.06	SND	-0.02	7	SND	-0.01	1	SND	0.00	13	SND	
-394	Max	4.37	1	SND	8.50	7	SND	1.05	SND	0.02	7	SND	0.01	1	SND	0.00	7	SND	
-394	Min.	-4.30	1	SND	-8.23	7	SND	-5.18	7	SND	-0.02	7	SND	-0.01	1	SND	0.00	13	SND
-393	Max	4.37	1	SND	8.50	7	SND	1.18	7	SND	0.02	7	SND	0.01	1	SND	0.00	7	SND
-393	Min.	-4.30	1	SND	-8.22	7	SND	-5.31	7	SND	-0.02	7	SND	-0.01	1	SND	0.00	13	SND
-392	Max	4.37	1	SND	8.51	7	SND	1.31	7	SND	0.02	7	SND	0.01	1	SND	0.00	7	SND
-392	Min.	-4.30	1	SND	-8.22	7	SND	-5.43	7	SND	-0.02	7	SND	-0.01	1	SND	0.00	13	SND
-391	Max	4.37	1	SND	8.51	7	SND	1.44	7	SND	0.02	7	SND	0.01	1	SND	0.00	7	SND
-391	Min.	-4.30	1	SND	-8.21	7	SND	-5.55	7	SND	-0.02	7	SND	-0.01	1	SND	0.00	13	SND
-390	Max	3.91	1	SND	7.62	7	SND	1.30	7	SND	0.02	7	SND	0.01	1	SND	0.00	7	SND
-390	Min.	-3.84	1	SND	-7.35	7	SND	-5.69	7	SND	-0.02	7	SND	-0.01	1	SND	0.00	13	SND
-389	Max	3.91	1	SND	7.62	7	SND	1.15	7	SND	0.02	7	SND	0.01	1	SND	0.00	7	SND
-389	Min.	-3.84	1	SND	-7.34	7	SND	-5.53	7	SND	-0.02	7	SND	-0.01	1	SND	0.00	13	SND
-388	Max	3.91	1	SND	7.63	7	SND	0.99	7	SND	0.02	7	SND	0.01	1	SND	0.00	7	SND
-388	Min.	-3.84	1	SND	-7.34	7	SND	-5.37	7	SND	-0.02	7	SND	-0.01	1	SND	0.00	13	SND
-387	Max	3.91	1	SND	7.64	7	SND	0.84	7	SND	0.02	7	SND	0.01	1	SND	0.00	7	SND
-387	Min.	-3.84	1	SND	-7.33	7	SND	-5.21	7	SND	-0.02	7	SND	-0.01	1	SND	0.00	13	SND
-386	Max	3.91	1	SND	7.64	7	SND	0.69	7	SND	0.02	7	SND	0.01	1	SND	0.00	7	SND
-386	Min.	-3.84	1	SND	-7.33	7	SND	-5.04	7	SND	-0.02	7	SND	-0.01	1	SND	0.00	13	SND
-385	Max	3.91	1	SND	7.65	7	SND	0.57	7	SND	0.02	7	SND	0.01	1	SND	0.00	1	SND
-385	Min.	-3.84	1	SND	-7.33	7	SND	-4.91	7	SND	-0.02	7	SND	-0.01	1	SND	0.00	1	SND
-384	Max	3.91	1	SND	7.64	7	SND	0.70	7	SND	0.02	7	SND	0.01	1	SND	0.00	13	SND
-384	Min.	-3.84	1	SND	-7.33	7	SND	-5.04	7	SND	-0.02	7	SND	-0.01	1	SND	0.00	7	SND
-383	Max	3.91	1	SND	7.64	7	SND	0.82	7	SND	0.02	7	SND	0.01	1	SND	0.00	13	SND
-383	Min.	-3.84	1	SND	-7.33	7	SND	-5.16	7	SND	-0.02	7	SND	-0.01	1	SND	0.00	7	SND
-382	Max	3.91	1	SND	7.64	7	SND	0.95	7	SND	0.02	7	SND	0.01	1	SND	0.00	13	SND
-382	Min.	-3.84	1	SND	-7.33	7	SND	-5.28	7	SND	-0.02	7	SND	-0.01	1	SND	0.00	7	SND
-381	Max	3.91	1	SND	7.63	7	SND	1.08	7	SND	0.02	7	SND	0.01	1	SND	0.00	13	SND
-381	Min.	-3.84	1	SND	-7.34	7	SND	-5.40	7	SND	-0.02	7	SND	-0.01	1	SND	0.00	7	SND
-380	Max	3.91	1	SND	7.62	7	SND	1.21	7	SND	0.02	7	SND	0.01	1	SND	0.00	13	SND
-380	Min.	-3.84	1	SND	-7.34	7	SND	-5.53	7	SND	-0.02	7	SND	-0.01	1	SND	0.00	7	SND
-379	Max	3.91	1	SND	7.62	7	SND	1.34	7	SND	0.02	7	SND	0.01	1	SND	0.00	13	SND
-379	Min.	-3.84	1	SND	-7.35	7	SND	-5.65	7	SND	-0.02	7	SND	-0.01	1	SND	0.00	7	SND
-378	Max	3.91	1	SND	7.62	7	SND	0.94	1	SND	0.02	7	SND	0.01	1	SND	0.00	1	SND
-378	Min.	-3.85	1	SND	-7.35	7	SND	-5.30	1	SND	-0.02	7	SND	-0.01	1	SND	0.00	13	SND
-377	Max	3.91	1	SND	7.62	7	SND	0.98	1	SND	0.02	7	SND	0.01	1	SND	0.00	13	SND
-377	Min.	-3.84	1	SND	-7.35	7	SND	-5.26	1	SND	-0.02	7	SND	-0.01	1	SND	0.00	1	SND
-376	Max	3.91	1	SND	7.62	7	SND	0.68	1	SND	0.02	7	SND	0.01	1	SND	0.00	1	SND
-376	Min.	-3.85	1	SND	-7.35	7	SND	-5.01	1	SND	-0.02	7	SND	-0.01	1	SND	0.00	1	SND
-375	Max	3.91	1	SND	7.62	7	SND	0.73	1	SND	0.02	7	SND	0.01	1	SND	0.00	1	SND
-375	Min.	-3.84	1	SND	-7.35	7	SND	-4.97	1	SND	-0.02	7	SND	-0.01	1	SND	0.00	1	SND
-374	Max	3.90	1	SND	7.62	7	SND	0.43	1	SND	0.02	7	SND	0.01	1	SND	0.00	7	SND
-374	Min.	-3.85	1	SND	-7.35	7	SND	-4.72	1	SND	-0.02	7	SND	-0.01	1	SND	0.00	7	SND
-373	Max	3.91	1	SND	7.62	7	SND	0.47	1	SND	0.02	7	SND	0.01	1	SND	0.00	7	SND
-373	Min.	-3.84	1	SND	-7.35	7	SND	-4.68	1	SND	-0.02	7	SND	-0.01	1	SND	0.00	7	SND
-372	Max	3.90	1	SND	7.62	7	SND	0.72	1	SND	0.02	7	SND	0.01	1	SND	0.00	1	SND
-372	Min.	-3.85	1	SND	-7.35	7	SND	-4.98	1	SND	-0.02	7	SND	-0.01	1	SND	0.00	1	SND
-371	Max	3.91	1	SND	7.62	7	SND	0.76	1	SND	0.02	7	SND	0.01	1	SND	0.00	1	SND
-371	Min.	-3.84	1	SND	-7.35	7	SND	-4.94	1	SND	-0.02	7	SND	-0.01	1	SND	0.00	1	SND
-370	Max	3.91	1	SND	7.62	7	SND	1.01	1	SND	0.02	7	SND	0.01	1	SND	0.00	13	SND
-370	Min.	-3.85	1	SND	-7.35	7	SND	-5.23	1	SND	-0.02	7	SND	-0.01	1	SND	0.00	1	SND
-369	Max	3.91	1	SND	7.62	7	SND	1.05	1	SND	0.02	7	SND	0.01	1	SND	0.00	1	SND
-369	Min.	-3.84	1	SND	-7.35	7	SND	-5.19	1	SND	-0.02	7	SND	-0.01	1	SND	0.00	13	SND
-368	Max	3.91	1	SND	7.62	7	SND	1.40	7	SND	0.02	7	SND	0.01	1	SND	0.00	13	SND
-368	Min.	-3.84	1	SND	-7.35	7	SND	-5.59	7	SND	-0.02	7	SND	-0.01	1	SND	0.00	7	SND
-367	Max	3.91	1	SND	7.61	7	SND	1.25	7	SND	0.02	7	SND	0.01	1	SND	0.00	13	SND
-367	Min.	-3.84	1	SND	-7.35	7	SND	-5.43	7	SND	-0.02	7	SND	-0.01	1	SND	0.00	7	SND
-366	Max	3.91	1	SND	7.61	7	SND	1.09	7	SND	0.02	7	SND	0.01	1	SND	0.00	13	SND
-366	Min.	-3.84	1	SND	-7.36	7	SND	-5.27	7	SND	-0.02	7	SND	-0.01	1	SND	0.00	7	SND
-365	Max	3.91	1	SND	7.60	7	SND	0.94	7	SND	0.02	7	SND	0.01	1	SND	0.00	13	SND
-365	Min.	-3.84	1	SND	-7.37	7	SND	-5.11	7	SND	-0.02	7	SND	-0.01	1	SND	0.00	7	SND
-364	Max	3.91	1	SND	7.60	7	SND	0.78	7	SND	0.02	7	SND	0.01	1	SND	0.00	13	SND
-364	Min.	-3.84	1	SND	-7.38	7	SND	-4.95	7	SND	-0.02	7	SND	-0.01	1	SND	0.00	7	SND
-363	Max	3.91	1	SND	7.60	7	SND	0.66	7	SND	0.02	7	SND	0.01	1	SND	0.00	1	SND
-363	Min.	-3.84	1	SND	-7.38	7	SND	-4.82	7	SND	-0.02	7	SND	-0.01	1	SND	0.00	1	SND
-362	Max	3.91	1	SND	7.60	7	SND	0.79	7	SND	0.02	7	SND	0.01	1	SND	0.00	7	SND
-362	Min.	-3.84	1	SND	-7.38	7	SND	-4.94	7	SND	-0.02	7	SND	-0.01	1	SND	0.00	13	SND
-361	Max	3.91	1	SND	7.60	7	SND	0.92	7	SND	0.02	7	SND	0.01	1	SND	0.00	7	SND
-361	Min.	-3.84	1	SND	-7.37	7	SND	-5.06	7	SND	-0.02	7	SND	-0.01	1	SND	0.00	13	SND
-360	Max	3.91	1	SND	7.60	7	SND	1.05	7	SND	0.02	7	SND	0.01	1	SND	0.00	7	SND
-360	Min.	-3.84	1	SND	-7.37	7	SND	-5.18	7	SND	-0.02	7	SND	-0.01	1	SND	0.00	13	SND
-359	Max	3.91	1	SND	7.61	7	SND	1.18	7	SND	0.02	7	SND	0.01	1	SND	0.00	7	SND
-359	Min.	-3.84	1	SND	-7.36	7	SND	-5.31	7	SND	-0.02	7	SND	-0.01	1	SND	0.00	13	SND
-358	Max	3.91	1	SND	7.61	7	SND	1.31	7	SND	0.02	7	SND	0.01	1	SND	0.00	7	SND
-358	Min.	-3.84	1	SND	-7.35	7	SND	-5.43	7	SND	-0.02	7	SND	-0.01	1	SND	0.00	13	SND
-357	Max	3.91	1	SND	7.62	7	SND	1.44	7	SND	0.02	7	SND	0.01	1	SND	0.00	7	SND
-357	Min.	-3.84	1	SND	-7.35	7	SND	-5.55	7	SND	-0.02	7	SND	-0.01	1	SND	0.00	13	SND
-356	Max	3.45	1	SND	6.72	7	SND	1.30	7	SND	0.02	7	SND	0.01	1	SND	0.00	7	SND
-356	Min.	-3.39	1	SND	-6.48	7	SND	-5.69	7	SND	-0.02	7	SND	-0.01	1	SND	0.00	13	SND
-355	Max	3.45	1	SND	6.73	7	SND	1.15	7	SND	0.02	7	SND	0.01	1	SND	0.00	7	SND
-355	Min.	-3.39	1	SND	-6.48	7	SND	-5.53	7	SND	-0.02	7	SND	-0.01	1	SND	0.00	13	SND
-354	Max	3.45	1	SND	6.74	7	SND	0.99	7	SND	0.02	7	SND	0.01	1	SND	0.00	7	SND
-354	Min.	-3.39	1	SND	-6.47	7	SND	-5.37	7	SND	-0.02	7	SND	-0.01	1	SND	0.00	13	SND
-353	Max	3.45	1	SND	6.75	7	SND	0.84	7	SND	0.02	7	SND	0.01	1	SND	0.00	7	SND
-353	Min.	-3.39	1	SND	-6.46	7	SND	-5.21	7	SND	-0.02	7	SND	-0.01	1	SND	0.0		

Relazione di calcolo

-343	Min.	-3.39	1	SND	-6.48	7	SND	-5.26	1	SND	-0.02	7	SND	-0.01	1	SND	0.00	1	SND
-342	Max	3.45	1	SND	6.72	7	SND	0.68	1	SND	0.02	7	SND	0.01	1	SND	0.00	1	SND
-342	Min.	-3.40	1	SND	-6.48	7	SND	-5.01	1	SND	-0.02	7	SND	-0.01	1	SND	0.00	1	SND
-341	Max	3.45	1	SND	6.72	7	SND	0.73	1	SND	0.02	7	SND	0.01	1	SND	0.00	1	SND
-341	Min.	-3.39	1	SND	-6.48	7	SND	-4.97	1	SND	-0.02	7	SND	-0.01	1	SND	0.00	1	SND
-340	Max	3.45	1	SND	6.72	7	SND	0.43	1	SND	0.02	7	SND	0.01	1	SND	0.00	7	SND
-340	Min.	-3.40	1	SND	-6.48	7	SND	-4.72	1	SND	-0.02	7	SND	-0.01	1	SND	0.00	7	SND
-339	Max	3.45	1	SND	6.72	7	SND	0.47	1	SND	0.02	7	SND	0.01	1	SND	0.00	7	SND
-339	Min.	-3.39	1	SND	-6.48	7	SND	-4.68	1	SND	-0.02	7	SND	-0.01	1	SND	0.00	7	SND
-338	Max	3.45	1	SND	6.72	7	SND	0.72	1	SND	0.02	7	SND	0.01	1	SND	0.00	1	SND
-338	Min.	-3.40	1	SND	-6.48	7	SND	-4.98	1	SND	-0.02	7	SND	-0.01	1	SND	0.00	1	SND
-337	Max	3.45	1	SND	6.72	7	SND	0.76	1	SND	0.02	7	SND	0.01	1	SND	0.00	1	SND
-337	Min.	-3.39	1	SND	-6.48	7	SND	-4.94	1	SND	-0.02	7	SND	-0.01	1	SND	0.00	1	SND
-336	Max	3.45	1	SND	6.72	7	SND	1.01	1	SND	0.02	7	SND	0.01	1	SND	0.00	13	SLU
-336	Min.	-3.40	1	SND	-6.48	7	SND	-5.23	1	SND	-0.02	7	SND	-0.01	1	SND	0.00	1	SND
-335	Max	3.45	1	SND	6.72	7	SND	1.05	1	SND	0.02	7	SND	0.01	1	SND	0.00	1	SND
-335	Min.	-3.39	1	SND	-6.48	7	SND	-5.19	1	SND	-0.02	7	SND	-0.01	1	SND	0.00	13	SLU
-334	Max	3.45	1	SND	6.72	7	SND	1.40	7	SND	0.02	7	SND	0.01	1	SND	0.00	13	SLU
-334	Min.	-3.39	1	SND	-6.48	7	SND	-5.59	7	SND	-0.02	7	SND	-0.01	1	SND	0.00	7	SND
-333	Max	3.45	1	SND	6.72	7	SND	1.25	7	SND	0.02	7	SND	0.01	1	SND	0.00	13	SLU
-333	Min.	-3.39	1	SND	-6.49	7	SND	-5.43	7	SND	-0.02	7	SND	-0.01	1	SND	0.00	7	SND
-332	Max	3.45	1	SND	6.71	7	SND	1.09	7	SND	0.02	7	SND	0.01	1	SND	0.00	13	SLU
-332	Min.	-3.39	1	SND	-6.50	7	SND	-5.27	7	SND	-0.02	7	SND	-0.01	1	SND	0.00	7	SND
-331	Max	3.45	1	SND	6.70	7	SND	0.94	7	SND	0.02	7	SND	0.01	1	SND	0.00	13	SLU
-331	Min.	-3.39	1	SND	-6.51	7	SND	-5.11	7	SND	-0.02	7	SND	-0.01	1	SND	0.00	7	SND
-330	Max	3.45	1	SND	6.70	7	SND	0.78	7	SND	0.02	7	SND	0.01	1	SND	0.00	13	SLU
-330	Min.	-3.39	1	SND	-6.52	7	SND	-4.95	7	SND	-0.02	7	SND	-0.01	1	SND	0.00	7	SND
-329	Max	3.45	1	SND	6.70	7	SND	0.66	7	SND	0.02	7	SND	0.01	1	SND	0.00	1	SND
-329	Min.	-3.39	1	SND	-6.52	7	SND	-4.82	7	SND	-0.02	7	SND	-0.01	1	SND	0.00	1	SND
-328	Max	3.45	1	SND	6.70	7	SND	0.79	7	SND	0.02	7	SND	0.01	1	SND	0.00	7	SND
-328	Min.	-3.39	1	SND	-6.52	7	SND	-4.94	7	SND	-0.02	7	SND	-0.01	1	SND	0.00	13	SLU
-327	Max	3.45	1	SND	6.70	7	SND	0.92	7	SND	0.02	7	SND	0.01	1	SND	0.00	7	SND
-327	Min.	-3.39	1	SND	-6.51	7	SND	-5.06	7	SND	-0.02	7	SND	-0.01	1	SND	0.00	13	SLU
-326	Max	3.45	1	SND	6.70	7	SND	1.05	7	SND	0.02	7	SND	0.01	1	SND	0.00	7	SND
-326	Min.	-3.39	1	SND	-6.51	7	SND	-5.18	7	SND	-0.02	7	SND	-0.01	1	SND	0.00	13	SLU
-325	Max	3.45	1	SND	6.71	7	SND	1.18	7	SND	0.02	7	SND	0.01	1	SND	0.00	7	SND
-325	Min.	-3.39	1	SND	-6.50	7	SND	-5.31	7	SND	-0.02	7	SND	-0.01	1	SND	0.00	13	SLU
-324	Max	3.45	1	SND	6.72	7	SND	1.31	7	SND	0.02	7	SND	0.01	1	SND	0.00	7	SND
-324	Min.	-3.39	1	SND	-6.49	7	SND	-5.43	7	SND	-0.02	7	SND	-0.01	1	SND	0.00	13	SLU
-323	Max	3.45	1	SND	6.72	7	SND	1.44	7	SND	0.02	7	SND	0.01	1	SND	0.00	7	SND
-323	Min.	-3.39	1	SND	-6.48	7	SND	-5.55	7	SND	-0.02	7	SND	-0.01	1	SND	0.00	13	SLU
-322	Max	2.99	1	SND	5.83	7	SND	1.30	7	SND	0.02	7	SND	0.01	1	SND	0.00	7	SND
-322	Min.	-2.94	1	SND	-5.62	7	SND	-5.69	7	SND	-0.02	7	SND	-0.01	1	SND	0.00	13	SLU
-321	Max	2.99	1	SND	5.84	7	SND	1.15	7	SND	0.02	7	SND	0.01	1	SND	0.00	7	SND
-321	Min.	-2.94	1	SND	-5.61	7	SND	-5.53	7	SND	-0.02	7	SND	-0.01	1	SND	0.00	13	SLU
-320	Max	2.99	1	SND	5.85	7	SND	0.99	7	SND	0.02	7	SND	0.01	1	SND	0.00	7	SND
-320	Min.	-2.94	1	SND	-5.61	7	SND	-5.37	7	SND	-0.02	7	SND	-0.01	1	SND	0.00	13	SLU
-319	Max	2.99	1	SND	5.86	7	SND	0.84	7	SND	0.02	7	SND	0.01	1	SND	0.00	7	SND
-319	Min.	-2.94	1	SND	-5.60	7	SND	-5.20	7	SND	-0.02	7	SND	-0.01	1	SND	0.00	13	SLU
-318	Max	2.99	1	SND	5.86	7	SND	0.69	7	SND	0.02	7	SND	0.01	1	SND	0.00	7	SND
-318	Min.	-2.94	1	SND	-5.59	7	SND	-5.04	7	SND	-0.02	7	SND	-0.01	1	SND	0.00	13	SLU
-317	Max	2.99	1	SND	5.87	7	SND	0.57	7	SND	0.02	7	SND	0.01	1	SND	0.00	1	SND
-317	Min.	-2.94	1	SND	-5.59	7	SND	-4.91	7	SND	-0.02	7	SND	-0.01	1	SND	0.00	1	SND
-316	Max	2.99	1	SND	5.86	7	SND	0.70	7	SND	0.02	7	SND	0.01	1	SND	0.00	13	SLU
-316	Min.	-2.94	1	SND	-5.59	7	SND	-5.04	7	SND	-0.02	7	SND	-0.01	1	SND	0.00	7	SND
-315	Max	2.99	1	SND	5.86	7	SND	0.83	7	SND	0.02	7	SND	0.01	1	SND	0.00	13	SLU
-315	Min.	-2.94	1	SND	-5.60	7	SND	-5.16	7	SND	-0.02	7	SND	-0.01	1	SND	0.00	7	SND
-314	Max	2.99	1	SND	5.85	7	SND	0.95	7	SND	0.02	7	SND	0.01	1	SND	0.00	13	SLU
-314	Min.	-2.94	1	SND	-5.60	7	SND	-5.28	7	SND	-0.02	7	SND	-0.01	1	SND	0.00	7	SND
-313	Max	2.99	1	SND	5.84	7	SND	1.08	7	SND	0.02	7	SND	0.01	1	SND	0.00	13	SLU
-313	Min.	-2.94	1	SND	-5.61	7	SND	-5.40	7	SND	-0.02	7	SND	-0.01	1	SND	0.00	7	SND
-312	Max	2.99	1	SND	5.83	7	SND	1.21	7	SND	0.02	7	SND	0.01	1	SND	0.00	13	SLU
-312	Min.	-2.94	1	SND	-5.62	7	SND	-5.53	7	SND	-0.02	7	SND	-0.01	1	SND	0.00	7	SND
-311	Max	2.99	1	SND	5.83	7	SND	1.34	7	SND	0.02	7	SND	0.01	1	SND	0.00	13	SLU
-311	Min.	-2.94	1	SND	-5.62	7	SND	-5.65	7	SND	-0.02	7	SND	-0.01	1	SND	0.00	7	SND
-310	Max	2.99	1	SND	5.83	7	SND	0.94	1	SND	0.02	7	SND	0.01	1	SND	0.00	1	SND
-310	Min.	-2.94	1	SND	-5.62	7	SND	-5.30	1	SND	-0.02	7	SND	-0.01	1	SND	0.00	1	SND
-309	Max	2.99	1	SND	5.83	7	SND	0.98	1	SND	0.02	7	SND	0.01	1	SND	0.00	13	SLU
-309	Min.	-2.94	1	SND	-5.62	7	SND	-5.26	1	SND	-0.02	7	SND	-0.01	1	SND	0.00	1	SND
-308	Max	2.99	1	SND	5.83	7	SND	0.68	1	SND	0.02	7	SND	0.01	1	SND	0.00	1	SND
-308	Min.	-2.95	1	SND	-5.62	7	SND	-5.01	1	SND	-0.02	7	SND	-0.01	1	SND	0.00	1	SND
-307	Max	2.99	1	SND	5.83	7	SND	0.73	1	SND	0.02	7	SND	0.01	1	SND	0.00	1	SND
-307	Min.	-2.94	1	SND	-5.62	7	SND	-4.97	1	SND	-0.02	7	SND	-0.01	1	SND	0.00	1	SND
-306	Max	2.99	1	SND	5.83	7	SND	0.43	1	SND	0.02	7	SND	0.01	1	SND	0.00	7	SND
-306	Min.	-2.95	1	SND	-5.62	7	SND	-4.72	1	SND	-0.02	7	SND	-0.01	1	SND	0.00	7	SND
-305	Max	2.99	1	SND	5.83	7	SND	0.47	1	SND	0.02	7	SND	0.01	1	SND	0.00	7	SND
-305	Min.	-2.94	1	SND	-5.62	7	SND	-4.68	1	SND	-0.02	7	SND	-0.01	1	SND	0.00	7	SND
-304	Max	2.99	1	SND	5.83	7	SND	0.72	1	SND	0.02	7	SND	0.01	1	SND	0.00	1	SND
-304	Min.	-2.95	1	SND	-5.62	7	SND	-4.98	1	SND	-0.02	7	SND	-0.01	1	SND	0.00	1	SND
-303	Max	2.99	1	SND	5.83	7	SND	0.76	1	SND	0.02	7	SND	0.01	1	SND	0.00	1	SND
-303	Min.	-2.94	1	SND	-5.62	7	SND	-4.93	1	SND	-0.02	7	SND	-0.01	1	SND	0.00	1	SND
-302	Max	2.99	1	SND	5.83	7	SND	1.01	1	SND	0.02	7	SND	0.01	1	SND	0.00	1	SND
-302	Min.	-2.94	1	SND	-5.62	7	SND	-5.23	1	SND	-0.02	7	SND	-0.01	1	SND	0.00	1	SND
-301	Max	2.99	1	SND	5.83	7	SND	1.05	1	SND	0.02	7	SND	0.01	1	SND	0.00	1	SND
-301	Min.	-2.94	1	SND	-5.62	7	SND	-5.19	1	SND	-0.02	7	SND	-0.01	1	SND	0.00	1	SND
-300	Max	2.99	1	SND	5.83	7	SND	1.40	7	SND	0.02	7</							

Relazione di calcolo

-290	Max	2.99	1	SND	5.82	7	SND	1.31	SND	0.02	7	SND	0.01	1	SND	0.00	7	SND	
-290	Min.	-2.94	1	SND	-5.63	7	SND	-5.43	SND	-0.02	7	SND	-0.01	1	SND	0.00	13	SLU	
-289	Max	2.99	1	SND	5.83	7	SND	1.44	SND	0.02	7	SND	0.01	1	SND	0.00	7	SND	
-289	Min.	-2.94	1	SND	-5.62	7	SND	-5.55	7	SND	-0.02	7	SND	-0.01	1	SND	0.00	13	SLU
-288	Max	2.53	1	SND	4.93	7	SND	1.30	7	SND	0.02	7	SND	0.01	1	SND	0.00	7	SND
-288	Min.	-2.49	1	SND	-4.76	7	SND	-5.69	7	SND	-0.02	7	SND	-0.01	1	SND	0.00	13	SLU
-287	Max	2.53	1	SND	4.94	7	SND	1.15	7	SND	0.02	7	SND	0.01	1	SND	0.00	7	SND
-287	Min.	-2.49	1	SND	-4.75	7	SND	-5.53	7	SND	-0.02	7	SND	-0.01	1	SND	0.00	13	SLU
-286	Max	2.53	1	SND	4.95	7	SND	0.99	7	SND	0.02	7	SND	0.01	1	SND	0.00	7	SND
-286	Min.	-2.49	1	SND	-4.74	7	SND	-5.37	7	SND	-0.02	7	SND	-0.01	1	SND	0.00	13	SLU
-285	Max	2.53	1	SND	4.96	7	SND	0.84	7	SND	0.02	7	SND	0.01	1	SND	0.00	7	SND
-285	Min.	-2.49	1	SND	-4.73	7	SND	-5.20	7	SND	-0.02	7	SND	-0.01	1	SND	0.00	13	SLU
-284	Max	2.53	1	SND	4.97	7	SND	0.69	7	SND	0.02	7	SND	0.01	1	SND	0.00	7	SND
-284	Min.	-2.49	1	SND	-4.73	7	SND	-5.04	7	SND	-0.02	7	SND	-0.01	1	SND	0.00	13	SLU
-283	Max	2.53	1	SND	4.97	7	SND	0.57	7	SND	0.02	7	SND	0.01	1	SND	0.00	13	SLU
-283	Min.	-2.49	1	SND	-4.72	7	SND	-4.91	7	SND	-0.02	7	SND	-0.01	1	SND	0.00	1	SND
-282	Max	2.53	1	SND	4.97	7	SND	0.70	7	SND	0.02	7	SND	0.01	1	SND	0.00	13	SLU
-282	Min.	-2.49	1	SND	-4.73	7	SND	-5.04	7	SND	-0.02	7	SND	-0.01	1	SND	0.00	7	SND
-281	Max	2.53	1	SND	4.97	7	SND	0.83	7	SND	0.02	7	SND	0.01	1	SND	0.00	13	SLU
-281	Min.	-2.49	1	SND	-4.73	7	SND	-5.16	7	SND	-0.02	7	SND	-0.01	1	SND	0.00	7	SND
-280	Max	2.53	1	SND	4.96	7	SND	0.95	7	SND	0.02	7	SND	0.01	1	SND	0.00	13	SLU
-280	Min.	-2.49	1	SND	-4.74	7	SND	-5.28	7	SND	-0.02	7	SND	-0.01	1	SND	0.00	7	SND
-279	Max	2.53	1	SND	4.95	7	SND	1.08	7	SND	0.02	7	SND	0.01	1	SND	0.00	13	SLU
-279	Min.	-2.49	1	SND	-4.74	7	SND	-5.40	7	SND	-0.02	7	SND	-0.01	1	SND	0.00	7	SND
-278	Max	2.53	1	SND	4.94	7	SND	1.21	7	SND	0.02	7	SND	0.01	1	SND	0.00	13	SLU
-278	Min.	-2.49	1	SND	-4.75	7	SND	-5.53	7	SND	-0.02	7	SND	-0.01	1	SND	0.00	7	SND
-277	Max	2.53	1	SND	4.93	7	SND	1.34	7	SND	0.02	7	SND	0.01	1	SND	0.00	13	SLU
-277	Min.	-2.49	1	SND	-4.76	7	SND	-5.65	7	SND	-0.02	7	SND	-0.01	1	SND	0.00	7	SND
-276	Max	2.53	1	SND	4.93	7	SND	0.94	1	SND	0.02	7	SND	0.01	1	SND	0.00	1	SND
-276	Min.	-2.49	1	SND	-4.76	7	SND	-5.30	1	SND	-0.02	7	SND	-0.01	1	SND	0.00	1	SND
-275	Max	2.53	1	SND	4.93	7	SND	0.98	1	SND	0.02	7	SND	0.01	1	SND	0.00	1	SND
-275	Min.	-2.49	1	SND	-4.76	7	SND	-5.26	1	SND	-0.02	7	SND	-0.01	1	SND	0.00	1	SND
-274	Max	2.53	1	SND	4.93	7	SND	0.68	1	SND	0.02	7	SND	0.01	1	SND	0.00	1	SND
-274	Min.	-2.49	1	SND	-4.76	7	SND	-5.01	1	SND	-0.02	7	SND	-0.01	1	SND	0.00	1	SND
-273	Max	2.53	1	SND	4.93	7	SND	0.73	1	SND	0.02	7	SND	0.01	1	SND	0.00	1	SND
-273	Min.	-2.49	1	SND	-4.76	7	SND	-4.97	1	SND	-0.02	7	SND	-0.01	1	SND	0.00	1	SND
-272	Max	2.53	1	SND	4.93	7	SND	0.43	1	SND	0.02	7	SND	0.01	1	SND	0.00	7	SND
-272	Min.	-2.49	1	SND	-4.76	7	SND	-4.72	1	SND	-0.02	7	SND	-0.01	1	SND	0.00	7	SND
-271	Max	2.53	1	SND	4.93	7	SND	0.47	1	SND	0.02	7	SND	0.01	1	SND	0.00	7	SND
-271	Min.	-2.49	1	SND	-4.76	7	SND	-4.68	1	SND	-0.02	7	SND	-0.01	1	SND	0.00	7	SND
-270	Max	2.53	1	SND	4.93	7	SND	0.72	1	SND	0.02	7	SND	0.01	1	SND	0.00	1	SND
-270	Min.	-2.49	1	SND	-4.76	7	SND	-4.98	1	SND	-0.02	7	SND	-0.01	1	SND	0.00	1	SND
-269	Max	2.53	1	SND	4.93	7	SND	0.76	1	SND	0.02	7	SND	0.01	1	SND	0.00	1	SND
-269	Min.	-2.49	1	SND	-4.76	7	SND	-4.93	1	SND	-0.02	7	SND	-0.01	1	SND	0.00	1	SND
-268	Max	2.53	1	SND	4.93	7	SND	1.01	1	SND	0.02	7	SND	0.01	1	SND	0.00	1	SND
-268	Min.	-2.49	1	SND	-4.76	7	SND	-5.23	1	SND	-0.02	7	SND	-0.01	1	SND	0.00	1	SND
-267	Max	2.53	1	SND	4.93	7	SND	1.05	1	SND	0.02	7	SND	0.01	1	SND	0.00	1	SND
-267	Min.	-2.49	1	SND	-4.76	7	SND	-5.19	1	SND	-0.02	7	SND	-0.01	1	SND	0.00	1	SND
-266	Max	2.53	1	SND	4.93	7	SND	1.40	7	SND	0.02	7	SND	0.01	1	SND	0.00	13	SLU
-266	Min.	-2.49	1	SND	-4.76	7	SND	-5.59	7	SND	-0.02	7	SND	-0.01	1	SND	0.00	7	SND
-265	Max	2.53	1	SND	4.92	7	SND	1.25	7	SND	0.02	7	SND	0.01	1	SND	0.00	13	SLU
-265	Min.	-2.49	1	SND	-4.77	7	SND	-5.43	7	SND	-0.02	7	SND	-0.01	1	SND	0.00	7	SND
-264	Max	2.53	1	SND	4.91	7	SND	1.09	7	SND	0.02	7	SND	0.01	1	SND	0.00	13	SLU
-264	Min.	-2.49	1	SND	-4.78	7	SND	-5.27	7	SND	-0.02	7	SND	-0.01	1	SND	0.00	7	SND
-263	Max	2.53	1	SND	4.91	7	SND	0.94	7	SND	0.02	7	SND	0.01	1	SND	0.00	13	SLU
-263	Min.	-2.49	1	SND	-4.79	7	SND	-5.11	7	SND	-0.02	7	SND	-0.01	1	SND	0.00	7	SND
-262	Max	2.53	1	SND	4.90	7	SND	0.78	7	SND	0.02	7	SND	0.01	1	SND	0.00	13	SLU
-262	Min.	-2.49	1	SND	-4.80	7	SND	-4.94	7	SND	-0.02	7	SND	-0.01	1	SND	0.00	7	SND
-261	Max	2.53	1	SND	4.90	7	SND	0.66	7	SND	0.02	7	SND	0.01	1	SND	0.00	1	SND
-261	Min.	-2.49	1	SND	-4.80	7	SND	-4.82	7	SND	-0.02	7	SND	-0.01	1	SND	0.00	13	SLU
-260	Max	2.53	1	SND	4.90	7	SND	0.79	7	SND	0.02	7	SND	0.01	1	SND	0.00	7	SND
-260	Min.	-2.49	1	SND	-4.80	7	SND	-4.94	7	SND	-0.02	7	SND	-0.01	1	SND	0.00	13	SLU
-259	Max	2.53	1	SND	4.90	7	SND	0.92	7	SND	0.02	7	SND	0.01	1	SND	0.00	7	SND
-259	Min.	-2.49	1	SND	-4.79	7	SND	-5.06	7	SND	-0.02	7	SND	-0.01	1	SND	0.00	13	SLU
-258	Max	2.53	1	SND	4.91	7	SND	1.05	7	SND	0.02	7	SND	0.01	1	SND	0.00	7	SND
-258	Min.	-2.49	1	SND	-4.79	7	SND	-5.18	7	SND	-0.02	7	SND	-0.01	1	SND	0.00	13	SLU
-257	Max	2.53	1	SND	4.92	7	SND	1.18	7	SND	0.02	7	SND	0.01	1	SND	0.00	7	SND
-257	Min.	-2.49	1	SND	-4.78	7	SND	-5.31	7	SND	-0.02	7	SND	-0.01	1	SND	0.00	13	SLU
-256	Max	2.53	1	SND	4.93	7	SND	1.31	7	SND	0.02	7	SND	0.01	1	SND	0.00	7	SND
-256	Min.	-2.49	1	SND	-4.77	7	SND	-5.43	7	SND	-0.02	7	SND	-0.01	1	SND	0.00	13	SLU
-255	Max	2.53	1	SND	4.93	7	SND	1.44	7	SND	0.02	7	SND	0.01	1	SND	0.00	7	SND
-255	Min.	-2.49	1	SND	-4.76	7	SND	-5.55	7	SND	-0.02	7	SND	-0.01	1	SND	0.00	13	SLU
-254	Max	2.25	1	SND	4.38	7	SND	1.30	7	SND	0.02	7	SND	0.01	1	SND	0.00	7	SND
-254	Min.	-2.21	1	SND	-4.23	7	SND	-5.69	7	SND	-0.02	7	SND	-0.01	1	SND	0.00	13	SLU
-253	Max	2.25	1	SND	4.39	7	SND	1.15	7	SND	0.02	7	SND	0.01	1	SND	0.00	7	SND
-253	Min.	-2.21	1	SND	-4.22	7	SND	-5.53	7	SND	-0.02	7	SND	-0.01	1	SND	0.00	13	SLU
-252	Max	2.25	1	SND	4.41	7	SND	0.99	7	SND	0.02	7	SND	0.01	1	SND	0.00	7	SND
-252	Min.	-2.21	1	SND	-4.21	7	SND	-5.37	7	SND	-0.02	7	SND	-0.01	1	SND	0.00	13	SLU
-251	Max	2.25	1	SND	4.42	7	SND	0.84	7	SND	0.02	7	SND	0.01	1	SND	0.00	7	SND
-251	Min.	-2.21	1	SND	-4.20	7	SND	-5.20	7	SND	-0.02	7	SND	-0.01	1	SND	0.00	13	SLU
-250	Max	2.25	1	SND	4.42	7	SND	0.69	7	SND	0.02	7	SND	0.01	1	SND	0.00	7	SND
-250	Min.	-2.21	1	SND	-4.20	7	SND	-5.04	7	SND	-0.02	7	SND	-0.01	1	SND	0.00	13	SLU
-249	Max	2.25	1	SND	4.43	7	SND	0.57	7	SND	0.02	7	SND	0.01	1	SND	0.00	13	SLU
-249	Min.	-2.21	1	SND	-4.19	7	SND	-4.91	7	SND	-0.02	7	SND	-0.01	1	SND	0.00	1	SND
-248	Max	2.25	1	SND	4.42	7	SND	0.70	7	SND	0.02	7	SND	0.01	1	SND	0.00	13	SLU
-248	Min.	-2.21	1	SND	-4.20	7	SND	-5.04	7	SND	-0.02	7							

Relazione di calcolo

-238	Min.	-2.21	1	SND	-4.23	7	SND	-4.72	1	SND	-0.02	7	SND	-0.01	1	SND	0.00	7	SND
-237	Max	2.25	1	SND	4.38	7	SND	0.47	1	SND	0.02	7	SND	0.01	1	SND	0.00	7	SND
-237	Min.	-2.21	1	SND	-4.23	7	SND	-4.68	1	SND	-0.02	7	SND	-0.01	1	SND	0.00	7	SND
-236	Max	2.25	1	SND	4.38	7	SND	0.72	1	SND	0.02	7	SND	0.01	1	SND	0.00	1	SND
-236	Min.	-2.21	1	SND	-4.23	7	SND	-4.98	1	SND	-0.02	7	SND	-0.01	1	SND	0.00	1	SND
-235	Max	2.25	1	SND	4.38	7	SND	0.76	1	SND	0.02	7	SND	0.01	1	SND	0.00	1	SND
-235	Min.	-2.21	1	SND	-4.23	7	SND	-4.93	1	SND	-0.02	7	SND	-0.01	1	SND	0.00	1	SND
-234	Max	2.25	1	SND	4.38	7	SND	1.01	1	SND	0.02	7	SND	0.01	1	SND	0.00	1	SND
-234	Min.	-2.21	1	SND	-4.23	7	SND	-5.23	1	SND	-0.02	7	SND	-0.01	1	SND	0.00	1	SND
-233	Max	2.25	1	SND	4.38	7	SND	1.05	1	SND	0.02	7	SND	0.01	1	SND	0.00	1	SND
-233	Min.	-2.21	1	SND	-4.23	7	SND	-5.19	1	SND	-0.02	7	SND	-0.01	1	SND	0.00	1	SND
-232	Max	2.25	1	SND	4.38	7	SND	1.40	7	SND	0.02	7	SND	0.01	1	SND	0.00	13	SLU
-232	Min.	-2.21	1	SND	-4.23	7	SND	-5.59	7	SND	-0.02	7	SND	-0.01	1	SND	0.00	7	SND
-231	Max	2.25	1	SND	4.38	7	SND	1.25	7	SND	0.02	7	SND	0.01	1	SND	0.00	13	SLU
-231	Min.	-2.21	1	SND	-4.24	7	SND	-5.43	7	SND	-0.02	7	SND	-0.01	1	SND	0.00	7	SND
-230	Max	2.25	1	SND	4.37	7	SND	1.09	7	SND	0.02	7	SND	0.01	1	SND	0.00	13	SLU
-230	Min.	-2.21	1	SND	-4.25	7	SND	-5.27	7	SND	-0.02	7	SND	-0.01	1	SND	0.00	7	SND
-229	Max	2.25	1	SND	4.36	7	SND	0.94	7	SND	0.02	7	SND	0.01	1	SND	0.00	13	SLU
-229	Min.	-2.21	1	SND	-4.26	7	SND	-5.11	7	SND	-0.02	7	SND	-0.01	1	SND	0.00	7	SND
-228	Max	2.25	1	SND	4.35	7	SND	0.78	7	SND	0.02	7	SND	0.01	1	SND	0.00	13	SLU
-228	Min.	-2.21	1	SND	-4.27	7	SND	-4.94	7	SND	-0.02	7	SND	-0.01	1	SND	0.00	7	SND
-227	Max	2.25	1	SND	4.35	7	SND	0.66	7	SND	0.02	7	SND	0.01	1	SND	0.00	1	SND
-227	Min.	-2.21	1	SND	-4.27	7	SND	-4.82	7	SND	-0.02	7	SND	-0.01	1	SND	0.00	13	SLU
-226	Max	2.25	1	SND	4.35	7	SND	0.79	7	SND	0.02	7	SND	0.01	1	SND	0.00	7	SND
-226	Min.	-2.21	1	SND	-4.27	7	SND	-4.94	7	SND	-0.02	7	SND	-0.01	1	SND	0.00	13	SLU
-225	Max	2.25	1	SND	4.36	7	SND	0.92	7	SND	0.02	7	SND	0.01	1	SND	0.00	7	SND
-225	Min.	-2.21	1	SND	-4.26	7	SND	-5.06	7	SND	-0.02	7	SND	-0.01	1	SND	0.00	13	SLU
-224	Max	2.25	1	SND	4.36	7	SND	1.05	7	SND	0.02	7	SND	0.01	1	SND	0.00	7	SND
-224	Min.	-2.21	1	SND	-4.26	7	SND	-5.18	7	SND	-0.02	7	SND	-0.01	1	SND	0.00	13	SLU
-223	Max	2.25	1	SND	4.37	7	SND	1.18	7	SND	0.02	7	SND	0.01	1	SND	0.00	7	SND
-223	Min.	-2.21	1	SND	-4.25	7	SND	-5.31	7	SND	-0.02	7	SND	-0.01	1	SND	0.00	13	SLU
-222	Max	2.25	1	SND	4.38	7	SND	1.31	7	SND	0.02	7	SND	0.01	1	SND	0.00	7	SND
-222	Min.	-2.21	1	SND	-4.24	7	SND	-5.43	7	SND	-0.02	7	SND	-0.01	1	SND	0.00	13	SLU
-221	Max	2.25	1	SND	4.38	7	SND	1.44	7	SND	0.02	7	SND	0.01	1	SND	0.00	7	SND
-221	Min.	-2.21	1	SND	-4.23	7	SND	-5.55	7	SND	-0.02	7	SND	-0.01	1	SND	0.00	13	SLU
-220	Max	1.83	1	SND	3.56	7	SND	1.30	7	SND	0.02	7	SND	0.01	1	SND	0.00	7	SND
-220	Min.	-1.80	1	SND	-3.44	7	SND	-5.69	7	SND	-0.02	7	SND	-0.01	1	SND	0.00	13	SLU
-219	Max	1.83	1	SND	3.57	7	SND	1.15	7	SND	0.02	7	SND	0.01	1	SND	0.00	7	SND
-219	Min.	-1.80	1	SND	-3.43	7	SND	-5.53	7	SND	-0.02	7	SND	-0.01	1	SND	0.00	13	SLU
-218	Max	1.83	1	SND	3.58	7	SND	0.99	7	SND	0.02	7	SND	0.01	1	SND	0.00	7	SND
-218	Min.	-1.80	1	SND	-3.42	7	SND	-5.37	7	SND	-0.02	7	SND	-0.01	1	SND	0.00	13	SLU
-217	Max	1.83	1	SND	3.59	7	SND	0.84	7	SND	0.02	7	SND	0.01	1	SND	0.00	7	SND
-217	Min.	-1.80	1	SND	-3.41	7	SND	-5.20	7	SND	-0.02	7	SND	-0.01	1	SND	0.00	13	SLU
-216	Max	1.83	1	SND	3.60	7	SND	0.69	7	SND	0.02	7	SND	0.01	1	SND	0.00	7	SND
-216	Min.	-1.80	1	SND	-3.40	7	SND	-5.04	7	SND	-0.02	7	SND	-0.01	1	SND	0.00	13	SLU
-215	Max	1.83	1	SND	3.60	7	SND	0.57	7	SND	0.02	7	SND	0.01	1	SND	0.00	1	SND
-215	Min.	-1.80	1	SND	-3.40	7	SND	-4.91	7	SND	-0.02	7	SND	-0.01	1	SND	0.00	1	SND
-214	Max	1.83	1	SND	3.60	7	SND	0.70	7	SND	0.02	7	SND	0.01	1	SND	0.00	13	SLU
-214	Min.	-1.80	1	SND	-3.40	7	SND	-5.04	7	SND	-0.02	7	SND	-0.01	1	SND	0.00	7	SND
-213	Max	1.83	1	SND	3.59	7	SND	0.83	7	SND	0.02	7	SND	0.01	1	SND	0.00	13	SLU
-213	Min.	-1.80	1	SND	-3.41	7	SND	-5.16	7	SND	-0.02	7	SND	-0.01	1	SND	0.00	7	SND
-212	Max	1.83	1	SND	3.59	7	SND	0.95	7	SND	0.02	7	SND	0.01	1	SND	0.00	13	SLU
-212	Min.	-1.80	1	SND	-3.41	7	SND	-5.28	7	SND	-0.02	7	SND	-0.01	1	SND	0.00	7	SND
-211	Max	1.83	1	SND	3.58	7	SND	1.08	7	SND	0.02	7	SND	0.01	1	SND	0.00	13	SLU
-211	Min.	-1.80	1	SND	-3.42	7	SND	-5.40	7	SND	-0.02	7	SND	-0.01	1	SND	0.00	7	SND
-210	Max	1.83	1	SND	3.57	7	SND	1.21	7	SND	0.02	7	SND	0.01	1	SND	0.00	13	SLU
-210	Min.	-1.80	1	SND	-3.43	7	SND	-5.53	7	SND	-0.02	7	SND	-0.01	1	SND	0.00	7	SND
-209	Max	1.83	1	SND	3.56	7	SND	1.34	7	SND	0.02	7	SND	0.01	1	SND	0.00	13	SLU
-209	Min.	-1.80	1	SND	-3.44	7	SND	-5.65	7	SND	-0.02	7	SND	-0.01	1	SND	0.00	7	SND
-208	Max	1.83	1	SND	3.56	7	SND	0.94	1	SND	0.02	7	SND	0.01	1	SND	0.00	1	SND
-208	Min.	-1.80	1	SND	-3.44	7	SND	-5.30	1	SND	-0.02	7	SND	-0.01	1	SND	0.00	1	SND
-207	Max	1.83	1	SND	3.56	7	SND	0.98	1	SND	0.02	7	SND	0.01	1	SND	0.00	1	SND
-207	Min.	-1.80	1	SND	-3.44	7	SND	-5.26	1	SND	-0.02	7	SND	-0.01	1	SND	0.00	1	SND
-206	Max	1.83	1	SND	3.56	7	SND	0.68	1	SND	0.02	7	SND	0.01	1	SND	0.00	13	SLU
-206	Min.	-1.80	1	SND	-3.44	7	SND	-5.01	1	SND	-0.02	7	SND	-0.01	1	SND	0.00	1	SND
-205	Max	1.83	1	SND	3.56	7	SND	0.73	1	SND	0.02	7	SND	0.01	1	SND	0.00	1	SND
-205	Min.	-1.80	1	SND	-3.44	7	SND	-4.97	1	SND	-0.02	7	SND	-0.01	1	SND	0.00	13	SLU
-204	Max	1.83	1	SND	3.56	7	SND	0.43	1	SND	0.02	7	SND	0.01	1	SND	0.00	7	SND
-204	Min.	-1.80	1	SND	-3.44	7	SND	-4.72	1	SND	-0.02	7	SND	-0.01	1	SND	0.00	7	SND
-203	Max	1.83	1	SND	3.56	7	SND	0.47	1	SND	0.02	7	SND	0.01	1	SND	0.00	7	SND
-203	Min.	-1.80	1	SND	-3.44	7	SND	-4.68	1	SND	-0.02	7	SND	-0.01	1	SND	0.00	7	SND
-202	Max	1.83	1	SND	3.56	7	SND	0.72	1	SND	0.02	7	SND	0.01	1	SND	0.00	1	SND
-202	Min.	-1.80	1	SND	-3.44	7	SND	-4.98	1	SND	-0.02	7	SND	-0.01	1	SND	0.00	13	SLU
-201	Max	1.83	1	SND	3.56	7	SND	0.76	1	SND	0.02	7	SND	0.01	1	SND	0.00	13	SLU
-201	Min.	-1.80	1	SND	-3.44	7	SND	-4.93	1	SND	-0.02	7	SND	-0.01	1	SND	0.00	1	SND
-200	Max	1.83	1	SND	3.56	7	SND	1.01	1	SND	0.02	7	SND	0.01	1	SND	0.00	1	SND
-200	Min.	-1.80	1	SND	-3.44	7	SND	-5.23	1	SND	-0.02	7	SND	-0.01	1	SND	0.00	1	SND
-199	Max	1.83	1	SND	3.56	7	SND	1.05	1	SND	0.02	7	SND	0.01	1	SND	0.00	1	SND
-199	Min.	-1.80	1	SND	-3.44	7	SND	-5.19	1	SND	-0.02	7	SND	-0.01	1	SND	0.00	1	SND
-198	Max	1.83	1	SND	3.56	7	SND	1.40	7	SND	0.02	7	SND	0.01	1	SND	0.00	13	SLU
-198	Min.	-1.80	1	SND	-3.44	7	SND	-5.59	7	SND	-0.02	7	SND	-0.01	1	SND	0.00	7	SND
-197	Max	1.83	1	SND	3.55	7	SND	1.24	7	SND	0.02	7	SND	0.01	1	SND	0.00	13	SLU
-197	Min.	-1.80	1	SND	-3.45	7	SND	-5.43	7	SND	-0.02	7	SND	-0.01	1	SND	0.00	7	SND
-196	Max	1.83	1	SND	3.54	7	SND	1.09	7	SND	0.02	7	SND	0.01	1	SND	0.00	13	SLU
-196	Min.	-1.80	1	SND	-3.46	7	SND	-5.27	7	SND	-0.02	7	SND	-0.01	1	SND	0.00	7	SND
-195	Max	1.83	1	SND	3.54	7	SND	0.94	7	SND	0								

Relazione di calcolo

-185	Max	1.41	1	SND	2.75	7	SND	1.15	7	SND	0.02	7	SND	0.01	1	SND	0.00	7	SND
-185	Min.	-1.38	1	SND	-2.64	7	SND	-5.53	7	SND	-0.02	7	SND	-0.01	1	SND	0.00	13	SLU
-184	Max	1.41	1	SND	2.76	7	SND	0.99	7	SND	0.02	7	SND	0.01	1	SND	0.00	7	SND
-184	Min.	-1.38	1	SND	-2.63	7	SND	-5.37	7	SND	-0.02	7	SND	-0.01	1	SND	0.00	13	SLU
-183	Max	1.41	1	SND	2.77	7	SND	0.84	7	SND	0.02	7	SND	0.01	1	SND	0.00	7	SND
-183	Min.	-1.38	1	SND	-2.62	7	SND	-5.20	7	SND	-0.02	7	SND	-0.01	1	SND	0.00	13	SLU
-182	Max	1.41	1	SND	2.77	7	SND	0.69	7	SND	0.02	7	SND	0.01	1	SND	0.00	1	SND
-182	Min.	-1.38	1	SND	-2.62	7	SND	-5.04	7	SND	-0.02	7	SND	-0.01	1	SND	0.00	13	SLU
-181	Max	1.41	1	SND	2.77	7	SND	0.57	7	SND	0.02	7	SND	0.01	1	SND	0.00	1	SND
-181	Min.	-1.38	1	SND	-2.61	7	SND	-4.91	7	SND	-0.02	7	SND	-0.01	1	SND	0.00	1	SND
-180	Max	1.41	1	SND	2.77	7	SND	0.70	7	SND	0.02	7	SND	0.01	1	SND	0.00	13	SLU
-180	Min.	-1.38	1	SND	-2.62	7	SND	-5.04	7	SND	-0.02	7	SND	-0.01	1	SND	0.00	1	SND
-179	Max	1.41	1	SND	2.77	7	SND	0.83	7	SND	0.02	7	SND	0.01	1	SND	0.00	13	SLU
-179	Min.	-1.38	1	SND	-2.62	7	SND	-5.16	7	SND	-0.02	7	SND	-0.01	1	SND	0.00	7	SND
-178	Max	1.41	1	SND	2.76	7	SND	0.95	7	SND	0.02	7	SND	0.01	1	SND	0.00	13	SLU
-178	Min.	-1.38	1	SND	-2.62	7	SND	-5.28	7	SND	-0.02	7	SND	-0.01	1	SND	0.00	7	SND
-177	Max	1.41	1	SND	2.75	7	SND	1.08	7	SND	0.02	7	SND	0.01	1	SND	0.00	13	SLU
-177	Min.	-1.38	1	SND	-2.63	7	SND	-5.40	7	SND	-0.02	7	SND	-0.01	1	SND	0.00	7	SND
-176	Max	1.41	1	SND	2.75	7	SND	1.21	7	SND	0.02	7	SND	0.01	1	SND	0.00	13	SLU
-176	Min.	-1.38	1	SND	-2.64	7	SND	-5.53	7	SND	-0.02	7	SND	-0.01	1	SND	0.00	7	SND
-175	Max	1.41	1	SND	2.74	7	SND	1.34	7	SND	0.02	7	SND	0.01	1	SND	0.00	13	SLU
-175	Min.	-1.38	1	SND	-2.64	7	SND	-5.65	7	SND	-0.02	7	SND	-0.01	1	SND	0.00	7	SND
-174	Max	1.41	1	SND	2.74	7	SND	0.94	1	SND	0.02	7	SND	0.01	1	SND	0.00	13	SLU
-174	Min.	-1.38	1	SND	-2.64	7	SND	-5.30	1	SND	-0.02	7	SND	-0.01	1	SND	0.00	1	SND
-173	Max	1.41	1	SND	2.74	7	SND	0.98	1	SND	0.02	7	SND	0.01	1	SND	0.00	1	SND
-173	Min.	-1.38	1	SND	-2.64	7	SND	-5.26	1	SND	-0.02	7	SND	-0.01	1	SND	0.00	13	SLU
-172	Max	1.41	1	SND	2.74	7	SND	0.68	1	SND	0.02	7	SND	0.01	1	SND	0.00	13	SLU
-172	Min.	-1.38	1	SND	-2.64	7	SND	-5.01	1	SND	-0.02	7	SND	-0.01	1	SND	0.00	1	SND
-171	Max	1.40	1	SND	2.74	7	SND	0.73	1	SND	0.02	7	SND	0.01	1	SND	0.00	1	SND
-171	Min.	-1.39	1	SND	-2.64	7	SND	-4.97	1	SND	-0.02	7	SND	-0.01	1	SND	0.00	13	SLU
-170	Max	1.41	1	SND	2.74	7	SND	0.43	1	SND	0.02	7	SND	0.01	1	SND	0.00	7	SND
-170	Min.	-1.38	1	SND	-2.64	7	SND	-4.72	1	SND	-0.02	7	SND	-0.01	1	SND	0.00	7	SND
-169	Max	1.40	1	SND	2.74	7	SND	0.47	1	SND	0.02	7	SND	0.01	1	SND	0.00	7	SND
-169	Min.	-1.39	1	SND	-2.64	7	SND	-4.68	1	SND	-0.02	7	SND	-0.01	1	SND	0.00	7	SND
-168	Max	1.41	1	SND	2.74	7	SND	0.72	1	SND	0.02	7	SND	0.01	1	SND	0.00	1	SND
-168	Min.	-1.38	1	SND	-2.64	7	SND	-4.98	1	SND	-0.02	7	SND	-0.01	1	SND	0.00	13	SLU
-167	Max	1.40	1	SND	2.74	7	SND	0.76	1	SND	0.02	7	SND	0.01	1	SND	0.00	13	SLU
-167	Min.	-1.39	1	SND	-2.64	7	SND	-4.93	1	SND	-0.02	7	SND	-0.01	1	SND	0.00	1	SND
-166	Max	1.41	1	SND	2.74	7	SND	1.01	1	SND	0.02	7	SND	0.01	1	SND	0.00	1	SND
-166	Min.	-1.38	1	SND	-2.64	7	SND	-5.23	1	SND	-0.02	7	SND	-0.01	1	SND	0.00	13	SLU
-165	Max	1.41	1	SND	2.74	7	SND	1.05	1	SND	0.02	7	SND	0.01	1	SND	0.00	13	SLU
-165	Min.	-1.38	1	SND	-2.64	7	SND	-5.19	1	SND	-0.02	7	SND	-0.01	1	SND	0.00	1	SND
-164	Max	1.41	1	SND	2.74	7	SND	1.40	7	SND	0.02	7	SND	0.01	1	SND	0.00	13	SLU
-164	Min.	-1.38	1	SND	-2.64	7	SND	-5.59	7	SND	-0.02	7	SND	-0.01	1	SND	0.00	7	SND
-163	Max	1.41	1	SND	2.73	7	SND	1.24	7	SND	0.02	7	SND	0.01	1	SND	0.00	13	SLU
-163	Min.	-1.38	1	SND	-2.65	7	SND	-5.43	7	SND	-0.02	7	SND	-0.01	1	SND	0.00	7	SND
-162	Max	1.41	1	SND	2.72	7	SND	1.09	7	SND	0.02	7	SND	0.01	1	SND	0.00	13	SLU
-162	Min.	-1.38	1	SND	-2.66	7	SND	-5.27	7	SND	-0.02	7	SND	-0.01	1	SND	0.00	7	SND
-161	Max	1.41	1	SND	2.72	7	SND	0.94	7	SND	0.02	7	SND	0.01	1	SND	0.00	13	SLU
-161	Min.	-1.38	1	SND	-2.67	7	SND	-5.11	7	SND	-0.02	7	SND	-0.01	1	SND	0.00	7	SND
-160	Max	1.41	1	SND	2.71	7	SND	0.78	7	SND	0.02	7	SND	0.01	1	SND	0.00	13	SLU
-160	Min.	-1.38	1	SND	-2.67	7	SND	-4.94	7	SND	-0.02	7	SND	-0.01	1	SND	0.00	1	SND
-159	Max	1.41	1	SND	2.71	7	SND	0.66	7	SND	0.02	7	SND	0.01	1	SND	0.00	1	SND
-159	Min.	-1.38	1	SND	-2.68	7	SND	-4.81	7	SND	-0.02	7	SND	-0.01	1	SND	0.00	1	SND
-158	Max	1.41	1	SND	2.71	7	SND	0.79	7	SND	0.02	7	SND	0.01	1	SND	0.00	1	SND
-158	Min.	-1.38	1	SND	-2.67	7	SND	-4.94	7	SND	-0.02	7	SND	-0.01	1	SND	0.00	13	SLU
-157	Max	1.41	1	SND	2.72	7	SND	0.92	7	SND	0.02	7	SND	0.01	1	SND	0.00	7	SND
-157	Min.	-1.38	1	SND	-2.67	7	SND	-5.06	7	SND	-0.02	7	SND	-0.01	1	SND	0.00	13	SLU
-156	Max	1.41	1	SND	2.72	7	SND	1.05	7	SND	0.02	7	SND	0.01	1	SND	0.00	7	SND
-156	Min.	-1.38	1	SND	-2.67	7	SND	-5.18	7	SND	-0.02	7	SND	-0.01	1	SND	0.00	13	SLU
-155	Max	1.41	1	SND	2.73	7	SND	1.18	7	SND	0.02	7	SND	0.01	1	SND	0.00	7	SND
-155	Min.	-1.38	1	SND	-2.66	7	SND	-5.31	7	SND	-0.02	7	SND	-0.01	1	SND	0.00	13	SLU
-154	Max	1.41	1	SND	2.73	7	SND	1.31	7	SND	0.02	7	SND	0.01	1	SND	0.00	7	SND
-154	Min.	-1.38	1	SND	-2.65	7	SND	-5.43	7	SND	-0.02	7	SND	-0.01	1	SND	0.00	13	SLU
-153	Max	1.41	1	SND	2.74	7	SND	1.44	7	SND	0.02	7	SND	0.01	1	SND	0.00	7	SND
-153	Min.	-1.38	1	SND	-2.64	7	SND	-5.55	7	SND	-0.02	7	SND	-0.01	1	SND	0.00	13	SLU
-152	Max	0.94	1	SND	1.83	7	SND	1.30	7	SND	0.02	7	SND	0.01	1	SND	0.00	7	SND
-152	Min.	-0.92	1	SND	-1.76	7	SND	-5.69	7	SND	-0.02	7	SND	-0.01	1	SND	0.00	13	SLU
-151	Max	0.94	1	SND	1.83	7	SND	1.15	7	SND	0.02	7	SND	0.01	1	SND	0.00	1	SND
-151	Min.	-0.92	1	SND	-1.76	7	SND	-5.53	7	SND	-0.02	7	SND	-0.01	1	SND	0.00	13	SLU
-150	Max	0.94	1	SND	1.84	7	SND	0.99	7	SND	0.02	7	SND	0.01	1	SND	0.00	7	SND
-150	Min.	-0.92	1	SND	-1.75	7	SND	-5.37	7	SND	-0.02	7	SND	-0.01	1	SND	0.00	13	SLU
-149	Max	0.94	1	SND	1.84	7	SND	0.84	7	SND	0.02	7	SND	0.01	1	SND	0.00	7	SND
-149	Min.	-0.92	1	SND	-1.75	7	SND	-5.20	7	SND	-0.02	7	SND	-0.01	1	SND	0.00	13	SLU
-148	Max	0.94	1	SND	1.85	7	SND	0.69	7	SND	0.02	7	SND	0.01	1	SND	0.00	1	SND
-148	Min.	-0.92	1	SND	-1.74	7	SND	-5.04	7	SND	-0.02	7	SND	-0.01	1	SND	0.00	13	SLU
-147	Max	0.94	1	SND	1.85	7	SND	0.57	7	SND	0.02	7	SND	0.01	1	SND	0.00	1	SND
-147	Min.	-0.92	1	SND	-1.74	7	SND	-4.91	7	SND	-0.02	7	SND	-0.01	1	SND	0.00	1	SND
-146	Max	0.94	1	SND	1.85	7	SND	0.70	7	SND	0.02	7	SND	0.01	1	SND	0.00	13	SLU
-146	Min.	-0.92	1	SND	-1.74	7	SND	-5.03	7	SND	-0.02	7	SND	-0.01	1	SND	0.00	1	SND
-145	Max	0.94	1	SND	1.85	7	SND	0.83	7	SND	0.02	7	SND	0.01	1	SND	0.00	13	SLU
-145	Min.	-0.92	1	SND	-1.75	7	SND	-5.16	7	SND	-0.02	7	SND	-0.01	1	SND	0.00	7	SND
-144	Max	0.94	1	SND	1.84	7	SND	0.95	7	SND	0.02	7	SND	0.01	1	SND	0.00	13	SLU
-144	Min.	-0.92	1	SND	-1.75	7	SND	-5.28	7	SND	-0.02	7	SND	-0.01	1	SND	0.00	7	SND
-143	Max	0.94	1	SND	1.84	7	SND	1.08	7	SND	0.02	7	SND	0.01	1	SND	0.00	13	SLU
-143	Min.	-0.92	1	SND	-1.75	7	SND	-5.40											

Relazione di calcolo

-133	Min.	-0.93	1	SND	-1.76	7	SND	-4.93	1	SND	-0.02	7	SND	-0.01	1	SND	0.00	1	SND
-132	Max	0.94	1	SND	1.83	7	SND	1.01	1	SND	0.02	7	SND	0.01	1	SND	0.00	1	SND
-132	Min.	-0.92	1	SND	-1.76	7	SND	-5.23	1	SND	-0.02	7	SND	-0.01	1	SND	0.00	13	SND
-131	Max	0.94	1	SND	1.83	7	SND	1.05	1	SND	0.02	7	SND	0.01	1	SND	0.00	13	SND
-131	Min.	-0.92	1	SND	-1.76	7	SND	-5.19	1	SND	-0.02	7	SND	-0.01	1	SND	0.00	1	SND
-130	Max	0.94	1	SND	1.83	7	SND	1.40	7	SND	0.02	7	SND	0.01	1	SND	0.00	13	SND
-130	Min.	-0.92	1	SND	-1.76	7	SND	-5.59	7	SND	-0.02	7	SND	-0.01	1	SND	0.00	7	SND
-129	Max	0.94	1	SND	1.82	7	SND	1.24	7	SND	0.02	7	SND	0.01	1	SND	0.00	13	SND
-129	Min.	-0.92	1	SND	-1.77	7	SND	-5.43	7	SND	-0.02	7	SND	-0.01	1	SND	0.00	1	SND
-128	Max	0.94	1	SND	1.82	7	SND	1.09	7	SND	0.02	7	SND	0.01	1	SND	0.00	13	SND
-128	Min.	-0.92	1	SND	-1.77	7	SND	-5.27	7	SND	-0.02	7	SND	-0.01	1	SND	0.00	7	SND
-127	Max	0.94	1	SND	1.81	7	SND	0.94	7	SND	0.02	7	SND	0.01	1	SND	0.00	13	SND
-127	Min.	-0.92	1	SND	-1.78	7	SND	-5.11	7	SND	-0.02	7	SND	-0.01	1	SND	0.00	7	SND
-126	Max	0.94	1	SND	1.81	7	SND	0.78	7	SND	0.02	7	SND	0.01	1	SND	0.00	13	SND
-126	Min.	-0.92	1	SND	-1.78	7	SND	-4.94	7	SND	-0.02	7	SND	-0.01	1	SND	0.00	1	SND
-125	Max	0.94	1	SND	1.81	7	SND	0.66	7	SND	0.02	7	SND	0.01	1	SND	0.00	1	SND
-125	Min.	-0.92	1	SND	-1.78	7	SND	-4.81	7	SND	-0.02	7	SND	-0.01	1	SND	0.00	1	SND
-124	Max	0.94	1	SND	1.81	7	SND	0.79	7	SND	0.02	7	SND	0.01	1	SND	0.00	1	SND
-124	Min.	-0.92	1	SND	-1.78	7	SND	-4.94	7	SND	-0.02	7	SND	-0.01	1	SND	0.00	13	SND
-123	Max	0.94	1	SND	1.81	7	SND	0.92	7	SND	0.02	7	SND	0.01	1	SND	0.00	7	SND
-123	Min.	-0.92	1	SND	-1.78	7	SND	-5.06	7	SND	-0.02	7	SND	-0.01	1	SND	0.00	13	SND
-122	Max	0.94	1	SND	1.81	7	SND	1.05	7	SND	0.02	7	SND	0.01	1	SND	0.00	7	SND
-122	Min.	-0.92	1	SND	-1.78	7	SND	-5.18	7	SND	-0.02	7	SND	-0.01	1	SND	0.00	13	SND
-121	Max	0.94	1	SND	1.82	7	SND	1.18	7	SND	0.02	7	SND	0.01	1	SND	0.00	7	SND
-121	Min.	-0.92	1	SND	-1.77	7	SND	-5.30	7	SND	-0.02	7	SND	-0.01	1	SND	0.00	13	SND
-120	Max	0.94	1	SND	1.82	7	SND	1.31	7	SND	0.02	7	SND	0.01	1	SND	0.00	1	SND
-120	Min.	-0.92	1	SND	-1.77	7	SND	-5.43	7	SND	-0.02	7	SND	-0.01	1	SND	0.00	13	SND
-119	Max	0.94	1	SND	1.83	7	SND	1.44	7	SND	0.02	7	SND	0.01	1	SND	0.00	7	SND
-119	Min.	-0.92	1	SND	-1.76	7	SND	-5.55	7	SND	-0.02	7	SND	-0.01	1	SND	0.00	13	SND
-118	Max	0.47	1	SND	0.91	7	SND	1.30	7	SND	0.02	7	SND	0.01	1	SND	0.00	7	SND
-118	Min.	-0.46	1	SND	-0.88	7	SND	-5.69	7	SND	-0.02	7	SND	-0.01	1	SND	0.00	13	SND
-117	Max	0.47	1	SND	0.92	7	SND	1.15	7	SND	0.02	7	SND	0.01	1	SND	0.00	1	SND
-117	Min.	-0.46	1	SND	-0.88	7	SND	-5.53	7	SND	-0.02	7	SND	-0.01	1	SND	0.00	13	SND
-116	Max	0.47	1	SND	0.92	7	SND	0.99	7	SND	0.02	7	SND	0.01	1	SND	0.00	7	SND
-116	Min.	-0.46	1	SND	-0.88	7	SND	-5.37	7	SND	-0.02	7	SND	-0.01	1	SND	0.00	13	SND
-115	Max	0.47	1	SND	0.92	7	SND	0.84	7	SND	0.02	7	SND	0.01	1	SND	0.00	1	SND
-115	Min.	-0.46	1	SND	-0.87	7	SND	-5.20	7	SND	-0.02	7	SND	-0.01	1	SND	0.00	13	SND
-114	Max	0.47	1	SND	0.92	7	SND	0.69	7	SND	0.02	7	SND	0.01	1	SND	0.00	1	SND
-114	Min.	-0.46	1	SND	-0.87	7	SND	-5.04	7	SND	-0.02	7	SND	-0.01	1	SND	0.00	1	SND
-113	Max	0.47	1	SND	0.92	7	SND	0.57	7	SND	0.02	7	SND	0.01	1	SND	0.00	1	SND
-113	Min.	-0.46	1	SND	-0.87	7	SND	-4.91	7	SND	-0.02	7	SND	-0.01	1	SND	0.00	1	SND
-112	Max	0.47	1	SND	0.92	7	SND	0.70	7	SND	0.02	7	SND	0.01	1	SND	0.00	1	SND
-112	Min.	-0.46	1	SND	-0.87	7	SND	-5.03	7	SND	-0.02	7	SND	-0.01	1	SND	0.00	1	SND
-111	Max	0.47	1	SND	0.92	7	SND	0.83	7	SND	0.02	7	SND	0.01	1	SND	0.00	13	SND
-111	Min.	-0.46	1	SND	-0.87	7	SND	-5.16	7	SND	-0.02	7	SND	-0.01	1	SND	0.00	1	SND
-110	Max	0.47	1	SND	0.92	7	SND	0.95	7	SND	0.02	7	SND	0.01	1	SND	0.00	13	SND
-110	Min.	-0.46	1	SND	-0.87	7	SND	-5.28	7	SND	-0.02	7	SND	-0.01	1	SND	0.00	7	SND
-109	Max	0.47	1	SND	0.92	7	SND	1.08	7	SND	0.02	7	SND	0.01	1	SND	0.00	13	SND
-109	Min.	-0.46	1	SND	-0.88	7	SND	-5.40	7	SND	-0.02	7	SND	-0.01	1	SND	0.00	1	SND
-108	Max	0.47	1	SND	0.92	7	SND	1.21	7	SND	0.02	7	SND	0.01	1	SND	0.00	13	SND
-108	Min.	-0.46	1	SND	-0.88	7	SND	-5.53	7	SND	-0.02	7	SND	-0.01	1	SND	0.00	1	SND
-107	Max	0.47	1	SND	0.91	7	SND	1.34	7	SND	0.02	7	SND	0.01	1	SND	0.00	13	SND
-107	Min.	-0.46	1	SND	-0.88	7	SND	-5.65	7	SND	-0.02	7	SND	-0.01	1	SND	0.00	7	SND
-106	Max	0.47	1	SND	0.91	7	SND	0.94	1	SND	0.02	7	SND	0.01	1	SND	0.00	13	SND
-106	Min.	-0.46	1	SND	-0.88	7	SND	-5.30	1	SND	-0.02	7	SND	-0.01	1	SND	0.00	1	SND
-105	Max	0.47	1	SND	0.91	7	SND	0.98	1	SND	0.02	7	SND	0.01	1	SND	0.00	1	SND
-105	Min.	-0.46	1	SND	-0.88	7	SND	-5.25	1	SND	-0.02	7	SND	-0.01	1	SND	0.00	13	SND
-104	Max	0.47	1	SND	0.91	7	SND	0.68	1	SND	0.02	7	SND	0.01	1	SND	0.00	13	SND
-104	Min.	-0.46	1	SND	-0.88	7	SND	-5.01	1	SND	-0.02	7	SND	-0.01	1	SND	0.00	1	SND
-103	Max	0.47	1	SND	0.91	7	SND	0.73	1	SND	0.02	7	SND	0.01	1	SND	0.00	1	SND
-103	Min.	-0.46	1	SND	-0.88	7	SND	-4.97	1	SND	-0.02	7	SND	-0.01	1	SND	0.00	13	SND
-102	Max	0.47	1	SND	0.91	7	SND	0.43	1	SND	0.02	7	SND	0.01	1	SND	0.00	7	SND
-102	Min.	-0.46	1	SND	-0.88	7	SND	-4.72	1	SND	-0.02	7	SND	-0.01	1	SND	0.00	7	SND
-101	Max	0.47	1	SND	0.91	7	SND	0.47	1	SND	0.02	7	SND	0.01	1	SND	0.00	7	SND
-101	Min.	-0.46	1	SND	-0.88	7	SND	-4.68	1	SND	-0.02	7	SND	-0.01	1	SND	0.00	7	SND
-100	Max	0.47	1	SND	0.91	7	SND	0.72	1	SND	0.02	7	SND	0.01	1	SND	0.00	1	SND
-100	Min.	-0.46	1	SND	-0.88	7	SND	-4.98	1	SND	-0.02	7	SND	-0.01	1	SND	0.00	13	SND
-99	Max	0.47	1	SND	0.91	7	SND	0.76	1	SND	0.02	7	SND	0.01	1	SND	0.00	13	SND
-99	Min.	-0.46	1	SND	-0.88	7	SND	-4.93	1	SND	-0.02	7	SND	-0.01	1	SND	0.00	1	SND
-98	Max	0.47	1	SND	0.91	7	SND	1.00	1	SND	0.02	7	SND	0.01	1	SND	0.00	1	SND
-98	Min.	-0.46	1	SND	-0.88	7	SND	-5.23	1	SND	-0.02	7	SND	-0.01	1	SND	0.00	13	SND
-97	Max	0.47	1	SND	0.91	7	SND	1.05	1	SND	0.02	7	SND	0.01	1	SND	0.00	13	SND
-97	Min.	-0.46	1	SND	-0.88	7	SND	-5.19	1	SND	-0.02	7	SND	-0.01	1	SND	0.00	1	SND
-96	Max	0.47	1	SND	0.91	7	SND	1.40	7	SND	0.02	7	SND	0.01	1	SND	0.00	13	SND
-96	Min.	-0.46	1	SND	-0.88	7	SND	-5.59	7	SND	-0.02	7	SND	-0.01	1	SND	0.00	7	SND
-95	Max	0.47	1	SND	0.91	7	SND	1.24	7	SND	0.02	7	SND	0.01	1	SND	0.00	13	SND
-95	Min.	-0.46	1	SND	-0.88	7	SND	-5.43	7	SND	-0.02	7	SND	-0.01	1	SND	0.00	1	SND
-94	Max	0.47	1	SND	0.91	7	SND	1.09	7	SND	0.02	7	SND	0.01	1	SND	0.00	13	SND
-94	Min.	-0.46	1	SND	-0.89	7	SND	-5.27	7	SND	-0.02	7	SND	-0.01	1	SND	0.00	7	SND
-93	Max	0.47	1	SND	0.91	7	SND	0.94	7	SND	0.02	7	SND	0.01	1	SND	0.00	13	SND
-93	Min.	-0.46	1	SND	-0.89	7	SND	-5.10	7	SND	-0.02	7	SND	-0.01	1	SND	0.00	1	SND
-92	Max	0.47	1	SND	0.90	7	SND	0.78	7	SND	0.02	7	SND	0.01	1	SND	0.00	1	SND
-92	Min.	-0.46	1	SND	-0.89	7	SND	-4.94	7	SND	-0.02	7	SND	-0.01	1	SND	0.00	1	SND
-91	Max	0.47	1	SND	0.90	7	SND	0.66	7	SND	0.02	7	SND	0.01	1	SND	0.00	1	SND
-91	Min.	-0.46	1	SND	-0.89	7	SND	-4.81	7	SND	-0.02	7	SND	-0.01	1	SND	0.00	1	SND
-90	Max	0.47	1	SND	0.90	7	SND	0.79	7	SND	0.02	7	SND	0.01	1	SND	0.00		

Relazione di calcolo

-80	Max	0.00	1	SND	0.00	1	SND	0.69	7	SND	0.02	7	SND	0.01	1	SND	0.00	1	SND
-80	Min.	0.00	1	SND	0.00	1	SND	-5.04	7	SND	-0.02	7	SND	-0.01	1	SND	0.00	1	SND
-79	Max	0.00	1	SND	0.00	1	SND	0.57	7	SND	0.02	7	SND	0.01	1	SND	0.00	1	SND
-79	Min.	0.00	1	SND	0.00	1	SND	-4.91	7	SND	-0.02	7	SND	-0.01	1	SND	0.00	1	SND
-78	Max	0.00	1	SND	0.00	1	SND	0.70	7	SND	0.02	7	SND	0.01	1	SND	0.00	1	SND
-78	Min.	0.00	1	SND	0.00	1	SND	-5.03	7	SND	-0.02	7	SND	-0.01	1	SND	0.00	1	SND
-77	Max	0.00	1	SND	0.00	1	SND	0.83	7	SND	0.02	7	SND	0.01	1	SND	0.00	1	SND
-77	Min.	0.00	1	SND	0.00	1	SND	-5.16	7	SND	-0.02	7	SND	-0.01	1	SND	0.00	1	SND
-76	Max	0.00	1	SND	0.00	1	SND	0.95	7	SND	0.02	7	SND	0.01	1	SND	0.00	1	SND
-76	Min.	0.00	1	SND	0.00	1	SND	-5.28	7	SND	-0.02	7	SND	-0.01	1	SND	0.00	1	SND
-75	Max	0.00	1	SND	0.00	1	SND	1.08	7	SND	0.02	7	SND	0.01	1	SND	0.00	1	SND
-75	Min.	0.00	1	SND	0.00	1	SND	-5.40	7	SND	-0.02	7	SND	-0.01	1	SND	0.00	1	SND
-74	Max	0.00	1	SND	0.00	1	SND	1.21	7	SND	0.02	7	SND	0.01	1	SND	0.00	1	SND
-74	Min.	0.00	1	SND	0.00	1	SND	-5.52	7	SND	-0.02	7	SND	-0.01	1	SND	0.00	1	SND
-73	Max	0.00	1	SND	0.00	1	SND	1.34	7	SND	0.02	7	SND	0.01	1	SND	0.00	1	SND
-73	Min.	0.00	1	SND	0.00	1	SND	-5.65	7	SND	-0.02	7	SND	-0.01	1	SND	0.00	1	SND
-72	Max	0.00	1	SND	0.00	1	SND	0.94	1	SND	0.02	7	SND	0.01	1	SND	0.00	1	SND
-72	Min.	0.00	1	SND	0.00	1	SND	-5.30	1	SND	-0.02	7	SND	-0.01	1	SND	0.00	1	SND
-71	Max	0.00	1	SND	0.00	1	SND	0.42	1	SND	0.02	7	SND	0.01	1	SND	0.00	1	SND
-71	Min.	0.00	1	SND	0.00	1	SND	-4.76	1	SND	-0.02	7	SND	-0.01	1	SND	0.00	1	SND
-70	Max	0.00	1	SND	0.00	1	SND	0.11	7	SND	0.02	7	SND	0.01	1	SND	0.00	1	SND
-70	Min.	0.00	1	SND	0.00	1	SND	-4.44	7	SND	-0.02	7	SND	-0.01	1	SND	0.00	1	SND
-69	Max	0.00	1	SND	0.00	1	SND	-0.05	7	SND	0.02	7	SND	0.01	1	SND	0.00	1	SND
-69	Min.	0.00	1	SND	0.00	1	SND	-4.27	7	SND	-0.02	7	SND	-0.01	1	SND	0.00	1	SND
-68	Max	0.00	1	SND	0.00	1	SND	-0.20	7	SND	0.02	7	SND	0.01	1	SND	0.00	1	SND
-68	Min.	0.00	1	SND	0.00	1	SND	-4.11	7	SND	-0.02	7	SND	-0.01	1	SND	0.00	1	SND
-67	Max	0.00	1	SND	0.00	1	SND	-0.32	7	SND	0.02	7	SND	0.01	1	SND	0.00	1	SND
-67	Min.	0.00	1	SND	0.00	1	SND	-3.98	7	SND	-0.02	7	SND	-0.01	1	SND	0.00	1	SND
-66	Max	0.00	1	SND	0.00	1	SND	-0.19	7	SND	0.02	7	SND	0.01	1	SND	0.00	1	SND
-66	Min.	0.00	1	SND	0.00	1	SND	-4.10	7	SND	-0.02	7	SND	-0.01	1	SND	0.00	1	SND
-65	Max	0.00	1	SND	0.00	1	SND	-0.06	7	SND	0.02	7	SND	0.01	1	SND	0.00	1	SND
-65	Min.	0.00	1	SND	0.00	1	SND	-4.23	7	SND	-0.02	7	SND	-0.01	1	SND	0.00	1	SND
-64	Max	0.00	1	SND	0.00	1	SND	0.07	7	SND	0.02	7	SND	0.01	1	SND	0.00	1	SND
-64	Min.	0.00	1	SND	0.00	1	SND	-4.35	7	SND	-0.02	7	SND	-0.01	1	SND	0.00	1	SND
-63	Max	0.00	1	SND	0.00	1	SND	0.20	7	SND	0.02	7	SND	0.01	1	SND	0.00	1	SND
-63	Min.	0.00	1	SND	0.00	1	SND	-4.47	7	SND	-0.02	7	SND	-0.01	1	SND	0.00	1	SND
-62	Max	0.00	1	SND	0.00	1	SND	0.56	1	SND	0.02	7	SND	0.01	1	SND	0.00	1	SND
-62	Min.	0.00	1	SND	0.00	1	SND	-4.83	1	SND	-0.02	7	SND	-0.01	1	SND	0.00	1	SND
-61	Max	0.00	1	SND	0.00	1	SND	0.98	1	SND	0.02	7	SND	0.01	1	SND	0.00	1	SND
-61	Min.	0.00	1	SND	0.00	1	SND	-5.25	1	SND	-0.02	7	SND	-0.01	1	SND	0.00	1	SND
-60	Max	0.00	1	SND	0.00	1	SND	0.68	1	SND	0.02	7	SND	0.01	1	SND	0.00	1	SND
-60	Min.	0.00	1	SND	0.00	1	SND	-5.01	1	SND	-0.02	7	SND	-0.01	1	SND	0.00	1	SND
-59	Max	0.00	1	SND	0.00	1	SND	0.16	1	SND	0.02	7	SND	0.01	1	SND	0.00	1	SND
-59	Min.	0.00	1	SND	0.00	1	SND	-4.47	1	SND	-0.02	7	SND	-0.01	1	SND	0.00	1	SND
-58	Max	0.00	1	SND	0.00	1	SND	-0.36	1	SND	0.02	7	SND	0.01	1	SND	0.00	1	SND
-58	Min.	0.00	1	SND	0.00	1	SND	-3.94	1	SND	-0.02	7	SND	-0.01	1	SND	0.00	1	SND
-57	Max	0.00	1	SND	0.00	1	SND	-0.87	1	SND	0.02	7	SND	0.01	1	SND	0.00	1	SND
-57	Min.	0.00	1	SND	0.00	1	SND	-3.40	1	SND	-0.02	7	SND	-0.01	1	SND	0.00	1	SND
-56	Max	0.00	1	SND	0.00	1	SND	-1.09	7	SND	0.02	7	SND	0.01	1	SND	0.00	1	SND
-56	Min.	0.00	1	SND	0.00	1	SND	-3.18	7	SND	-0.02	7	SND	-0.01	1	SND	0.00	1	SND
-55	Max	0.00	1	SND	0.00	1	SND	-1.21	7	SND	0.02	7	SND	0.01	1	SND	0.00	1	SND
-55	Min.	0.00	1	SND	0.00	1	SND	-3.05	7	SND	-0.02	7	SND	-0.01	1	SND	0.00	1	SND
-54	Max	0.00	1	SND	0.00	1	SND	-1.08	7	SND	0.02	7	SND	0.01	1	SND	0.00	1	SND
-54	Min.	0.00	1	SND	0.00	1	SND	-3.17	7	SND	-0.02	7	SND	-0.01	1	SND	0.00	1	SND
-53	Max	0.00	1	SND	0.00	1	SND	-0.95	7	SND	0.02	7	SND	0.01	1	SND	0.00	1	SND
-53	Min.	0.00	1	SND	0.00	1	SND	-3.30	7	SND	-0.02	7	SND	-0.01	1	SND	0.00	1	SND
-52	Max	0.00	1	SND	0.00	1	SND	-0.54	1	SND	0.02	7	SND	0.01	1	SND	0.00	1	SND
-52	Min.	0.00	1	SND	0.00	1	SND	-3.70	1	SND	-0.02	7	SND	-0.01	1	SND	0.00	1	SND
-51	Max	0.00	1	SND	0.00	1	SND	-0.12	1	SND	0.02	7	SND	0.01	1	SND	0.00	1	SND
-51	Min.	0.00	1	SND	0.00	1	SND	-4.12	1	SND	-0.02	7	SND	-0.01	1	SND	0.00	1	SND
-50	Max	0.00	1	SND	0.00	1	SND	0.30	1	SND	0.02	7	SND	0.01	1	SND	0.00	1	SND
-50	Min.	0.00	1	SND	0.00	1	SND	-4.54	1	SND	-0.02	7	SND	-0.01	1	SND	0.00	1	SND
-49	Max	0.00	1	SND	0.00	1	SND	0.73	1	SND	0.02	7	SND	0.01	1	SND	0.00	1	SND
-49	Min.	0.00	1	SND	0.00	1	SND	-4.96	1	SND	-0.02	7	SND	-0.01	1	SND	0.00	1	SND
-48	Max	0.00	1	SND	0.00	1	SND	0.43	1	SND	0.02	7	SND	0.01	1	SND	0.00	1	SND
-48	Min.	0.00	1	SND	0.00	1	SND	-4.72	1	SND	-0.02	7	SND	-0.01	1	SND	0.00	1	SND
-47	Max	0.00	1	SND	0.00	1	SND	-0.09	1	SND	0.02	7	SND	0.01	1	SND	0.00	1	SND
-47	Min.	0.00	1	SND	0.00	1	SND	-4.18	1	SND	-0.02	7	SND	-0.01	1	SND	0.00	1	SND
-46	Max	0.00	1	SND	0.00	1	SND	-0.61	1	SND	0.02	7	SND	0.01	1	SND	0.00	1	SND
-46	Min.	0.00	1	SND	0.00	1	SND	-3.65	1	SND	-0.02	7	SND	-0.01	1	SND	0.00	1	SND
-45	Max	0.00	1	SND	0.00	1	SND	-1.13	1	SND	0.02	7	SND	0.01	1	SND	0.00	1	SND
-45	Min.	0.00	1	SND	0.00	1	SND	-3.11	1	SND	-0.02	7	SND	-0.01	1	SND	0.00	1	SND
-44	Max	0.00	1	SND	0.00	1	SND	-1.65	1	SND	0.02	7	SND	0.01	1	SND	0.00	1	SND
-44	Min.	0.00	1	SND	0.00	1	SND	-2.94	1	SND	-0.02	7	SND	-0.01	1	SND	0.00	1	SND
-43	Max	0.00	1	SND	0.00	1	SND	-2.06	1	SND	0.02	7	SND	0.01	1	SND	0.00	1	SND
-43	Min.	0.00	1	SND	0.00	1	SND	-2.93	1	SND	-0.02	7	SND	-0.01	1	SND	0.00	1	SND
-42	Max	0.00	1	SND	0.00	1	SND	-1.64	1	SND	0.02	7	SND	0.01	1	SND	0.00	1	SND
-42	Min.	0.00	1	SND	0.00	1	SND	-2.92	1	SND	-0.02	7	SND	-0.01	1	SND	0.00	1	SND
-41	Max	0.00	1	SND	0.00	1	SND	-1.21	1	SND	0.02	7	SND	0.01	1	SND	0.00	1	SND
-41	Min.	0.00	1	SND	0.00	1	SND	-3.00	1	SND	-0.02	7	SND	-0.01	1	SND	0.00	1	SND
-40	Max	0.00	1	SND	0.00	1	SND	-0.79	1	SND	0.02	7	SND	0.01	1	SND	0.00	1	SND
-40	Min.	0.00	1	SND	0.00	1	SND	-3.41	1	SND	-0.02	7	SND	-0.01	1	SND	0.00	1	SND
-39	Max	0.00	1	SND	0.00	1	SND	-0.37	1	SND	0.02	7	SND	0.01	1	SND	0.00	1	SND
-39	Min.	0.00	1	SND	0.00	1	SND	-3.83	1	SND	-0.02	7	SND	-0.01	1	SND	0.00	1	SND
-38	Max	0.00	1	SND	0.00	1	SND	0.05	1	SND	0.02	7	SND	0.01	1	SND	0.00	1	SND
-38	Min.	0.00	1	SND	0.00	1	SND	-4.25	1	SND	-0.02	7	SND	-0.01	1	SND	0.00	1	SND
-37	Max	0.00	1	SND	0.00	1	SND	0.47	1	SND	0.02								

Relazione di calcolo

-28	Min.	0.00	1	SND	0.00	1	SND	-3.67	1	SND	-0.02	7	SND	-0.01	1	SND	0.00	1	SND
-27	Max	0.00	1	SND	0.00	1	SND	-0.09	1	SND	0.02	7	SND	0.01	1	SND	0.00	1	SND
-27	Min.	0.00	1	SND	0.00	1	SND	-4.09	1	SND	-0.02	7	SND	-0.01	1	SND	0.00	1	SND
-26	Max	0.00	1	SND	0.00	1	SND	0.34	1	SND	0.02	7	SND	0.01	1	SND	0.00	1	SND
-26	Min.	0.00	1	SND	0.00	1	SND	-4.51	1	SND	-0.02	7	SND	-0.01	1	SND	0.00	1	SND
-25	Max	0.00	1	SND	0.00	1	SND	0.76	1	SND	0.02	7	SND	0.01	1	SND	0.00	1	SND
-25	Min.	0.00	1	SND	0.00	1	SND	-4.93	1	SND	-0.02	7	SND	-0.01	1	SND	0.00	1	SND
-24	Max	0.00	1	SND	0.00	1	SND	1.00	1	SND	0.02	7	SND	0.01	1	SND	0.00	1	SND
-24	Min.	0.00	1	SND	0.00	1	SND	-5.23	1	SND	-0.02	7	SND	-0.01	1	SND	0.00	1	SND
-23	Max	0.00	1	SND	0.00	1	SND	0.48	1	SND	0.02	7	SND	0.01	1	SND	0.00	1	SND
-23	Min.	0.00	1	SND	0.00	1	SND	-4.70	1	SND	-0.02	7	SND	-0.01	1	SND	0.00	1	SND
-22	Max	0.00	1	SND	0.00	1	SND	0.17	7	SND	0.02	7	SND	0.01	1	SND	0.00	1	SND
-22	Min.	0.00	1	SND	0.00	1	SND	-4.37	7	SND	-0.02	7	SND	-0.01	1	SND	0.00	1	SND
-21	Max	0.00	1	SND	0.00	1	SND	0.02	7	SND	0.02	7	SND	0.01	1	SND	0.00	1	SND
-21	Min.	0.00	1	SND	0.00	1	SND	-4.21	7	SND	-0.02	7	SND	-0.01	1	SND	0.00	1	SND
-20	Max	0.00	1	SND	0.00	1	SND	-0.13	7	SND	0.02	7	SND	0.01	1	SND	0.00	1	SND
-20	Min.	0.00	1	SND	0.00	1	SND	-4.04	7	SND	-0.02	7	SND	-0.01	1	SND	0.00	1	SND
-19	Max	0.00	1	SND	0.00	1	SND	-0.25	7	SND	0.02	7	SND	0.01	1	SND	0.00	1	SND
-19	Min.	0.00	1	SND	0.00	1	SND	-3.92	7	SND	-0.02	7	SND	-0.01	1	SND	0.00	1	SND
-18	Max	0.00	1	SND	0.00	1	SND	-0.13	7	SND	0.02	7	SND	0.01	1	SND	0.00	1	SND
-18	Min.	0.00	1	SND	0.00	1	SND	-4.04	7	SND	-0.02	7	SND	-0.01	1	SND	0.00	1	SND
-17	Max	0.00	1	SND	0.00	1	SND	0.00	7	SND	0.02	7	SND	0.01	1	SND	0.00	1	SND
-17	Min.	0.00	1	SND	0.00	1	SND	-4.16	7	SND	-0.02	7	SND	-0.01	1	SND	0.00	1	SND
-16	Max	0.00	1	SND	0.00	1	SND	0.13	7	SND	0.02	7	SND	0.01	1	SND	0.00	1	SND
-16	Min.	0.00	1	SND	0.00	1	SND	-4.28	7	SND	-0.02	7	SND	-0.01	1	SND	0.00	1	SND
-15	Max	0.00	1	SND	0.00	1	SND	0.26	7	SND	0.02	7	SND	0.01	1	SND	0.00	1	SND
-15	Min.	0.00	1	SND	0.00	1	SND	-4.41	7	SND	-0.02	7	SND	-0.01	1	SND	0.00	1	SND
-14	Max	0.00	1	SND	0.00	1	SND	0.62	1	SND	0.02	7	SND	0.01	1	SND	0.00	1	SND
-14	Min.	0.00	1	SND	0.00	1	SND	-4.77	1	SND	-0.02	7	SND	-0.01	1	SND	0.00	1	SND
-13	Max	0.00	1	SND	0.00	1	SND	1.05	1	SND	0.02	7	SND	0.01	1	SND	0.00	1	SND
-13	Min.	0.00	1	SND	0.00	1	SND	-5.19	1	SND	-0.02	7	SND	-0.01	1	SND	0.00	1	SND
-12	Max	0.00	1	SND	0.00	1	SND	1.40	7	SND	0.02	7	SND	0.01	1	SND	0.00	1	SND
-12	Min.	0.00	1	SND	0.00	1	SND	-5.59	7	SND	-0.02	7	SND	-0.01	1	SND	0.00	1	SND
-11	Max	0.00	1	SND	0.00	1	SND	1.24	7	SND	0.02	7	SND	0.01	1	SND	0.00	1	SND
-11	Min.	0.00	1	SND	0.00	1	SND	-5.43	7	SND	-0.02	7	SND	-0.01	1	SND	0.00	1	SND
-10	Max	0.00	1	SND	0.00	1	SND	1.09	7	SND	0.02	7	SND	0.01	1	SND	0.00	1	SND
-10	Min.	0.00	1	SND	0.00	1	SND	-5.27	7	SND	-0.02	7	SND	-0.01	1	SND	0.00	1	SND
-9	Max	0.00	1	SND	0.00	1	SND	0.94	7	SND	0.02	7	SND	0.01	1	SND	0.00	1	SND
-9	Min.	0.00	1	SND	0.00	1	SND	-5.10	7	SND	-0.02	7	SND	-0.01	1	SND	0.00	1	SND
-8	Max	0.00	1	SND	0.00	1	SND	0.78	7	SND	0.02	7	SND	0.01	1	SND	0.00	1	SND
-8	Min.	0.00	1	SND	0.00	1	SND	-4.94	7	SND	-0.02	7	SND	-0.01	1	SND	0.00	1	SND
-7	Max	0.00	1	SND	0.00	1	SND	0.66	7	SND	0.02	7	SND	0.01	1	SND	0.00	1	SND
-7	Min.	0.00	1	SND	0.00	1	SND	-4.81	7	SND	-0.02	7	SND	-0.01	1	SND	0.00	1	SND
-6	Max	0.00	1	SND	0.00	1	SND	0.79	7	SND	0.02	7	SND	0.01	1	SND	0.00	1	SND
-6	Min.	0.00	1	SND	0.00	1	SND	-4.94	7	SND	-0.02	7	SND	-0.01	1	SND	0.00	1	SND
-5	Max	0.00	1	SND	0.00	1	SND	0.92	7	SND	0.02	7	SND	0.01	1	SND	0.00	1	SND
-5	Min.	0.00	1	SND	0.00	1	SND	-5.06	7	SND	-0.02	7	SND	-0.01	1	SND	0.00	1	SND
-4	Max	0.00	1	SND	0.00	1	SND	1.05	7	SND	0.02	7	SND	0.01	1	SND	0.00	1	SND
-4	Min.	0.00	1	SND	0.00	1	SND	-5.18	7	SND	-0.02	7	SND	-0.01	1	SND	0.00	1	SND
-3	Max	0.00	1	SND	0.00	1	SND	1.18	7	SND	0.02	7	SND	0.01	1	SND	0.00	1	SND
-3	Min.	0.00	1	SND	0.00	1	SND	-5.30	7	SND	-0.02	7	SND	-0.01	1	SND	0.00	1	SND
-2	Max	0.00	1	SND	0.00	1	SND	1.31	7	SND	0.02	7	SND	0.01	1	SND	0.00	1	SND
-2	Min.	0.00	1	SND	0.00	1	SND	-5.43	7	SND	-0.02	7	SND	-0.01	1	SND	0.00	1	SND
-1	Max	0.00	1	SND	0.00	1	SND	1.44	7	SND	0.02	7	SND	0.01	1	SND	0.00	1	SND
-1	Min.	0.00	1	SND	0.00	1	SND	-5.55	7	SND	-0.02	7	SND	-0.01	1	SND	0.00	1	SND

Min = -11.66

Max = 12.09

Reazioni vincolari

Simbologia

Nodo = Numero del nodo

CC = Numero della combinazione delle condizioni di carico elementari

TCC = Tipo di combinazione di carico

SLU = Stato limite ultimo

SLU S = Stato limite ultimo (azione sismica)

SLE R = Stato limite d'esercizio, combinazione rara

SLE F = Stato limite d'esercizio, combinazione frequente

SLE Q = Stato limite d'esercizio, combinazione quasi permanente

SLD = Stato limite di danno

SLV = Stato limite di salvaguardia della vita

SLC = Stato limite di prevenzione del collasso

SLO = Stato limite di operatività

SLU I = Stato limite di resistenza al fuoco

SND = Stato limite di salvaguardia della vita (non dissipativo)

Fx = Reazione vincolare (forza) in dir. X

Fy = Reazione vincolare (forza) in dir. Y

Fz = Reazione vincolare (forza) in dir. Z

Mx = Reazione vincolare (momento) intorno all'asse X

My = Reazione vincolare (momento) intorno all'asse Y

Mz = Reazione vincolare (momento) intorno all'asse Z

Nodo		CC	TCC	Fx <daN>	CC	TCC	Fy <daN>	CC	TCC	Fz <daN>	CC	TCC	Mx <daNm>	CC	TCC	My <daNm>	CC	TCC	Mz <daNm>
-84	Max	7	SND	420.76	1	SND	914.16	7	SND	0.00	7	SND	0.00	1	SND	0.00	13	SLU	48.10
-84	Min	7	SND	-249.12	1	SND	131.14	7	SND	0.00	7	SND	0.00	7	SND	0.00	1	SND	31.37
-83	Max	7	SND	561.37	1	SND	-77.56	1	SND	0.00	7	SND	0.00	1	SND	0.00	13	SLU	181.79
-83	Min	7	SND	-668.39	1	SND	-403.21	1	SND	0.00	7	SND	0.00	1	SND	0.00	1	SND	113.39
-82	Max	1	SND	627.64	1	SND	-904.12	1	SND	0.00	1	SND	0.00	1	SND	0.00	13	SLU	183.99
-82	Min	1	SND	-783.85	13	SLU	-1539.21	1	SND	0.00	1	SND	0.00	7	SND	0.00	1	SND	122.36
-81	Max	1	SND	848.80	1	SND	-1323.76	7	SND	0.00	7	SND	0.00	7	SND	0.00	13	SLU	125.48
-81	Min	1	SND	-1035.40	13	SLU	-2125.71	7	SND	0.00	7	SND	0.00	7	SND	0.00	1	SND	77.62
-80	Max	1	SND	1018.92	1	SND	-1545.04	1	SND	0.00	7	SND	0.00	7	SND	0.00	13	SLU	59.37
-80	Min	1	SND	-1128.20	13	SLU	-2401.53	1	SND	0.00	7	SND	0.00	7	SND	0.00	1	SND	24.31
-79	Max	1	SND	972.60	7	SND	-1447.99	7	SND	0.00	7	SND	0.00	7	SND	0.00	1	SND	16.15
-79	Min	1	SND	-995.42	13	SLU	-2227.11	7	SND	0.00	7	SND	0.00	7	SND	0.00	1	SND	-18.12
-78	Max	1	SND	895.18	1	SND	-1237.37	7	SND	0.00	7	SND	0.00	7	SND	0.00	1	SND	-19.36
-78	Min	1	SND	-826.03	13	SLU	-1922.77	7	SND	0.00	7	SND	0.00	13	SLU	0.00	1	SND	-47.84
-77	Max	1	SND	848.29	1	SND	-1106.93	1	SND	0.00	7	SND	0.00	1	SND	0.00	1	SND	-52.98
-77	Min	1	SND	-717.23	13	SLU	-1764.31	1	SND	0.00	7	SND	0.00	13	SLU	0.00	1	SND	-89.80
-76	Max	1	SND	727.94	1	SND	-888.26	1	SND	0.00	1	SND	0.00	7	SND	0.00	7	SND	-86.25
-76	Min	1	SND	-573.39	13	SLU	-1468.48	1	SND	0.00	1	SND	0.00	13	SLU	0.00	1	SND	-129.38
-75	Max	1	SND	530.18	1	SND	-535.14	1	SND	0.00	1	SND	0.00	1	SND	0.00	1	SND	-101.87
-75	Min	1	SND	-426.70	13	SLU	-968.58	1	SND	0.00	1	SND	0.00	13	SLU	0.00	1	SND	-158.31
-74	Max	7	SND	540.56	1	SND	79.61	1	SND	0.00	7	SND	0.00	1	SND	0.00	1	SND	-85.66

Relazione di calcolo

-74	Min	7	SND	-439.581	SND	-203.761	1	SND	0.007	7	SND	0.007	13	SLU	0.001	1	SND	-138.93
-73	Max	7	SND	185.481	SND	900.281	1	SND	0.007	7	SND	0.007	7	SND	0.001	1	SND	-19.79
-73	Min	7	SND	-360.181	SND	153.471	1	SND	0.007	7	SND	0.007	13	SLU	0.001	1	SND	-31.32
-72	Max	1	SND	90.367	SND	1063.467	7	SND	0.007	7	SND	0.001	1	SND	0.001	1	SND	-38.27
-72	Min	1	SND	-146.407	SND	-191.207	7	SND	0.007	7	SND	0.007	13	SLU	0.001	1	SND	-71.53
-71	Max	1	SND	0.001	SND	0.007	7	SND	0.007	7	SND	0.007	7	SND	0.001	1	SND	0.00
-71	Min	1	SND	0.001	SND	0.007	7	SND	0.007	7	SND	0.007	7	SND	0.001	1	SND	0.00
-70	Max	1	SND	0.001	SND	0.001	1	SND	0.007	7	SND	0.007	7	SND	0.001	1	SND	0.00
-70	Min	1	SND	0.001	SND	0.001	1	SND	0.007	7	SND	0.007	7	SND	0.001	1	SND	0.00
-69	Max	1	SND	0.001	SND	0.007	7	SND	0.001	1	SND	0.007	7	SND	0.001	1	SND	0.00
-69	Min	1	SND	0.001	SND	0.007	7	SND	0.001	1	SND	0.007	7	SND	0.001	1	SND	0.00
-68	Max	1	SND	0.001	SND	0.007	7	SND	0.007	7	SND	0.001	1	SND	0.001	1	SND	0.00
-68	Min	1	SND	0.001	SND	0.007	7	SND	0.007	7	SND	0.001	1	SND	0.001	1	SND	0.00
-67	Max	1	SND	0.001	SND	0.001	1	SND	0.007	7	SND	0.007	7	SND	0.001	1	SND	0.00
-67	Min	1	SND	0.001	SND	0.001	1	SND	0.007	7	SND	0.007	7	SND	0.001	1	SND	0.00
-66	Max	1	SND	0.001	SND	0.007	7	SND	0.007	7	SND	0.007	7	SND	0.001	1	SND	0.00
-66	Min	1	SND	0.001	SND	0.007	7	SND	0.007	7	SND	0.007	7	SND	0.001	1	SND	0.00
-65	Max	1	SND	0.001	SND	0.007	7	SND	0.001	1	SND	0.001	1	SND	0.001	1	SND	0.00
-65	Min	1	SND	0.001	SND	0.007	7	SND	0.001	1	SND	0.001	1	SND	0.001	1	SND	0.00
-64	Max	1	SND	0.001	SND	0.007	7	SND	0.007	7	SND	0.007	7	SND	0.001	1	SND	0.00
-64	Min	1	SND	0.001	SND	0.007	7	SND	0.007	7	SND	0.007	7	SND	0.001	1	SND	0.00
-63	Max	1	SND	0.001	SND	0.001	1	SND	0.007	7	SND	0.007	7	SND	0.001	1	SND	0.00
-63	Min	1	SND	0.001	SND	0.001	1	SND	0.007	7	SND	0.007	7	SND	0.001	1	SND	0.00
-62	Max	1	SND	0.001	SND	0.007	7	SND	0.007	7	SND	0.007	7	SND	0.001	1	SND	0.00
-62	Min	1	SND	0.001	SND	0.007	7	SND	0.007	7	SND	0.007	7	SND	0.001	1	SND	0.00
-61	Max	1	SND	153.767	SND	1054.727	7	SND	0.007	7	SND	0.007	7	SND	0.0013	13	SLU	71.86
-61	Min	1	SND	-86.697	SND	-190.637	7	SND	0.007	7	SND	0.007	7	SND	0.001	1	SND	38.36
-60	Max	1	SND	-357.067	SND	986.121	1	SND	0.001	1	SND	0.007	7	SND	0.001	1	SND	-34.45
-60	Min	13	SLU	-703.337	SND	-527.521	1	SND	0.001	1	SND	0.007	13	SLU	0.001	1	SND	-64.05
-59	Max	1	SND	0.001	SND	0.001	1	SND	0.001	1	SND	0.007	7	SND	0.001	1	SND	0.00
-59	Min	1	SND	0.001	SND	0.001	1	SND	0.001	1	SND	0.007	7	SND	0.001	1	SND	0.00
-58	Max	1	SND	0.001	SND	0.007	7	SND	0.001	1	SND	0.007	7	SND	0.001	1	SND	0.00
-58	Min	1	SND	0.001	SND	0.007	7	SND	0.001	1	SND	0.007	7	SND	0.001	1	SND	0.00
-57	Max	1	SND	0.001	SND	0.001	1	SND	0.007	7	SND	0.007	7	SND	0.001	1	SND	0.00
-57	Min	1	SND	0.001	SND	0.001	1	SND	0.007	7	SND	0.007	7	SND	0.001	1	SND	0.00
-56	Max	1	SND	0.001	SND	0.001	1	SND	0.007	7	SND	0.007	7	SND	0.001	1	SND	0.00
-56	Min	1	SND	0.001	SND	0.001	1	SND	0.007	7	SND	0.007	7	SND	0.001	1	SND	0.00
-55	Max	1	SND	0.001	SND	0.007	7	SND	0.007	7	SND	0.007	7	SND	0.001	1	SND	0.00
-55	Min	1	SND	0.001	SND	0.007	7	SND	0.007	7	SND	0.007	7	SND	0.001	1	SND	0.00
-54	Max	1	SND	0.001	SND	0.001	1	SND	0.001	1	SND	0.007	7	SND	0.001	1	SND	0.00
-54	Min	1	SND	0.001	SND	0.001	1	SND	0.001	1	SND	0.007	7	SND	0.001	1	SND	0.00
-53	Max	1	SND	0.001	SND	0.007	7	SND	0.001	1	SND	0.001	1	SND	0.001	1	SND	0.00
-53	Min	1	SND	0.001	SND	0.007	7	SND	0.001	1	SND	0.001	1	SND	0.001	1	SND	0.00
-52	Max	1	SND	0.001	SND	0.001	1	SND	0.001	1	SND	0.007	7	SND	0.001	1	SND	0.00
-52	Min	1	SND	0.001	SND	0.001	1	SND	0.001	1	SND	0.007	7	SND	0.001	1	SND	0.00
-51	Max	1	SND	0.001	SND	0.007	7	SND	0.001	1	SND	0.001	1	SND	0.001	1	SND	0.00
-51	Min	1	SND	0.001	SND	0.007	7	SND	0.001	1	SND	0.001	1	SND	0.001	1	SND	0.00
-50	Max	1	SND	0.001	SND	0.001	1	SND	0.001	1	SND	0.001	1	SND	0.001	1	SND	0.00
-50	Min	1	SND	0.001	SND	0.001	1	SND	0.001	1	SND	0.001	1	SND	0.001	1	SND	0.00
-49	Max	13	SLU	702.167	SND	973.271	1	SND	0.001	1	SND	0.007	7	SND	0.0013	13	SLU	64.11
-49	Min	1	SND	354.167	SND	-524.901	1	SND	0.001	1	SND	0.007	7	SND	0.001	1	SND	34.33
-48	Max	1	SND	-513.587	SND	765.487	7	SND	0.007	7	SND	0.001	1	SND	0.007	7	SND	6.28
-48	Min	13	SLU	-916.017	SND	-775.827	7	SND	0.007	7	SND	0.007	7	SND	0.001	1	SND	-5.98
-47	Max	1	SND	0.001	SND	0.001	1	SND	0.001	1	SND	0.001	1	SND	0.001	1	SND	0.00
-47	Min	1	SND	0.001	SND	0.001	1	SND	0.001	1	SND	0.001	1	SND	0.001	1	SND	0.00
-46	Max	1	SND	0.001	SND	0.001	1	SND	0.001	1	SND	0.001	1	SND	0.001	1	SND	0.00
-46	Min	1	SND	0.001	SND	0.001	1	SND	0.001	1	SND	0.001	1	SND	0.001	1	SND	0.00
-45	Max	1	SND	0.001	SND	0.001	1	SND	0.007	7	SND	0.001	1	SND	0.001	1	SND	0.00
-45	Min	1	SND	0.001	SND	0.001	1	SND	0.007	7	SND	0.001	1	SND	0.001	1	SND	0.00
-44	Max	1	SND	0.001	SND	0.001	1	SND	0.001	1	SND	0.001	1	SND	0.001	1	SND	0.00
-44	Min	1	SND	0.001	SND	0.001	1	SND	0.001	1	SND	0.001	1	SND	0.001	1	SND	0.00
-43	Max	1	SND	0.001	SND	0.001	1	SND	0.007	7	SND	0.007	7	SND	0.001	1	SND	0.00
-43	Min	1	SND	0.001	SND	0.001	1	SND	0.007	7	SND	0.007	7	SND	0.001	1	SND	0.00
-42	Max	1	SND	0.001	SND	0.001	1	SND	0.007	7	SND	0.007	7	SND	0.001	1	SND	0.00
-42	Min	1	SND	0.001	SND	0.001	1	SND	0.007	7	SND	0.007	7	SND	0.001	1	SND	0.00
-41	Max	1	SND	0.001	SND	0.007	7	SND	0.007	7	SND	0.007	13	SLU	0.001	1	SND	0.00
-41	Min	1	SND	0.001	SND	0.007	7	SND	0.007	7	SND	0.007	7	SND	0.001	1	SND	0.00
-40	Max	1	SND	0.001	SND	0.007	7	SND	0.007	7	SND	0.001	1	SND	0.001	1	SND	0.00
-40	Min	1	SND	0.001	SND	0.007	7	SND	0.007	7	SND	0.001	1	SND	0.001	1	SND	0.00
-39	Max	1	SND	0.001	SND	0.007	7	SND	0.001	1	SND	0.007	7	SND	0.001	1	SND	0.00
-39	Min	1	SND	0.001	SND	0.007	7	SND	0.001	1	SND	0.007	7	SND	0.001	1	SND	0.00
-38	Max	1	SND	0.001	SND	0.001	1	SND	0.007	7	SND	0.007	7	SND	0.001	1	SND	0.00
-38	Min	1	SND	0.001	SND	0.001	1	SND	0.007	7	SND	0.007	7	SND	0.001	1	SND	0.00
-37	Max	13	SLU	914.487	SND	759.477	7	SND	0.007	7	SND	0.001	1	SND	0.007	7	SND	6.01
-37	Min	1	SND	510.907	SND	-765.657	7	SND	0.007	7	SND	0.007	7	SND	0.001	1	SND	-6.32
-36	Max	1	SND	-358.367	SND	514.291	1	SND	0.007	7	SND	0.001	1	SND	0.0013	13	SLU	64.33
-36	Min	13	SLU	-705.627	SND	-986.311	1	SND	0.007	7	SND	0.001	1	SND	0.001	1	SND	34.31
-35	Max	1	SND	0.001	SND	0.001	1	SND	0.007	7	SND	0.001	1	SND	0.001	1	SND	0.00
-35	Min	1	SND	0.001	SND	0.001	1	SND	0.007	7	SND	0.001	1	SND	0.001	1	SND	0.00
-34	Max	1	SND	0.001	SND	0.001	1	SND	0.001	1	SND	0.007	7	SND	0.001	1	SND	0.00
-34	Min	1	SND	0.001	SND	0.001	1	SND	0.001	1	SND	0.007	7	SND	0.001	1	SND	0.00
-33	Max	1	SND	0.001	SND	0.001	1	SND	0.007	7	SND	0.001	1	SND	0.001	1	SND	0.00
-33	Min	1	SND	0.001	SND	0.001	1	SND	0.007	7	SND	0.001	1	SND	0.001	1	SND	0.00
-32	Max	1	SND	0.001	SND	0.007	7	SND	0.001	1	SND	0.001	1	SND	0.001	1	SND	0.00
-32	Min	1	SND	0.001	SND	0.007	7	SND	0.001	1	SND	0.001	1	SND	0.001	1	SND	0.00
-31	Max	1	SND	0.001	SND	0												

Relazione di calcolo

-21	Max	1	SND	0.00	1	SND	0.00	7	SND	0.00	1	SND	0.00	7	SND	0.00	1	SND	0.00
-21	Min	1	SND	0.00	1	SND	0.00	7	SND	0.00	1	SND	0.00	7	SND	0.00	1	SND	0.00
-20	Max	1	SND	0.00	1	SND	0.00	7	SND	0.00	1	SND	0.00	7	SND	0.00	1	SND	0.00
-20	Min	1	SND	0.00	1	SND	0.00	7	SND	0.00	1	SND	0.00	7	SND	0.00	1	SND	0.00
-19	Max	1	SND	0.00	1	SND	0.00	7	SND	0.00	7	SND	0.00	1	SND	0.00	1	SND	0.00
-19	Min	1	SND	0.00	1	SND	0.00	7	SND	0.00	7	SND	0.00	1	SND	0.00	1	SND	0.00
-18	Max	1	SND	0.00	1	SND	0.00	1	SND	0.00	7	SND	0.00	7	SND	0.00	1	SND	0.00
-18	Min	1	SND	0.00	1	SND	0.00	1	SND	0.00	7	SND	0.00	7	SND	0.00	1	SND	0.00
-17	Max	1	SND	0.00	1	SND	0.00	7	SND	0.00	1	SND	0.00	1	SND	0.00	1	SND	0.00
-17	Min	1	SND	0.00	1	SND	0.00	7	SND	0.00	1	SND	0.00	1	SND	0.00	1	SND	0.00
-16	Max	1	SND	0.00	1	SND	0.00	1	SND	0.00	7	SND	0.00	1	SND	0.00	1	SND	0.00
-16	Min	1	SND	0.00	1	SND	0.00	1	SND	0.00	7	SND	0.00	1	SND	0.00	1	SND	0.00
-15	Max	1	SND	0.00	1	SND	0.00	1	SND	0.00	7	SND	0.00	1	SND	0.00	1	SND	0.00
-15	Min	1	SND	0.00	1	SND	0.00	1	SND	0.00	7	SND	0.00	1	SND	0.00	1	SND	0.00
-14	Max	1	SND	0.00	1	SND	0.00	7	SND	0.00	1	SND	0.00	7	SND	0.00	1	SND	0.00
-14	Min	1	SND	0.00	1	SND	0.00	7	SND	0.00	1	SND	0.00	7	SND	0.00	1	SND	0.00
-13	Max	1	SND	158.45	7	SND	185.25	1	SND	0.00	1	SND	0.00	7	SND	0.00	1	SND	-38.09
-13	Min	1	SND	-85.26	7	SND	-1044.47	1	SND	0.00	1	SND	0.00	13	SLU	0.00	1	SND	-71.88
-12	Max	7	SND	410.56	1	SND	-137.00	7	SND	0.00	1	SND	0.00	1	SND	0.00	7	SND	-31.31
-12	Min	7	SND	-246.52	1	SND	-903.82	7	SND	0.00	1	SND	0.00	13	SLU	0.00	1	SND	-47.98
-11	Max	7	SND	545.28	1	SND	405.35	7	SND	0.00	7	SND	0.00	1	SND	0.00	1	SND	-113.08
-11	Min	7	SND	-662.20	1	SND	79.01	7	SND	0.00	7	SND	0.00	13	SLU	0.00	1	SND	-181.52
-10	Max	1	SND	608.58	13	SLU	1540.70	7	SND	0.00	7	SND	0.00	7	SND	0.00	1	SND	-122.01
-10	Min	1	SND	-768.20	1	SND	904.42	7	SND	0.00	7	SND	0.00	13	SLU	0.00	1	SND	-183.83
-9	Max	1	SND	833.60	13	SLU	2126.91	7	SND	0.00	7	SND	0.00	1	SND	0.00	1	SND	-77.92
-9	Min	1	SND	-1017.91	1	SND	1324.23	7	SND	0.00	7	SND	0.00	13	SLU	0.00	1	SND	-125.45
-8	Max	1	SND	1006.26	13	SLU	2402.67	1	SND	0.00	7	SND	0.00	7	SND	0.00	1	SND	-24.66
-8	Min	1	SND	-1110.58	1	SND	1545.78	1	SND	0.00	7	SND	0.00	13	SLU	0.00	1	SND	-59.37
-7	Max	1	SND	962.71	13	SLU	2228.16	1	SND	0.00	1	SND	0.00	7	SND	0.00	1	SND	17.80
-7	Min	1	SND	-980.33	7	SND	1449.55	1	SND	0.00	1	SND	0.00	7	SND	0.00	1	SND	-15.83
-6	Max	1	SND	885.73	13	SLU	1923.71	1	SND	0.00	1	SND	0.00	7	SND	0.00	13	SLU	47.85
-6	Min	1	SND	-811.52	1	SND	1238.00	1	SND	0.00	1	SND	0.00	7	SND	0.00	1	SND	19.65
-5	Max	1	SND	838.37	13	SLU	1765.29	7	SND	0.00	1	SND	0.00	7	SND	0.00	13	SLU	89.79
-5	Min	1	SND	-701.92	1	SND	1107.38	7	SND	0.00	1	SND	0.00	7	SND	0.00	1	SND	53.24
-4	Max	1	SND	717.98	13	SLU	1469.63	7	SND	0.00	1	SND	0.00	1	SND	0.00	13	SLU	129.31
-4	Min	1	SND	-556.79	1	SND	888.64	7	SND	0.00	1	SND	0.00	7	SND	0.00	1	SND	86.31
-3	Max	1	SND	520.85	13	SLU	970.10	7	SND	0.00	7	SND	0.00	7	SND	0.00	13	SLU	158.13
-3	Min	1	SND	-408.26	1	SND	535.52	7	SND	0.00	7	SND	0.00	7	SND	0.00	1	SND	101.57
-2	Max	7	SND	537.05	1	SND	205.64	1	SND	0.00	7	SND	0.00	1	SND	0.00	13	SLU	138.69
-2	Min	7	SND	-425.56	1	SND	-77.94	1	SND	0.00	7	SND	0.00	1	SND	0.00	1	SND	85.42
-1	Max	7	SND	183.80	1	SND	-158.26	1	SND	0.00	1	SND	0.00	7	SND	0.00	13	SLU	31.23
-1	Min	7	SND	-351.40	1	SND	-889.18	1	SND	0.00	1	SND	0.00	7	SND	0.00	1	SND	19.63

Tensioni sul terreno

Simbologia

Nodo = Numero del nodo

CC = Numero della combinazione delle condizioni di carico elementari

TCC = Tipo di combinazione di carico

SLU = Stato limite ultimo

SLU S = Stato limite ultimo (azione sismica)

SLE R = Stato limite d'esercizio, combinazione rara

SLE F = Stato limite d'esercizio, combinazione frequente

SLE Q = Stato limite d'esercizio, combinazione quasi permanente

SLD = Stato limite di danno

SLV = Stato limite di salvaguardia della vita

SLC = Stato limite di prevenzione del collasso

SLO = Stato limite di operatività

SLUI = Stato limite di resistenza al fuoco

SND = Stato limite di salvaguardia della vita (non dissipativo)

σ_t = Tensione sul terreno

Nodo		CC	TCC	σ_t <daN/cm ² >
-84	Max	7	SND	1.84
-82	Min.	7	SND	0.03
-79	Max	7	SND	1.63
-77	Min.	7	SND	0.07
-74	Max	7	SND	1.79
-72	Min.	1	SND	0.06
-69	Max	7	SND	1.45
-67	Min.	7	SND	0.38
-64	Max	7	SND	1.47
-62	Min.	1	SND	0.16
-59	Max	1	SND	1.49
-57	Min.	1	SND	0.54
-54	Max	13	SLU	1.20
-52	Min.	1	SND	0.45
-49	Max	1	SND	1.61
-47	Min.	1	SND	0.33
-44	Max	13	SLU	1.20
-42	Min.	1	SND	0.73
-39	Max	1	SND	1.31
-37	Min.	1	SND	0.18
-34	Max	1	SND	1.33
-32	Min.	7	SND	0.57
-29	Max	13	SLU	1.18
-27	Min.	1	SND	0.32
-24	Max	1	SND	1.68
-22	Min.	7	SND	0.24
-19	Max	7	SND	1.35
-17	Min.	7	SND	0.28
-14	Max	1	SND	1.56
-12	Min.	7	SND	-0.09
-9	Max	7	SND	1.67
-7	Min.	7	SND	0.10
-4	Max	7	SND	1.68
-2	Min.	7	SND	-0.07

Nodo		CC	TCC	σ_t <daN/cm ² >
-84	Min.	7	SND	-0.05
-81	Max	7	SND	1.71
-79	Min.	7	SND	0.14
-76	Max	7	SND	1.72
-74	Min.	7	SND	-0.03
-71	Max	1	SND	1.57
-69	Min.	7	SND	0.31
-66	Max	7	SND	1.40
-64	Min.	7	SND	0.28
-61	Max	1	SND	1.69
-59	Min.	1	SND	0.26
-56	Max	13	SLU	1.20
-54	Min.	7	SND	0.58
-51	Max	1	SND	1.39
-49	Min.	1	SND	0.11
-46	Max	1	SND	1.27
-44	Min.	1	SND	0.74
-41	Max	13	SLU	1.19
-39	Min.	1	SND	0.40
-36	Max	1	SND	1.62
-34	Min.	1	SND	0.39
-31	Max	13	SLU	1.18
-29	Min.	7	SND	0.53
-26	Max	1	SND	1.49
-24	Min.	1	SND	0.04
-21	Max	7	SND	1.42
-19	Min.	7	SND	0.35
-16	Max	7	SND	1.44
-14	Min.	1	SND	0.13
-11	Max	7	SND	1.75
-9	Min.	7	SND	0.03
-6	Max	7	SND	1.62
-4	Min.	7	SND	-0.00
-1	Max	7	SND	1.78

Nodo		CC	TCC	σ_t <daN/cm ² >
-83	Max	7	SND	1.79
-81	Min.	7	SND	0.07
-78	Max	7	SND	1.66
-76	Min.	7	SND	0.04
-73	Max	7	SND	1.82
-71	Min.	1	SND	0.20
-68	Max	7	SND	1.41
-66	Min.	7	SND	0.34
-63	Max	7	SND	1.50
-61	Min.	1	SND	0.04
-58	Max	1	SND	1.35
-56	Min.	7	SND	0.59
-53	Max	13	SLU	1.20
-51	Min.	1	SND	0.33
-48	Max	1	SND	1.55
-46	Min.	1	SND	0.47
-43	Max	13	SLU	1.19
-41	Min.	1	SND	0.62
-38	Max	1	SND	1.42
-36	Min.	1	SND	0.12
-33	Max	1	SND	1.19
-31	Min.	7	SND	0.60
-28	Max	1	SND	1.27
-26	Min.	1	SND	0.21
-23	Max	1	SND	1.54
-21	Min.	7	SND	0.28
-18	Max	7	SND	1.38
-16	Min.	7	SND	0.25
-13	Max	1	SND	1.67
-11	Min.	7	SND	-0.05
-8	Max	7	SND	1.62
-6	Min.	7	SND	0.07
-3	Max	7	SND	1.71
-1	Min.	7	SND	-0.11

Nodo		CC	TCC	σ_t <daN/cm ² >
-83	Min.	7	SND	-0.01
-80	Max	7	SND	1.66
-78	Min.	7	SND	0.11
-75	Max	7	SND	1.75
-73	Min.	7	SND	-0.07
-70	Max	7	SND	1.49
-68	Min.	7	SND	0.35
-65	Max	7	SND	1.44
-63	Min.	7	SND	0.24
-60	Max	1	SND	1.63
-58	Min.	1	SND	0.40
-55	Max	13	SLU	1.20
-53	Min.	7	SND	0.55
-50	Max	1	SND	1.50
-48	Min.	1	SND	0.20
-45	Max	13	SLU	1.20
-43	Min.	1	SND	0.85
-40	Max	1	SND	1.20
-38	Min.	1	SND	0.29
-35	Max	1	SND	1.48
-33	Min.	1	SND	0.52
-30	Max	13	SLU	1.18
-28	Min.	1	SND	0.43
-25	Max	1	SND	1.60
-23	Min.	1	SND	0.17
-20	Max	7	SND	1.38
-18	Min.	7	SND	0.32
-15	Max	7	SND	1.47
-13	Min.	1	SND	0.02
-10	Max	7	SND	1.71
-8	Min.	7	SND	0.07
-5	Max	7	SND	1.65
-3	Min.	7	SND	-0.04

Nodo		CC	TCC	σ_t <da
------	--	----	-----	-------------------

Relazione di calcolo

SLU = Stato limite ultimo
SLU S = Stato limite ultimo (azione sismica)
SLE R = Stato limite d'esercizio, combinazione rara
SLE F = Stato limite d'esercizio, combinazione frequente
SLE Q = Stato limite d'esercizio, combinazione quasi permanente
SLD = Stato limite di danno
SLV = Stato limite di salvaguardia della vita
SLC = Stato limite di prevenzione del collasso
SLO = Stato limite di operatività
SLU I = Stato limite di resistenza al fuoco
SND = Stato limite di salvaguardia della vita (non dissipativo)

σ_{zz} =Tensione normale sulle facce perp. all'asse Z
 τ_{xz} =Tensione in dir. Z sulle facce perp. all'asse X
Mxx =Momento che provoca variazione di tensione sulle facce perp. all'asse X
Mzz =Momento che provoca variazione di tensione sulle facce perp. all'asse Z
Mxz =Momento che provoca variazione di tensione tangenziale sulle facce perp. all'asse X
 τ_{zy} =Tensione in dir. Y sulle facce perp. all'asse Z
 τ_{xy} =Tensione in dir. Y sulle facce perp. all'asse X

Bid. 7

	CC	TCC	Nodo	Min.	CC	TCC	Nodo	Max		CC	TCC	Nodo	Min.	CC	TCC	Nodo	Max
σ_{xx} <daN/mq>	1	SND	-507	-9456	13	SLU	-137	25829	σ_{zz} <daN/mq>	1	SND	-101	-48571	7	SND	-13	11766
τ_{xz} <daN/mq>	7	SND	-99	-13915	7	SND	-137	14032	Mxx <daNm/m>	13	SLU	-169	-367	13	SLU	-199	1010
Mzz <daNm/m>	13	SLU	-137	-445	13	SLU	-371	169	Mxz <daNm/m>	13	SLU	-25	-204	13	SLU	-61	204
τ_{xy} <daN/mq>	7	SND	-61	-5140	13	SLU	-101	6879	τ_{xy} <daN/mq>	13	SLU	-165	-16076	13	SLU	-175	16084

Bid. 8

	CC	TCC	Nodo	Min.	CC	TCC	Nodo	Max		CC	TCC	Nodo	Min.	CC	TCC	Nodo	Max
σ_{xx} <daN/mq>	7	SND	-601	-10816	13	SLU	-141	19972	σ_{zz} <daN/mq>	7	SND	-81	-42593	7	SND	-108	14762
τ_{xz} <daN/mq>	1	SND	-113	-12568	1	SND	-112	12572	Mxx <daNm/m>	13	SLU	-283	-853	13	SLU	-209	1049
Mzz <daNm/m>	13	SLU	-216	-941	13	SLU	-78	1125	Mxz <daNm/m>	13	SLU	-109	-577	13	SLU	-151	587
τ_{xy} <daN/mq>	13	SLU	-73	-9195	13	SLU	-80	22849	τ_{xy} <daN/mq>	13	SLU	-176	-17258	13	SLU	-219	16547

Bid. 9

	CC	TCC	Nodo	Min.	CC	TCC	Nodo	Max		CC	TCC	Nodo	Min.	CC	TCC	Nodo	Max
σ_{xx} <daN/mq>	1	SND	-510	-9607	13	SLU	-138	25974	σ_{zz} <daN/mq>	1	SND	-48	-49390	7	SND	-96	11554
τ_{xz} <daN/mq>	7	SND	-104	-14214	7	SND	-98	14142	Mxx <daNm/m>	13	SLU	-136	-367	13	SLU	-200	1010
Mzz <daNm/m>	13	SLU	-102	-445	13	SLU	-372	170	Mxz <daNm/m>	13	SLU	-104	-204	13	SLU	-98	204
τ_{xy} <daN/mq>	7	SND	-106	-5453	13	SLU	-36	6885	τ_{xy} <daN/mq>	13	SLU	-140	-16094	13	SLU	-166	16088

Bid. 10

	CC	TCC	Nodo	Min.	CC	TCC	Nodo	Max		CC	TCC	Nodo	Min.	CC	TCC	Nodo	Max
σ_{xx} <daN/mq>	7	SND	-9	-41806	7	SND	-86	15152	σ_{zz} <daN/mq>	7	SND	-533	-10175	13	SLU	-119	19954
τ_{xz} <daN/mq>	1	SND	-7	-12373	1	SND	-6	12443	Mxx <daNm/m>	13	SLU	-193	-940	13	SLU	-91	1129
Mzz <daNm/m>	13	SLU	-262	-855	13	SLU	-153	1050	Mxz <daNm/m>	13	SLU	-121	-577	13	SLU	-94	587
τ_{xy} <daN/mq>	13	SLU	-154	-17253	13	SLU	-198	16543	τ_{xy} <daN/mq>	13	SLU	-2	-9159	13	SLU	-92	22861

Bid. 11

	CC	TCC	Nodo	Min.	CC	TCC	Nodo	Max		CC	TCC	Nodo	Min.	CC	TCC	Nodo	Max
σ_{xx} <daN/mq>	1	SND	-57	0	1	SND	-70	0	σ_{zz} <daN/mq>	1	SND	-57	0	1	SND	-70	0
τ_{xz} <daN/mq>	1	SND	-57	0	1	SND	-70	0	Mxx <daNm/m>	7	SND	-14	69	13	SLU	-43	4232
Mzz <daNm/m>	1	SND	-14	-99	1	SND	-57	1867	Mxz <daNm/m>	13	SLU	-3	-1528	13	SLU	-62	1532
τ_{xy} <daN/mq>	1	SND	-47	-15742	1	SND	-37	16743	τ_{xy} <daN/mq>	1	SND	-81	-14487	1	SND	-21	14270

Bid. 12

	CC	TCC	Nodo	Min.	CC	TCC	Nodo	Max		CC	TCC	Nodo	Min.	CC	TCC	Nodo	Max
σ_{xx} <daN/mq>	7	SND	-561	-9413	1	SND	-553	7169	σ_{zz} <daN/mq>	7	SND	-577	-13667	7	SND	-601	6964
τ_{xz} <daN/mq>	7	SND	-551	-7110	7	SND	-560	7212	Mxx <daNm/m>	13	SLU	-535	-58	13	SLU	-555	1216
Mzz <daNm/m>	13	SLU	-560	-418	13	SLU	-567	431	Mxz <daNm/m>	13	SLU	-537	-366	13	SLU	-594	350
τ_{xy} <daN/mq>	13	SLU	-562	-9348	13	SLU	-569	8919	τ_{xy} <daN/mq>	13	SLU	-602	-5247	13	SLU	-555	5711

Criteri di progetto utilizzati

Pareti	
Generali	
Parametri di progetto	
Verifiche a taglio per elementi esistenti come per elementi nuovi	Si
Parametri di disegno	
Scala disegno pareti	50.00
Campitura disegno parete	Rada
Disegno armatura diffusa	No
Disegno prospetto e pianta	Sempre
Stampe	
Tipo di relazione	Sintetica

	4
Specifici	
Materiali	
-Considera come elemento esistente	No
-Calcestruzzo	
-Livello di conoscenza	LC2
-Fattore di confidenza	1.20
-Tipo di calcestruzzo	C32/40
-Rck calcestruzzo	400.00
-Modulo elastico <daN/cmq>	336428.00
-Resistenza caratteristica cilindrica (Fck)	332.00
-Resistenza caratteristica a trazione (Fctk)	21.69

Relazione di calcolo

-Resistenza media (Fcm) <daN/cm²>	412.00
-Resistenza media a trazione (Fctm) <daN/cm²>	30.99
-σ amm. calcestruzzo <daN/cm²>	122.50
-rc0 <daN/cm²>	7.30
-rc1 <daN/cm²>	21.10
-Riduci Fcd per tutte le verifiche secondo il D.M. 18	Si
-γs per stati limite ultimi	
-Automatico	x
-Pari a	
-Acciaio	
-Livello di conoscenza	LC2
-Fattore di confidenza	1.20
-Tipo di acciaio	B450C
-Modulo elastico <daN/cm²>	2060000.00
-Tensione caratteristica di snervamento (Fyk) <daN/cm²>	4500.00
-Tensione media di snervamento (Fym) <daN/cm²>	4500.00
-Sigma amm. acciaio <daN/cm²>	2600.00
-Sigma amm. reti e tralicci <daN/cm²>	2600.00
-Allungamento per verifiche di duttilità (Agt) <%>	4.00
-γs per stati limite ultimi	
-Automatico	x
-Pari a	
-Coeff. di omogeneizzazione	15.00
Parametri di calcolo	
Elemento dissipativo	No
Copriferro <cm>	2.50
Fattore moltiplicativo per calcolo τ l	1.00
Fattore moltiplicativo per calcolo τ t	1.00
Fattore di riduzione per ancoraggio ferri	1.00
Lunghezza ancoraggi armature	
-Calcolata in funzione della σ f	
-Imposta come multiplo del diametro	20.00
Lunghezza minima pari a <m>	0.50
-Inserire solo armatura al centro della parete	No
Modalità di progettazione e verifica armatura verticale	
-In funzione delle zone di incidenza elementi	x
-In funzione delle sollecitazioni globali	
-Inserisci armatura di rinforzo nelle zone di incidenza elementi	Si
-Dimensione minima zone di incidenza elementi	Si
-Pari a multiplo dello spessore	1.00
-Passo di verifica	1.50
-Trascura zone con pilastro inglobato	Si
-Effettuare verifiche nel piano della parete	No
-Elimina armatura diffusa nelle zone di rinforzo	Si
-Elimina armatura diffusa nell'architrave	Si
-Effettuare verifiche su sezioni verticali	Si
-Passo di verifica	1.00
Controllare resistenza a taglio trasversale come sezione priva di armatura a taglio	Si
Min. Af armatura diffusa <cmq/m>	3.00
Considera come parete debolmente armata ai sensi D.M. 18	No
-Modalità di valutazione parametri nel caso di sisma diverso per X e Y	
-Usa valore massimo	x
-Componi in direzione parete	
-Incremento del 50% delle forze assiali	
Sempre	x
-Solo per analisi sismiche statiche	
-Mai	
Coeff. β per controllo snellezza <m>	1.00
Armatura diffusa	
Considera armatura con rete elettrosaldata	No
Armatura verticale o rete	
Elenco diametri utilizzabili 1 <mm>	10
Elenco diametri utilizzabili 2 <mm>	12
Elenco diametri utilizzabili 3 <mm>	
Elenco diametri utilizzabili 4 <mm>	
Elenco diametri utilizzabili 5 <mm>	
Elenco diametri utilizzabili 6 <mm>	
Elenco diametri utilizzabili 7 <mm>	
Passi utilizzabili	
-Minimo <cm>	15.00
-Massimo <cm>	30.00
-Incremento <cm>	5.00
-Modalità di completamento armatura	
-Adattata	x
-Terminata	
-Nessuna	
Armatura orizzontale	
Elenco diametri utilizzabili 1 <mm>	8
Elenco diametri utilizzabili 2 <mm>	10
Elenco diametri utilizzabili 3 <mm>	
Elenco diametri utilizzabili 4 <mm>	
Elenco diametri utilizzabili 5 <mm>	
Elenco diametri utilizzabili 6 <mm>	
Elenco diametri utilizzabili 7 <mm>	
Passi utilizzabili	
-Minimo <cm>	10.00
-Massimo <cm>	30.00
-Incremento <cm>	5.00
Tipo di armatura orizzontale	
-Dritta	x
-Con risvolti di estremità	
Modalità di chiusura orizzontale	
-Nessuna chiusura	
-Chiusura con ferri ad U	x
-Chiusura con staffe	
-Lunghezza armatura di chiusura	
-Multiplo dello spessore pari a	
-Lunghezza fissa pari a <cm>	0.50
-Tipo di ottimizzazione armatura	
-Minimizza il peso complessivo dei ferri	x
-Minimizza il numero dei ferri	

Relazione di calcolo

Armatura di rinforzo	
Elenco diametri utilizzabili 1 <mm>	16
Elenco diametri utilizzabili 2 <mm>	
Elenco diametri utilizzabili 3 <mm>	
Elenco diametri utilizzabili 4 <mm>	
Elenco diametri utilizzabili 5 <mm>	
Elenco diametri utilizzabili 6 <mm>	
Elenco diametri utilizzabili 7 <mm>	
Numero minimo ferri	2.00
Interferro minimo sotto il quale non è possibile aggiungere ferri <cm>	10.00
-Aggiungi staffe chiuse	Si
-Stesso diametro armatura diffusa orizzontale	x
-Diametro imposto	
-Stesso passo armatura diffusa orizzontale	x
-Passo imposto	
Armatura secondaria	
Diametro ferri di collegamento <mm>	6.00
Numero ferri di collegamento (a mq)	6.00
Lunghezza ancoraggio ferri di collegamento <cm>	10.00
Dati per progettazione agli stati limite	
Gruppo di esigenza	
-Ambiente poco aggressivo	x
-Ambiente moderatamente aggressivo	
-Ambiente molto aggressivo	
Controllo rapporto X/D	No
Barre da considerare tese per verifiche a taglio	
-Solo le barre con deformazione percentuale rispetto alla barra più tesa non inferiore al <%>	30.00
-Tutte le barre in trazione	

Solette/Platee

Generali	
Parametri di progetto	
Controllo resistenza a taglio allo S.L.U. DM 96	No
Progetto e verifica con metodo d'integrazione	No
-Massima dimensione della linea d'integrazione	1.00
Verifica con taglio totale	No
Calcolo armature con metodo di Wood	No
Accoppia pilastri per calcolo punzonamento	Si
-Massima distanza come un moltiplicatore dello spessore	1.50
Verifiche a taglio per elementi esistenti come per elementi nuovi	Si
Parametri di disegno	
Disposizione disegno	2A
Particolari nel disegno principale	
-Eliminare le quotature	No
-Eliminare le campiture	No
-Eliminare la numerazione dei pilastri	No
-Eliminare la numerazione delle travi e dei muri	No
Particolari nei disegni secondari	
-Eliminare le quotature	Si
-Eliminare le campiture	Si
-Eliminare la numerazione dei pilastri	Si
-Eliminare la numerazione delle travi e dei muri	Si
Disegno armatura diffusa	No
Posizione particolari punzonamento	In automatico
Copriferro per calcolo lunghezza ferri <cm>	3.50
Risvoltare al bordo i ferri	
-Inferiori	Si
-Superiori	Si
Lunghezza risvolti ferri al bordo	Pari all'altezza meno due volte il copriferro
Disegno particolare ferri al bordo	Si
Scala disegno particolare ferri al bordo	20.00
Calcolo lunghezza ferri semplificato	No
Stampe	
Tipo di relazione	Sintetica

Specifici		1
Materiali		
-Considera come elemento esistente	No	
-Calcestruzzo		
-Livello di conoscenza	LC2	
-Fattore di confidenza	1.20	
-Tipo di calcestruzzo	C32/40	
-Rck calcestruzzo	400.00	
-Modulo elastico <daN/cmq>	336428.00	
-Resistenza caratteristica cilindrica (Fck)	332.00	
-Resistenza caratteristica a trazione (Fctk)	21.69	
-Resistenza media (Fcm) <daN/cmq>	412.00	
-Resistenza media a trazione (Fctm) <daN/cmq>	30.99	
-σ amm. calcestruzzo <daN/cmq>	122.50	
-rc0 <daN/cmq>	7.30	
-rc1 <daN/cmq>	21.10	
-Riduci Fcd per tutte le verifiche secondo il D.M. 18	Si	
-γc per stati limite ultimi		
-Automatico	x	
-Pari a		
-Acciaio		
-Livello di conoscenza	LC2	
-Fattore di confidenza	1.20	
-Tipo di acciaio	B450C	
-Modulo elastico <daN/cmq>	2060000.00	
-Tensione caratteristica di snervamento (Fyk) <daN/cmq>	4500.00	
-Tensione media di snervamento (Fym) <daN/cmq>	4500.00	
-Sigma amm. acciaio <daN/cmq>	2600.00	
-Sigma amm. reti e tralicci <daN/cmq>	2600.00	
-Allungamento per verifiche di duttilità (Agt) <%>	4.00	

Relazione di calcolo

- γ_s per stati limite ultimi	
-Automatico	x
-Pari a	
-Coeff. di omogeneizzazione	15.00
Parametri di calcolo	
Parametri di progetto secondo il D.M. 18	
-Elemento dissipativo	No
-Sollecitazioni dissipative amplificate per elementi di fondazione	Si
Angolo d'armatura <grad>	0.00
Copriferro teorico superiore <cm>	3.00
Copriferro teorico inferiore <cm>	3.00
Tipo di progetto in doppia armatura	
-Tensione pari ai valori amm.	
-Tensione pari ai valori amm. con AfComp/AfTesa minore o pari a	1.00
-Tensione pari ai valori amm. con AfComp/AfTesa pari a	
Min. percentuale di regolamento	
-Platee di fondazione su suolo elastico	No
-Solette di elevazione	Si
Controlla min. armatura di ripartizione	No
Armatura a flessione	
Elenco diametri utilizzabili 1 <mm>	10
Elenco diametri utilizzabili 2 <mm>	12
Elenco diametri utilizzabili 3 <mm>	14
Elenco diametri utilizzabili 4 <mm>	16
Elenco diametri utilizzabili 5 <mm>	
Elenco diametri utilizzabili 6 <mm>	
Elenco diametri utilizzabili 7 <mm>	
Passi utilizzabili	
-Minimo <cm>	15.00
-Massimo <cm>	30.00
-Incremento <cm>	5.00
Uniformizzazione interassi armatura	No
-Sempre	
-Nella stessa direzione	
-Nella stessa posizione	
Uniformizzazione diametri armatura	No
-Sempre	
-Nella stessa direzione	
-Nella stessa posizione	
Tipo di ottimizzazione armatura a flessione	
-Minimizza il numero dei ferri	
-Minimizza il peso complessivo dei ferri	x
Verifiche a taglio	
-Escludi punti di verifica sotto piramidi di punzonamento	No
-Escludi punti di verifica sotto muri/bidimensionali	No
Ancoraggi	
Fattore di riduzione per ancoraggio ferri	1.00
Lunghezza ancoraggi armature	
-Calcolata in funzione della Sigmaf	x
-Imposta come multiplo del diametro	
Lunghezza ancoraggi ferri punzonamento	
-Calcolata in funzione della Sigmaf	x
-Imposta come multiplo del diametro	
Armatura a punzonamento	
Fattore di riduzione altezza soletta/platea	0.90
Modifica altezza soletta/platea	Si
Allargamento piastra pilastri in acciaio <cm>	5.00
Distanza dal bordo libero	
-Distanza come un moltiplicatore dello spessore	1.00
-Distanza imposta a <cm>	
Moltiplicatore altezza utile per valutare perimetro efficace (D.M. 18)	2.00
Tolleranza di posizionamento barre	
-Distanza come un moltiplicatore dello spessore	0.10
-Distanza imposta a <cm>	
Elenco diametri utilizzabili 1 <mm>	12
Elenco diametri utilizzabili 2 <mm>	14
Elenco diametri utilizzabili 3 <mm>	16
Elenco diametri utilizzabili 4 <mm>	18
Elenco diametri utilizzabili 5 <mm>	20
Elenco diametri utilizzabili 6 <mm>	
Elenco diametri utilizzabili 7 <mm>	
Passi utilizzabili	
-Minimo <cm>	10.00
-Massimo <cm>	20.00
-Incremento <cm>	2.00
Tipo di ottimizzazione armatura a punzonamento	
-Minimizza il numero dei ferri	x
-Minimizza il peso complessivo dei ferri	
Dati per progettazione agli stati limite	
Gruppo di esigenza	
-Ambiente poco aggressivo	x
-Ambiente moderatamente aggressivo	
-Ambiente molto aggressivo	
Controllo rapporto X/D	No
Barre da considerare tese per verifiche a taglio	
-Solo le barre con deformazione percentuale rispetto	
Incremento <%>	30.00
-Tutte le barre in trazione	

Verifiche e armature solette/platee

Simbologia

Nodo = Numero del nodo
 X = Coordinata X del nodo
 Y = Coordinata Y del nodo
 DV = Direzione di verifica
 XX = Verifica per momento Mxx
 YY = Verifica per momento Myy

Relazione di calcolo

CC =Numero della combinazione delle condizioni di carico elementari
TCC =Tipo di combinazione di carico
SLU = Stato limite ultimo
SLU S = Stato limite ultimo (azione sismica)
SLE R = Stato limite d'esercizio, combinazione rara
SLE F = Stato limite d'esercizio, combinazione frequente
SLE Q = Stato limite d'esercizio, combinazione quasi permanente
SLD = Stato limite di danno
SLV = Stato limite di salvaguardia della vita
SLC = Stato limite di prevenzione del collasso
SLO = Stato limite di operatività
SLU I = Stato limite di resistenza al fuoco
SND = Stato limite di salvaguardia della vita (non dissipativo)
c =Ricoprimento dell'armatura
s =Distanza massima tra le barre
K₂ =Coefficiente per distribuzione deformazioni
Φ_{eq} =Diametro equivalente delle barre
Δ_{sm} =Distanza media tra le fessure
A_s =Area complessiva dei ferri nell'area di calcestruzzo efficace
A_{c eff} =Area di calcestruzzo efficace
σ_s =Tensione nell'acciaio nella sezione fessurata
ε_{sm} =Deformazione unitaria media dell'armatura (*1000)
W_k =Ampiezza caratteristica delle fessure
A_{fe S} =Area di ferro effettiva totale presente nel punto di verifica, superiore
A_{fe I} =Area di ferro effettiva totale presente nel punto di verifica, inferiore
M_y =Momento flettente intorno all'asse Y
M'y_{dy} =Momento resistente massimo in campo sostanzialmente elastico intorno all'asse Y
MR_{dy} =Momento resistente allo stato limite ultimo intorno all'asse Y
Sic. =Sicurezza a rottura
A_{fe St.} =Area di ferro effettiva della staffatura
V_{sd} =Taglio agente nella direzione del momento ultimo
V_{Rcd} =Taglio ultimo lato calcestruzzo
V_{Rsd} =Taglio ultimo lato armatura
V_{rd} =Taglio ultimo assorbibile dal solo calcestruzzo
Sic.T =Sicurezza a rottura per taglio
Mom =Momento flettente
σ_c =Tensione nel calcestruzzo
σ_f =Tensione nel ferro
Spess. =Spessore
C_{f sup} =Copriferro superiore
C_{f inf} =Copriferro inferiore
Cls =Tipo di calcestruzzo
F_{ck} =Resistenza caratteristica cilindrica a compressione del calcestruzzo
F_{ctk} =Resistenza caratteristica a trazione del calcestruzzo
F_{cd} =Resistenza di calcolo a compressione del calcestruzzo
F_{ctd} =Resistenza di calcolo a trazione del calcestruzzo
T_p =Tipo di acciaio
F_{yk} =Tensione caratteristica di snervamento dell'acciaio
F_{yd} =Resistenza di calcolo dell'acciaio

Armatura soletta a quota 0.00

Caratteristiche delle sezioni e dei materiali utilizzati											
Spess.	C _{f sup}	C _{f inf}	Cls	F _{ck}	F _{ctk}	F _{cd}	F _{ctd}	T _p	F _{yk}	F _{yd}	
<cm>	<cm>	<cm>		<daN/cm ² >	<daN/cm ² >	<daN/cm ² >	<daN/cm ² >		<daN/cm ² >	<daN/cm ² >	
25.00	3.00	3.00	C32/40	332.00	21.69	188.13	14.46	B450C	4500.00	3913.04	

Stato limite ultimo - Verifiche a flessione/pressoflessione

Nodo	X	Y	DV	CC	TCC	A _{fe S}	A _{fe I}	M _y	MR _{dy}	Sic.
	<m>	<m>				<cm ² >	<cm ² >	<daNm>	<daNm>	
-560	0.00	1.20	XX	13	SLU	5.65	5.65	-378.16	-4914.52	12.996
-568	3.04	1.20	XX	13	SLU	5.65	5.65	400.70	4914.52	12.265
-566	2.14	1.20	YY	13	SLU	5.65	5.65	1026.69	4914.52	4.787
-548	3.49	0.40	YY	13	SLU	5.65	5.65	-22.84	-4914.52	>100

Stato limite elastico - Verifiche a flessione/pressoflessione

Nodo	X	Y	DV	CC	TCC	A _{fe S}	A _{fe I}	M _y	M'y _{dy}	Sic.
	<m>	<m>				<cm ² >	<cm ² >	<daNm>	<daNm>	
-560	0.00	1.20	XX	1	SND	5.65	5.65	-282.09	-4488.92	15.913
-568	3.04	1.20	XX	7	SND	5.65	5.65	284.77	4488.92	15.763
-566	2.14	1.20	YY	7	SND	5.65	5.65	731.83	4488.92	6.134
-547	3.04	0.40	YY	7	SND	5.65	5.65	-33.44	-4488.92	>100

Stato limite ultimo - Verifica a taglio del calcestruzzo

Nodo	X	Y	DV	CC	TCC	A _{fe S}	A _{fe I}	A _{fe St.}	V _{sd}	V _{Rcd}	V _{Rsd}	V _{rd}	Sic.T
	<m>	<m>				<cm ² >	<cm ² >	<cm ² /m>	<daN>	<daN>	<daN>	<daN>	
-562	0.71	1.20	XX	13	SLU	5.65	5.65		1867.11			12113.40	6.49
-562	0.71	1.20	XX	1	SND	5.65	5.65		1336.74			12113.40	9.06
-545	2.14	0.40	YY	13	SLU	5.65	5.65		1378.04			12113.40	8.79
-545	2.14	0.40	YY	7	SND	5.65	5.65		1047.40			12113.40	11.57

Stato limite d'esercizio - Verifiche tensionali

Nodo	X	Y	DV	CC	TCC	A _{fe S}	A _{fe I}	Mom	σ _c	σ _f
	<m>	<m>				<cm ² >	<cm ² >	<daNm>	<daN/cm ² >	<daN/cm ² >
-560	0.00	1.20	XX	14	SLE R	5.65	5.65	-262.55	4.55	230.26
-560	0.00	1.20	XX	16	SLE Q	5.65	5.65	-262.55	4.55	230.26
-568	3.04	1.20	XX	14	SLE R	5.65	5.65	280.16	4.86	245.70
-568	3.04	1.20	XX	16	SLE Q	5.65	5.65	280.16	4.86	245.70
-566	2.14	1.20	YY	14	SLE R	5.65	5.65	721.58	12.52	632.83
-566	2.14	1.20	YY	16	SLE Q	5.65	5.65	721.58	12.52	632.83
-548	3.49	0.40	YY	14	SLE R	5.65	5.65	-18.98	0.33	16.64
-548	3.49	0.40	YY	16	SLE Q	5.65	5.65	-18.98	0.33	16.64

Stato limite d'esercizio - Verifiche a fessurazione

Nodo	X	Y	DV	CC	TCC	c	s	K ₂	Φ _{eq}	Δ _{sm}	A _s	A _{c eff}	σ _s	ε _{sm}	W _k
	<m>	<m>				<mm>	<mm>			<mm>	<cm ² >	<cm ² >	<daN/cm ² >		<mm>
-560	0.00	1.20	XX	16	SLE Q	24.00	200.00	0.50	12.00	165.70	6.79	665.56	230.26	0.07	0.02
-560	0.00	1.20	XX	15	SLE F	24.00	200.00	0.50	12.00	165.70	6.79	665.56	230.26	0.07	0.02
-568	3.04	1.20	XX	16	SLE Q	24.00	200.00	0.50	12.00	165.70	6.79	665.56	245.70	0.07	0.02
-568	3.04	1.20	XX	15	SLE F	24.00	200.00	0.50	12.00	165.70	6.79	665.56	245.70	0.07	0.02
-566	2.14	1.20	YY	16	SLE Q	24.00	200.00	0.50	12.00	165.70	6.79	665.56	632.83	0.18	0.05
-566	2.14	1.20	YY	15	SLE F	24.00	200.00	0.50	12.00	165.70	6.79	665.56	632.83	0.18	0.05

Relazione di calcolo

-548	3.49	0.40	YY	16	SLE Q	24.00	200.00	0.50	12.00	165.70	6.79	665.56	16.64	0.00	0.00
-548	3.49	0.40	YY	15	SLE F	24.00	200.00	0.50	12.00	165.70	6.79	665.56	16.64	0.00	0.00

Armatura platea a quota -5.23

Caratteristiche delle sezioni e dei materiali utilizzati

Spess.	Cf sup	Cf inf	Cls	Fck	Fctk	Fcd	Fctd	Tp	Fyk	Fyd
<cm>	<cm>	<cm>		<daN/cm²>	<daN/cm²>	<daN/cm²>	<daN/cm²>		<daN/cm²>	<daN/cm²>
40.00	3.00	3.00	C32/40	332.00	21.69	188.13	14.46	B450C	4500.00	3913.04

Stato limite ultimo - Verifiche a flessione/pressoflessione

Nodo	X	Y	DV	CC	TCC	AfE S	AfE I	My	MRdy	Sic.
	<m>	<m>				<cmq>	<cmq>	<daNm>	<daNm>	
-44	2.59	1.20	XX	13	SLU	5.65	5.65	-1577.08	-8233.67	5.221
-43	2.14	1.20	YY	13	SLU	5.65	5.65	-4265.50	-8233.67	1.930

Stato limite elastico - Verifiche a flessione/pressoflessione

Nodo	X	Y	DV	CC	TCC	AfE S	AfE I	My	M'ydy	Sic.
	<m>	<m>				<cmq>	<cmq>	<daNm>	<daNm>	
-1	0.00	0.00	XX	1	SND	5.65	5.65	-162.39	-7710.30	47.479
-46	3.49	1.20	XX	1	SND	5.65	5.65	-1871.61	-7710.30	4.120
-43	2.14	1.20	YY	7	SND	5.65	5.65	-3408.44	-7710.30	2.262

Stato limite ultimo - Verifica a taglio del calcestruzzo

Nodo	X	Y	DV	CC	TCC	AfE S	AfE I	AfE St.	Vsdu	VRcd	VRsd	Vrdu	Sic.T
	<m>	<m>				<cmq>	<cmq>	<cmq/m>	<daN>	<daN>	<daN>	<daN>	
-37	0.00	1.20	XX	13	SLU	5.65	5.65		5060.80			17055.70	3.37
-37	0.00	1.20	XX	1	SND	5.65	5.65		6774.98			17055.70	2.52
-79	2.14	2.40	YY	13	SLU	5.65	5.65		4903.51			17055.70	3.48
-76	1.07	2.40	YY	1	SND	5.65	5.65		5789.62			17055.70	2.95

Stato limite d'esercizio - Verifiche tensionali

Nodo	X	Y	DV	CC	TCC	AfE S	AfE I	Mom	σ _c	σ _f
	<m>	<m>				<cmq>	<cmq>	<daNm>	<daN/cm²>	<daN/cm²>
-44	2.59	1.20	XX	14	SLE R	5.65	5.65	-1139.25	8.59	581.12
-44	2.59	1.20	XX	16	SLE Q	5.65	5.65	-1139.25	8.59	581.12
-43	2.14	1.20	YY	14	SLE R	5.65	5.65	-3091.91	23.31	1577.13
-43	2.14	1.20	YY	16	SLE Q	5.65	5.65	-3091.91	23.31	1577.13

Stato limite d'esercizio - Verifiche a fessurazione

Nodo	X	Y	DV	CC	TCC	c	s	K ₂	Φ _{eq}	Δ _{sm}	A _s	A _{c eff}	σ _s	ε _{sm}	W _k
	<m>	<m>				<mm>	<mm>			<mm>	<cmq>	<cmq>	<daN/cm²>		<mm>
-44	2.59	1.20	XX	16	SLE Q	24.00	200.00	0.50	12.00	249.65	6.79	842.71	581.12	0.17	0.07
-44	2.59	1.20	XX	15	SLE F	24.00	200.00	0.50	12.00	249.65	6.79	842.71	581.12	0.17	0.07
-43	2.14	1.20	YY	16	SLE Q	24.00	200.00	0.50	12.00	249.65	6.79	842.71	1577.13	0.46	0.19
-43	2.14	1.20	YY	15	SLE F	24.00	200.00	0.50	12.00	249.65	6.79	842.71	1577.13	0.46	0.19

Verifiche e armature pareti

Simbologia

CC = Numero della combinazione delle condizioni di carico elementari
Zona = Zona di verifica
Zv = Coordinata Z di verifica
Xi = Coordinata X iniziale
Xf = Coordinata X finale
Xv = Coordinata X di verifica
Zi = Coordinata Z iniziale
Zf = Coordinata Z finale
TCC = Tipo di combinazione di carico
SLU = Stato limite ultimo
SLU S = Stato limite ultimo (azione sismica)
SLE R = Stato limite d'esercizio, combinazione rara
SLE F = Stato limite d'esercizio, combinazione frequente
SLE Q = Stato limite d'esercizio, combinazione quasi permanente
SLD = Stato limite di danno
SLV = Stato limite di salvaguardia della vita
SLC = Stato limite di prevenzione del collasso
SLO = Stato limite di operatività
SLU I = Stato limite di resistenza al fuoco
SND = Stato limite di salvaguardia della vita (non dissipativo)
N = Sforzo normale
My = Momento flettente intorno all'asse Y
Nu = Sforzo normale ultimo
M'ydy = Momento resistente massimo in campo sostanzialmente elastico intorno all'asse Y
MRdy = Momento resistente allo stato limite ultimo intorno all'asse Y
Sic. = Sicurezza a rottura
σ_c = Tensione nel calcestruzzo
σ_f = Tensione nel ferro
c = Ricoprimento dell'armatura
s = Distanza massima tra le barre
K₂ = Coefficiente per distribuzione deformazioni
Φ_{eq} = Diametro equivalente delle barre
Δ_{sm} = Distanza media tra le fessure
A_s = Area complessiva dei ferri nell'area di calcestruzzo efficace
A_{c eff} = Area di calcestruzzo efficace
σ_s = Tensione nell'acciaio nella sezione fessurata
ε_{sm} = Deformazione unitaria media dell'armatura (*1000)
W_k = Ampiezza caratteristica delle fessure
Ty = Taglio in dir. Y
Tz = Taglio in dir. Z
Vsdu = Taglio agente nella direzione del momento ultimo
VRsd = Taglio ultimo lato armatura
VRcd = Taglio ultimo lato calcestruzzo
Vrdu = Taglio ultimo assorbibile dal solo calcestruzzo
Sic.T = Sicurezza a rottura per taglio
Sez. = Sezione di verifica
Spess. = Spessore
Cf = Copriferro
Cls = Tipo di calcestruzzo
Fck = Resistenza caratteristica cilindrica a compressione del calcestruzzo

Relazione di calcolo

Fctk =Resistenza caratteristica a trazione del calcestruzzo
Fcd =Resistenza di calcolo a compressione del calcestruzzo
Fctd =Resistenza di calcolo a trazione del calcestruzzo
Tp =Tipo di acciaio
Fyk =Tensione caratteristica di snervamento dell'acciaio
Fyd =Resistenza di calcolo dell'acciaio

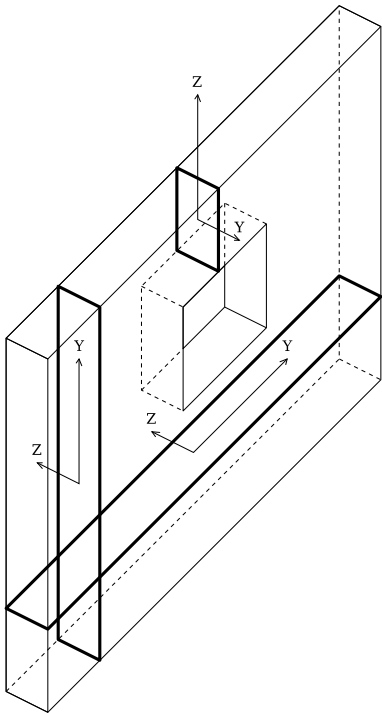


Figura numero 4: Riferimenti sezione

Parete n. 7

Caratteristiche delle sezioni e dei materiali utilizzati										
Sez.	Spess.	Cf	Cls	Fck	Fctk	Fcd	Fctd	Tp	Fyk	Fyd
	<cm>	<cm>		<daN/cm²>	<daN/cm²>	<daN/cm²>	<daN/cm²>		<daN/cm²>	<daN/cm²>
Oriz.	20.00	4.30	C32/40	332.00	21.69	188.13	14.46	B450C	4500.00	3913.04
Vert.	20.00	3.10	C32/40	332.00	21.69	188.13	14.46	B450C	4500.00	3913.04

Verifiche su sezioni orizzontali										
Stato limite ultimo - Verifiche a flessione/pressoflessione										
CC	TCC	Zona	Zv	Xi	Xf	N	My	Nu	MRdy	Sic.
			<m>	<m>	<m>	<daN>	<daNm>	<daN>	<daNm>	
13	SLU	Diff.	0.00	0.00	2.40	-9620.70	518.26	-9620.70	10477.30	20.216
13	SLU	Diff.	1.31	0.00	2.40	-6669.11	92.36	-6669.11	10287.10	>100
13	SLU	Diff.	2.62	0.00	2.40	-5486.76	-329.23	-5486.76	-10210.50	31.014
13	SLU	Diff.	3.92	0.00	2.40	-4445.76	-176.48	-4445.76	-10143.30	57.477
13	SLU	Diff.	5.23	0.00	2.40	-2982.97	944.60	-2982.97	10049.00	10.638

Stato limite elastico - Verifiche a flessione/pressoflessione										
CC	TCC	Zona	Zv	Xi	Xf	N	My	Nu	M'ydy	Sic.
			<m>	<m>	<m>	<daN>	<daNm>	<daN>	<daNm>	
1	SND	Diff.	0.00	0.00	2.40	-213.57	740.07	-213.57	8229.94	11.121
1	SND	Diff.	1.31	0.00	2.40	-10070.10	38.05	-903040.00	8965.11	89.676
1	SND	Diff.	2.62	0.00	2.40	-1239.50	-232.66	-1239.50	-8308.39	35.710
1	SND	Diff.	3.92	0.00	2.40	-2037.04	-147.93	-2037.04	-8368.16	56.569
1	SND	Diff.	5.23	0.00	2.40	-2034.16	694.40	-2034.16	8368.16	12.051

Stato limite d'esercizio - Verifiche tensionali										
CC	TCC	Zona	Zv	Xi	Xf	N	My	σ _c	σ _t	
			<m>	<m>	<m>	<daN>	<daNm>	<daN/cm²>	<daN/cm²>	
14	SLE	R	Diff.	0.00	0.00	2.40	-7182.83	434.19	4.37	43.67
16	SLE	Q	Diff.	0.00	0.00	2.40	-7182.83	434.19	4.37	43.67
14	SLE	R	Diff.	1.31	0.00	2.40	-5033.46	57.22	1.29	17.21
16	SLE	Q	Diff.	1.31	0.00	2.40	-5033.46	57.22	1.29	17.21
14	SLE	R	Diff.	2.62	0.00	2.40	-4105.24	-222.62	2.23	23.35
16	SLE	Q	Diff.	2.62	0.00	2.40	-4105.24	-222.62	2.23	23.35
14	SLE	R	Diff.	3.92	0.00	2.40	-3266.30	-119.43	1.31	15.22
16	SLE	Q	Diff.	3.92	0.00	2.40	-3266.30	-119.43	1.31	15.22
14	SLE	R	Diff.	5.23	0.00	2.40	-2100.11	657.02	8.27	240.97
16	SLE	Q	Diff.	5.23	0.00	2.40	-2100.11	657.02	8.27	240.97

Stato limite d'esercizio - Verifiche a fessurazione																		
CC	TCC	Zona	Zv <m>	Xi <m>	Xf <m>	N <daN>	My <daNm>	c <mm>	s <mm>	K ₂	Φ _{eq}	Δ _{sm} <mm>	A _s <cmq>	A _{c eff} <cmq>	σ _s <daN/cmq>	ε _{sm}	W _k <mm>	
16	SLE	Q	Diff.	5.23	0.00	2.40	-2100.11	657.02	37.00	192.83	0.50	12.00	169.76	14.70	1173.32	240.97	0.07	0.02
15	SLE	F	Diff.	5.23	0.00	2.40	-2100.11	657.02	37.00	192.83	0.50	12.00	169.76	14.70	1173.32	240.97	0.07	0.02

Stato limite ultimo - Armatura a taglio												
CC	Zona	Zv	Xi	Xf	TCC	Ty	Tz	Vsdu	VRsd	VRcd	Vrdu	Sic.T

Relazione di calcolo

		<m>	<m>	<m>		<daN>	<daN>	<daN>	<daN>	<daN>	<daN>	
13	Diff.	0.00	0.00	2.40	SLU	0.00	-2756.12	2756.12			22625.60	8.21
13	Diff.	1.31	0.00	2.40	SLU	0.00	-764.17	764.17			22278.10	29.15
1	Diff.	2.62	0.00	2.40	SND	0.00	-76.88	76.88			21638.80	>100
13	Diff.	3.92	0.00	2.40	SLU	0.00	332.70	332.70			22016.30	66.17
13	Diff.	5.23	0.00	2.40	SLU	0.00	-1519.14	1519.14			21844.00	14.38

Verifiche su sezioni verticali

Stato limite ultimo - Verifiche a flessione/presoflessione

CC	TCC	Xv <m>	Zi <m>	Zf <m>	N <daN>	My <daNm>	Nu <daN>	MRdy <daNm>	Sic.
13	SLU	2.40	0.00	0.65	1595.51	-469.20	1595.51	-2818.37	6.007
13	SLU	2.40	0.65	1.96	5455.71	-1963.60	5455.71	-4129.19	2.103
13	SLU	0.00	1.96	3.27	2909.97	-1285.42	2909.97	-5000.06	3.890
13	SLU	0.00	3.27	4.58	659.41	-457.58	659.41	-4507.25	9.850
13	SLU	2.40	4.58	5.23	-70.69	-123.66	-70.69	-2962.58	23.957

Stato limite elastico - Verifiche a flessione/presoflessione

CC	TCC	Xv <m>	Zi <m>	Zf <m>	N <daN>	My <daNm>	Nu <daN>	M'ydy <daNm>	Sic.
1	SND	2.40	0.00	0.65	1354.84	-366.90	1354.84	-2592.03	7.065
1	SND	0.00	0.65	1.96	3942.14	-1405.78	3942.14	-3788.96	2.695
7	SND	0.00	1.96	3.27	2123.49	-965.24	2123.49	-4582.78	4.748
7	SND	0.00	3.27	4.58	677.20	-422.96	677.20	-4047.35	9.569
7	SND	2.40	4.58	5.23	6.57	-109.62	6.57	-2694.93	24.584

Stato limite d'esercizio - Verifiche tensionali

CC	TCC	Xv <m>	Zi <m>	Zf <m>	N <daN>	My <daNm>	σ _c <daN/cmq>	σ _t <daN/cmq>
14	SLE R	2.40	0.00	0.65	1112.51	-323.38	11.74	600.20
16	SLE Q	2.40	0.00	0.65	1112.51	-323.38	11.74	600.20
14	SLE R	2.40	0.65	1.96	3691.42	-1326.26	28.94	1569.04
16	SLE Q	2.40	0.65	1.96	3691.42	-1326.26	28.94	1569.04
14	SLE R	0.00	1.96	3.27	1947.18	-862.42	16.86	841.53
16	SLE Q	0.00	1.96	3.27	1947.18	-862.42	16.86	841.53
14	SLE R	0.00	3.27	4.58	452.69	-311.63	6.84	336.33
16	SLE Q	0.00	3.27	4.58	452.69	-311.63	6.84	336.33
14	SLE R	2.40	4.58	5.23	-42.19	-86.11	3.25	121.34
16	SLE Q	2.40	4.58	5.23	-42.19	-86.11	3.25	121.34

Stato limite d'esercizio - Verifiche a fessurazione

CC	TCC	Xv <m>	Zi <m>	Zf <m>	N <daN>	My <daNm>	c <mm>	s <mm>	K ₂	Φ _{eq}	Δ _{sm} <mm>	A _s <cmq>	A _{c eff} <cmq>	σ _s <daN/cmq>	ε _{sm}	W _k <mm>
16	SLE Q	2.40	0.00	0.65	1112.51	-323.38	25.00	198.77	0.50	12.00	143.11	4.52	351.02	600.20	0.17	0.04
15	SLE F	2.40	0.00	0.65	1112.51	-323.38	25.00	198.77	0.50	12.00	143.11	4.52	351.02	600.20	0.17	0.04
16	SLE Q	2.40	0.65	1.96	3691.42	-1326.26	25.00	198.77	0.50	12.00	174.35	6.79	703.21	1569.04	0.46	0.14
15	SLE F	2.40	0.65	1.96	3691.42	-1326.26	25.00	198.77	0.50	12.00	174.35	6.79	703.21	1569.04	0.46	0.14
16	SLE Q	0.00	1.96	3.27	1947.18	-862.42	25.00	198.77	0.50	12.00	156.33	7.92	701.50	841.53	0.25	0.07
15	SLE F	0.00	1.96	3.27	1947.18	-862.42	25.00	198.77	0.50	12.00	156.33	7.92	701.50	841.53	0.25	0.07
16	SLE Q	0.00	3.27	4.58	452.69	-311.63	25.00	198.77	0.50	12.00	172.25	6.79	691.31	336.33	0.10	0.03
15	SLE F	0.00	3.27	4.58	452.69	-311.63	25.00	198.77	0.50	12.00	172.25	6.79	691.31	336.33	0.10	0.03
16	SLE Q	2.40	4.58	5.23	-42.19	-86.11	22.72	198.77	0.50	12.00	132.77	4.52	329.21	121.34	0.04	0.01
15	SLE F	2.40	4.58	5.23	-42.19	-86.11	22.72	198.77	0.50	12.00	132.77	4.52	329.21	121.34	0.04	0.01

Stato limite ultimo - Armatura a taglio

CC	Xv <m>	Zi <m>	Zf <m>	TCC	Tz <daN>	Vsdu <daN>	Vrdu <daN>	Sic.T
13	2.40	0.00	0.65	SLU	-1789.99	-1789.99	6328.34	3.54
13	2.40	0.65	1.96	SLU	-4594.60	-4594.60	12604.10	2.74
13	0.00	1.96	3.27	SLU	1861.94	1861.94	12604.10	6.77
1	0.00	3.27	4.58	SND	461.58	461.58	12604.10	27.31
13	2.40	4.58	5.23	SLU	-332.82	-332.82	6337.30	19.04

Parete n. 8

Caratteristiche delle sezioni e dei materiali utilizzati

Sez.	Spess. <cm>	Cf <cm>	Cls	Fck <daN/cmq>	Fctk <daN/cmq>	Fcd <daN/cmq>	Fctd <daN/cmq>	TP	Fyk <daN/cmq>	Fyd <daN/cmq>
Oriz.	20.00	4.30	C32/40	332.00	21.69	188.13	14.46	B450C	4500.00	3913.04
Vert.	20.00	3.10	C32/40	332.00	21.69	188.13	14.46	B450C	4500.00	3913.04

Verifiche su sezioni orizzontali

Stato limite ultimo - Verifiche a flessione/presoflessione

CC	TCC	Zona	Zv <m>	Xi <m>	Xf <m>	N <daN>	My <daNm>	Nu <daN>	MRdy <daNm>	Sic.
13	SLU	Diff.	0.00	0.00	4.38	-21417.30	-4782.02	-21417.30	-18961.70	3.965
13	SLU	Diff.	1.31	0.00	4.38	-18398.40	2393.70	-18398.40	18766.30	7.840
13	SLU	Diff.	2.62	0.00	4.38	-13656.80	854.31	-13656.80	18459.40	21.607
13	SLU	Diff.	3.92	0.00	4.38	-9645.91	-177.76	-9645.91	-18199.60	>100
13	SLU	Diff.	5.23	0.00	4.38	-5199.59	22.95	-1851620.00	17910.80	>100

Stato limite elastico - Verifiche a flessione/presoflessione

CC	TCC	Zona	Zv <m>	Xi <m>	Xf <m>	N <daN>	My <daNm>	Nu <daN>	M'ydy <daNm>	Sic.
7	SND	Diff.	0.00	0.00	4.38	-5423.45	-3194.34	-5423.45	-14975.40	4.688
7	SND	Diff.	1.31	0.00	4.38	-6030.26	1635.28	-6030.26	15021.70	9.186
7	SND	Diff.	2.62	0.00	4.38	-5858.15	649.02	-5858.15	15008.50	23.125
7	SND	Diff.	3.92	0.00	4.38	-5346.01	-207.00	-5346.01	-14969.30	72.317
7	SND	Diff.	5.23	0.00	4.38	-3627.90	184.34	-3627.90	14838.20	80.492

Stato limite d'esercizio - Verifiche tensionali

CC	TCC	Zona	Zv <m>	Xi <m>	Xf <m>	N <daN>	My <daNm>	σ _c <daN/cmq>	σ _t <daN/cmq>
14	SLE R	Diff.	0.00	0.00	4.38	-16262.40	-3049.97	20.71	504.93
16	SLE Q	Diff.	0.00	0.00	4.38	-16262.40	-3049.97	20.71	504.93
14	SLE R	Diff.	1.31	0.00	4.38	-13818.70	1608.35	10.29	173.59
16	SLE Q	Diff.	1.31	0.00	4.38	-13818.70	1608.35	10.29	173.59
14	SLE R	Diff.	2.62	0.00	4.38	-10188.20	567.08	3.12	32.35
16	SLE Q	Diff.	2.62	0.00	4.38	-10188.20	567.08	3.12	32.35

Relazione di calcolo

14	SLE	R	Diff.	3.92	0.00	4.38	-7137.31	-115.08	1.11	14.32
16	SLE	Q	Diff.	3.92	0.00	4.38	-7137.31	-115.08	1.11	14.32
14	SLE	R	Diff.	5.23	0.00	4.38	-3755.59	62.03	0.59	7.58
16	SLE	Q	Diff.	5.23	0.00	4.38	-3755.59	62.03	0.59	7.58

Stato limite d'esercizio - Verifiche a fessurazione

CC	TCC	Zona	Zv <m>	Xi <m>	Xf <m>	N <daN>	My <daNm>	c <mm>	s <mm>	K ₂	Φ _{eq}	Δ _{sm} <mm>	A _s <cmq>	A _{c eff} <cmq>	σ _s <daN/cm q>	ε _{sm}	Wk <mm>
16	SLE Q	Diff.	0.00	0.00	4.38	-16262.40	-3049.97	37.00	195.18	0.50	12.00	168.43	26.01	2046.87	504.93	0.15	0.04
15	SLE F	Diff.	0.00	0.00	4.38	-16262.40	-3049.97	37.00	195.18	0.50	12.00	168.43	26.01	2046.87	504.93	0.15	0.04

Stato limite ultimo - Armatura a taglio

CC	Zona	Zv <m>	Xi <m>	Xf <m>	TCC	Ty <daN>	Tz <daN>	Vsdu <daN>	VRsd <daN>	VRcd <daN>	Vrdu <daN>	Sic.T
13	Diff.	0.00	0.00	4.38	SLU	0.00	-14581.10	14581.10			41746.30	2.86
7	Diff.	1.31	0.00	4.38	SND	0.00	204.73	204.73			39934.40	>100
13	Diff.	2.62	0.00	4.38	SLU	0.00	-1570.72	1570.72			40832.40	26.00
13	Diff.	3.92	0.00	4.38	SLU	0.00	-259.32	259.32			40360.20	>100
7	Diff.	5.23	0.00	4.38	SND	0.00	-561.71	561.71			39651.60	70.59

Verifiche su sezioni verticali

Stato limite ultimo - Verifiche a flessione/pressoflessione

CC	TCC	Xv <m>	Zi <m>	Zf <m>	N <daN>	My <daNm>	Nu <daN>	MRdy <daNm>	Sic.
13	SLU	0.00	0.00	0.65	1815.16	-426.43	1815.16	-2801.53	6.570
13	SLU	4.38	0.65	1.96	4653.09	-2029.87	4653.09	-4192.59	2.065
13	SLU	4.38	1.96	3.27	1786.50	-1371.71	1786.50	-5086.89	3.708
13	SLU	4.38	3.27	4.58	442.76	-462.32	442.76	-4524.08	9.786
13	SLU	0.00	4.58	5.23	428.12	-69.79	428.12	-2907.24	41.658

Stato limite elastico - Verifiche a flessione/pressoflessione

CC	TCC	Xv <m>	Zi <m>	Zf <m>	N <daN>	My <daNm>	Nu <daN>	M'ydy <daNm>	Sic.
1	SND	4.38	0.00	0.65	1447.81	-339.40	1447.81	-2584.81	7.616
1	SND	4.38	0.65	1.96	3431.22	-1449.45	3431.22	-3830.20	2.643
7	SND	4.38	1.96	3.27	1360.89	-1021.70	1360.89	-4642.47	4.544
7	SND	4.38	3.27	4.58	555.25	-413.54	555.25	-4057.38	9.811
7	SND	0.00	4.58	5.23	465.74	-73.31	465.74	-2660.30	36.287

Stato limite d'esercizio - Verifiche tensionali

C	TCC	Xv <m>	Zi <m>	Zf <m>	N <daN>	My <daNm>	σ _c <daN/cmq>	σ _t <daN/cmq>	
14	SLE	R	4.38	0.00	0.65	1236.10	-294.69	10.57	572.77
14	SLE	R	0.00	0.00	0.65	1259.24	-294.39	10.54	575.02
16	SLE	Q	4.38	0.00	0.65	1236.10	-294.69	10.57	572.77
14	SLE	R	4.38	0.65	1.96	3145.39	-1371.45	30.01	1569.91
16	SLE	Q	4.38	0.65	1.96	3145.39	-1371.45	30.01	1569.91
14	SLE	R	4.38	1.96	3.27	1196.40	-920.46	18.17	840.64
16	SLE	Q	4.38	1.96	3.27	1196.40	-920.46	18.17	840.64
14	SLE	R	4.38	3.27	4.58	309.76	-315.63	6.94	329.15
16	SLE	Q	4.38	3.27	4.58	309.76	-315.63	6.94	329.15
14	SLE	R	0.00	4.58	5.23	297.39	-49.65	1.72	106.93
16	SLE	Q	0.00	4.58	5.23	297.39	-49.65	1.72	106.93

Stato limite d'esercizio - Verifiche a fessurazione

CC	TCC	Xv <m>	Zi <m>	Zf <m>	N <daN>	My <daNm>	c <mm>	s <mm>	K ₂	Φ _{eq}	Δ _{sm} <mm>	A _s <cmq>	A _{c eff} <cmq>	σ _s <daN/cmqr>	ε _{sm}	Wk <mm>	
16	SLE	Q	0.00	0.00	0.65	1259.24	-294.39	25.00	198.77	0.50	12.00	144.19	4.52	355.09	575.02	0.17	0.04
15	SLE	F	0.00	0.00	0.65	1259.24	-294.39	25.00	198.77	0.50	12.00	144.19	4.52	355.09	575.02	0.17	0.04
16	SLE	Q	4.38	0.65	1.96	3145.39	-1371.45	25.00	198.77	0.50	12.00	173.60	6.79	698.95	1569.91	0.46	0.13
15	SLE	F	4.38	0.65	1.96	3145.39	-1371.45	25.00	198.77	0.50	12.00	173.60	6.79	698.95	1569.91	0.46	0.13
16	SLE	Q	4.38	1.96	3.27	1196.40	-920.46	25.00	198.77	0.50	12.00	154.78	7.92	691.30	840.64	0.24	0.06
15	SLE	F	4.38	1.96	3.27	1196.40	-920.46	25.00	198.77	0.50	12.00	154.78	7.92	691.30	840.64	0.24	0.06
16	SLE	Q	4.38	3.27	4.58	309.76	-315.63	25.00	198.77	0.50	12.00	171.46	6.79	686.83	329.15	0.10	0.03
15	SLE	F	4.38	3.27	4.58	309.76	-315.63	25.00	198.77	0.50	12.00	171.46	6.79	686.83	329.15	0.10	0.03
16	SLE	Q	0.00	4.58	5.23	297.39	-49.65	22.72	198.77	0.50	12.00	141.72	4.52	362.96	106.93	0.03	0.01
15	SLE	F	0.00	4.58	5.23	297.39	-49.65	22.72	198.77	0.50	12.00	141.72	4.52	362.96	106.93	0.03	0.01

Stato limite ultimo - Armatura a taglio

CC	Xv <m>	Zi <m>	Zf <m>	TCC	Tz <daN>	Tz <daN>	Vsdu <daN>	Vrdu <daN>	Sic.T
13	4.38	0.00	0.65	SLU	-1520.96	-1520.96	1520.96	6328.34	4.16
13	0.00	0.65	1.96	SLU	4868.79	4868.79	4868.79	12604.10	2.59
13	0.00	1.96	3.27	SLU	2632.86	2632.86	2632.86	12604.10	4.79
13	4.38	3.27	4.58	SLU	-606.64	-606.64	606.64	12604.10	20.78
13	0.88	4.58	5.23	SLU	124.66	124.66	124.66	6328.35	50.76

Parete n. 9

Caratteristiche delle sezioni e dei materiali utilizzati

Sez.	Spess. <cm>	Cf <cm>	Cls	Fck <daN/cmq>	Fctk <daN/cmq>	Fcd <daN/cmq>	Fctd <daN/cmq>	TP	Fyk <daN/cmq>	Fyd <daN/cmq>
Oriz.	20.00	4.30	C32/40	332.00	21.69	188.13	14.46	B450C	4500.00	3913.04
Vert.	20.00	3.10	C32/40	332.00	21.69	188.13	14.46	B450C	4500.00	3913.04

Verifiche su sezioni orizzontali

Stato limite ultimo - Verifiche a flessione/pressoflessione

CC	TCC	Zona	Zv <m>	Xi <m>	Xf <m>	N <daN>	My <daNm>	Nu <daN>	MRdy <daNm>	Sic.
13	SLU	Diff.	0.00	0.00	2.40	-10311.90	548.13	-10311.90	10522.00	19.196
13	SLU	Diff.	1.31	0.00	2.40	-7272.03	90.82	-7272.03	10326.00	>100
13	SLU	Diff.	2.62	0.00	2.40	-6030.78	-331.17	-6030.78	-10245.80	30.939
13	SLU	Diff.	3.92	0.00	2.40	-4903.34	-177.91	-4903.34	-10173.20	57.181
13	SLU	Diff.	5.23	0.00	2.40	-3406.22	996.94	-3406.22	10076.30	10.107

Stato limite elastico - Verifiche a flessione/pressoflessione

CC	TCC	Zona	Zv <m>	Xi <m>	Xf <m>	N <daN>	My <daNm>	Nu <daN>	M'ydy <daNm>	Sic.
----	-----	------	-----------	-----------	-----------	------------	--------------	-------------	-----------------	------

Relazione di calcolo

1	SND	Diff.	0.00	0.00	2.40	-631.46	756.05	-631.46	8261.63	10.927
1	SND	Diff.	1.31	0.00	2.40	-10538.70	37.17	-903040.00	9000.33	85.688
1	SND	Diff.	2.62	0.00	2.40	-1571.15	-234.04	-1571.15	-8333.30	35.606
1	SND	Diff.	3.92	0.00	2.40	-2295.02	-148.59	-2295.02	-8387.21	56.445
1	SND	Diff.	5.23	0.00	2.40	-2318.61	732.49	-2318.61	8389.18	11.453

Stato limite d'esercizio - Verifiche tensionali

CC	TCC	Zona	Zv <m>	Xi <m>	Xf <m>	N <daN>	My <daNm>	σ_s <daN/cmq>	σ_f <daN/cmq>	
14	SLE	R	Diff.	0.00	0.00	2.40	-7679.10	455.50	4.58	46.14
16	SLE	Q	Diff.	0.00	0.00	2.40	-7679.10	455.50	4.58	46.14
14	SLE	R	Diff.	1.31	0.00	2.40	-5463.42	56.16	1.36	18.39
16	SLE	Q	Diff.	1.31	0.00	2.40	-5463.42	56.16	1.36	18.39
14	SLE	R	Diff.	2.62	0.00	2.40	-4493.99	-223.99	2.26	24.34
16	SLE	Q	Diff.	2.62	0.00	2.40	-4493.99	-223.99	2.26	24.34
14	SLE	R	Diff.	3.92	0.00	2.40	-3594.13	-120.53	1.38	16.20
16	SLE	Q	Diff.	3.92	0.00	2.40	-3594.13	-120.53	1.38	16.20
14	SLE	R	Diff.	5.23	0.00	2.40	-2401.97	693.85	8.70	248.09
16	SLE	Q	Diff.	5.23	0.00	2.40	-2401.97	693.85	8.70	248.09

Stato limite d'esercizio - Verifiche a fessurazione

CC	TCC	Zona	Zv <m>	Xi <m>	Xf <m>	N <daN>	My <daNm>	c <mm>	s <mm>	K ₂	Φ _{eq}	Δ _{sm} <mm>	A _s <cmq>	A _{c eff} <cmq>	σ _s <daN/cmq>	ε _{sm}	Wk <mm>
16	SLE Q	Diff.	5.23	0.00	2.40	-2401.97	693.85	37.00	192.83	0.50	12.00	169.24	14.70	1166.91	248.09	0.07	0.02
15	SLE F	Diff.	5.23	0.00	2.40	-2401.97	693.85	37.00	192.83	0.50	12.00	169.24	14.70	1166.91	248.09	0.07	0.02

Stato limite ultimo - Armatura a taglio

CC	Zona	Zv <m>	Xi <m>	Xf <m>	TCC	Ty <daN>	Tz <daN>	Vsdu <daN>	VRsd <daN>	VRcd <daN>	Vrdu <daN>	Sic.T
13	Diff.	0.00	0.00	2.40	SLU	0.00	-2672.13	2672.13			22707.00	8.50
13	Diff.	1.31	0.00	2.40	SLU	0.00	-768.32	768.32			22349.10	29.09
1	Diff.	2.62	0.00	2.40	SND	0.00	-83.82	83.82			21677.80	>100
13	Diff.	3.92	0.00	2.40	SLU	0.00	341.39	341.39			22070.10	64.65
13	Diff.	5.23	0.00	2.40	SLU	0.00	-1614.93	1614.93			21893.90	13.56

Verifiche su sezioni verticali

Stato limite ultimo - Verifiche a flessione/pressoflessione

CC	TCC	Xv <m>	Zi <m>	Zf <m>	N <daN>	My <daNm>	Nu <daN>	MRdy <daNm>	Sic.
13	SLU	0.00	0.00	0.65	1614.66	-472.15	1614.66	-2817.40	5.967
13	SLU	2.40	0.65	1.96	5477.63	-1966.78	5477.63	-4127.52	2.099
13	SLU	2.40	1.96	3.27	2906.50	-1284.77	2906.50	-5000.62	3.892
13	SLU	2.40	3.27	4.58	661.64	-460.41	661.64	-4507.28	9.790
13	SLU	2.40	4.58	5.23	-70.73	-127.64	-70.73	-2962.60	23.211

Stato limite elastico - Verifiche a flessione/pressoflessione

C	TCC	Xv <m>	Zi <m>	Zf <m>	N <daN>	My <daNm>	Nu <daN>	M'ydy <daNm>	Sic.
1	SND	0.00	0.00	0.65	1363.92	-368.44	1363.92	-2591.31	7.033
1	SND	2.40	0.65	1.96	3960.90	-1406.43	3960.90	-3787.64	2.693
7	SND	2.40	1.96	3.27	2121.78	-959.60	2121.78	-4583.51	4.776
7	SND	2.40	3.27	4.58	645.04	-408.50	645.04	-4050.24	9.915
7	SND	0.00	4.58	5.23	16.86	-113.67	16.86	-2694.17	23.701

Stato limite d'esercizio - Verifiche tensionali

C	TCC	Xv <m>	Zi <m>	Zf <m>	N <daN>	My <daNm>	σ_c <daN/cmq>	σ_f <daN/cmq>
14	SLE R	0.00	0.00	0.65	1125.67	-325.50	11.82	604.82
16	SLE Q	0.00	0.00	0.65	1125.67	-325.50	11.82	604.82
14	SLE R	2.40	0.65	1.96	3706.78	-1328.46	28.99	1572.37
16	SLE Q	2.40	0.65	1.96	3706.78	-1328.46	28.99	1572.37
14	SLE R	2.40	1.96	3.27	1944.72	-862.05	16.85	841.07
16	SLE Q	2.40	1.96	3.27	1944.72	-862.05	16.85	841.07
14	SLE R	2.40	3.27	4.58	456.18	-314.08	6.90	338.98
16	SLE Q	2.40	3.27	4.58	456.18	-314.08	6.90	338.98
14	SLE R	2.40	4.58	5.23	-41.34	-88.94	3.36	125.59
16	SLE Q	2.40	4.58	5.23	-41.34	-88.94	3.36	125.59

Stato limite d'esercizio - Verifiche a fessurazione

	TCC	Xv <m>	Zi <m>	Zf <m>	N <daN>	My <daNm>	c <mm>	s <mm>	K ₂	Φ _{eq}	Δ _{sm} <mm>	A _s <cm ² >	A _{c eff} <cm ² >	σ _s <daN/cmq>	ε _{sm}	Wk <mm>
16	SLE Q	0.00	0.00	0.65	1125.67	-325.50	25.00	198.77	0.50	12.00	143.13	4.52	351.11	604.82	0.18	0.04
15	SLE F	0.00	0.00	0.65	1125.67	-325.50	25.00	198.77	0.50	12.00	143.13	4.52	351.11	604.82	0.18	0.04
16	SLE Q	2.40	0.65	1.96	3706.78	-1328.46	25.00	198.77	0.50	12.00	174.37	6.79	703.26	1572.37	0.46	0.14
15	SLE F	2.40	0.65	1.96	3706.78	-1328.46	25.00	198.77	0.50	12.00	174.37	6.79	703.26	1572.37	0.46	0.14
16	SLE Q	2.40	1.96	3.27	1944.72	-862.05	25.00	198.77	0.50	12.00	156.33	7.92	701.48	841.07	0.24	0.07
15	SLE F	2.40	1.96	3.27	1944.72	-862.05	25.00	198.77	0.50	12.00	156.33	7.92	701.48	841.07	0.24	0.07
16	SLE Q	2.40	3.27	4.58	456.18	-314.08	25.00	198.77	0.50	12.00	172.25	6.79	691.31	338.98	0.10	0.03
15	SLE F	2.40	3.27	4.58	456.18	-314.08	25.00	198.77	0.50	12.00	172.25	6.79	691.31	338.98	0.10	0.03
16	SLE Q	2.40	4.58	5.23	-41.34	-88.94	22.72	198.77	0.50	12.00	132.81	4.52	329.37	125.59	0.04	0.01
15	SLE F	2.40	4.58	5.23	-41.34	-88.94	22.72	198.77	0.50	12.00	132.81	4.52	329.37	125.59	0.04	0.01

Stato limite ultimo - Armatura a taglio

CC	Xv <m>	Zi <m>	Zf <m>	TCC	Tz <daN>	Tz <daN>	Vsdu <daN>	Vrdu <daN>	Sic.T
13	0.00	0.00	0.65	SLU	1800.27	1800.27	1800.27	6328.34	3.52
13	0.00	0.65	1.96	SLU	4601.62	4601.62	4601.62	12604.00	2.74
13	2.40	1.96	3.27	SLU	-1862.86	-1862.86	1862.86	12604.00	6.77
1	2.40	3.27	4.58	SND	-460.41	-460.41	460.41	12604.00	27.38
13	2.40	4.58	5.23	SLU	-340.99	-340.99	340.99	6337.30	18.59

Parete n. 10

Caratteristiche delle sezioni e dei materiali utilizzati

Sez.	Spess. <cm>	Cf <cm>	Cl _s	Fck <daN/cm ² >	Fctk <daN/cm ² >	Fcd <daN/cm ² >	Fctd <daN/cm ² >	TP	Fyk <daN/cm ² >	Fyd <daN/cm ² >
Oriz.	20.00	4.30	C32/40	332.00	21.69	188.13	14.46	B450C	4500.00	3913.04
Vert.	20.00	3.10	C32/40	332.00	21.69	188.13	14.46	B450C	4500.00	3913.04

Verifiche su sezioni orizzontali

Stato limite ultimo - Verifiche a flessione/pressoflessione

CC	TCC	Zona	Zv <m>	Xi <m>	Xf <m>	N <daN>	My <daNm>	Nu <daN>	MRdy <daNm>	Sic.
13	SLU	Diff.	0.00	0.00	4.38	-20866.30	-4790.47	-20866.30	-18925.90	3.951
13	SLU	Diff.	1.31	0.00	4.38	-17857.10	2392.61	-17857.10	18731.50	7.829
13	SLU	Diff.	2.62	0.00	4.38	-13114.80	854.92	-13114.80	18424.20	21.551
13	SLU	Diff.	3.92	0.00	4.38	-9059.61	-168.63	-9059.61	-18161.30	>100
13	SLU	Diff.	5.23	0.00	4.38	-4530.17	61.15	-4530.17	17867.20	>100

Stato limite elastico - Verifiche a flessione/pressoflessione

CC	TCC	Zona	Zv <m>	Xi <m>	Xf <m>	N <daN>	My <daNm>	Nu <daN>	M'ydy <daNm>	Sic.
7	SND	Diff.	0.00	0.00	4.38	-5025.21	-3197.54	-5025.21	-14945.00	4.674
7	SND	Diff.	1.31	0.00	4.38	-5614.31	1633.34	-5614.31	14989.80	9.177
7	SND	Diff.	2.62	0.00	4.38	-5399.72	647.70	-5399.72	14973.20	23.117
7	SND	Diff.	3.92	0.00	4.38	-4818.23	-199.49	-4818.23	-14929.00	74.836
7	SND	Diff.	5.23	0.00	4.38	-3126.25	200.80	-3126.25	14800.00	73.705

Stato limite d'esercizio - Verifiche tensionali

CC	TCC	Zona	Zv <m>	Xi <m>	Xf <m>	N <daN>	My <daNm>	σ_c <daN/cm²>	σ_t <daN/cm²>	
14	SLE	R	Diff.	0.00	0.00	4.38	-15869.40	-3055.86	20.79	513.88
16	SLE	Q	Diff.	0.00	0.00	4.38	-15869.40	-3055.86	20.79	513.88
14	SLE	R	Diff.	1.31	0.00	4.38	-13432.50	1607.67	10.34	179.78
16	SLE	Q	Diff.	1.31	0.00	4.38	-13432.50	1607.67	10.34	179.78
14	SLE	R	Diff.	2.62	0.00	4.38	-9801.00	567.57	3.13	31.88
16	SLE	Q	Diff.	2.62	0.00	4.38	-9801.00	567.57	3.13	31.88
14	SLE	R	Diff.	3.92	0.00	4.38	-6718.06	-109.04	1.05	13.50
16	SLE	Q	Diff.	3.92	0.00	4.38	-6718.06	-109.04	1.05	13.50
14	SLE	R	Diff.	5.23	0.00	4.38	-3276.67	85.44	0.61	7.45
16	SLE	Q	Diff.	5.23	0.00	4.38	-3276.67	85.44	0.61	7.45

Stato limite d'esercizio - Verifiche a fessurazione

CC	TCC	Zona	Zv <m>	Xi <m>	Xf <m>	N <daN>	My <daNm>	c <mm>	s <mm>	K ₂	Φ _{eq}	Δ _{sm} <mm>	A _s <cm ² >	A _{c eff} <cm ² >	σ _s <daN/cm ² >	ε _{sm}	Wk <mm>	
16	SLE	Q	Diff.	0.00	0.00	4.38	-15869.40	-3055.86	37.00	195.18	0.50	12.00	168.76	26.01	2054.19	513.88	0.15	0.04
15	SLE	F	Diff.	0.00	0.00	4.38	-15869.40	-3055.86	37.00	195.18	0.50	12.00	168.76	26.01	2054.19	513.88	0.15	0.04

Stato limite ultimo - Armatura a taglio

CC	Zona	Zv <m>	Xi <m>	Xf <m>	TCC	Ty <daN>	Tz <daN>	Vsdu <daN>	VRsd <daN>	VRcd <daN>	Vrdu <daN>	Sic.T
13	Diff.	0.00	0.00	4.38	SLU	0.00	-14590.70	14590.70			41681.40	2.86
7	Diff.	1.31	0.00	4.38	SND	0.00	202.53	202.53			39885.40	>100
13	Diff.	2.62	0.00	4.38	SLU	0.00	-1568.89	1568.89			40768.60	25.99
13	Diff.	3.92	0.00	4.38	SLU	0.00	-243.69	243.69			40291.10	>100
7	Diff.	5.23	0.00	4.38	SND	0.00	-586.75	586.75			39592.50	67.48

Verifiche su sezioni verticali

Stato limite ultimo - Verifiche a flessione/pressoflessione

CC	TCC	Xv <m>	Zi <m>	Zf <m>	N <daN>	My <daNm>	Nu <daN>	MRdy <daNm>	Sic.
13	SLU	4.38	0.00	0.65	1812.24	-425.86	1812.24	-2802.02	6.580
13	SLU	0.00	0.65	1.96	4650.71	-2030.07	4650.71	-4193.42	2.066
13	SLU	0.00	1.96	3.27	1787.13	-1374.19	1787.13	-5086.89	3.702
13	SLU	0.00	3.27	4.58	442.53	-465.28	442.53	-4524.08	9.723
13	SLU	4.38	4.58	5.23	392.48	-64.45	392.48	-2909.60	45.143

Stato limite elastico - Verifiche a flessione/pressoflessione

CC	TCC	Xv <m>	Zi <m>	Zf <m>	N <daN>	My <daNm>	Nu <daN>	M'ydy <daNm>	Sic.
1	SND	0.00	0.00	0.65	1447.38	-339.31	1447.38	-2584.81	7.618
1	SND	0.00	0.65	1.96	3430.62	-1450.21	3430.62	-3830.20	2.641
7	SND	0.00	1.96	3.27	1361.49	-1023.28	1361.49	-4642.47	4.537
7	SND	4.38	3.27	4.58	512.38	-429.52	512.38	-4060.26	9.453
7	SND	0.00	4.58	5.23	470.25	-68.27	470.25	-2659.54	38.955

Stato limite d'esercizio - Verifiche tensionali

CC	TCC	Xv <m>	Zi <m>	Zf <m>	N <daN>	My <daNm>	σ_c <daN/cmq>	σ_t <daN/cmq>
14	SLE R	0.00	0.00	0.65	1234.75	-294.42	10.56	572.21
14	SLE R	4.38	0.00	0.65	1257.16	-293.99	10.53	574.19
16	SLE Q	0.00	0.00	0.65	1234.75	-294.42	10.56	572.21
14	SLE R	0.00	0.65	1.96	3143.63	-1371.55	30.02	1569.86
16	SLE Q	0.00	0.65	1.96	3143.63	-1371.55	30.02	1569.86
14	SLE R	0.00	1.96	3.27	1196.74	-922.10	18.21	842.01
16	SLE Q	0.00	1.96	3.27	1196.74	-922.10	18.21	842.01
14	SLE R	0.00	3.27	4.58	309.68	-317.61	6.99	331.06
16	SLE Q	0.00	3.27	4.58	309.68	-317.61	6.99	331.06
14	SLE R	0.00	4.58	5.23	278.62	-46.05	1.59	99.51
16	SLE Q	0.00	4.58	5.23	278.62	-46.05	1.59	99.51

Stato limite d'esercizio - Verifiche a fessurazione

CC	TCC	Xv <m>	Zi <m>	Zf <m>	N <daN>	My <daNm>	c <mm>	s <mm>	K ₂	Φ _{eq}	Δ _{sm} <mm>	A _s <cm ² >	A _{c eff} <cm ² >	σ _s <daN/cm ² >	ε _{sm}	Wk <mm>
16	SLE Q	4.38	0.00	0.65	1257.16	-293.99	25.00	198.77	0.50	12.00	144.19	4.52	355.09	574.19	0.17	0.04
15	SLE F	4.38	0.00	0.65	1257.16	-293.99	25.00	198.77	0.50	12.00	144.19	4.52	355.09	574.19	0.17	0.04
16	SLE Q	0.00	0.65	1.96	3143.63	-1371.55	25.00	198.77	0.50	12.00	173.60	6.79	698.94	1569.86	0.46	0.13
15	SLE F	0.00	0.65	1.96	3143.63	-1371.55	25.00	198.77	0.50	12.00	173.60	6.79	698.94	1569.86	0.46	0.13
16	SLE Q	0.00	1.96	3.27	1196.74	-922.10	25.00	198.77	0.50	12.00	154.78	7.92	691.27	842.01	0.25	0.06
15	SLE F	0.00	1.96	3.27	1196.74	-922.10	25.00	198.77	0.50	12.00	154.78	7.92	691.27	842.01	0.25	0.06
16	SLE Q	0.00	3.27	4.58	309.68	-317.61	25.00	198.77	0.50	12.00	171.45	6.79	686.76	331.06	0.10	0.03
15	SLE F	0.00	3.27	4.58	309.68	-317.61	25.00	198.77	0.50	12.00	171.45	6.79	686.76	331.06	0.10	0.03
16	SLE Q	0.00	4.58	5.23	278.62	-46.05	22.72	198.77	0.50	12.00	141.79	4.52	363.23	99.51	0.03	0.01
15	SLE F	0.00	4.58	5.23	278.62	-46.05	22.72	198.77	0.50	12.00	141.79	4.52	363.23	99.51	0.03	0.01

Relazione di calcolo

Stato limite ultimo - Armatura a taglio									
CC	Xv	Zi	Zf	TCC	Tz	Tz	Vsdu	Vrdu	Sic.T
	<m>	<m>	<m>		<daN>	<daN>	<daN>	<daN>	
13	0.00	0.00	0.65	SLU	1519.48	1519.48	1519.48	6328.34	4.16
13	4.38	0.65	1.96	SLU	-4866.96	-4866.96	4866.96	12604.10	2.59
13	4.38	1.96	3.27	SLU	-2636.23	-2636.23	2636.23	12604.10	4.78
7	4.38	3.27	4.58	SND	-619.90	-619.90	619.90	12604.10	20.33
7	3.50	4.58	5.23	SND	-135.12	-135.12	135.12	6328.35	46.84

Criteri di analisi geotecnica e progetto delle fondazioni
Fondazioni superficiali

Generali	
Generali	
Condizioni di calcolo per terreni coesivi	Sia drenate che non drenate
Calcolo di a' dal rapporto con c'	1.00
Calcolo di a_u dal rapporto con c_u	1.00
Calcolo di σ'dal rapporto con φ'	1.00
Considera l'angolo di attrito in deformazione piana per fondazioni nastriformi	No
Calcolo dei parametri rappresentativi per terreni stratificati	Media pesata
-Calcola i valori medi dell'angolo di attrito secondo la sua tangente	No
Capacità portante in condizioni statiche	
Calcolo della capacità portante per rottura generale	Indicazioni EC7 (Allegato D)
-Combinazione dei fattori di forma e di inclinazione del carico	Considera solo i fattori di forma
-Considera il fattore di riduzione per platee	No
-Considera gli effetti dell'eccentricità del carico con un unico fattore riduttivo	No
Considera eccentricità e inclinazione dei carichi attraverso domini di interazione	No
-Parametro correttivo del momento	0.00
-Parametro correttivo del carico orizzontale	0.00
Calcolo della capacità portante per rottura locale	No
	Vesic (1975)
Calcolo della capacità portante per rottura per punzonamento	No
Calcolo della capacità portante per scorrimento	No
-Percentuale di carico orizzontale assorbito dai cordoli <%>	0.00
-Percentuale di spinta passiva mobilitata <%>	0.00
Calcolo della capacità portante per sollevamento	No
Capacità portante in condizioni sismiche	
Calcolo della capacità portante per rottura generale	No
Riduzione dell'angolo d'attrito per terreni incoerenti ben addensati	No
Calcolo della capacità portante per scorrimento	No
-Percentuale di carico orizzontale assorbito dai cordoli <%>	0.00
-Percentuale di spinta passiva mobilitata <%>	0.00
Cedimenti	
Cedimenti	Bowles
-Spessore del terreno responsabile del cedimento	
-Dal rapporto con le dimensioni della fondazione pari a	5.00
Considera pressioni di esercizio al netto delle tensioni litostatiche	No
Calcola costante di sottofondo per pressioni di esercizio	No
Limita costante di sottofondo ad un valore	No

Fondazioni profonde

Generali	
Generali	
Calcolo capacità portante per carichi verticali	Secondo formule statiche
Considera capacità portante	Entrambe
Condizioni di calcolo per terreni coesivi	Sia drenate che non drenate
Calcolo della profondità critica	No
Effettua calcolo elasto-plastico per cedimenti	Si
Effettua calcolo elasto-plastico per spostamenti orizzontali	Si
Rapporto di elasticità trazione/compressione pari a	1.00
Fattori di correlazione	1.70
Considera fattori di correlazione anche per carichi orizzontali	No
Considera peso del palo	No
Divisore del raggio del palo per lunghezza conci	1.00
Max numero conci palo	50.00
Attrito laterale limite da prove in sito	
Correlato con prove CPT	No
Correlato con prove SPT	No
Fattore di riduzione attrito laterale per pali trivellati	No
Pressione limite alla base da prove in sito	
Correlata con prove CPT	No
Correlata con prove SPT	No
Fattore di riduzione pressione limite alla base per pali trivellati	No
Spostamenti orizzontali	
Spostamenti orizzontali	Risposta elastica in funzione della stratigrafia

Specifici	1	2	3	4	5	6	7	8	9	10
Attrito laterale limite										
Calcolo dell'attrito laterale limite	Si	Si	Si	Si	Si	Si	Si	Si	Si	Si
-Condizioni non drenate										
-Calcolo di α										
-Pari a										
-A.G.I. (1984)	x	x	x	x	x	x	x	x	x	x
-A.P.I. (1984)										
-Viggiani (1999)										
-Olson e Dennis (1982)										
-Stas e Kulhavy (1984)										
-Skempton (1986)										
-Reese e O'Neill (1989)										
-Metodo di Bustamante e Doix (1985) per micropali	No	No	No	No	No	No	No	No	No	No
-Iniezioni ripetute	x	x	x	x	x	x	x	x	x	x
-Unica iniezione										

Relazione di calcolo

-Condizioni drenate											
-Calcolo di β											
-Pari a	0.25	0.25	0.25	0.25	0.25	0.25	0.25	0.25	0.25	0.25	0.25
-Reese e O'Neill (1989)											
-Calcolato											
-Calcolo di k											
-Pari a											
-Dal rapporto con k_0 pari a	0.00	0.00	0.00	0.00	0.00	0.00	0.00	0.00	0.00	0.00	0.00
-Fleming (1985)											
-Calcolo di δ											
-Pari a <grad>											
-Dal rapporto con ϕ' pari a	0.00	0.00	0.00	0.00	0.00	0.00	0.00	0.00	0.00	0.00	0.00
-Calcolo di a' dal rapporto con c'	1.00	1.00	1.00	1.00	1.00	1.00	1.00	1.00	1.00	1.00	1.00
Calcolo dell'attrito laterale limite per trazione											
-Considera i risultati del calcolo per l'attrito laterale limite percompressione con un fattore di riduzione pari a	0.66	0.66	0.66	0.66	0.66	0.66	0.66	0.66	0.66	0.66	0.66
-Sowa (1970)	No	No	No	No	No	No	No	No	No	No	No
-Bowles (1991)	No	No	No	No	No	No	No	No	No	No	No
Considera l'effetto dell'attrito negativo	No	No	No	No	No	No	No	No	No	No	No
-Coefficiente di Lambe											
Pressione limite alla base											
Calcolo della pressione limite alla base del palo	Si	Si	Si	Si	Si	Si	Si	Si	Si	Si	Si
-Terzaghi (1943)	x	x	x	x	x	x	x	x	x	x	x
-Meyerhof (1963)											
-Hansen (1970)											
-Vesic (1975)											
-Berezantzev (1961)											
-Berezantzev (1965)											
-Stagg e Zienkiewicz (1968)											
-Relazione generale, coefficienti di capacità portante											
-In condizioni drenate											
- N_q											
- N_c											
-In condizioni non drenate											
- N_c											
-Fattore di riduzione per terreni coesivi sovraconsolidati	No	No	No	No	No	No	No	No	No	No	No
Cedimenti											
Risposta elastica laterale											
-Calcolata dalla rigidezza dello strato	x	x	x	x	x	x	x	x	x	x	x
-Coefficiente di influenza	4.00	4.00	4.00	4.00	4.00	4.00	4.00	4.00	4.00	4.00	4.00
-Pari a <daN/mq>											
Risposta elastica alla base											
-Calcolata dalla rigidezza dello strato	x	x	x	x	x	x	x	x	x	x	x
-Pari a <daN/mq>											
Spostamenti orizzontali											
Risposta elastica											
-Vesic (1961)											
-Broms (1964)											
-Glick (1948)											
-Chen (1978)											
-Pari a <daN/mq>											
-Dal modulo elastico	x	x	x	x	x	x	x	x	x	x	x
-Coefficiente effetto tridimensionale	2.00	2.00	2.00	2.00	2.00	2.00	2.00	2.00	2.00	2.00	2.00
Resistenza limite											
-Calcolata dai parametri plastici	x	x	x	x	x	x	x	x	x	x	x
-Coefficiente effetto tridimensionale resistenza per attrito	3.00	3.00	3.00	3.00	3.00	3.00	3.00	3.00	3.00	3.00	3.00
-Coefficiente effetto tridimensionale resistenza per coesione	4.00	4.00	4.00	4.00	4.00	4.00	4.00	4.00	4.00	4.00	4.00
-Pari a <daN/mq>											

Caratterizzazione

	1	2	3	4	5	6	7	8	9	10
Specifici										
Informazioni preliminari										
Coefficiente di uniformità	No	No	No	No	No	No	No	No	No	No
-Pari a	0.00	0.00	0.00	0.00	0.00	0.00	0.00	0.00	0.00	0.00
Definizione della composizione granulometrica, per terreni incoerenti	No	No	No	No	No	No	No	No	No	No
-Sabbia fine uniforme	x	x	x	x	x	x	x	x	x	x
-Sabbia fine ben gradata - sabbia media uniforme										
-Sabbia media ben gradata - sabbia grossa uniforme										
-Sabbia e ghiaia - ghiaia media										
Definizione indici compressibilità edometrica, per terreni coesivi	No	No	No	No	No	No	No	No	No	No
-Indice di compressione (Cc)	0.00	0.00	0.00	0.00	0.00	0.00	0.00	0.00	0.00	0.00
-Indice di ricomprensione (Cr)	0.00	0.00	0.00	0.00	0.00	0.00	0.00	0.00	0.00	0.00
-Considera incremento preconsolidazione costante	No	No	No	No	No	No	No	No	No	No
-Pari a	0.00	0.00	0.00	0.00	0.00	0.00	0.00	0.00	0.00	0.00
Correggi NSPT se la misura è sottofalda	No	No	No	No	No	No	No	No	No	No
Densità relativa										
Correlata con prove SPT										
-Terzaghi e Peck (1948)	Si	Si	Si	Si	Si	Si	Si	Si	Si	Si
-Gibbs e Holtz (1957)	No	No	No	No	No	No	No	No	No	No
-Meyerhof (1957)	No	No	No	No	No	No	No	No	No	No
-Schultze e Menzenbach (1961)	No	No	No	No	No	No	No	No	No	No
-Bazaara (1967)	No	No	No	No	No	No	No	No	No	No
-Marcuson e Bieganousky (1977)	No	No	No	No	No	No	No	No	No	No
-Skempton (1986)	No	No	No	No	No	No	No	No	No	No
Correlata con prove CPT										
-Schmertmann (1976)	Si	Si	Si	Si	Si	Si	Si	Si	Si	Si
-Jamiołkowski et al. (1985)	No	No	No	No	No	No	No	No	No	No
-Baldi et al. (1986)	No	No	No	No	No	No	No	No	No	No
Elaborazione dei risultati										
-Valore medio	x	x	x	x	x	x	x	x	x	x
-Valore minore										
Angolo d'attrito										
Correlato con prove SPT										
-Terzaghi e Peck (1948)	Si	Si	Si	Si	Si	Si	Si	Si	Si	Si
-Schmertmann (1975)	No	No	No	No	No	No	No	No	No	No
-Wolff (1989)	No	No	No	No	No	No	No	No	No	No

Relazione di calcolo

-Hatanaka e Uchida (1996)	No	No	No	No	No	No	No	No	No	No
-Road Bridge Specification	No	No	No	No	No	No	No	No	No	No
-Owasaki e Iwasaki	No	No	No	No	No	No	No	No	No	No
-Japanese National Railway	No	No	No	No	No	No	No	No	No	No
-Peck-Hanson e Thornburn	No	No	No	No	No	No	No	No	No	No
-De Mello	No	No	No	No	No	No	No	No	No	No
Correlato con prove CPT										
-Robertson e Campanella (1983)	Si	Si	Si	Si	Si	Si	Si	Si	Si	Si
-Durgunoglu e Mitchell	No	No	No	No	No	No	No	No	No	No
-Caquot	No	No	No	No	No	No	No	No	No	No
Correlata con proprietà indice										
-In funzione della densità relativa, per terreni incoerenti	No	No	No	No	No	No	No	No	No	No
-In funzione dell'indice di plasticità, per terreni coesivi	No	No	No	No	No	No	No	No	No	No
Elaborazione dei risultati										
-Valore medio	x	x	x	x	x	x	x	x	x	x
-Valore minore										
Coesione non drenata										
Correlata con prove SPT										
-Hara et al. (1971)	Si	Si	Si	Si	Si	Si	Si	Si	Si	Si
-Stroud (1974)	No	No	No	No	No	No	No	No	No	No
Correlata con prove CPT										
-Mayne e Kemper (1988)	Si	Si	Si	Si	Si	Si	Si	Si	Si	Si
-Lunne e Eide	No	No	No	No	No	No	No	No	No	No
Correlata con proprietà indice										
-Bjerrum e Simons (1960)	No	No	No	No	No	No	No	No	No	No
-Skempton (1953)	No	No	No	No	No	No	No	No	No	No
-Calcolata da $\sigma'v_0$ con moltiplicatore pari a	No	No	No	No	No	No	No	No	No	No
Pari a	0.00	0.00	0.00	0.00	0.00	0.00	0.00	0.00	0.00	0.00
Elaborazione dei risultati										
-Valore medio	x	x	x	x	x	x	x	x	x	x
-Valore minore										
Caratteristiche litostatiche										
Grado di sovraconsolidazione										
-Correlato con prove SPT										
-Mayne e Kemper (1988)	No	No	No	No	No	No	No	No	No	No
-Correlato con prove CPT										
-Mayne e Kemper (1988)	No	No	No	No	No	No	No	No	No	No
-Elaborazione dei risultati										
-Valore medio	x	x	x	x	x	x	x	x	x	x
-Valore minore										
Coefficiente di spinta a riposo										
-Calcolo di k_0 (NC)										
-Jaky (1936)	x	x	x	x	x	x	x	x	x	x
-Brooker e Ireland (1965)										
-Alpan (1967)										
-Massarsch (1979)										
-Correlato con Dr										
-Calcolato dal coefficiente di Poisson										
-Calcolo di α										
-Pari a										
-Kulhawy (1989)	x	x	x	x	x	x	x	x	x	x
-Alpan (1967) per terreni coesivi										
-Alpan (1967) per terreni incoerenti										
-Correlato con Dr										
Parametri elastici										
Correlati con prove GFS										
Correlati con prove SPT										
-Stroud e Butler (1975)										
-Stroud (1989)	x	x	x	x	x	x	x	x	x	x
-Schmertmann (1978)										
-Farrent										
-Menzenbach e Malcev										
-D'Appolonia										
-Schulze e Menzenbach										
-Crespellani e Vannucchi										
-Ohsaki e Iwasaki, per sabbie										
-Ohsaki e Iwasaki, per sabbie con fini										
Correlati con prove CPT										
-Schmertmann (1977)										
-Robertson e Campanella (1983)										
-Kulhawy e Mayne (1990)										
-Rix e Stokoe (1992)										
-Mayne e Rix (1993)										
Fattore correttivo	1.00	1.00	1.00	1.00	1.00	1.00	1.00	1.00	1.00	1.00

Geotecnica

Elenco unità geotecniche

1 Argilla sabbiosa media consistenza:

Classificazione: Coesivo

Pesi:
- Peso specifico del terreno naturale: $\gamma = 1800.00$ daN/mc
- Peso specifico del terreno saturo: $\gamma_{sat} = 1900.00$ daN/mc

Proprietà indice:
- Indice di plasticità: $I_p = 50.00$ <%>
Parametri plastici:
- Angolo di attrito efficace: $\phi' = 25.00$ grad
- Coesione efficace: $c' = 1500.00$ daN/mq
- Coesione non drenata: $c_u = 6000.00$ daN/mq
Caratteristiche litostatiche:
- Grado di sovraconsolidazione: $OCR = 1.00$
- Coeff. di spinta a riposo: $k_0 = 0.58$

Parametri elastici:
- Modulo elastico normale: $E = 625000.00$ daN/mq
- Modulo elastico tangenziale: $G = 231481.00$ daN/mq
- Esponente del parametro tensionale: $k_j = 0.00$

Relazione di calcolo

- Coeff. di Poisson: $\nu = 0.35$
- Modulo edometrico: $E_{ed} = 1000000.00 \text{ daN/mq}$
- Modulo elastico non drenato: $E_u = 694444.00 \text{ daN/mq}$

Elenco colonne stratigrafiche
Colonna stratigrafica numero 1
Posizione: X=0.00 <m> Y=0.00 <m> Z=0.00 <m>
Falda non presente

Simbologia
St. = Strato
z = Profondità della superficie superiore dello strato
Unità geotecnica = Unità geotecnica
Class. = Classificazione
Coes. = Coesivo
Inc. = Incoerente
Roc. = Roccia
N. c. = Non classificato
 γ = Peso specifico del terreno naturale
 γ_{sat} = Peso specifico del terreno saturo
 D_r = Densità relativa
 I_p = Indice di plasticità
 ϕ' = Angolo di attrito efficace
 c' = Coesione efficace
 c_u = Coesione non drenata
OCR = Grado di sovraconsolidazione
 κ_0 = Coeff. di spinta a riposo
Crit. = Criterio di progetto

St.	z <m>	Unità geotecnica	Class.	γ <daN/mc>	γ_{sat} <daN/mc>	D_r	I_p	ϕ' <grad>	c' <daN/mq>	c_u <daN/mq>	OCR	κ_0	Crit.
1	0.00	1 Argilla sabbiosa media consistenza	Coes.	1800.00	1900.00	0.00	50.00	25.00	1500.00	6000.00	1.00	0.58	1

Simbologia
St. = Strato
z = Profondità della superficie superiore dello strato
E = Modulo elastico normale
G = Modulo elastico tangenziale
 k_j = Esponente del parametro tensionale
 ν = Coeff. di Poisson
 E_{ed} = Modulo edometrico
 E_u = Modulo elastico non drenato
Crit. = Criterio di progetto

St.	z <m>	E <daN/mq>	G <daN/mq>	k_j	ν	E_{ed} <daN/mq>	E_u <daN/mq>	Crit.
1	0.00	625000.00	231481.00	0.00	0.35	1000000.00	694444.00	1

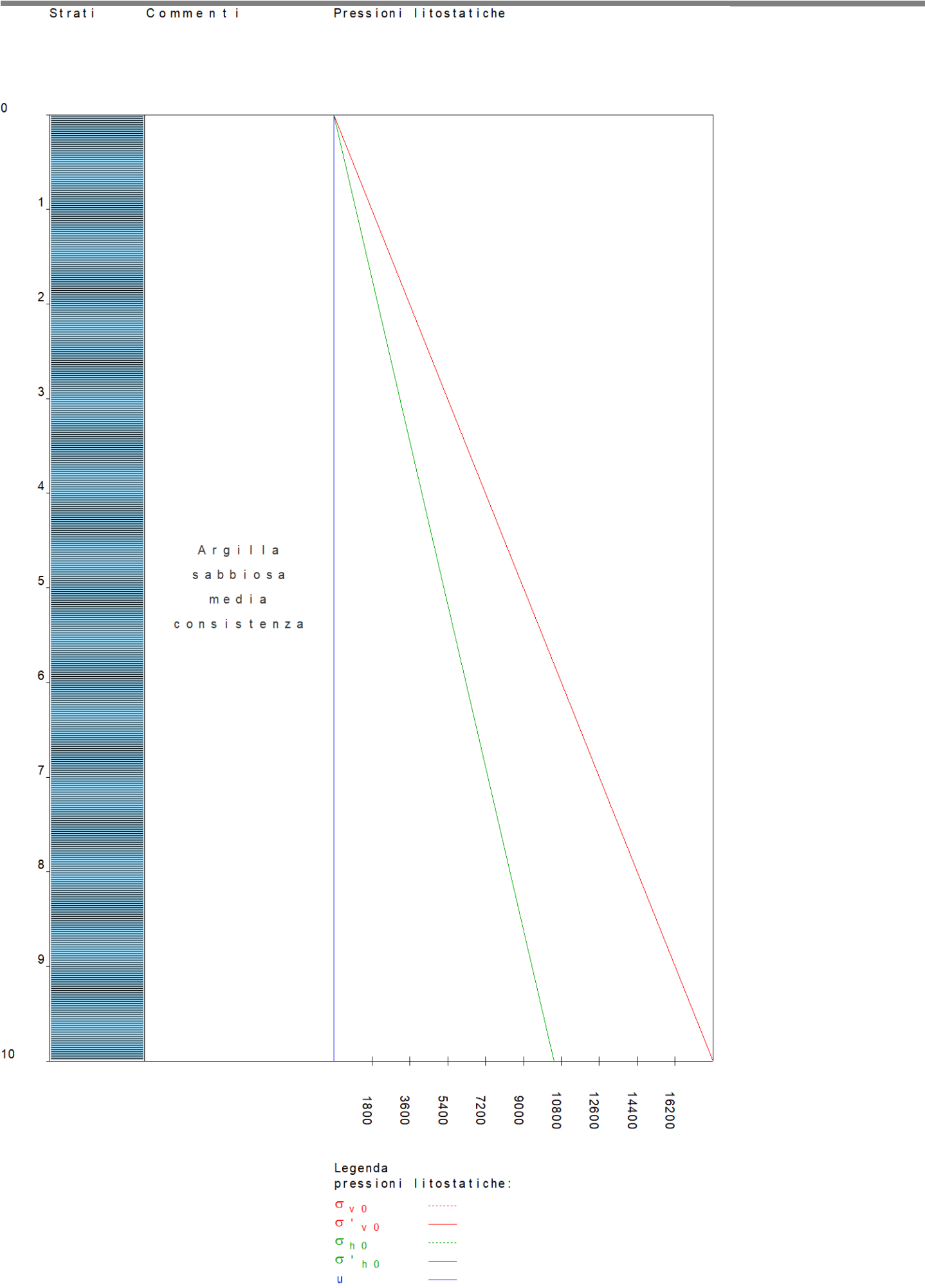


Figura numero 5: Colonna stratigrafica numero 1 Colonna 1

Le verifiche degli elementi di fondazione sono state effettuate utilizzando l'approccio 2.

Coefficienti parziali per le azioni, per verifiche in condizioni statiche:

Permanenti strutturali, sicurezza a favore $\gamma_A = 1.00$;
Permanenti strutturali, sicurezza a sfavore $\gamma_A = 1.30$;
Permanenti non strutturali, sicurezza a favore $\gamma_A = 0.00$;
Permanenti non strutturali, sicurezza a sfavore $\gamma_A = 1.50$;
Variabili, sicurezza a favore $\gamma_A = 0.00$;
Variabili, sicurezza a sfavore $\gamma_A = 1.50$.

I coefficienti parziali per le azioni sono posti pari all'unità per le verifiche in condizioni sismiche.

Tali coefficienti sono comunque desumibili dalla tabella delle combinazioni delle CCE (Parametri di calcolo).

Coefficienti parziali per i parametri geotecnici:

Tangente dell'angolo di attrito $\gamma_M = 1.00$;
Coesione efficace $\gamma_M = 1.00$;
Coesione non drenata $\gamma_M = 1.00$;

Coefficienti parziali per la resistenza delle fondazioni superficiali:

Capacità portante $\gamma_R = 2.30$;
Scorrimento $\gamma_R = 1.10$;

Fondazioni superficiali

Simbologia

B =Base della fondazione
L =Lunghezza della fondazione (L>B)
D =Profondità del piano di posa della fondazione
 β =Inclinazione del piano di campagna
 η =Inclinazione del piano di posa della fondazione
 γ_z =Peso specifico rappresentativo del terreno di fondazione
 $\sigma_{v0,f}$ =Pressione verticale alla profondità del piano di posa della fondazione
 ϕ'_{τ} =Angolo di attrito rappresentativo del terreno di fondazione
 c'_{τ} =Coesione efficace rappresentativa del terreno di fondazione
 N_q =Coefficiente di capacità portante relativo al sovraccarico laterale
 N_c =Coefficiente di capacità portante relativo alla coesione del terreno di fondazione
 N_g =Coefficiente di capacità portante relativo al peso del terreno di fondazione
 b_q =Fattore di inclinazione del piano di fondazione relativo a sovraccarico laterale
 b_c =Fattore di inclinazione del piano di fondazione relativo a coesione
 b_g =Fattore di inclinazione del piano di fondazione relativo a peso del terreno
 c_{ur} =Coesione non drenata rappresentativa del terreno di fondazione
CC =Numero della combinazione delle condizioni di carico elementari
N =Sforzo normale
Tx =Taglio in dir. X
Ty =Taglio in dir. Y
Mx =Momento intorno all'asse X
My =Momento intorno all'asse Y
B' =Base della fondazione reagente
L' =Lunghezza della fondazione reagente
 s_q =Fattore di forma relativo al sovraccarico laterale
 s_c =Fattore di forma relativo alla coesione
 s_g =Fattore di forma relativo al peso del terreno
 i_q =Fattore di inclinazione relativo al sovraccarico laterale
 i_c =Fattore di inclinazione relativo alla coesione
 i_g =Fattore di inclinazione relativo al peso del terreno
 q_{lim} =Pressione limite
 R_d =Resistenza di progetto (Carico limite)
Sic. =Sicurezza a rottura

Verifiche capacità portante

Verifiche di capacità portante per rottura generale in condizioni statiche

Metodo utilizzato: Indicazioni EC7

Platea n. 11

B=2.40 <m> L=4.38 <m> D=5.63 <m> β =0.00 <grad> η =0.00 <grad> γ_z =1800.00 <daN/mc>
 $\sigma_{v0,\tau}$ =10134.00 <daN/mq>

Verifiche in condizioni drenate

ϕ'_{τ} =25.00 <grad> c'_{τ} =1500.00 <daN/mq>
 N_q =10.66 N_c =20.72 N_g =9.01 b_q =1.00 b_c =1.00

CC	N <daN>	Tx <daN>	Ty <daN>	Mx <daNm>	My <daNm>	B' <m>	L' <m>	s_q	s_c	s_g	i_q	i_c	i_g	q_{lim} <daN/mq>	R_d <daN>	Sic.
13	125768.00	-0.00	-0.00	1121.55	-970.13	2.38	4.36	1.23	1.25	0.84	1.00	1.00	1.00	188121.00	850399.00	6.76

Verifiche in condizioni non drenate

c_{ur} =5999.99 <daN/mq>
 N_g =1.00 N_c =5.14 b_q =0.00 b_c =1.00

CC	N <daN>	Tx <daN>	Ty <daN>	Mx <daNm>	My <daNm>	B' <m>	L' <m>	s_c	i_q	i_c	q_{lim} <daN/mq>	R_d <daN>	Sic.
13	125768.00	-0.00	-0.00	1121.55	-970.13	2.38	4.36	1.11	0.00	1.00	44351.00	200488.00	1.59

Cedimenti

Metodo utilizzato: Bowles

Simbologia

B =Base della fondazione
L =Lunghezza della fondazione (L>B)
D =Profondità del piano di posa della fondazione
H =Spessore del terreno responsabile del cedimento
 E_r =Modulo elastico rappresentativo del terreno di fondazione
 ν_z =Coefficiente di Poisson rappresentativo del terreno di fondazione

Relazione di calcolo

I_s =Coefficiente di influenza
I_f =Coefficiente di profondità
k_w =Costante di sottofondo
CC =Numero della combinazione delle condizioni di carico elementari
N =Sforzo normale
q_{es} =Pressione di esercizio
Ced=Cedimento calcolato

Platea n. 11
B=2.40 <m> L=4.38 <m> D=5.63 <m> H=12.00 <m> E_r=625000.00 <daN/mq> v_r=0.35
I_s=0.64 I_f=0.57 k_w=407075.00 <daN/mc>

CC	N <daN>	q _{es} <daN/mq>	Ced <cm>
1	90681.10	8626.43	2.12
2	90681.10	8626.43	2.12
3	90681.10	8626.43	2.12
4	90681.10	8626.43	2.12
5	90681.10	8626.43	2.12
6	90681.10	8626.43	2.12
7	90681.10	8626.43	2.12
8	90681.10	8626.43	2.12
9	90681.10	8626.43	2.12
10	90681.10	8626.43	2.12
11	90681.10	8626.43	2.12
12	90681.10	8626.43	2.12
13	125768.00	11964.30	2.94
14	90681.10	8626.43	2.12
15	90681.10	8626.43	2.12
16	90681.10	8626.43	2.12

Sintesi

Tipo di normativa: stati limite D.M. 18
Tipo di calcolo: analisi sismica dinamica

Dati generali della struttura

- Sito di costruzione: cascina LON. 10.55590 LAT. 43.67590
Contenuto tra ID reticolo: 20271 20493 20270 20492

Pericolosità sismica di base

Simbologia

TCC =Tipo di combinazione di carico
SLU = Stato limite ultimo
SLU S = Stato limite ultimo (azione sismica)
SLE R = Stato limite d'esercizio, combinazione rara
SLE F = Stato limite d'esercizio, combinazione frequente
SLE Q = Stato limite d'esercizio, combinazione quasi permanente
SLD = Stato limite di danno
SLV = Stato limite di salvaguardia della vita
SLC = Stato limite di prevenzione del collasso
SLO = Stato limite di operatività
SLU I = Stato limite di resistenza al fuoco
SND = Stato limite di salvaguardia della vita (non dissipativo)
T_R =Periodo di ritorno <anni>
A_g =Accelerazione orizzontale massima al sito
F_o =Valore massimo del fattore di amplificazione dello spettro in accelerazione orizzontale
F_V =Valore massimo del fattore di amplificazione dello spettro in accelerazione verticale
T_c* =Periodo di inizio del tratto a velocità costante dello spettro in accelerazione orizzontale <sec>
S_s =Coefficiente di amplificazione stratigrafica
C_c =Coefficiente funzione della categoria del suolo
S =Coefficiente di amplificazione stratigrafica e topografica
T_C =Periodo corrispondente all'inizio del tratto dello spettro a velocità costante
T_B =Periodo corrispondente all'inizio del tratto dello spettro ad accelerazione costante
T_D =Periodo corrispondente all'inizio del tratto dello spettro a spostamento costante

TCC	T _R	A _g <g>	F _o	F _V	T _c *	S _s	C _c	S	T _C	T _B	T _D
SLO	30	0.0406	2.57	0.70	0.23	1.80	2.59	1.80	0.60	0.20	1.76
SLD	50	0.0514	2.54	0.78	0.25	1.80	2.50	1.80	0.63	0.21	1.81
SLV	475	0.1221	2.50	1.18	0.28	1.80	2.38	1.80	0.66	0.22	2.09

- Edificio esistente: No
- Tipo di opera: Opera ordinaria
- Vita nominale V_N: 50.00
- Classe d'uso: Classe II
- Coefficiente d'uso CU: 1.00
- Periodo di riferimento VR: 50.00

Dati di progetto

- Categoria del suolo di fondazione: D
- Tipologia strutturale: c.a. o prefabbricata a pareti non accoppiate

Periodo T ₁	1.08815
Coeff. λ SLO	1.00
Coeff. λ SLD	1.00
Coeff. λ SLV	1.00
Rapporto di sovraresistenza (α ₀ /α ₁)	1.10
Valore di riferimento del fattore di comportamento (q ₀)	3.00
Fattore riduttivo (K _w)	0.50
Fattore riduttivo regolarità in altezza (K _R)	1.00
Fattore di comportamento dissipativo (q)	1.50
Fattore di comportamento non dissipativo (q _{ND})	1.50
Fattore di comportamento per SLD (q _D)	1.50

- Categoria topografica: T1 - Superficie pianeggiante, pendii e rilievi isolati con inclinazione media i<=15°
- Coeff. amplificazione topografica S_r: 1.00
- Quota di riferimento: -3.87 <m>
- Quota max della struttura: 0.00 <m>
- Altezza della struttura: 3.87 <m>
- Numero piani edificio: 0
- Coefficiente θ: 0.00
- Edificio regolare in altezza: Si

Relazione di calcolo

- Edificio regolare in pianta: Sì
- Struttura dissipativa: No
- Fattore di comportamento per sisma verticale (qv): 1.50
- Smorzamento spettro: 5.00%

Spettro SLD.TXT :

0.0000	0.9076
0.0500	1.0584
0.1000	1.2092
0.1500	1.3600
0.2000	1.5108
0.2083	1.5360
0.2500	1.5360
0.3000	1.5360
0.3500	1.5360
0.4000	1.5360
0.4500	1.5360
0.5000	1.5360
0.5500	1.5360
0.6000	1.5360
0.6250	1.5360
0.6500	1.4769
0.7000	1.3714
0.7500	1.2800
0.8000	1.2000
0.8500	1.1294
0.9000	1.0666
0.9500	1.0105
1.0000	0.9600
1.0500	0.9143
1.1000	0.8727
1.1500	0.8348
1.2000	0.8000
1.2500	0.7680
1.3000	0.7384
1.3500	0.7111
1.4000	0.6857
1.4500	0.6621
1.5000	0.6400
1.5500	0.6193
1.6000	0.6000
1.6500	0.5818
1.7000	0.5647
1.7500	0.5486
1.8000	0.5333
1.8056	0.5317
1.8500	0.5065
1.9000	0.4801
1.9500	0.4558
2.0000	0.4333
2.0500	0.4125
2.1000	0.3930
2.1500	0.3750
2.2000	0.3581
2.2500	0.3424
2.3000	0.3277
2.3500	0.3139
2.4000	0.3009
2.4500	0.2888
2.5000	0.2773
2.5500	0.2666
2.6000	0.2564
2.6500	0.2468
2.7000	0.2378
2.7500	0.2292
2.8000	0.2211
2.8500	0.2134
2.9000	0.2061
2.9500	0.1992
3.0000	0.1926
3.0500	0.1863
3.1000	0.1804
3.1500	0.1747
3.2000	0.1693
3.2500	0.1641
3.3000	0.1592
3.3500	0.1545
3.4000	0.1499
3.4500	0.1456
3.5000	0.1415
3.5500	0.1375
3.6000	0.1337
3.6500	0.1301
3.7000	0.1266
3.7500	0.1233
3.8000	0.1200
3.8500	0.1169
3.9000	0.1140
3.9500	0.1111
4.0000	0.1083

Spettro SLO.TXT :

0.0000	0.7178
0.0500	0.9976
0.1000	1.2775
0.1500	1.5573
0.2000	1.8372
0.2010	1.8429
0.2500	1.8429
0.3000	1.8429
0.3500	1.8429
0.4000	1.8429
0.4500	1.8429
0.5000	1.8429
0.5500	1.8429
0.6000	1.8429
0.6031	1.8429

Relazione di calcolo

0.6500	1.7100
0.7000	1.5878
0.7500	1.4820
0.8000	1.3893
0.8500	1.3076
0.9000	1.2350
0.9500	1.1700
1.0000	1.1115
1.0500	1.0586
1.1000	1.0104
1.1500	0.9665
1.2000	0.9262
1.2500	0.8892
1.3000	0.8550
1.3500	0.8233
1.4000	0.7939
1.4500	0.7665
1.5000	0.7410
1.5500	0.7171
1.6000	0.6947
1.6500	0.6736
1.7000	0.6538
1.7500	0.6351
1.7626	0.6306
1.8000	0.6047
1.8500	0.5724
1.9000	0.5427
1.9500	0.5152
2.0000	0.4898
2.0500	0.4662
2.1000	0.4442
2.1500	0.4238
2.2000	0.4048
2.2500	0.3870
2.3000	0.3703
2.3500	0.3547
2.4000	0.3401
2.4500	0.3264
2.5000	0.3135
2.5500	0.3013
2.6000	0.2898
2.6500	0.2790
2.7000	0.2687
2.7500	0.2591
2.8000	0.2499
2.8500	0.2412
2.9000	0.2329
2.9500	0.2251
3.0000	0.2177
3.0500	0.2106
3.1000	0.2039
3.1500	0.1974
3.2000	0.1913
3.2500	0.1855
3.3000	0.1799
3.3500	0.1746
3.4000	0.1695
3.4500	0.1646
3.5000	0.1599
3.5500	0.1555
3.6000	0.1512
3.6500	0.1471
3.7000	0.1431
3.7500	0.1393
3.8000	0.1357
3.8500	0.1322
3.9000	0.1288
3.9500	0.1256
4.0000	0.1224

Spettro SND.TXT :

0.0000	2.1553
0.0500	2.4843
0.1000	2.8133
0.1500	3.1423
0.2000	3.4714
0.2186	3.5938
0.2500	3.5938
0.3000	3.5938
0.3500	3.5938
0.4000	3.5938
0.4500	3.5938
0.5000	3.5938
0.5500	3.5938
0.6000	3.5938
0.6500	3.5938
0.6558	3.5938
0.7000	3.3670
0.7500	3.1425
0.8000	2.9461
0.8500	2.7728
0.9000	2.6188
0.9500	2.4809
1.0000	2.3569
1.0500	2.2446
1.1000	2.1426
1.1500	2.0495
1.2000	1.9641
1.2500	1.8855
1.3000	1.8130
1.3500	1.7458
1.4000	1.6835
1.4500	1.6254
1.5000	1.5713
1.5500	1.5206
1.6000	1.4730
1.6500	1.4284
1.7000	1.3864

Relazione di calcolo

1.7500	1.3468
1.8000	1.3094
1.8500	1.2740
1.9000	1.2405
1.9500	1.2087
2.0000	1.1784
2.0500	1.1497
2.0882	1.1287
2.1000	1.1160
2.1500	1.0647
2.2000	1.0169
2.2500	0.9722
2.3000	0.9304
2.3500	0.8912
2.4000	0.8545
2.4500	0.8199
2.5000	0.7875
2.5500	0.7569
2.6000	0.7281
2.6500	0.7008
2.7000	0.6751
2.7500	0.6508
2.8000	0.6278
2.8500	0.6059
2.9000	0.5852
2.9500	0.5656
3.0000	0.5469
3.0500	0.5291
3.1000	0.5121
3.1500	0.4960
3.2000	0.4806
3.2500	0.4660
3.3000	0.4519
3.3500	0.4386
3.4000	0.4258
3.4500	0.4135
3.5000	0.4018
3.5500	0.3905
3.6000	0.3798
3.6500	0.3694
3.7000	0.3595
3.7500	0.3500
3.8000	0.3408
3.8500	0.3320
3.9000	0.3236
3.9500	0.3154
4.0000	0.3076

Condizioni di carico elementari

Simbologia

```

CCE      =Numero della condizione di carico elementare
Comm.    =Commento
Tipo CCE =Tipo di CCE per calcolo agli stati limite
Sic.     =Contributo alla sicurezza
          F = a favore
          S = a sfavore
          A = ambigua
Var.      =Tipo di variabilità
          B = di base
          I = indipendente
          A = ambigua
s         =Coeff. di riduzione (T.A. o S.L. D.M. 96)
Dir.      =Direzione del vento
Tipo      =Tipologia di pressione vento
          M = Massimizzata
          E = Esterna
          I = Interna
Mx        =Moltiplicatore della massa in dir. X
My        =Moltiplicatore della massa in dir. Y
Mz        =Moltiplicatore della massa in dir. Z
Jpx       =Moltiplicatore del momento d'inerzia intorno all'asse X
Jpy       =Moltiplicatore del momento d'inerzia intorno all'asse Y
Jpz       =Moltiplicatore del momento d'inerzia intorno all'asse Z

```

CCE	Comm.	Tipo	CCE	Sic.	Var.	s	Dir. <grad>	Tipo	Mx	My	Mz	Jpx	Jpy	Jpz
1	G1		1	S	--	1.00	--	--	1.00	1.00	0.00	0.00	0.00	1.00
2	G2		2	S	--	1.00	--	--	1.00	1.00	0.00	0.00	0.00	1.00
3	Gk		2	S	--	1.00	--	--	1.00	1.00	0.00	0.00	0.00	1.00

Elenco masse nodi

Simbologia

Nodo = Numero del nodo
Mo = Massa orizzontale

Nodo	Mo <K>	Nodo	Mo <K>	Nodo	Mo <K>	Nodo	Mo <K>	Nodo	Mo <K>	Nodo	Mo <K>	Nodo	Mo <K>	Nodo	Mo <K>	Nodo	Mo <K>
-607	97.66	-606	155.87	-605	155.87	-604	155.87	-603	155.87	-602	140.14	-601	124.42	-600	124.42	-599	124.42
-596	81.93	-595	151.19	-594	223.49	-593	223.49	-592	223.49	-591	223.49	-590	200.94	-589	178.39	-588	178.39
-585	178.39	-584	128.64	-583	151.19	-582	223.49	-581	223.49	-580	223.49	-579	223.49	-578	200.94	-577	178.39
-574	178.39	-573	178.39	-572	128.64	-571	151.19	-570	221.74	-569	168.90	-568	168.90	-567	221.74	-566	200.94
-563	93.86	-562	93.86	-561	138.74	-560	128.64	-559	151.19	-558	162.84	-557	162.84	-556	200.94	-555	94.42
-550	151.19	-549	221.74	-548	168.90	-547	168.90	-546	221.74	-545	200.94	-544	138.74	-543	93.86	-542	93.86
-539	128.64	-538	97.66	-537	155.87	-536	155.87	-535	155.87	-534	155.87	-533	140.14	-532	124.42	-531	124.42
-528	124.42	-527	81.93	-526	83.58	-525	88.25	-524	88.25	-523	88.25	-522	88.25	-521	79.35	-520	70.45
-517	70.45	-516	70.45	-515	74.67	-514	78.90	-513	78.90	-512	78.90	-511	78.90	-510	78.90	-509	78.90
-506	78.90	-505	78.90	-504	83.58	-503	88.25	-502	88.25	-501	88.25	-500	88.25	-499	79.35	-498	70.45
-495	70.45	-494	70.45	-493	74.67	-492	83.58	-491	88.25	-490	88.25	-489	88.25	-488	88.25	-487	79.35
-484	70.45	-483	70.45	-482	70.45	-481	74.67	-480	78.90	-479	78.90	-478	78.90	-477	78.90	-476	78.90
-473	78.90	-472	78.90	-471	78.90	-470	83.58	-469	88.25	-468	88.25	-467	88.25	-466	88.25	-465	79.35
-462	70.45	-461	70.45	-460	70.45	-459	74.67	-458	83.58	-457	88.25	-456	88.25	-455	88.25	-454	88.25
-451	70.45	-450	70.45	-449	70.45	-448	70.45	-447	74.67	-446	78.90	-445	78.90	-444	78.90	-443	78.90
-440	78.90	-439	78.90	-438	78.90	-437	78.90	-436	83.58	-435	88.25	-434	88.25	-433	88.25	-432	88.25
-429	70.45	-428	70.45	-427	70.45	-426	70.45	-425	74.67	-424	83.58	-423	88.25	-422	88.25	-421	88.25
-418	70.45	-417	70.45	-416	70.45	-415	70.45	-414	70.45	-413	74.67	-412	78.90	-411	78.90	-410	78.90

Relazione di calcolo

-407	78.90	-406	78.90	-405	78.90	-404	78.90	-403	78.90	-402	83.58	-401	88.25	-400	88.25	-399	88.25	-398	88.25	-397	79.35
-396	70.45	-395	70.45	-394	70.45	-393	70.45	-392	70.45	-391	74.67	-390	83.58	-389	88.25	-388	88.25	-387	88.25	-386	88.25
-385	79.35	-384	70.45	-383	70.45	-382	70.45	-381	70.45	-380	70.45	-379	74.67	-378	78.90	-377	78.90	-376	78.90	-375	78.90
-374	78.90	-373	78.90	-372	78.90	-371	78.90	-370	78.90	-369	78.90	-368	83.58	-367	88.25	-366	88.25	-365	88.25	-364	88.25
-363	79.35	-362	70.45	-361	70.45	-360	70.45	-359	70.45	-358	70.45	-357	74.67	-356	83.58	-355	88.25	-354	88.25	-353	88.25
-352	88.25	-351	79.35	-350	70.45	-349	70.45	-348	70.45	-347	70.45	-346	70.45	-345	74.67	-344	78.90	-343	78.90	-342	78.90
-341	78.90	-340	78.90	-339	78.90	-338	78.90	-337	78.90	-336	78.90	-335	78.90	-334	83.58	-333	88.25	-332	88.25	-331	88.25
-330	88.25	-329	79.35	-328	70.45	-327	70.45	-326	70.45	-325	70.45	-324	70.45	-323	74.67	-322	83.58	-321	88.25	-320	88.25
-319	88.25	-318	88.25	-317	79.35	-316	70.45	-315	70.45	-314	70.45	-313	70.45	-312	70.45	-311	74.67	-310	78.90	-309	78.90
-308	78.90	-307	78.90	-306	78.90	-305	78.90	-304	78.90	-303	78.90	-302	78.90	-301	78.90	-300	83.58	-299	88.25	-298	88.25
-297	88.25	-296	88.25	-295	79.35	-294	70.45	-293	70.45	-292	70.45	-291	70.45	-290	70.45	-289	74.67	-288	67.38	-287	71.15
-286	71.15	-285	71.15	-284	71.15	-283	63.97	-282	56.79	-281	56.79	-280	56.79	-279	56.79	-278	56.79	-277	60.20	-276	63.61
-275	63.61	-274	63.61	-273	63.61	-272	63.61	-271	63.61	-270	63.61	-269	63.61	-268	63.61	-267	63.61	-266	67.38	-265	71.15
-264	71.15	-263	71.15	-262	71.15	-261	63.97	-260	56.79	-259	56.79	-258	56.79	-257	56.79	-256	56.79	-255	60.20	-254	64.00
-253	67.58	-252	67.58	-251	67.58	-250	67.58	-249	60.76	-248	53.94	-247	53.94	-246	53.94	-245	53.94	-244	53.94	-243	57.18
-242	60.41	-241	60.41	-240	60.41	-239	60.41	-238	60.41	-237	60.41	-236	60.41	-235	60.41	-234	60.41	-233	60.41	-232	64.00
-231	67.58	-230	67.58	-229	67.58	-228	67.58	-227	60.76	-226	53.94	-225	53.94	-224	53.94	-223	53.94	-222	53.94	-221	57.18
-220	76.81	-219	81.11	-218	81.11	-217	81.11	-216	81.11	-215	72.93	-214	64.74	-213	64.74	-212	64.74	-211	64.74	-210	64.74
-209	68.63	-208	72.51	-207	72.51	-206	72.51	-205	72.51	-204	72.51	-203	72.51	-202	72.51	-201	72.51	-200	72.51	-199	72.51
-198	76.81	-197	81.11	-196	81.11	-195	81.11	-194	81.11	-193	72.93	-192	64.74	-191	64.74	-190	64.74	-189	64.74	-188	64.74
-187	68.63																				

Totali masse nodi

Mo
<kg>
37686.80

Elenco modi di vibrare, masse partecipanti e coefficienti di partecipazione

Simbologia

Modo =Numero del modo di vibrare
C =* indica che il modo è stato considerato
T =Periodo
Diff.=Minima differenza percentuale dagli altri periodi
Φ_x =Coefficiente di partecipazione in dir. X
Φ_y =Coefficiente di partecipazione in dir. Y
Φ_z =Coefficiente di partecipazione in dir. Z
%M_x =Percentuale massa partecipante in dir. X
%M_y =Percentuale massa partecipante in dir. Y
%M_z =Percentuale massa partecipante in dir. Z
%J_{pz} =Percentuale momento d'inerzia polare partecipante intorno all'asse Z

Modo	C	T	Diff.	Φ _x	Φ _y	Φ _z	%M _x	%M _y	%M _z	%J _{pz}
1*	1.09	81.81	0.00	58.24	0.00	0.00	0.00	90.01	0.00	0.00
2*	0.60	81.81	58.24	-0.00	0.00	0.00	90.00	0.00	0.00	0.00
3*	0.02	19.35	-0.01	0.40	0.00	0.00	0.00	0.00	0.00	0.00
4*	0.02	19.35	-0.00	-12.17	0.00	0.00	0.00	3.93	0.00	0.00
5*	0.01	19.17	-0.42	-0.08	0.00	0.00	0.00	0.00	0.00	0.00
6*	0.01	8.79	-6.25	-0.04	0.00	1.04	0.00	0.00	0.00	0.00
7*	0.01	4.06	0.05	-1.17	0.00	0.00	0.04	0.00	0.00	0.00
8*	0.01	4.06	-0.05	-7.65	0.00	0.00	1.55	0.00	0.00	0.00
9*	0.01	1.27	0.02	0.01	0.00	0.00	0.00	0.00	0.00	0.00
10*	0.01	1.27	-0.96	0.18	0.00	0.02	0.00	0.00	0.00	0.00
11*	0.01	2.35	-2.21	-4.79	0.00	0.13	0.61	0.00	0.00	0.00
12*	0.01	2.35	3.67	-3.82	0.00	0.36	0.39	0.00	0.00	0.00
Tot.cons.							91.56	96.53	0.00	0.00

Materiali

Cemento armato

Elenco dei criteri di progetto e delle loro principali caratteristiche meccaniche utilizzate:
Pareti: 4 Pareti serbatoio
Solette/Platee: 1 Solette e platee vasche

Calcestruzzo

Tipo di calcestruzzo: C32/40
R_{ck} calcestruzzo (R_{ck} calcestruzzo) <daN/cm²>: 400.00
Resistenza caratteristica cilindrica a compressione del calcestruzzo (F_{ck}) <daN/cm²>: 332.00
Resistenza caratteristica a trazione del calcestruzzo (F_{ctk}) <daN/cm²>: 21.69
α_{ec}: 0.85
γ_c: 1.50
Resistenza di calcolo a compressione del calcestruzzo (F_{cd}) <daN/cm²>: 188.13
Resistenza di calcolo a trazione del calcestruzzo (F_{ctd}) <daN/cm²>: 14.46

Acciaio

Tipo di acciaio: B450C
Tensione caratteristica di snervamento dell'acciaio (F_{yk}) <daN/cm²>: 4500.00
γ_s: 1.15
Resistenza di calcolo dell'acciaio (F_{yd}) <daN/cm²>: 3913.04

Prove in sito

Elenco colonne stratigrafiche

Simbologia

St. =Strato
z =Profondità della superficie superiore dello strato
Spess. =Spessore
Unità geotecnica =Unità geotecnica
Class. =Classificazione
Coes. = Coesivo
Inc. = Incoerente
Roc. = Roccia
N. c. = Non classificato
γ =Peso specifico del terreno naturale
γ_{sat} =Peso specifico del terreno saturo
φ' =Angolo di attrito efficace
c' =Coesione efficace
c_u =Coesione non drenata

Relazione di calcolo

E =Modulo elastico normale
G =Modulo elastico tangenziale
E_{ed} =Modulo edometrico

Colonna stratigrafica numero 1 Colonna 1

St.	z <m>	Spess. <cm>	Unità geotecnica	Class.	γ <daN/mc>	γ _{sat} <daN/mc>	φ' <grad>	c' <daN/mq>	c _u <daN/mq>	E <daN/mq>	G <daN/mq>	E _{ed} <daN/mq>
1	0.00	--	1 Argilla sabbiosa media consistenza	Coes.	1800.00	1900.00	25.00	1500.00	6000.00	625000.00	231481.00	1000000.00

Le verifiche degli elementi di fondazione sono state effettuate utilizzando l'approccio 2 - Combinazione 1.

Coefficienti parziali per le azioni, per verifiche in condizioni statiche:

Permanenti strutturali, sicurezza a favore γ_A = 1.00;
Permanenti strutturali, sicurezza a sfavore γ_A = 1.30;
Permanenti non strutturali, sicurezza a favore γ_A = 0.00;
Permanenti non strutturali, sicurezza a sfavore γ_A = 1.50;
Variabili, sicurezza a favore γ_A = 0.00;
Variabili, sicurezza a sfavore γ_A = 1.50.

I coefficienti parziali per le azioni sono posti pari all'unità per le verifiche in condizioni sismiche.

Tali coefficienti sono comunque desumibili dalla tabella delle combinazioni delle CCE (Parametri di calcolo).

Coefficienti parziali per i parametri geotecnici:

Tangente dell'angolo di attrito γ_M = 1.00;
Coesione efficace γ_M = 1.00;
Coesione non drenata γ_M = 1.00;

Coefficienti parziali per la resistenza delle fondazioni superficiali:

Capacità portante γ_R = 2.30;

Scorrimento γ_R = 1.10;

Coefficienti parziali per la resistenza delle fondazioni profonde:

Per pali infissi:

Resistenza alla base γ_R, b = 1.15;

Resistenza laterale in compressione γ_R, s = 1.15;

Resistenza laterale in trazione γ_R, t = 1.25;

Per pali trivellati:

Resistenza alla base γ_R, b = 1.35;

Resistenza laterale in compressione γ_R, s = 1.15;

Resistenza laterale in trazione γ_R, t = 1.25;

Per pali ad elica continua:

Resistenza alla base γ_R, b = 1.30;

Resistenza laterale in compressione γ_R, s = 1.15;

Resistenza laterale in trazione γ_R, t = 1.25;

Fattore di correlazione per la determinazione della resistenza caratteristica desumibile dai criteri di progetto.

Carichi

Simbologia

Imp. =Numero dell'impalcato

Quota=Quota impalcato

Ts =Numero del tipo solaio

Comm. =Commento

Mq_{tot} =Area solai

Qps =Carico permanente strutturale

CCE =Numero della condizione di carico elementare

Qpn =Carico permanente non strutturale

QA =Primo carico accidentale

QA2 =Secondo carico accidentale

QA3 =Terzo carico accidentale

Imp.	Quota <m>	Ts	Comm.	Mq _{tot} <mq>	Qps <daN/mq>	CCE	Qpn <daN/mq>	CCE	QA <daN/mq>	CCE	QA2 <daN/mq>	CCE	QA3 <daN/mq>	CCE
0	0.00	1	Coperchio	1.07	50.00	1	50.00	2	400.00	3	--	--	--	--
0	0.00	1	Coperchio	1.14	50.00	1	--	--	--	--	--	--	--	--

Minimo coefficiente di sicurezza

Simbologia

Elem.=Elemento

CC =Numero della combinazione delle condizioni di carico elementari

TCC =Tipo di combinazione di carico

SLU = Stato limite ultimo

SLU S = Stato limite ultimo (azione sismica)

SLE R = Stato limite d'esercizio, combinazione rara

SLE F = Stato limite d'esercizio, combinazione frequente

SLE Q = Stato limite d'esercizio, combinazione quasi permanente

SLD = Stato limite di danno

SLV = Stato limite di salvaguardia della vita

SLC = Stato limite di prevenzione del collasso

SLO = Stato limite di operatività

SLU I = Stato limite di resistenza al fuoco

SND = Stato limite di salvaguardia della vita (non dissipativo)

TV =Tipo di verifica

PRFL = Flessione e pressoflessione

TAG = Taglio o altre rotture fragili

NOD = Nodi in c.a. e collegamenti in acciaio

STAB = Stabilità

CP = Capacità portante

RNP = Resistenza nel piano

RFP = Resistenza fuori piano

CIN = Cinematismi

CON = Connessioni

Sic. =Sicurezza

Tabella elementi e minimo coefficiente di sicurezza

Elem.	CC	TCC	TV	Sic.
Platea a quota 0	13	SLU	PRFL	4.79
Platea a quota 0	13	SLU	TAG	6.49

Minimo coefficiente di sicurezza:4.79